

NILU OR: 86/90

NILU OR : 86/90  
REFERANSE : O-90054  
DATO : DESEMBER 1990  
ISBN : 82-425-0221-8

# Beregning av NO<sub>x</sub> og NO<sub>2</sub>-konsentrasjon i Sundsvall for 5 ulike utslippscenarier

S.-E. Walker og S. Larssen

## SAMMENDRAG

Norsk institutt for luftforskning (NILU) har på oppdrag fra VBB trafik utført beregninger av  $\text{NO}_x$  og  $\text{NO}_2$  i Sundsvall by for dagens situasjon samt for ulike scenarier for trafikkutvikling for år 2000. Beregningene gjelder generelt forurensningsnivå (gjennomsnittskonsentrasjon i 400 m-ruter) og ikke forurensning i gatenivå. Beregningene er utført på grunnlag av utsippoversikter levert av VBB trafik. Beregningene inngår som en del av arbeidet innen "Miljöprojekt Sundsvall-Timrå".

Beregningene er utført med en generell multippel kilde gaussisk spredningsmodell som er kjørt for utvalgte situasjoner med stasjonære vind- og spredningsforhold. De vindsituasjoner og spredningsparametre som er benyttet for å simulere forurensingsepisoder i dalgangen i Sundsvall er valgt på grunnlag av studier av forurensnings- og vindforhold i slike episoder, basert på målinger utført av Miljöskyddskontoret. Spredningsberegningsene gir konsentrasjoner i Sundsvall sentrum på høyde med det som faktisk er målt (se vedlegg G). Beregningene er gjort i et rutenett med sidekant 400 m.

Begrensete tids- og kostnadsrammer gjorde det ikke mulig å utføre beregninger av 98-prosentilverdi basert på reelle variasjoner i utslipps- og spredningsforhold fra time til time.

Beregninger er gjort for følgende windsituasjoner:

Vindsituasjon 1: Svak vestlig vind, sterkt stabil temperatursjiktning.

Denne situasjonen forekommer relativt hyppig (mer enn 2% av tiden), og beregnet  $\text{NO}_2$ -konsentrasjon i sentrum er noe lavere enn målt 98-prosentil. Beregningene for denne windsituasjonen gir et grovt estimat av fordelingen av 98-prosentilen for  $\text{NO}_2$  i Sundsvall sentrum og øst for sentrum.

Vindsituasjon 2: Svak østlig vind, sterkt stabil temperatursjiktning.

Denne vindretningen ble brukt til å estimere maksimal forurensningsgrad vest for Sundsvall i de mest ekstreme forurensningsepisoder med stagnasjon av luften, når vinddraget snur fra svak vestlig til svak østlig vind. Sammen med vindsituasjon 1 gir denne situasjonen grunnlag for å estimere det geografiske omfanget av høye NO<sub>x</sub>- og NO<sub>2</sub>-konsentrasjoner i Sundsvall.

Resultater av beregningene er presentert i form av isolinjeplott av NO<sub>x</sub>- og NO<sub>2</sub>-konsentrasijsjon i Sundsvall for vindsituasjon 1 totalt og trafikkbidraget separat. Videre er utslipp og konsentrasijsjoner fra hver kildegruppe (personbiler, lastebiler, busser, energi, industri) presentert i form av tallmatriser, for begge vindretninger (vedlegg B-F).

Grenseverdien ("riktlinjen") i Sverige for 98-prosentil av NO<sub>2</sub> på timebasis, 110 µg/m<sup>3</sup>, overskrides ikke i Sundsvall sentrum i dagens situasjon, ifølge målingene. Målt 98-prosentil lå i 1987/88 og 1988/89 på knapt 100 µg/m<sup>3</sup>. Grenseverdien kan overskrides i et område øst-sørøst for sentrum, langs E4.

Det området i Sundsvall sentrum der svært høye konsentrasijsjoner av NO<sub>x</sub> og NO<sub>2</sub> kan opptrer under stagnasjonstilfellene strekker seg høyst fra innerst i Sundsvallfjärden og opp mot Sidsjöbäcken i øst, og har en bredde på omtrent to ruter (ca. 800 m) sentrert om dalaksen. I de mest ekstreme stagnasjonstilfeller begrenser området seg til området som har størst utslipp, dvs. fra E4 og omtrent opp til Bunsowska tjärn.

## INNHOLD

	Side
<b>SAMMENDRAG .....</b>	<b>1</b>
<b>1 INNLEDNING .....</b>	<b>5</b>
<b>2 DATAGRUNNLAG .....</b>	<b>7</b>
<b>2.1 Utslippsdata .....</b>	<b>7</b>
<b>2.2 NO<sub>x</sub>-målinger i Sundsvall sentrum .....</b>	<b>11</b>
<b>3 METODIKK .....</b>	<b>13</b>
<b>3.1 Beregningsopplegg .....</b>	<b>13</b>
<b>3.2 Valg av modell-parametre .....</b>	<b>15</b>
<b>3.3 Beregning av NO<sub>2</sub> .....</b>	<b>16</b>
<b>4 RESULTATER .....</b>	<b>17</b>
<b>5 VURDERING .....</b>	<b>35</b>
<b>6 REFERANSER .....</b>	<b>39</b>
<b>VEDLEGG A: Utslippsforhold for trafikk .....</b>	<b>41</b>
<b>VEDLEGG B: Resultater for Sundsvall 1988 .....</b>	<b>45</b>
<b>VEDLEGG C: Resultater for scenarium 1 .....</b>	<b>69</b>
<b>VEDLEGG D: Resultater for scenarium 2 .....</b>	<b>93</b>
<b>VEDLEGG E: Resultater for scenarium 3 .....</b>	<b>117</b>
<b>VEDLEGG F: Resultater for scenarium 4 .....</b>	<b>141</b>
<b>VEDLEGG G: Målinger i Sundsvall .....</b>	<b>165</b>



# BEREGNING AV NO<sub>x</sub> OG NO<sub>2</sub>-KONSENTRASJON I SUNDSVALL FOR 5 ULIKE UTSLIPPSSCENARIER

## 1 INNLEDNING

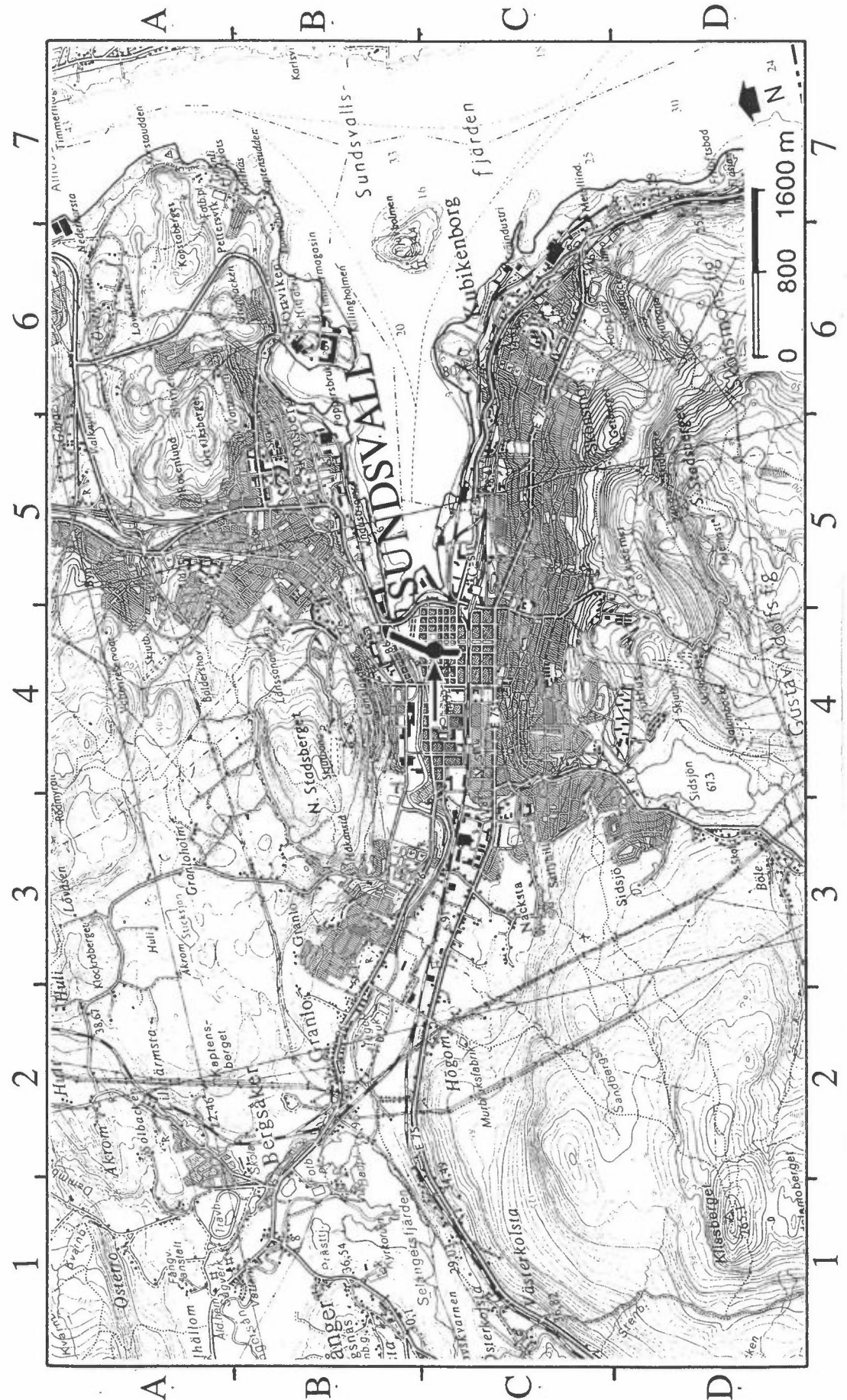
Norsk institutt for luftforskning (NILU) har på oppdrag fra VBB trafik AB og Sundsvall kommune gjennomført beregning av NO<sub>x</sub>- og NO<sub>2</sub>-konsentrasjoner i Sundsvall for dagens forhold (1988), samt for fire alternative tiltak for utslipps-reduksjoner.

Beregningene er utført som en del av miljøprosjekt Sundsvall-Timrå. Prosjektet har som et av sine mål å foreslå tiltak for å forbedre luftkvaliteten i Sundsvall sentrum.

Målinger gjennom flere år på Stadshuset i Sundsvall (se figur 1) har vist at det i forurensningsepisoder opptrer svært høye konsentrasjoner av NO<sub>x</sub> og NO<sub>2</sub>. Det er målt opptil 800 µg/m<sup>3</sup> for NO<sub>x</sub>, og opptil 350 µg/m<sup>3</sup> for NO<sub>2</sub>. I Sundsvall sentrum synes NO<sub>2</sub>-konsentrasjonen å overskride svensk grenseverdi ("riktlinjer"), som er 110 µg/m<sup>3</sup> som 98-prosentil verdi for vinterhalvår. De høye konsentrasjonene er særlig knyttet til episoder med svak vind og bakkeinversjon. Utslipp fra biltrafikken anses å utgjøre hovedkilden til NO<sub>2</sub>-problemets.

NILU ble bedt om å utføre beregninger av romlig fordeling av NO<sub>x</sub>- og NO<sub>2</sub>-konsentrasjoner i Sundsvall under forhold som gir høy forurensningsgrad. Beregningene skulle gi svar på følgende spørsmål:

- Hvordan varierer forurensningskonsentrasjonen generelt ("over tak") innenfor byområdet (romlig fordeling)? Det er ønskelig å vite utstrekningen av området med høye NO<sub>x</sub>- og NO<sub>2</sub>-konsentrasjoner.
- Hvor mye bidrar ulike kildegrupper til de høye NO<sub>x</sub>- og NO<sub>2</sub>-verdiene?



Figur 1: Kart over Sundsvall.  
 → = Målestasjon på Stadshuset i Sundsvall sentrum.  
 Plassert på taket 13 meter over bakken.  
 — = Måleløyper for DOAS-instrumentet.

- Hvor mye bidrar de ulike planer for utslippsreduksjoner til å redusere  $\text{NO}_2$ -konsentrasjonene?

Det er gjort beregninger for følgende fem utslippsscenarier:

Sundsvall 1988 (trafikkforhold og utslippsfaktorer for 1988).

1. scenarius: Som Sundsvall 1988, men med 11 000 kjøretøy per døgn flyttet fra dagens E4 til bro over fjorden.

2. scenarius: Som scenarius 1, men med utslippsfaktorer for biltrafikk for år 2000.

3. scenarius: Som scenarius 2, men med satsing på økt kollektivtrafikk.

4. scenarius: Trafikkforhold og utslippsfaktorer for år 2000.

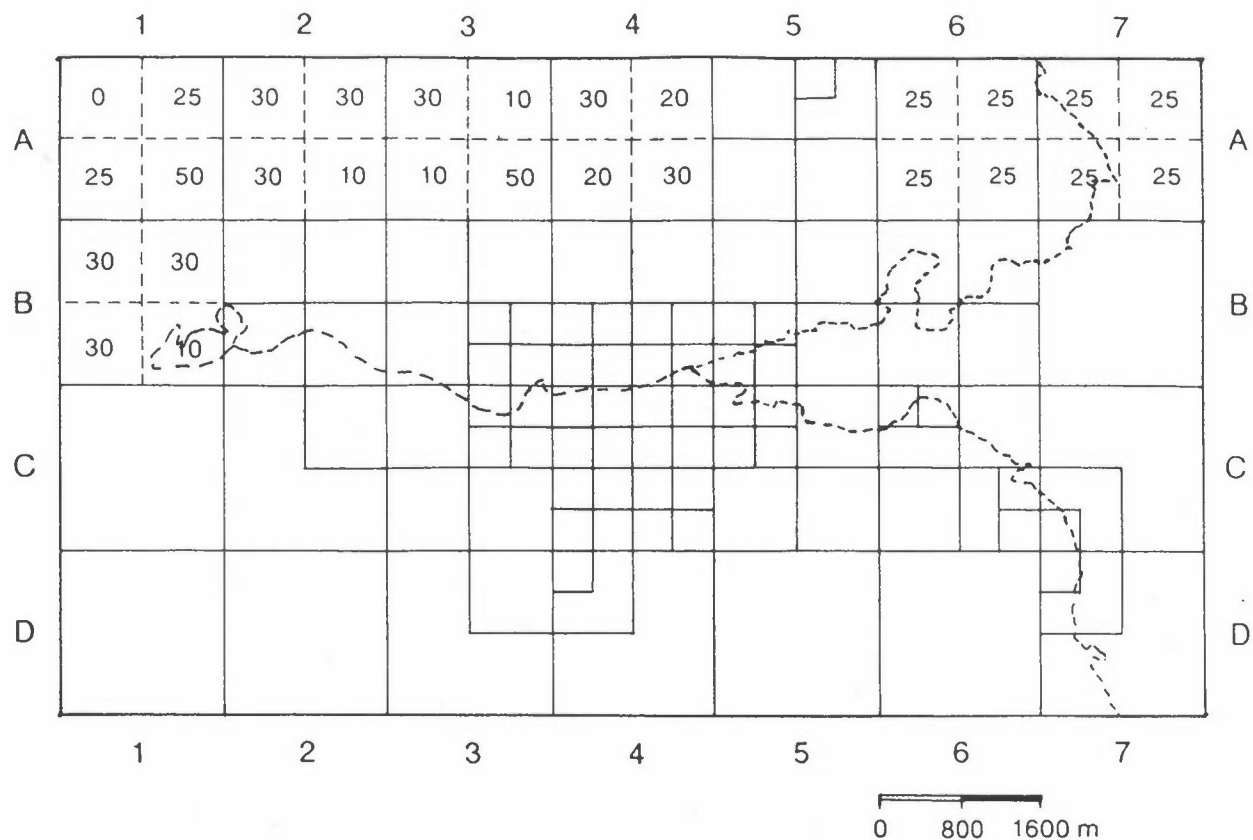
## 2 DATAGRUNNLAG

### 2.1 UTSLIPPSDATA

VBB trafik har utarbeidet en utslippsoversikt for hvert av de fem scenariene, bestående av utslippsdata for  $\text{NO}_x$  fra alle kilder i området. For hvert scenarium er det gitt utslippsdata for følgende kildegrupper:

- personbiltrafikk
- lastebiltrafikk
- busstrafikk
- energiproduksjon (oljeforbrenning)
- industri og andre kilder

For hver kildegruppe er utslippsdata gitt for et rutenett (g  $\text{NO}_x$  /time pr. rute). VBB's rutenett er vist i figur 2.



Figur 2: VBBs rutesystem for utslipp av  $\text{NO}_x$  i Sundsvall fordelt på 1 600-, 800- og 400-m ruter.  
Tallene i rutene viser den prosentvise fordeling av utslipp fra 1 600-m ruter til 800-m ruter som er nyttet.

Rutenettet består av ruter i tre størrelser: Store ruter ( $1\ 600 \times 1\ 600\ \text{m}^2$ ), middels store ruter ( $800 \times 800\ \text{m}^2$ ) og småruter ( $400 \times 400\ \text{m}^2$ ). I sentrum av Sundsvall er utslippene gitt i 400-meters ruter, mens i utkanten av området er utslippene gitt i 1 600-meters ruter.

I modellberegningene har det vært nødvendig å operere med et uniformt rutenett bestående av 400-meters ruter. De større rutene er derfor oppdelt i 400-meters-ruter. Det resulterende rutenettet for utslipp er på  $28 \times 16$  ruter á  $400 \times 400\ \text{m}^2$ .

I oppdelingen er utslippstall for 1 600-meters rutene blitt prosentvis fordelt på 800-meters rutene. Prosenttallene som er benyttet er vist i figur 2. De er basert på kartinformasjon. Deretter er alle utslippstall for 800-meters rutene blitt fordelt likt på hver av de fire 400-meters rutene.

På grunn av den jevne fordelingen av 800-meters utslippene over 400-meters rutene er utslipp noen få steder blitt lagt over områder med vann på kartet, men dette har hatt relativt liten innvirkning på beregningsresultatene.

Alle utslippstall (i g NO<sub>x</sub>/time) er gitt i vedlegg B-F i form av tallmatriser for hvert scenarium. Utslipp fra trafikk samt totalt utslipp er også gitt i kapittel 4 i form av isoplott.

Det er kun utslipp fra trafikk som varierer i scenariene. Utslipp fra energiproduksjon og industri er det samme for alle scenariene.

Under er det gitt en nærmere beskrivelse av hver kildegruppe.

### Trafikk

Data er gitt separat for personbiler, lastebiler og busser i rushtidstrafikk (maksimale utslipp over en time).

Disse er basert på VBB's oversikt over veisystemet i Sundsvall med skille mellom hovedveier, hovedgater, oppsamlingsgater og lokalgater. Dataene er videre basert på trafikkmengde, veilengder og gjennomsnittlig kjørehastighet for hver veitype.

En stor del av trafikken gjennom Sundsvall går på E4.

For en nærmere beskrivelse av utslippsfaktorer for veitrafikk, se vedlegg A.

### Energiproduksjon

Dette er hovedsakelig utslipp fra boligoppvarming (oljeforbrenning), samt utslipp fra fjernvarmeanlegg (Gjerde og Sidsjö). Utslippsdataene gjelder gjennomsnittsutslipp for vinterhalvår.

I spredningsberegnene har NILU multiplisert VBB's opprinnelige tall for utslipp fra energi med faktoren 1,75. Dette er gjort for å få et estimat av utslippet en vinterdag med temperatur  $-10^{\circ}\text{C}$ .

Med i denne utslippsgruppen hører også Korsta varmeverk. Denne kilden er en av de større i Sundsvall med et samlet utslipp på 88,2 kg/time. Den er i spredningsberegnene behandlet som punktkilde.

Utslippsdata for Korsta varmeverk er vist i tabell 1. Her er  $(x, y)$  utslippets posisjon i rutenettet,  $Q$  utslippsmengde,  $z$  pipehøyde (utslipphøyde),  $v_z$  avgasshastighet,  $t$  gasstemperatur, og  $D$  pipediameter.

Tabell 1: Utslippsdata for punktkilder.

	$(x, y)$	$Q$ kg $\text{NO}_x$ /time	$z$ m	$D$ m	$v_z$ m/s	$t$ $^{\circ}\text{C}$
Korsta "fastbransle-pannan"	(9,8, 5,6)	14,4	105	1	25	170
Korsta "hetvatten-pannan"	(9,8, 5,6)	3,2	105	1,3	15	110
Korsta "kraftverket"	(9,8, 5,6)	70,6	105	2,0	18	110
Ortviken pappersbruk	(8,6, 4,0)	50,0	90	4,0	10	135

Alle andre kilder i gruppen energiproduksjon har et utslipp på mindre enn 1,1 kg/time. De er derfor i beregningene behandlet som arealkilder (fordelt over ruter).

### Industri m.m

Dette er utslipp fra forskjellig småindustri i Sundsvall. Kilder med i denne gruppen er bl.a. Pripps industrier, NNP, Slakteriet, Volvo, Apport Foto, oljeterminalen samt GA Metall.

Til denne gruppen hører også Ortviken pappersbruk med et utslipp på 50 kg/time. Denne kilden er i spredningsberegnene behandlet som punktkilde. Utslippsdata for Ortviken pappersbruk er vist i tabell 1.

Alle andre kilder i denne gruppen har et utslipp på mindre enn 1,1 kg/time. De er derfor i beregningene behandlet som arealkilder (fordelt over ruter).

### 2.2 NO<sub>x</sub>-MÅLINGER I SUNDSVALL SENTRUM

Resultater av målinger utført på målestasjonen på Stadshuset er studert, og en del av resultatene er beskrevet i vedlegg G. Måling av NO<sub>x</sub> og NO<sub>2</sub> er utført med kontinuerlig registrerende instrument (metode: kjemiluminescens) på et punkt 12-13 meter oppe på fasaden som vender mot Stora Torget. Målestasjonen anses ikke belastet fra helt lokale, nærliggende utslipp. Vi har sett på resultater fra perioden desember 1986-oktober 1989, samt januar 1990. I januar 1990 ble målinger av NO<sub>x</sub>, NO<sub>2</sub> og O<sub>3</sub> også utført med DOAS-instrument langs "måle-løyper" fra Stadshuset mot nordøst (ca. 450 m lang sløyfe (NO<sub>2</sub>, O<sub>3</sub>)) og mot sør (ca. 150 m lang sløyfe (NO, NO<sub>2</sub>, O<sub>3</sub>)) (se figur 1). I januar 1990 ble det målt samtidig med begge metoder. Resultatene viser at de høye NO<sub>x</sub>- og NO<sub>2</sub>-konsentrasjoner som måles på Stadshuset også måles langs de to DOAS-løypene på tvers av dalen (se vedlegg G). Problemet er altså ikke lokalisert bare til området rundt Stadshuset, men strekker seg over en større del av dalbredden, i det minste strekningen på 600 m fra Norrmalmsgatan til Köpmangatan.

Resultatene viser også at de høye forurensningsnivåer i sentrum opptrer typisk ved følgende meteorologiske situasjoner:

1. Svak, vedvarende vind fra vest: Maks  $\text{NO}_x$ : 400-600  $\mu\text{g}/\text{m}^3$   
Maks  $\text{NO}_2$ : 100-200  $\mu\text{g}/\text{m}^3$
2. Stagnasjonssituasjon, der svak vestlig vind snur ut på dagen til svak østlig vind (svak sjøbris):  
Maks  $\text{NO}_x$ : 600-1 200  $\mu\text{g}/\text{m}^3$   
Maks  $\text{NO}_2$ : opp mot 200  $\mu\text{g}/\text{m}^3$

Dette er de ikke sjeldent forekommende situasjoner og maksimal-konsentrasjoner. Situasjon 2 opptrer vesentlig sjeldnere enn situasjon 1. I enkelte situasjoner er det på Stadshuset målt  $\text{NO}_2$ -konsentrasjoner så høye som 300-310  $\mu\text{g}/\text{m}^3$  i 1-2 timer. Dette er svært høye  $\text{NO}_2$ -nivåer som ikke lar seg forklare ut fra samtidig målt  $\text{NO}_x$ -konsentrasjon og kunnskapen om  $\text{NO}-\text{NO}_2$ -reaksjoner i tettsteder i Norden om vinteren, med mindre hoveddelen av  $\text{NO}_x$ -utsippet kommer fra tomgangskjøring av biler.

Det bør her nevnes at det er avvik mellom målingene på Stadshuset med kjemiluminescens og målingene langs måleløyper fra Stadshuset mot nordøst og sørvest, med DOAS-instrument. Vinteren 1990 ble det utført målinger samtidig med begge instrumenter. Dette er beskrevet i vedlegg G.

Når det gjelder  $\text{NO}_x$  gir de to metodene omrent samme resultat. Når det gjelder  $\text{NO}_2$  derimot, er det avvik i perioder med høyt forurensningsnivå. Kjemiluminescens-instrumentet gir vesentlig mer  $\text{NO}_2$ , og derved også vesentlig høyere  $\text{NO}_2$ -andel av  $\text{NO}_x$ , enn DOAS-instrumentet (se figur G12-16). DOAS-instrumentet gir  $\text{NO}_2$ -andeler på 10-15% i perioder med høy forurensningsgrad. Dette svarer til det NILU typisk måler i norske byer i tilsvarende situasjoner. Vi har ikke nok informasjon til å avgjøre årsaken til avviket i måleresultatene fra de to instrumentene.

Grennfelt (1985) har tidligere estimert de maksimale timesverdier av  $\text{NO}_2$  som vil opptre i Sundsvall basert på døgnmiddel-målinger av  $\text{NO}_2$  på Stadshuset vinteren 1983 og 1984. Estimert 99-prosentil av 1-times middelverdi av  $\text{NO}_2$  på årsbasis var  $142 \mu\text{g}/\text{m}^3$ , med en usikkerhet på høyest  $\pm 30\%$ .

### 3 METODIKK

#### 3.1 BEREGNINGSSOPPLEGG

Beregningene skal gi den romlige utbredelsen av episodisk høy forurensningsgrad for  $\text{NO}_x$  og  $\text{NO}_2$  i Sundsvall. Beregningene måtte derved kunne simulere høye timesmiddelverdier.

I våre beregninger søker vi å simulere de situasjoner som er beskrevet under pkt. 1 og 2 ovenfor.

Tidsrammen for prosjektet var i utgangspunktet stram. Det ble derfor tilbudt å utføre beregningene med en generell multippel kilde gaussisk spredningsmodell (Böhler, 1987; Gram, 1988) for utvalgte, stasjonære meteorologiske situasjoner på timebasis. For en nærmere beskrivelse av denne type spredningsmodell anvendt på byområder, se også Calder (1971) eller Fortak (1970). Modellen er utviklet for å beregne langtidsmiddelverdier av forurensning, men kan benyttes også for idealiserte stasjonære meteorologiske situasjoner på timebasis. I modellen beregnes utslippet å bli jevnt fordelt over  $30^\circ$ -sektorer rundt middelvindretningen.

I utgangspunktet kan meteorologisk situasjon 1 (svak stasjonær vind fra vest) simuleres med denne modellen. Windsituasjon 2 (stagnasjonssituasjon), med vindretnings-skift, lar seg derimot ikke simulere med denne enkle modellen. Meteorologisk situasjon 2 velger vi å forenkle til en situasjon med svak, stasjonær østlig vind. Vi tar da ikke i beregningen hensyn til at luften som kommer inn over Sundsvall fra øst i en slik situasjon allerede er forurenset av Sundsvall-utslipps. Dette må tas med i

vurderingen av beregningsresultatene. Denne simuleringen vil imidlertid sammen med vindsituasjon 1 gi grunnlag for å anslå hvor stort område vest for sentrum som i ekstrem-situasjoner kan få høye forurensningskonsentrasjoner som et resultat av utslipp i sentrum og vest for sentrum.

Valget av meteorologiske parametre og spredningsparametre i beregningene ble basert på topografien i Sundsvall, samt at beregningene skulle gi forurensningsverdier i sentrum på høyde med det som faktisk er målt der.

Etter en del testkjøringer ble følgende parametre valgt for å simulere de to meteorologiske situasjonene nevnt ovenfor:

Vindsituasjon 1. Svak vind fra vest: vindretning  $280^{\circ}$ , vindstyrke 1 m/s og sterkt stabil atmosfærisk temperatur-sjiktning.

Vindsituasjon 2. Svak vind fra øst (retning  $100^{\circ}$ , vindstyrke 0,5 m/s) og sterkt stabil atmosfærisk temperatur-sjiktning.

Sett under ett vil beregningene gjort for vindsituasjon 1 og 2 gi et utgangspunkt for å avgrense det området i Sundsvall som kan få svært høye forurensningsnivåer i episoder med dårlige spredningsforhold og stasjonær vind som beskrevet.

Utslippene er kartlagt i 400-meters-ruter. I beregningene fordeles utsippet jevnt over hele ruten. Beregningene gir én konsentrasjonsverdi i hver rute. Den gjelder midtpunktet av ruten, og representerer en beregnet gjennomsnittsverdi for ruten. Beregningene gir ikke grunnlag for å differensiere mellom ulike deler av en rute.

Topografien i området styrer vindretningen nær dal-aksen og begrenser på denne måten utbredelsen av forurensningsutslipp. Lokale føringer ved åssider og drenasje vind ned smådaler, som

f.eks. Sidsjöbäcken, gir tilførsel av ren luft. Dette kan spesielt føre til urealistiske beregningsverdier i noen områder, spesielt i området opp mot Norra Stadsberget ved vind fra øst. Dette må tas hensyn til ved vurderingen av beregningsresultatene.

Beregningene som utføres har størst nøyaktighet i dalbunnen. Topografiske effekter i områdene oppover ås-sidene har liten betydning for konsentrasjonene nær dalaksen. I områdene ut mot ås-sidene kan de topografiske effekter påvirke konsentrasjonene. På den ene siden begrenses spredningen horisontalt inn mot ås-siden. Dette øker forurensningen noe. På den annen side kan drenasje vind ned ås-siden, når den kan forekomme ved sterk strålingsinversjon, føre til lavere konsentrasjoner nær ås-sidene. Netto-effekten av dette kan både gi noe høyere og noe lavere konsentrasjoner enn de som er beregnet, avhengig av inversjonsforholdene.

### 3.2 VALG AV MODELL-PARAMETRE

For de to vindsituasjonene ble det kjørt en del testkjøringer for ulike valg av vindstyrke, atmosfærisk stabilitet og spredningsparametre. Testene viste at de spredningsparametre som vanligvis anses anvendbare i byområder i Norden (McElroy-Poolers parametre) ga for stor initialsprengning og derved vesentlig lavere  $\text{NO}_x$ -konsentrasjoner (timesverdier) enn det som er målt i sentrum. Dette gjaldt begge vindsituasjonene. Beregningene ble utført med Brookhaven spredningsparametre samt beskrivelse av blandingen rundt bygninger. Disse parametre gir svært dårlig vertikal spredning. Sporstoffforsøk utført i småbyer i Norge viser at i episoder kan vertikalblanding bli meget dårlig. Spredningsberegningene med Brookhavens parametre ga  $\text{NO}_x$ -konsentrasjoner i Sundsvall sentrum på høyde med det som faktisk er målt.

I begge situasjoner regnes angitt vindstyrke og vindretning å opptre i 10 meters høyde. Det er i alle beregninger benyttet en "bokshøyde" på 10 meter (ruhetselement) som inngår i beregningen av initialspreningen rundt bygninger. Dette er standard for denne typen byområder. For trafikk (personbiler, lastebiler, og busser) er utslipphøyden satt til 1 meter over bakken.

### 3.3 BEREKNING AV NO<sub>2</sub>

NO<sub>2</sub>-konsentrasjonen er for hver kildegruppe regnet som en prosentandel av NO<sub>x</sub>-konsentrasjonen. Prosentallene for de forskjellige kildegruppene er gitt i Tabell 3.

Tabell 3: Prosentandel av NO<sub>2</sub> fra NO<sub>x</sub> for hver kildegruppe.

	%-andel
Personbiler	5
Lastebiler	15
Busser	15
Energiprod.	10
Industri m.m	10

Nyere resultater fra utslippsmålinger foretatt ved Bilavgaslaboratoriet i Studsvik tyder på at følgende NO<sub>2</sub>-andeler av NO<sub>x</sub> for bensindrevne personbiler er riktige:

Bensindrevne personbiler uten katalysator : 3%  
 Bensindrevne personbiler med 3-veis katalysator: 6%

Disse tall er fortsatt usikre. Dieseldrevne personbiler har en NO<sub>2</sub>-andel på 15-20%.

Når en NO<sub>2</sub>-andel på 5% benyttes for personbiler for alle scenerier betyr det at NO<sub>2</sub>-konsentrasjonen overvurderes noe for

dagens forhold (mindre enn 5%), mens beregningene for år 2000 representerer faktisk NO<sub>2</sub>-andel ved dette tidspunktet.

Når det gjelder total NO<sub>2</sub>-konsentrasjon må kjemisk omvandling av NO til NO<sub>2</sub> tas i betraktning. Under vinterforhold i Norden er det vanlig å regne at NO<sub>2</sub>-dannelsen hovedsakelig skyldes oksidasjon av NO ved hjelp av ozon (O<sub>3</sub>).

Dette bidraget av NO<sub>2</sub> fra ozon varierer med tiden. Regional ozon-konsentrasjon i Norden varierer innenfor 20-100 µg/m<sup>3</sup> om vinteren. I beregningene er det brukt en verdi for NO<sub>2</sub>-bidraget fra ozon på 60 µg NO<sub>2</sub>/m<sup>3</sup> for alle scenariene.

## 4 RESULTATER

Beregningene har tatt sikte på å besvare følgende spørsmål:

- a. Hvordan varierer forurensningskonsentrasjonen generelt ("over tak") innenfor byområdet (romlig fordeling)?  
Særlig viktig er utstrekningen av området med høye NO<sub>x</sub> og NO<sub>2</sub>-verdier.
- b. Hvor mye bidrar de ulike kildegruppene til de høye NO<sub>x</sub>- og NO<sub>2</sub>-verdiene?
- c. Hvor mye bidrar de ulike tiltakene til å redusere NO<sub>2</sub>-konsentrasjonen?

Korsta varmeverk og Ortviken pappersbruk er som tidligere nevnt behandlet som punktkilder i spredningsberegningsene. Resultatet av beregningene av forurensningsbidrag fra disse to kildene har gitt som resultat at de ikke bidrar til forurensningskonsentrasjonene i Sundsvall i episoder med høy forurensning. Dette skyldes hovedsakelig at utsippene skjer i stor høyde, ca. 100 m over bakken, og at avgasstemperaturen er relativt høy ca. 100°C. Høyeste maksimal NO<sub>x</sub>-konsentrasjon i rutenettet ble beregnet til ca. 0,01 µg/m<sup>3</sup>.

I Tabell 4 er gitt samlet utslipp av NO<sub>x</sub> for hver kildegruppe og for hvert tiltak (scenarius). I tillegg er det gitt samlet utslipp fra trafikk og totalt. Korsta varmeverk og Ortviken pappersbruk er ikke tatt med i tabell 4.

Tabell 4: Totalt utslipp av NO<sub>x</sub> for hver kildegruppe og scenarius.

Enhet: tonn NO<sub>x</sub>/time.

	Sundsvall 1988	Scenarius 1	Scenarius 2	Scenarius 3	Scenarius 4
Personbiler	115	108	39	32	46
Lastebiler	90	85	68	68	81
Busser	13	13	4	10	4
Trafikk	219	207	112	109	131
Energi	49	49	49	49	49
Industri	6	6	6	6	6
Totalt	273	261	166	164	186

Som vi ser av tabell 4 er samlet utslipp høyest i dagens situasjon (Sundsvall, 1988), og lavest i scenarius 3 (utslippsfaktorer for biltrafikk for år 2000, samt økt satsing på kollektivtrafikk).

I tabell 5 og 6 presenteres maksimale beregnede NO<sub>x</sub>- og NO<sub>2</sub>-konsentrasjoner for hver kildegruppe og for hvert scenarius, for vindsituasjon 1.

Tabell 5: Beregnet maksimal-konsentrasjon av NO<sub>x</sub> (med rutekoordinat) for hver kildegruppe og scenarius.

Vind: 280°, 1 m/s. Enhet: µg NO<sub>x</sub>/m<sup>3</sup>.

	Sundsvall 1988	Scenarius 1	Scenarius 2	Scenarius 3	Scenarius 4
Personbiler	254 (18,8)	208 (18,8)	87 (18,8)	70 (18,8)	101 (18,8)
Lastebiler	164 (18,8)	136 (18,8)	124 (18,8)	124 (18,8)	147 (18,8)
Busser	34 (18,8)	34 (18,8)	11 (18,8)	24 (18,8)	11 (18,8)
Trafikk	452 (18,8)	379 (18,8)	223 (18,8)	218 (18,8)	260 (18,8)
Energi	78 (22,6)	78 (22,6)	78 (22,6)	78 (22,6)	78 (22,6)
Industri	26 (13,8)	26 (13,8)	26 (13,8)	26 (13,8)	26 (13,8)
Totalt	502 (18,8)	429 (18,8)	272 (18,8)	268 (18,8)	310 (18,8)

Tabell 6: Beregnet maksimal-konsentrasjon av  $\text{NO}_2$  (med rutekoordinat) for hver kildegruppe og scenarium.  
Vind =  $280^{\circ}$ , 1 m/s. Enhet:  $\mu\text{g NO}_2/\text{m}^3$ .

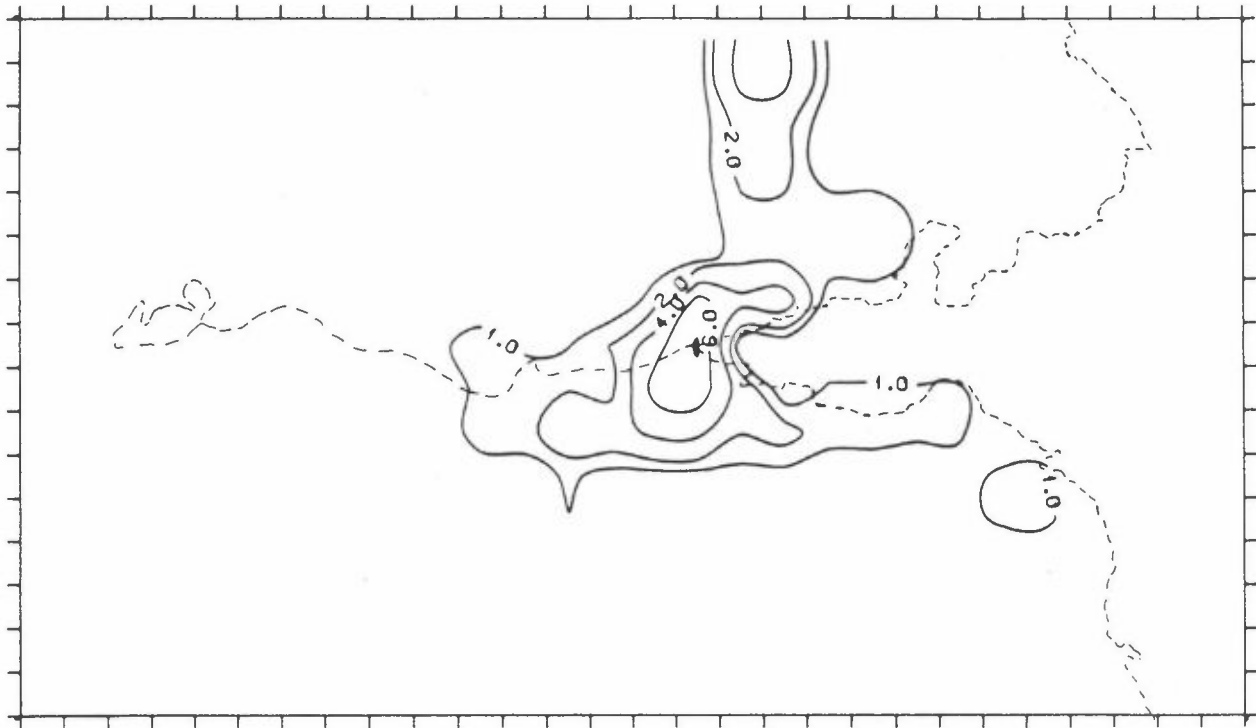
	Sundsvall 1988	Scenarium 1	Scenarium 2	Scenarium 3	Scenarium 4
Personbiler	13 (18,8)	10 (18,8)	4 (18,8)	3 (18,8)	5 (18,8)
Lastebiler	25 (18,8)	20 (18,8)	19 (18,8)	19 (18,8)	22 (18,8)
Busser	5 (18,8)	5 (18,8)	2 (18,8)	4 (18,8)	2 (18,8)
Trafikk	42 (18,8)	36 (18,8)	25 (18,8)	26 (18,8)	29 (18,8)
Energi	8 (22,6)	8 (22,6)	8 (22,6)	8 (22,6)	8 (22,6)
Industri	3 (13,8)	3 (13,8)	3 (13,8)	3 (13,8)	3 (13,8)
Ozon	60	60	60	60	60
Totalt	107 (18,8)	101 (18,8)	90 (18,8)	91 (18,8)	94 (18,8)

De beregnede maksimalkonsentrasjonene av  $\text{NO}_x$  i sentrum ligger innenfor det området der målingene typisk forekommer i episodene med svak vind fra vest.

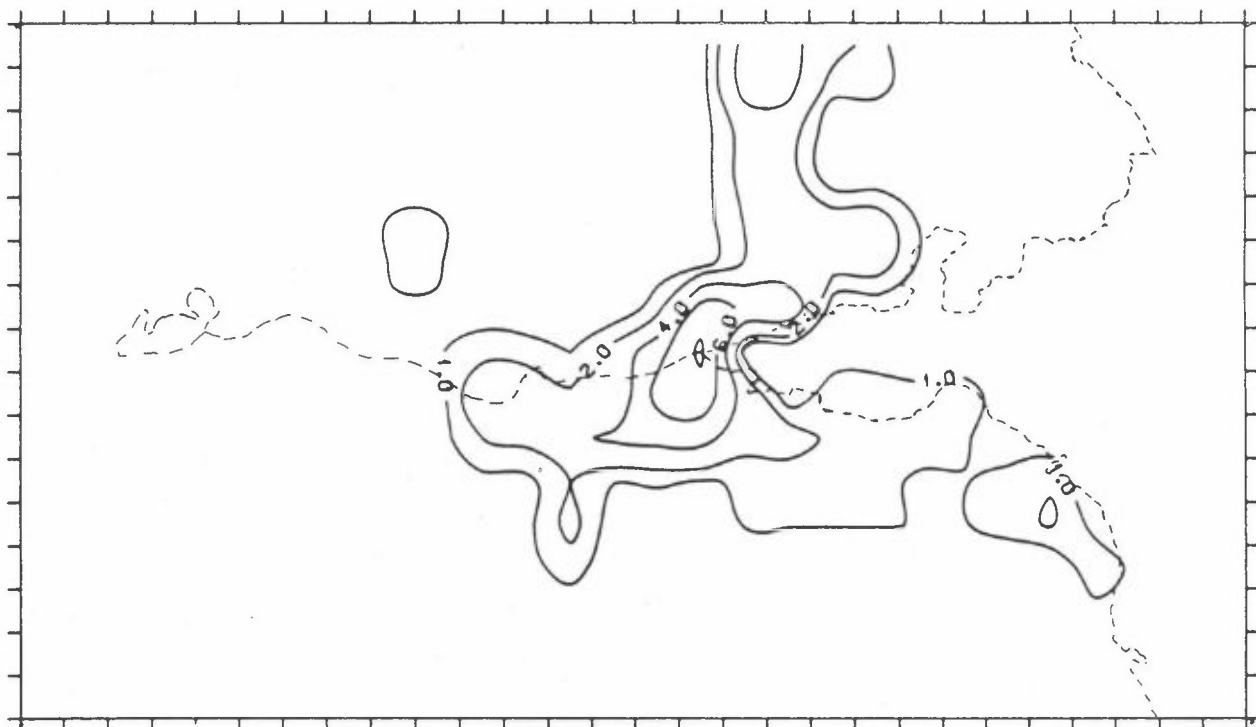
Når det gjelder  $\text{NO}_2$ , er de beregnede maksimal-konsentrasjoner noe lavere enn de som typisk måles med kjemiluminescens-instrumentet på Stadshuset. De stemmer bra med resultater av DOAS-målingene i januar 1990 langs løyper fra samme sted, mot nord og sør på tvers av dalen (se figur 1 og vedlegg G).

På de følgende sider er resultater gitt i form av romlig fordeling (isoplott) av utslipp samt konsentrasjoner for vind-situasjon 1. Figurene 3-4 viser utslippssintensitet (kg/time og 400-m-rute) av  $\text{NO}_x$  fra trafikk og totalt for dagens forhold (Sundsvall 1988), mens figurene 5-8 viser konsentrasjonsfordelinger av  $\text{NO}_x$  og  $\text{NO}_2$  for trafikk og totalt for dagens forhold (Sundsvall 1988).

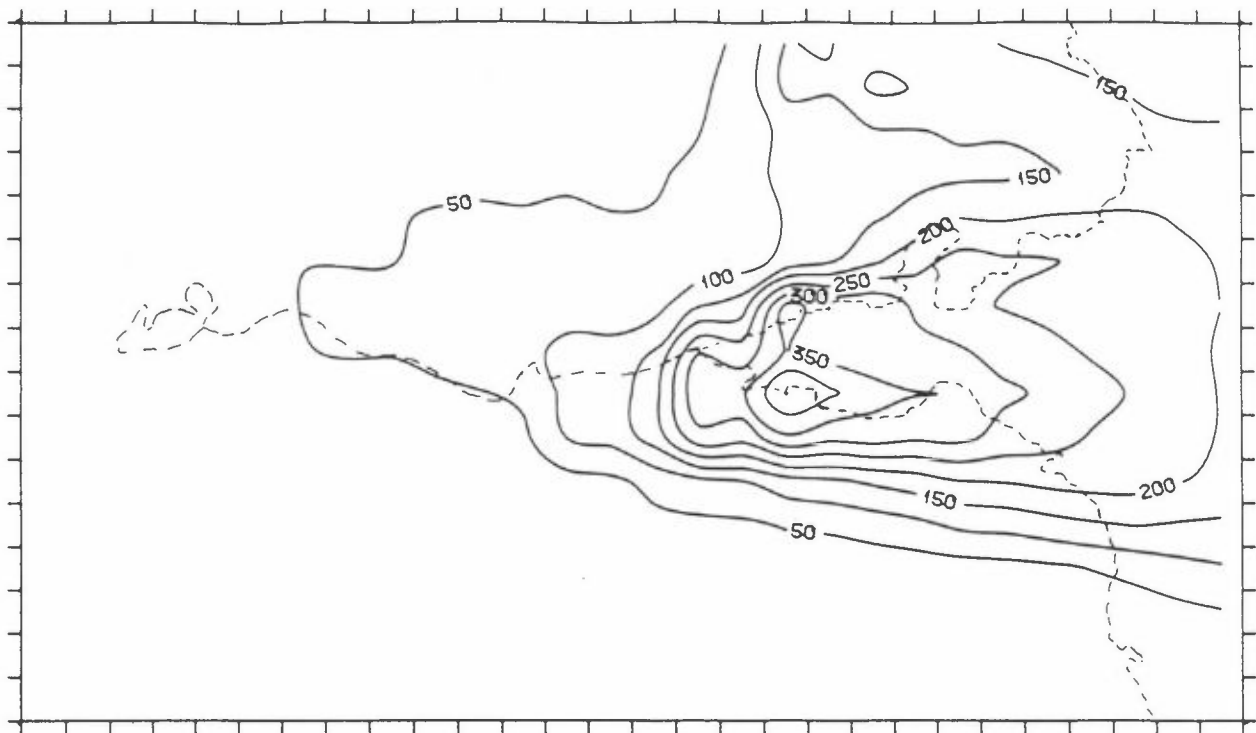
I figurene 9-32 vises tilsvarende resultater for scenariene 1-4.



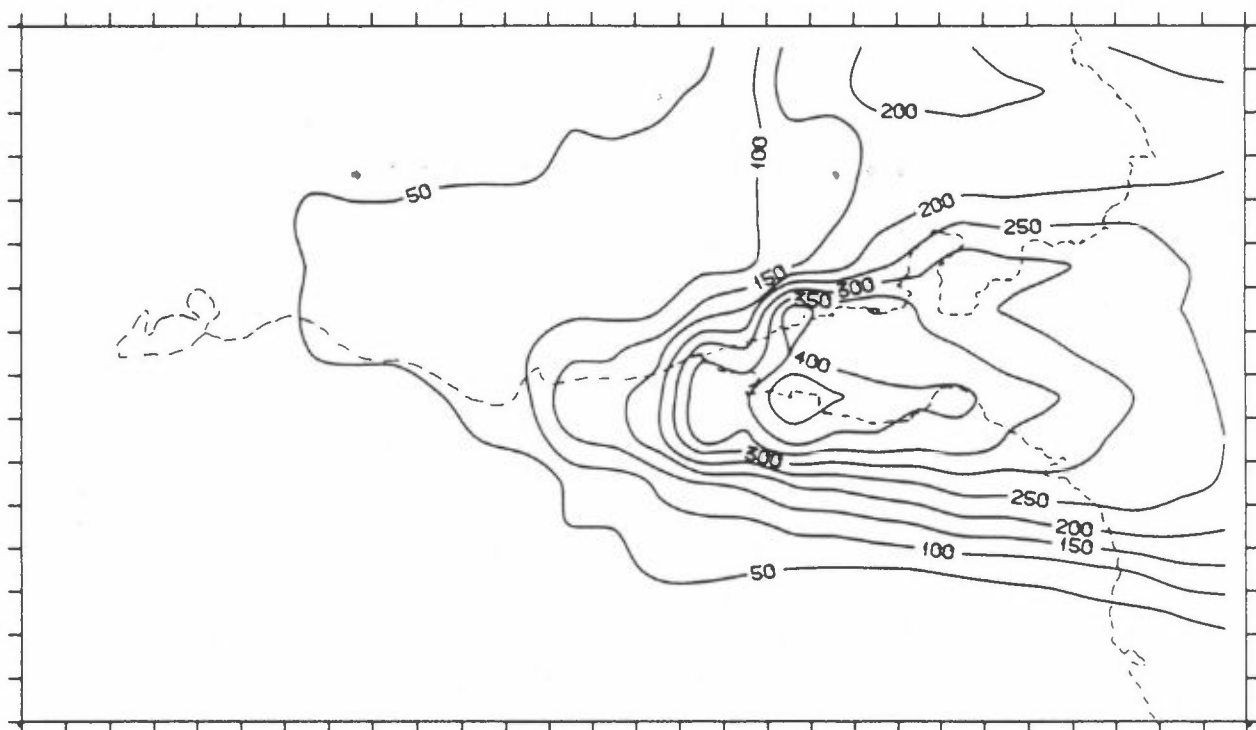
Figur 3: Utslippssintensitet av NO<sub>x</sub> fra trafikk for Sundsvall 1988. Enhet: kg NO<sub>x</sub>/time og rute.



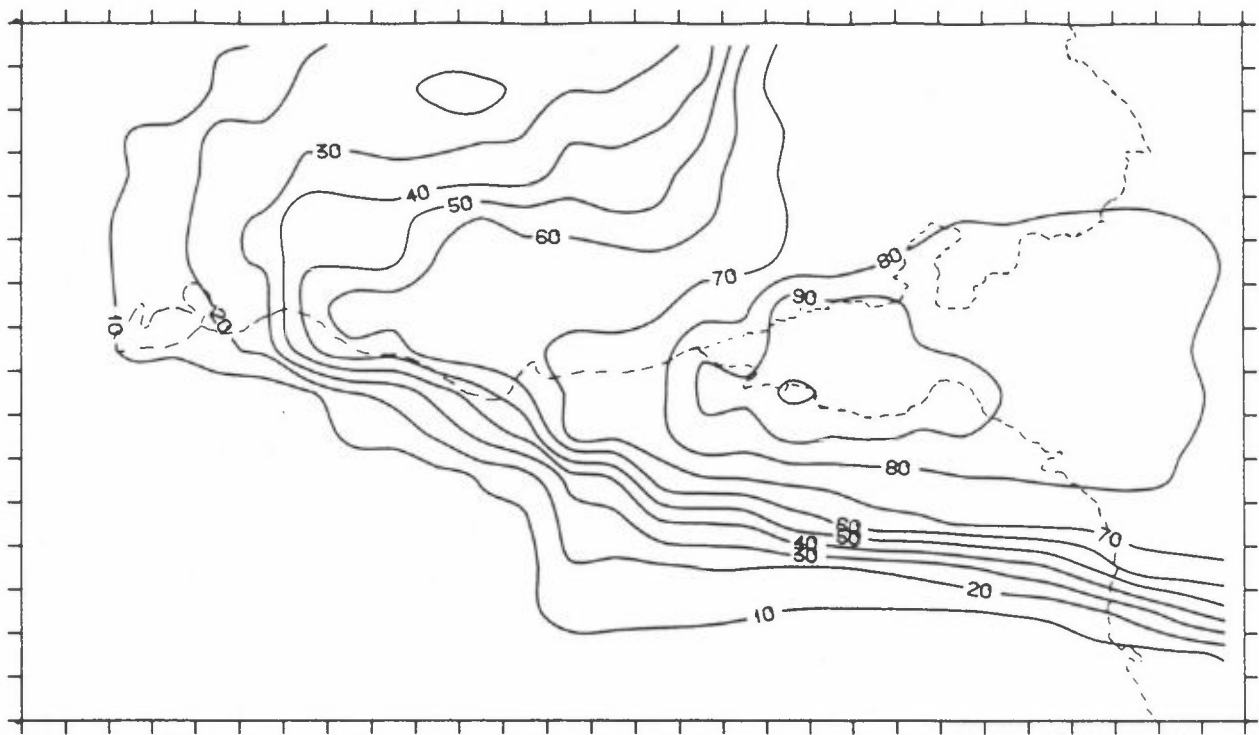
Figur 4: Total utslippssintensitet av NO<sub>x</sub> for Sundsvall 1988. Enhet: kg NO<sub>x</sub>/time og rute.



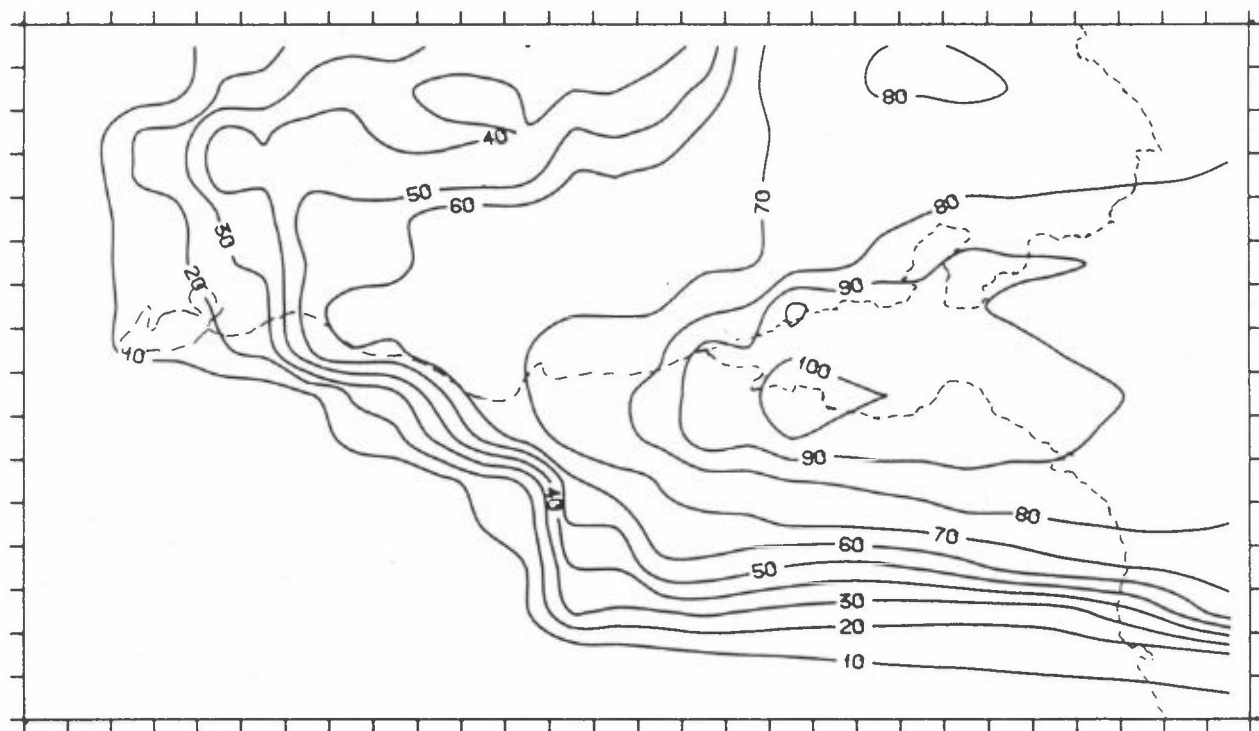
Figur 5: NO<sub>x</sub>-konsentrasjon fra trafikk for Sundsvall 1988.  
Vind: 280°, 1 m/s, Enhet: µg NO<sub>x</sub>/m<sup>3</sup>.



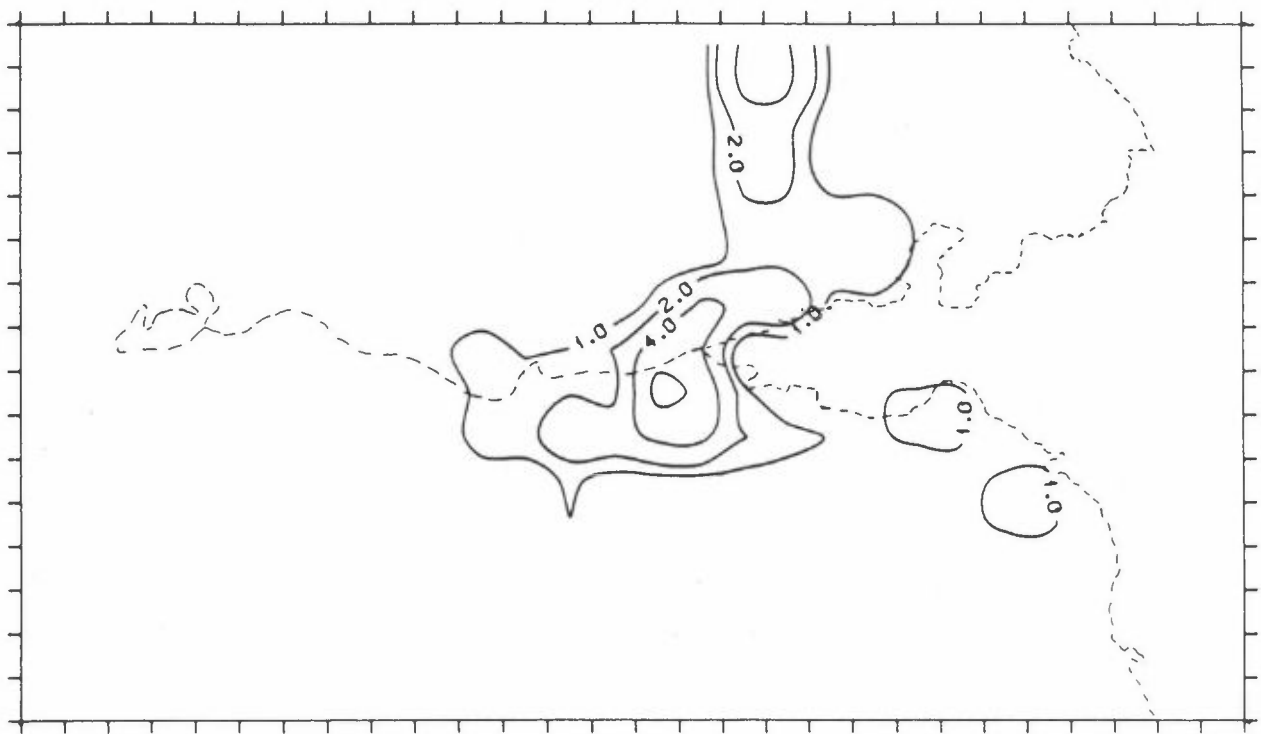
Figur 6: Total NO<sub>x</sub>-konsentrasjon for Sundsvall 1988.  
Vind: 280°, 1 m/s, Enhet: µg NO<sub>x</sub>/m<sup>3</sup>.



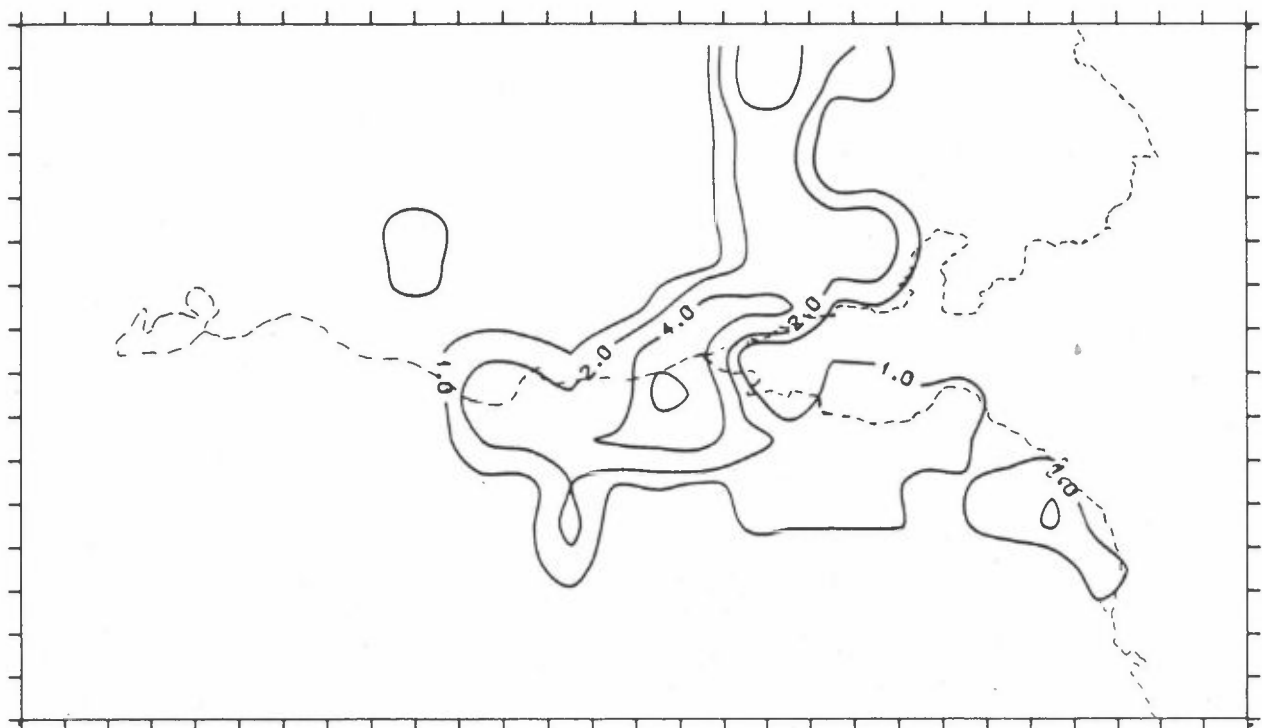
Figur 7:  $\text{NO}_2$ -konsentrasjon fra trafikk for Sundsvall 1988.  
Vind:  $280^\circ$ , 1 m/s, Enhett:  $\mu\text{g NO}_2/\text{m}^3$ .



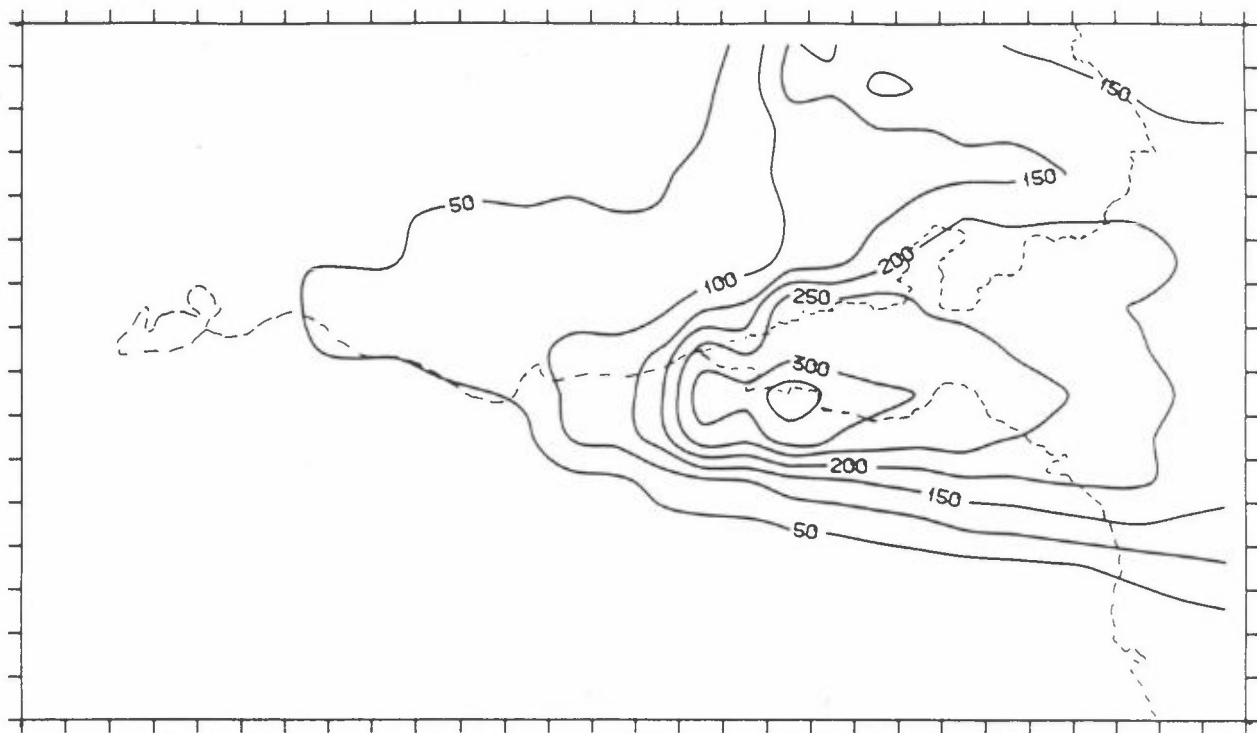
Figur 8: Total  $\text{NO}_2$ -konsentrasjon for Sundsvall 1988.  
Vind:  $280^\circ$ , 1 m/s, Enhett:  $\mu\text{g NO}_2/\text{m}^3$ .



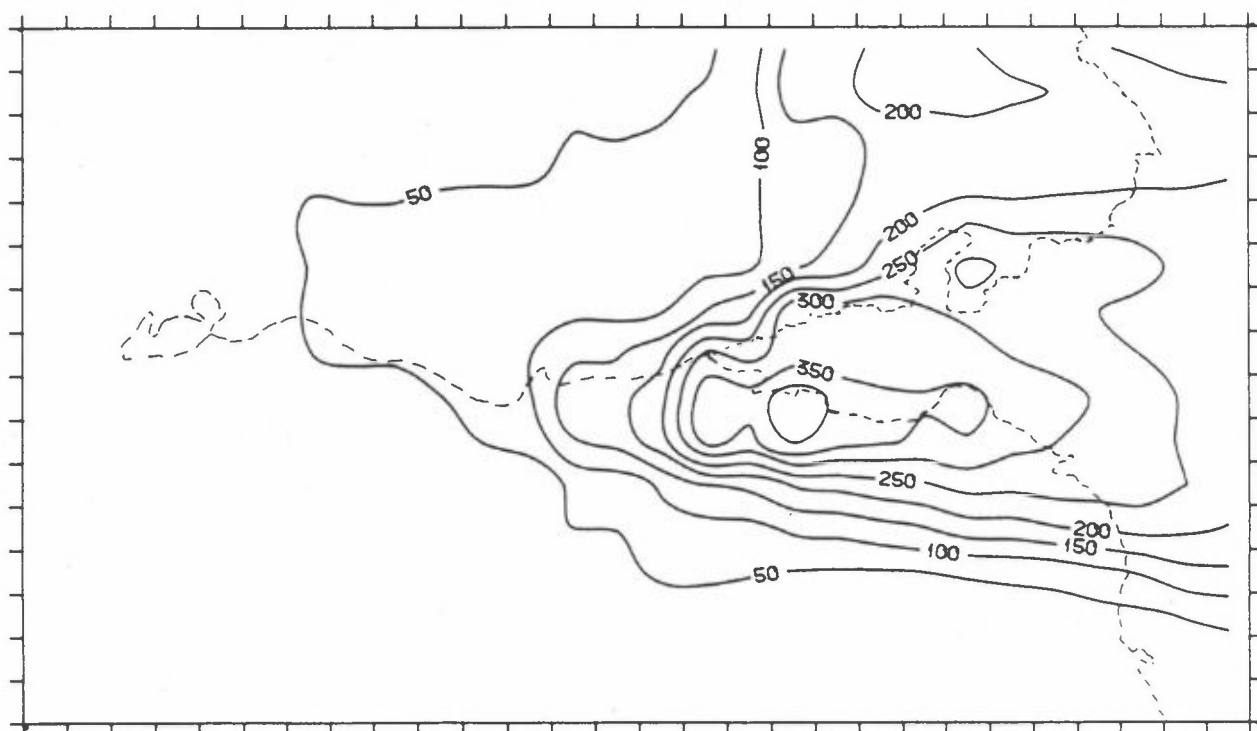
Figur 9: Utslippssintensitet av NO<sub>x</sub> fra trafikk under Scenari-  
um 1. Enhet: kg NO<sub>x</sub>/time og rute.



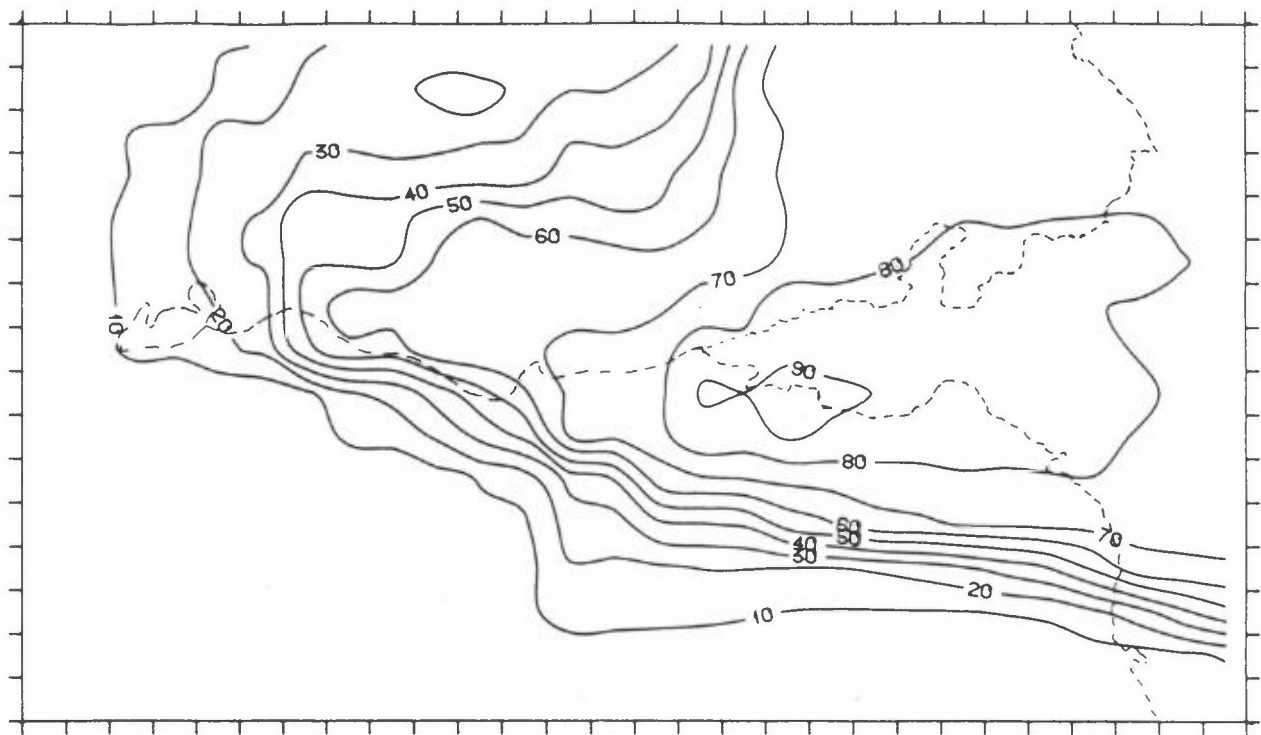
Figur 10: Total utslippssintensitet av NO<sub>x</sub> under Scenarium 1.  
Enhet: kg NO<sub>x</sub>/time og rute.



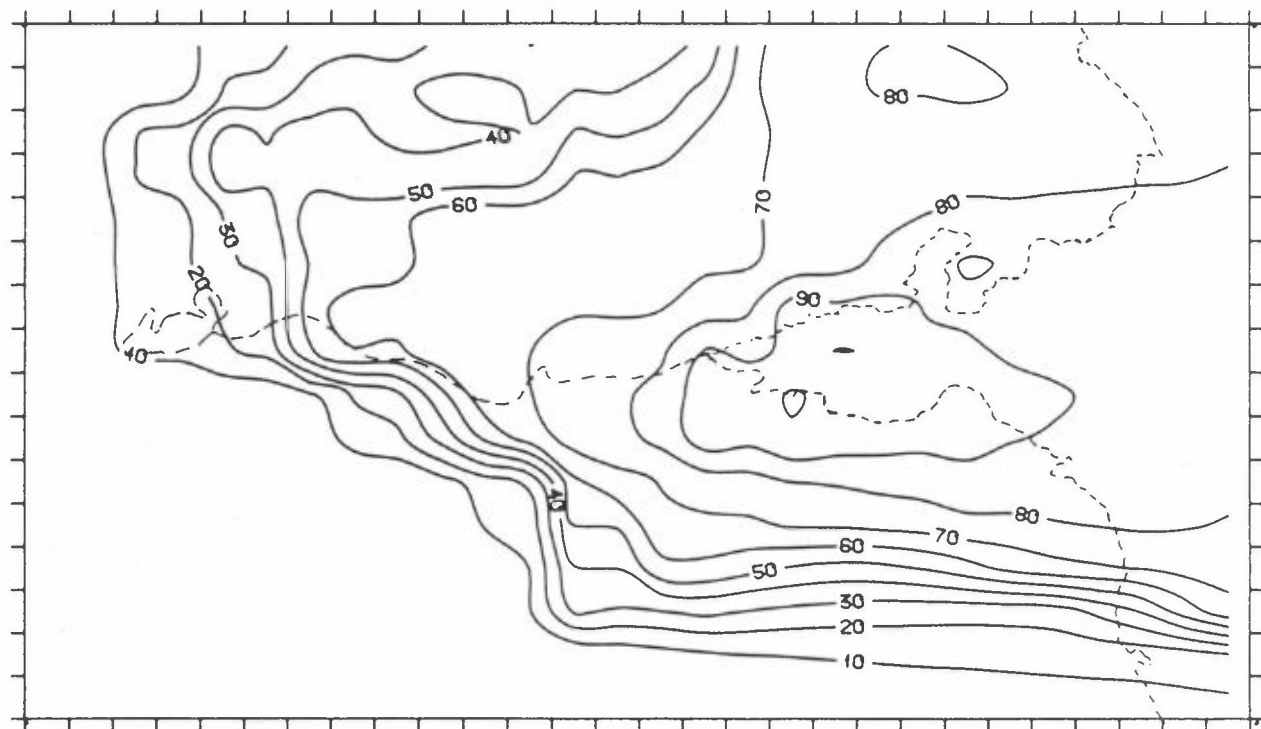
Figur 11:  $\text{NO}_x$ -konsentrasjon fra trafikk under Scenarium 1.  
Vind:  $280^{\circ}$ , 1 m/s, Enhet:  $\mu\text{g NO}_x/\text{m}^3$ .



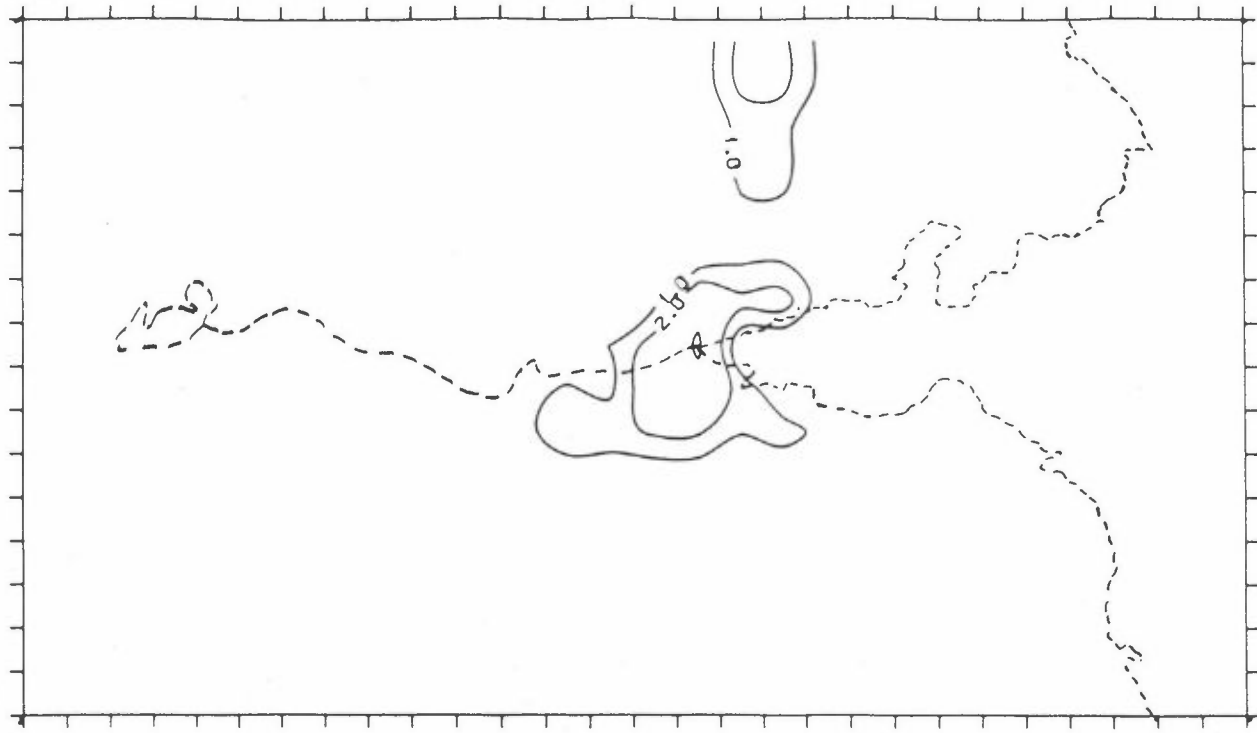
Figur 12: Total  $\text{NO}_x$ -konsentrasjon under Scenarium 1.  
Vind:  $280^{\circ}$ , 1 m/s, Enhet:  $\mu\text{g NO}_x/\text{m}^3$ .



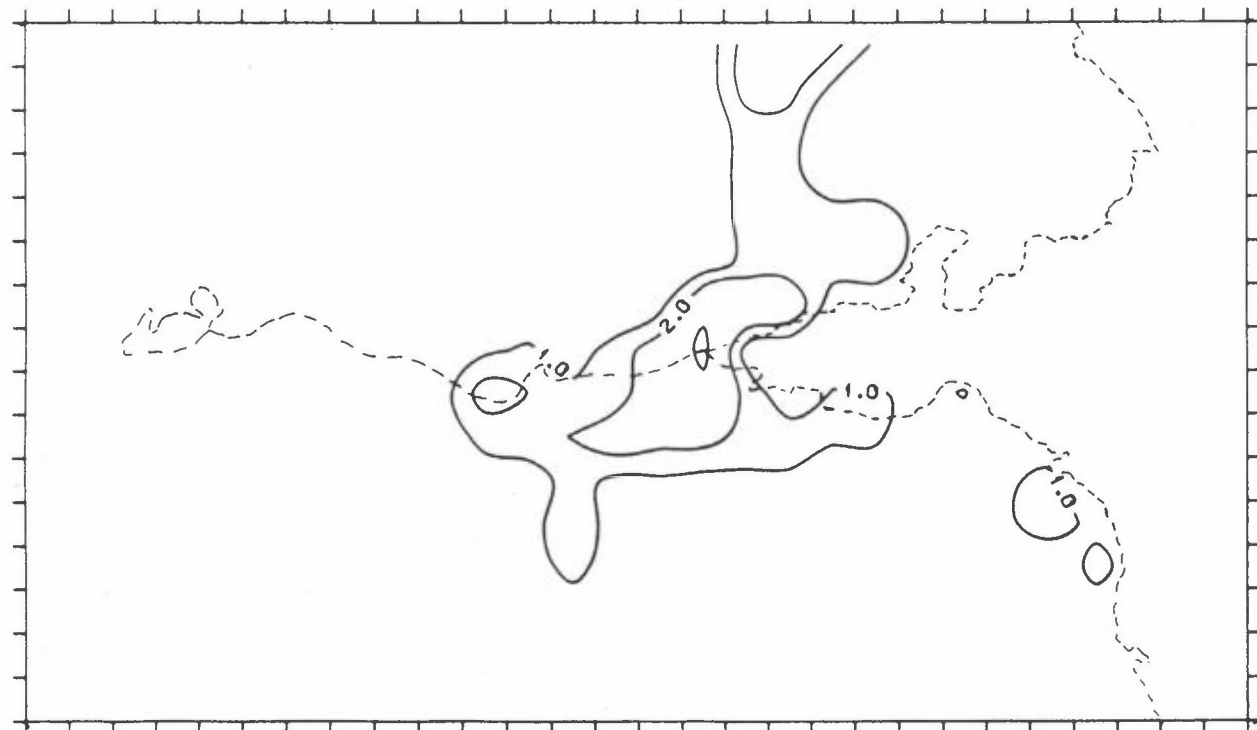
Figur 13:  $\text{NO}_2$ -konsentrasjon fra trafikk under Scenarium 1.  
Vind:  $280^{\circ}$ , 1 m/s, Enhet:  $\mu\text{g NO}_2/\text{m}^3$ .



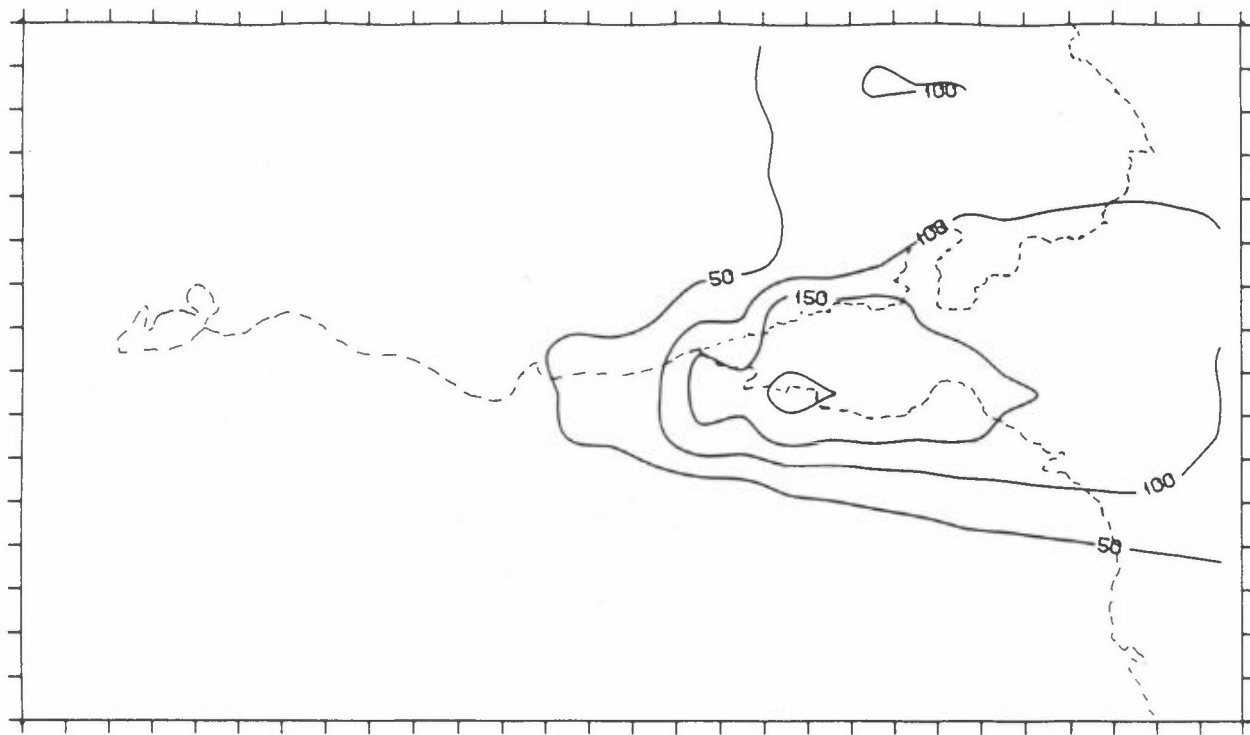
Figur 14: Total  $\text{NO}_2$ -konsentrasjon under Scenarium 1.  
Vind:  $280^{\circ}$ , 1 m/s, Enhet:  $\mu\text{g NO}_2/\text{m}^3$ .



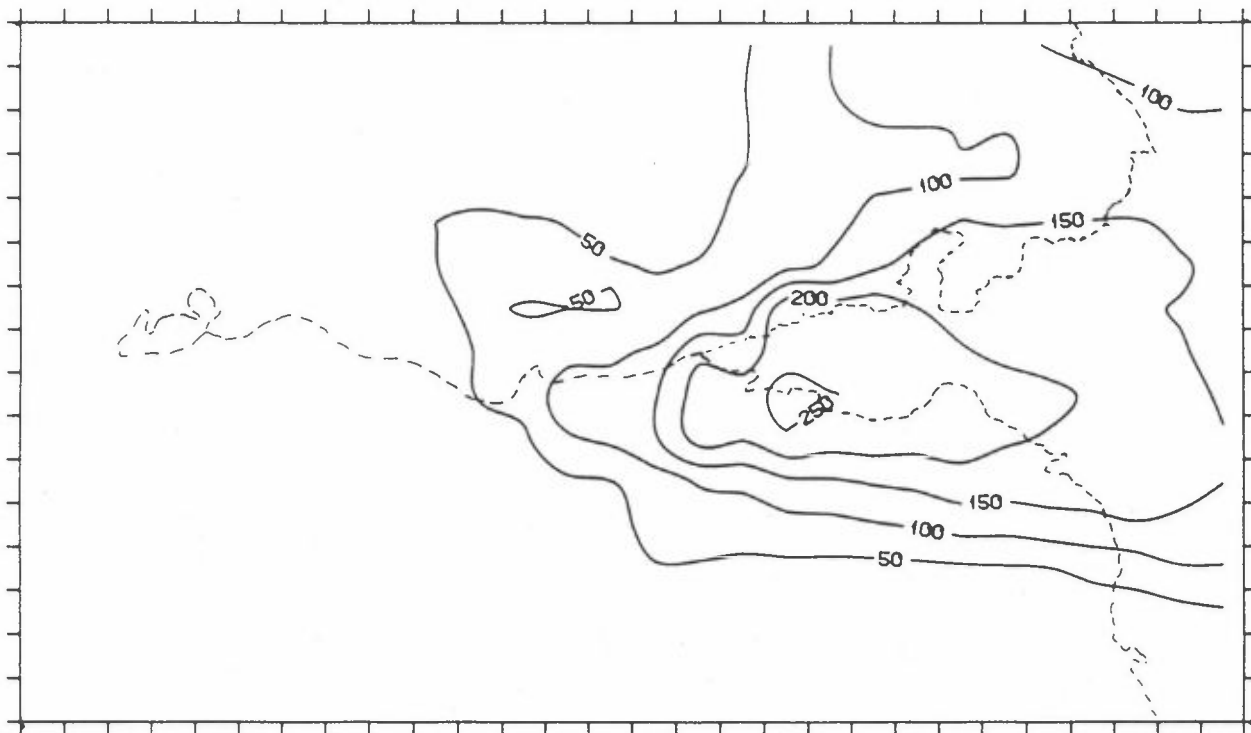
Figur 15: Utslippssintensitet av NO<sub>x</sub> fra trafikk under Scenari-  
um 2. Enhet: kg NO<sub>x</sub>/time og rute.



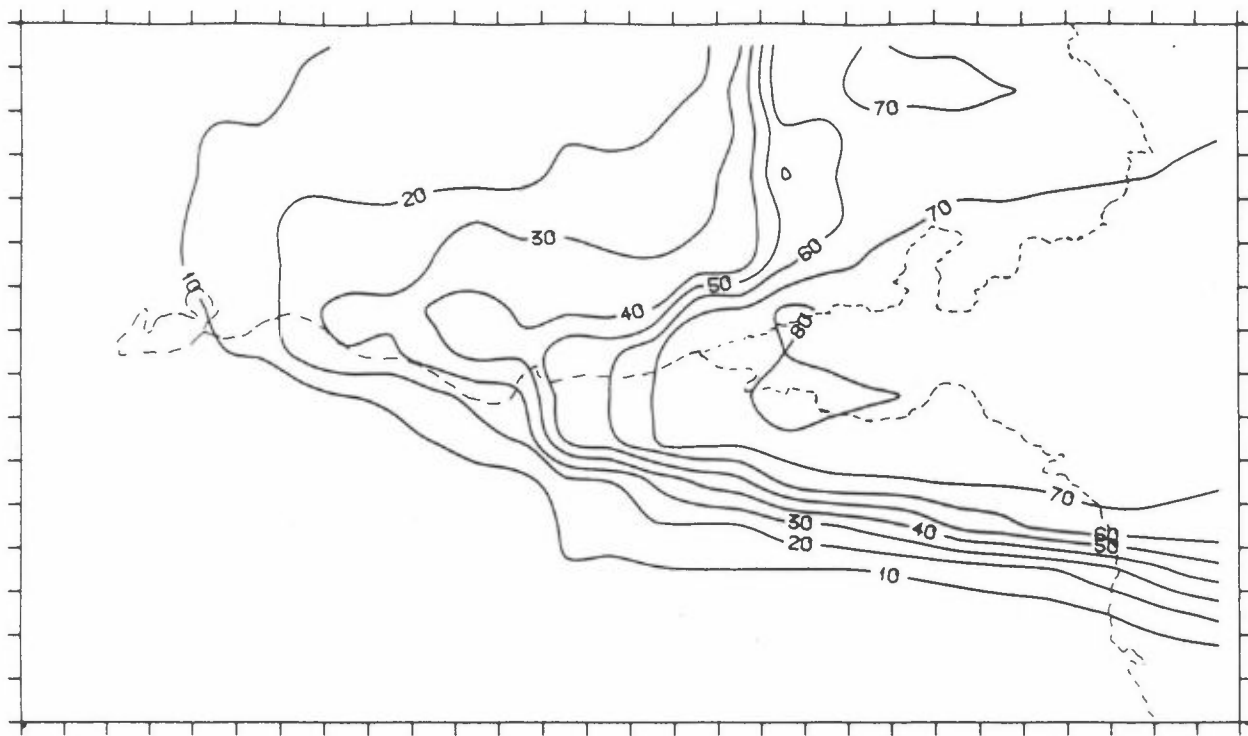
Figur 16: Total utslippssintensitet av NO<sub>x</sub> under Scenari-  
um 2. Enhet: kg NO<sub>x</sub>/time og rute.



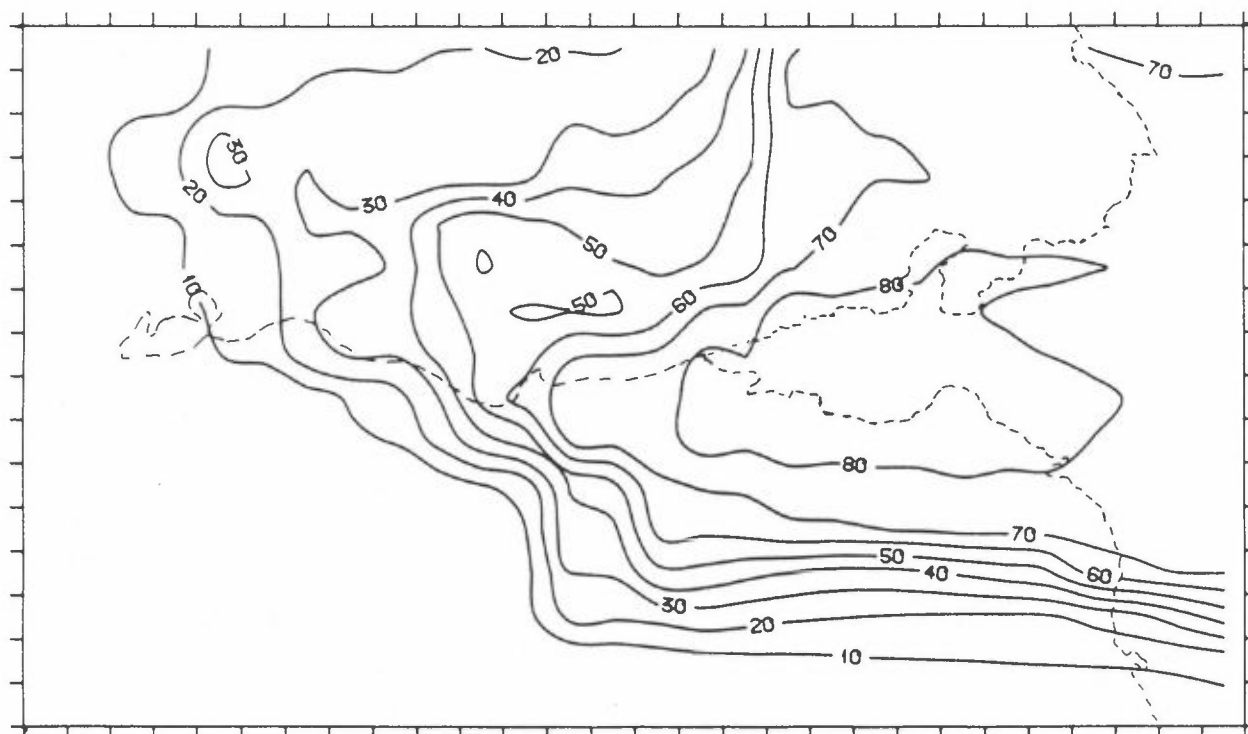
Figur 17: NO<sub>x</sub>-konsentrasjon fra trafikk under Scenarium 2.  
Vind: 280°, 1 m/s, Enhet:  $\mu\text{g NO}_x/\text{m}^3$ .



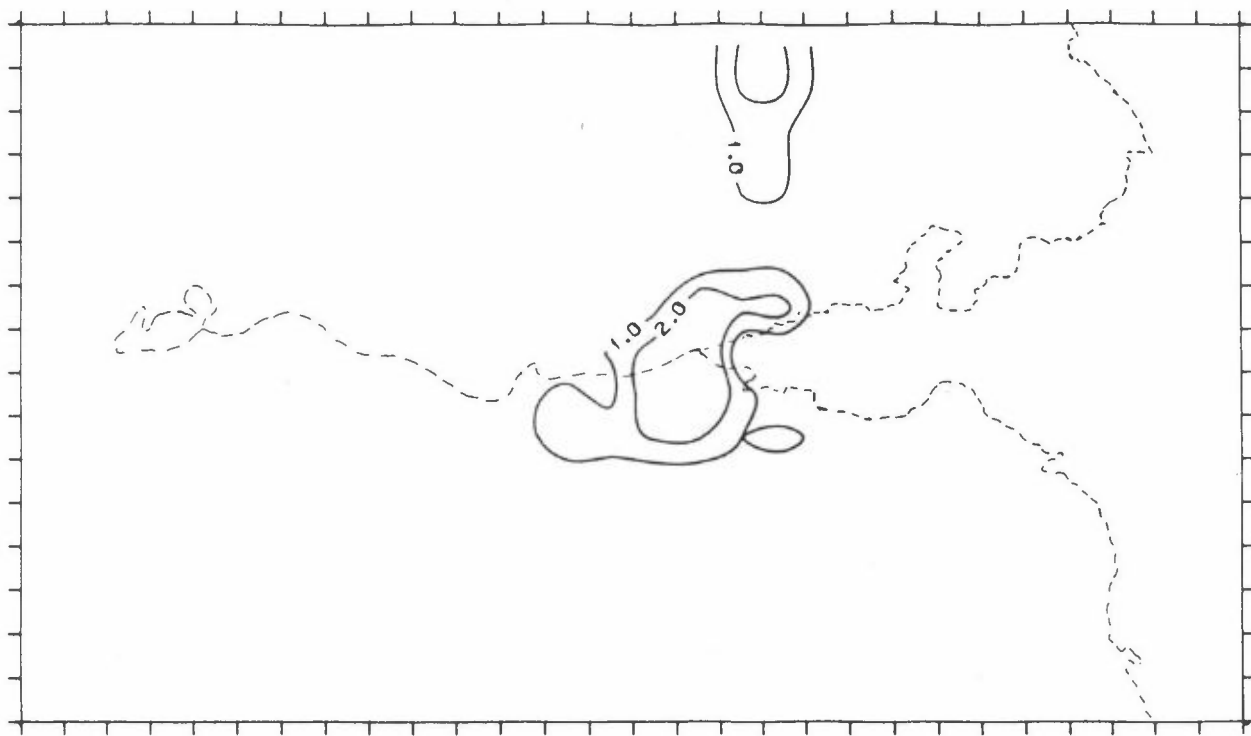
Figur 18: Total NO<sub>x</sub>-konsentrasjon under Scenarium 2.  
Vind: 280°, 1 m/s, Enhet:  $\mu\text{g NO}_x/\text{m}^3$ .



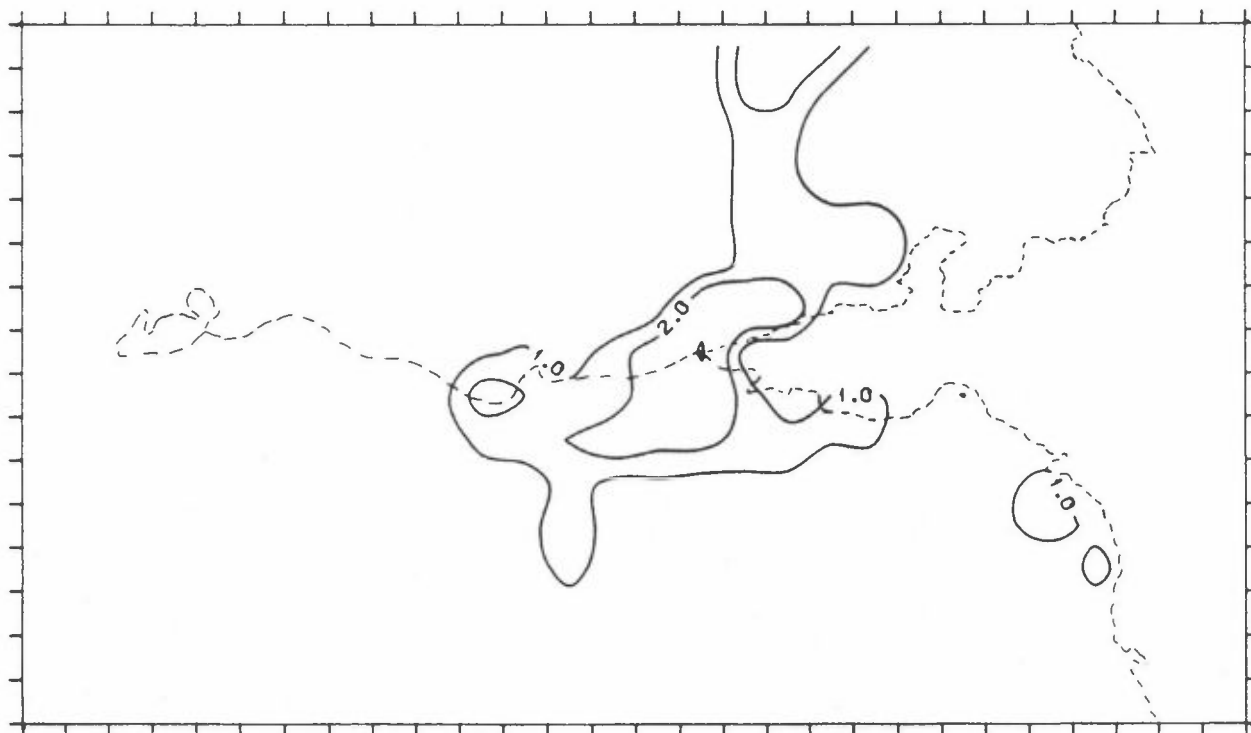
Figur 19:  $\text{NO}_2$ -konsentrasjon fra trafikk under Scenarium 2.  
Vind:  $280^{\circ}$ , 1 m/s, Enhet:  $\mu\text{g NO}_2/\text{m}^3$ .



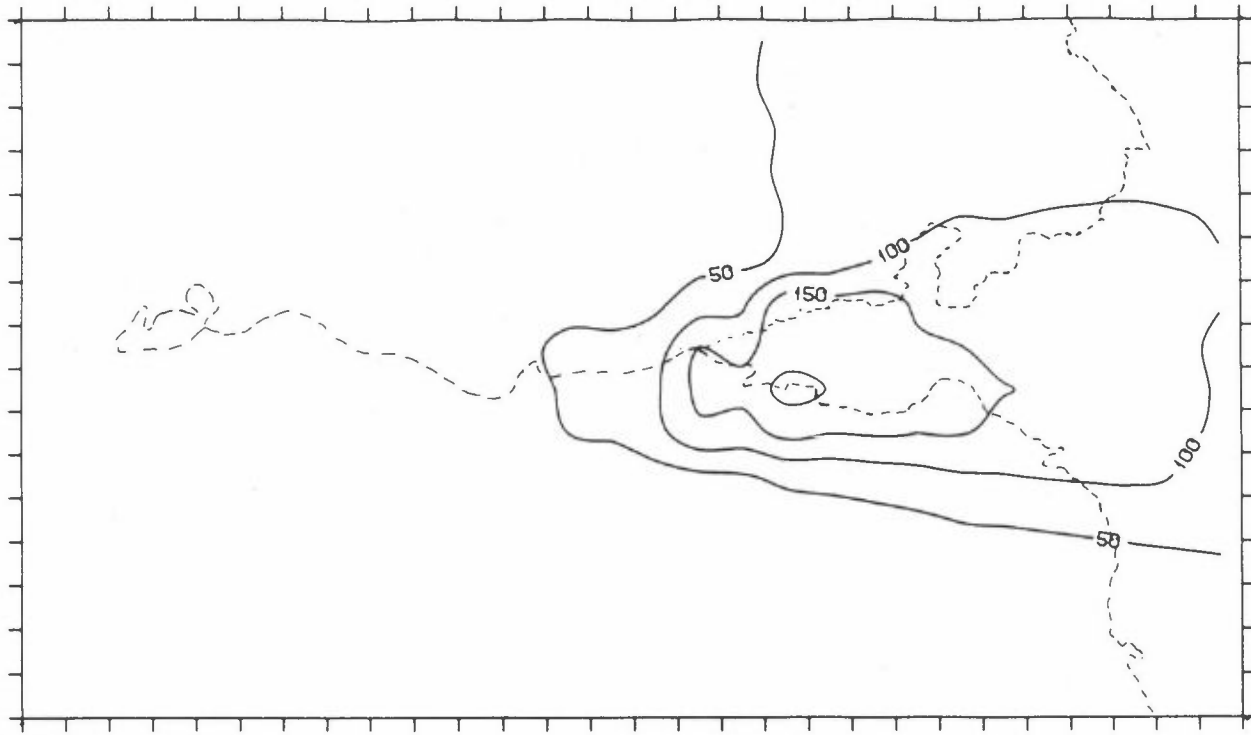
Figur 20: Total  $\text{NO}_2$ -konsentrasjon under Scenarium 2.  
Vind:  $280^{\circ}$ , 1 m/s, Enhet:  $\mu\text{g NO}_2/\text{m}^3$ .



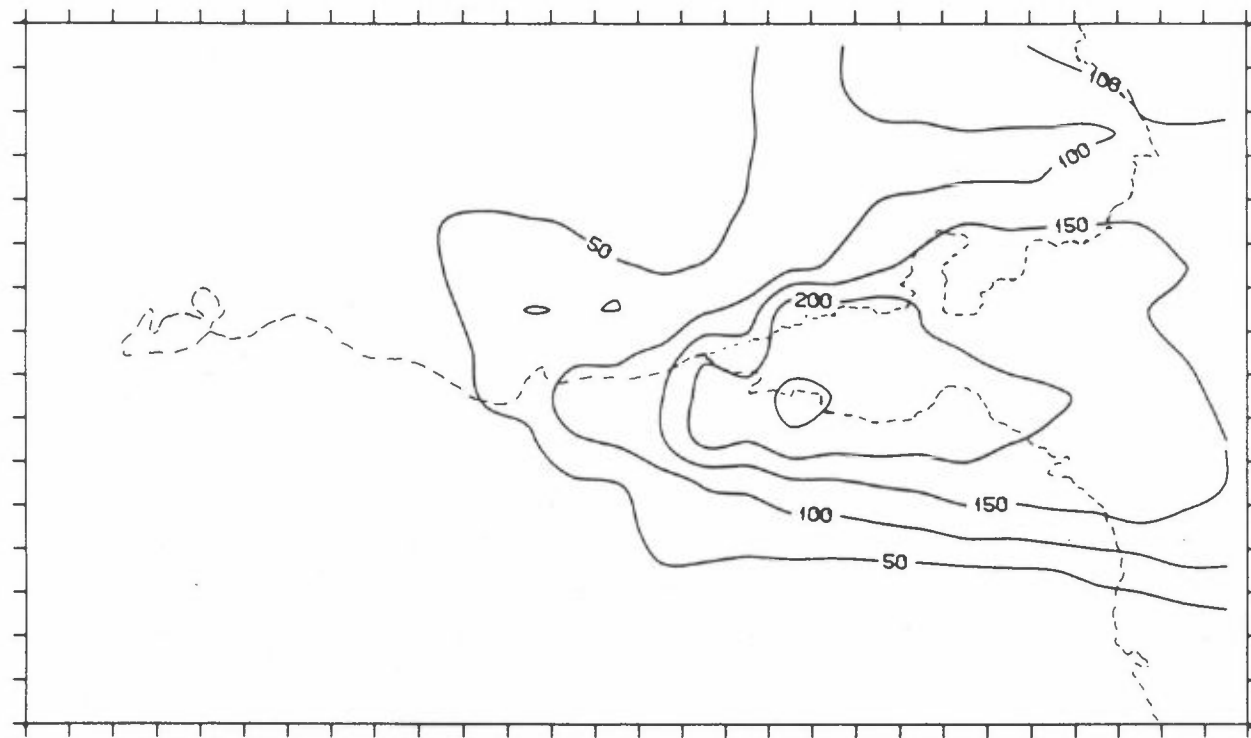
Figur 21: Utslippssintensitet av NO<sub>x</sub> fra trafikk under Scenarium 3. Enhet: kg NO<sub>x</sub>/time og rute.



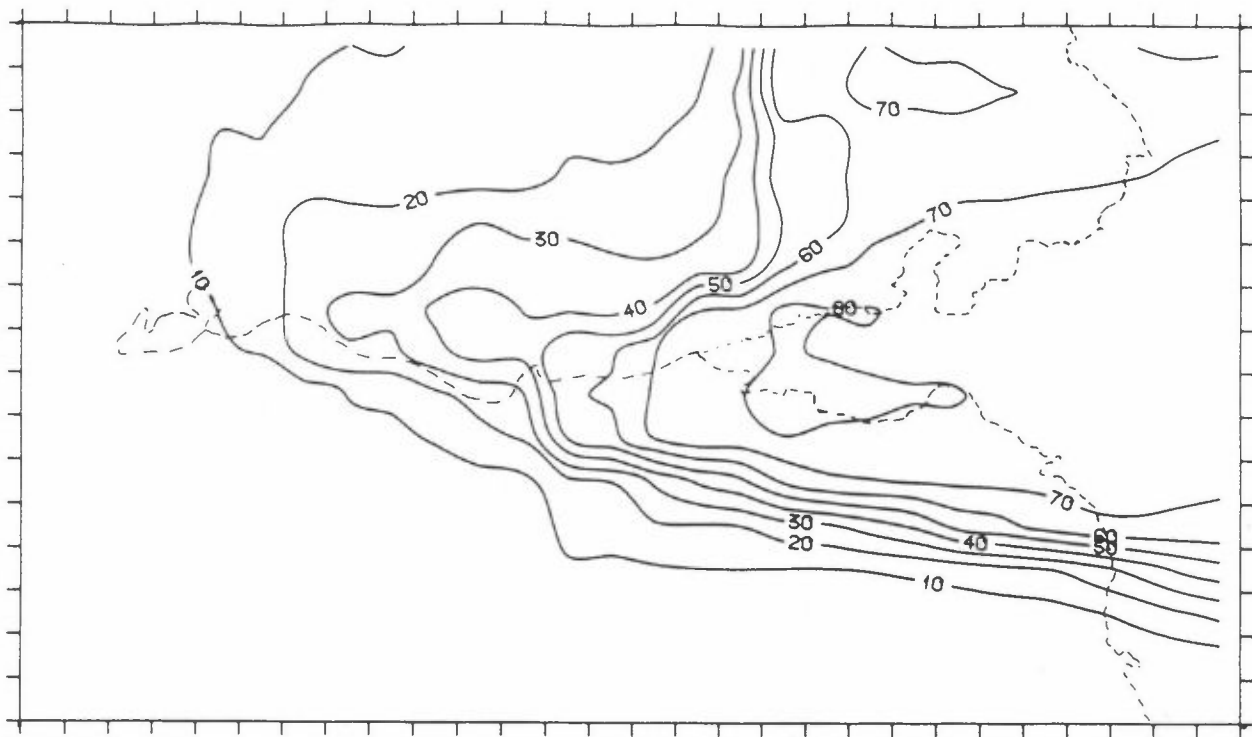
Figur 22: Total utslippssintensitet av NO<sub>x</sub> under Scenarium 3. Enhet: kg NO<sub>x</sub>/time og rute.



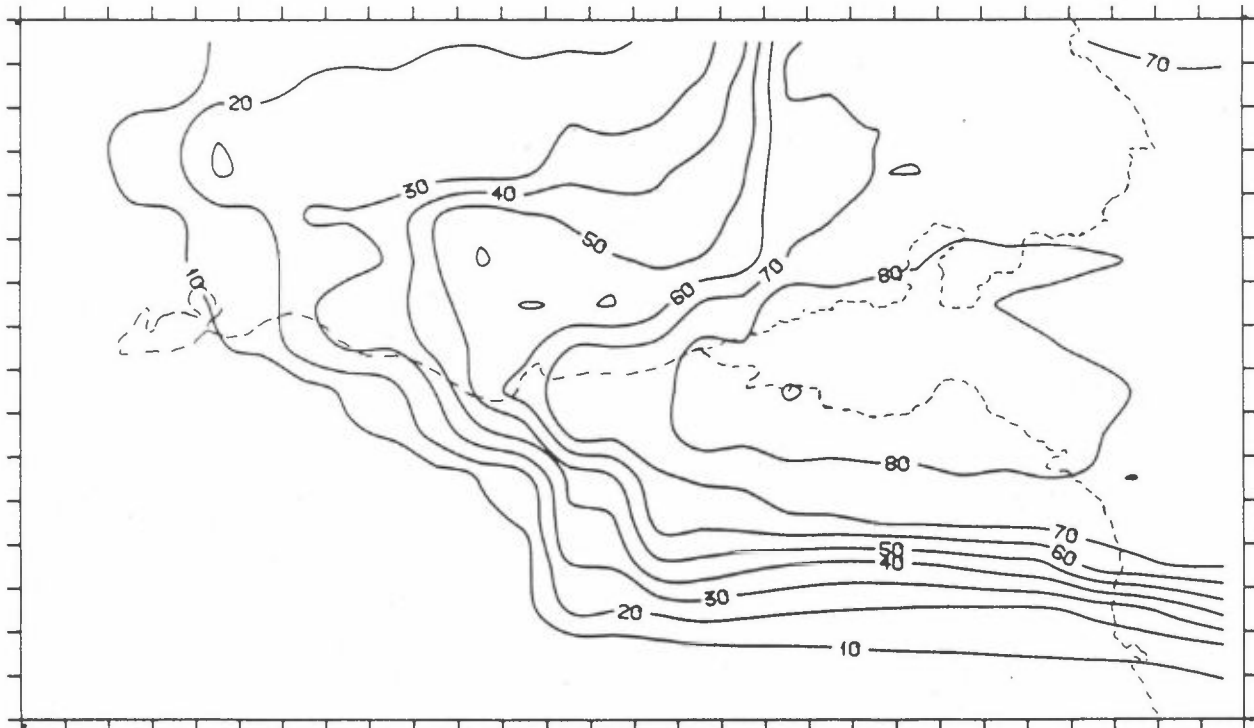
Figur 23: NO<sub>x</sub>-konsentrasjon fra trafikk under Scenarium 3.  
Vind: 280°, 1 m/s, Enhet: µg NO<sub>x</sub>/m<sup>3</sup>.



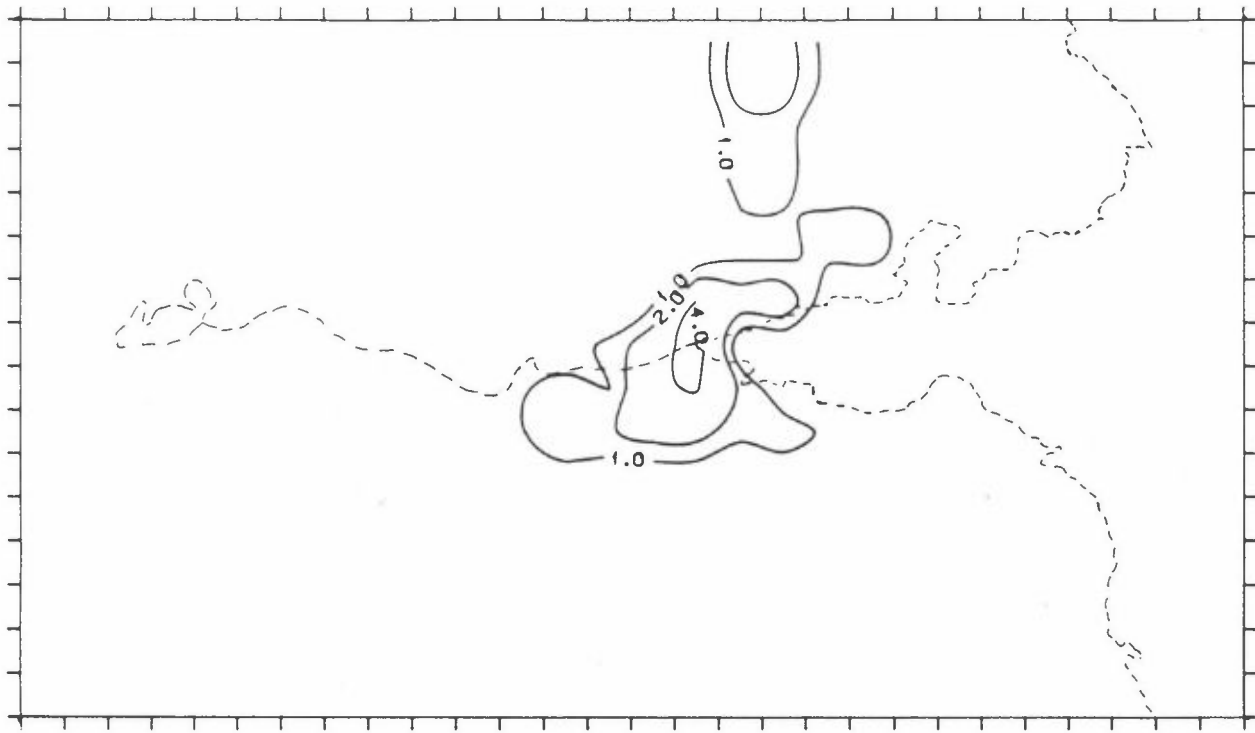
Figur 24: Total NO<sub>x</sub>-konsentrasjon under Scenarium 3.  
Vind: 280°, 1 m/s, Enhet: µg NO<sub>x</sub>/m<sup>3</sup>.



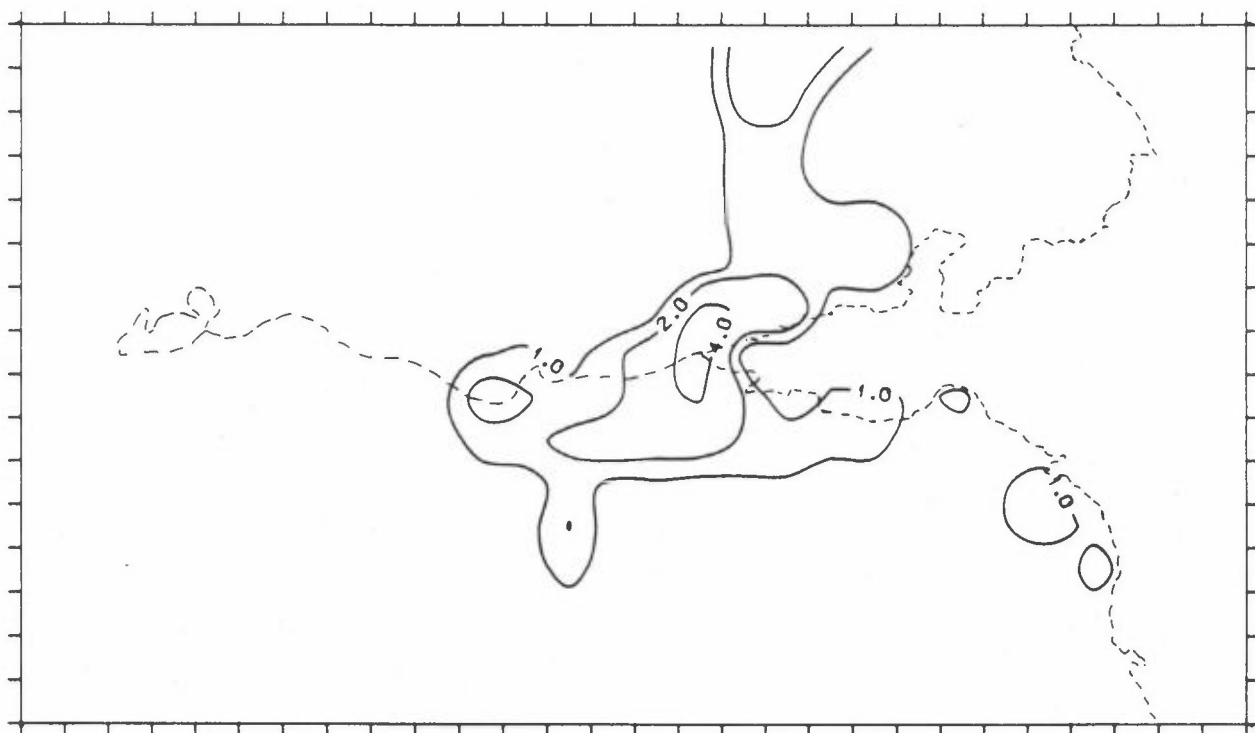
Figur 25: NO<sub>2</sub>-konsentrasjon fra trafikk under Scenarium 3.  
Vind: 280°, 1 m/s, Enhet:  $\mu\text{g NO}_2/\text{m}^3$ .



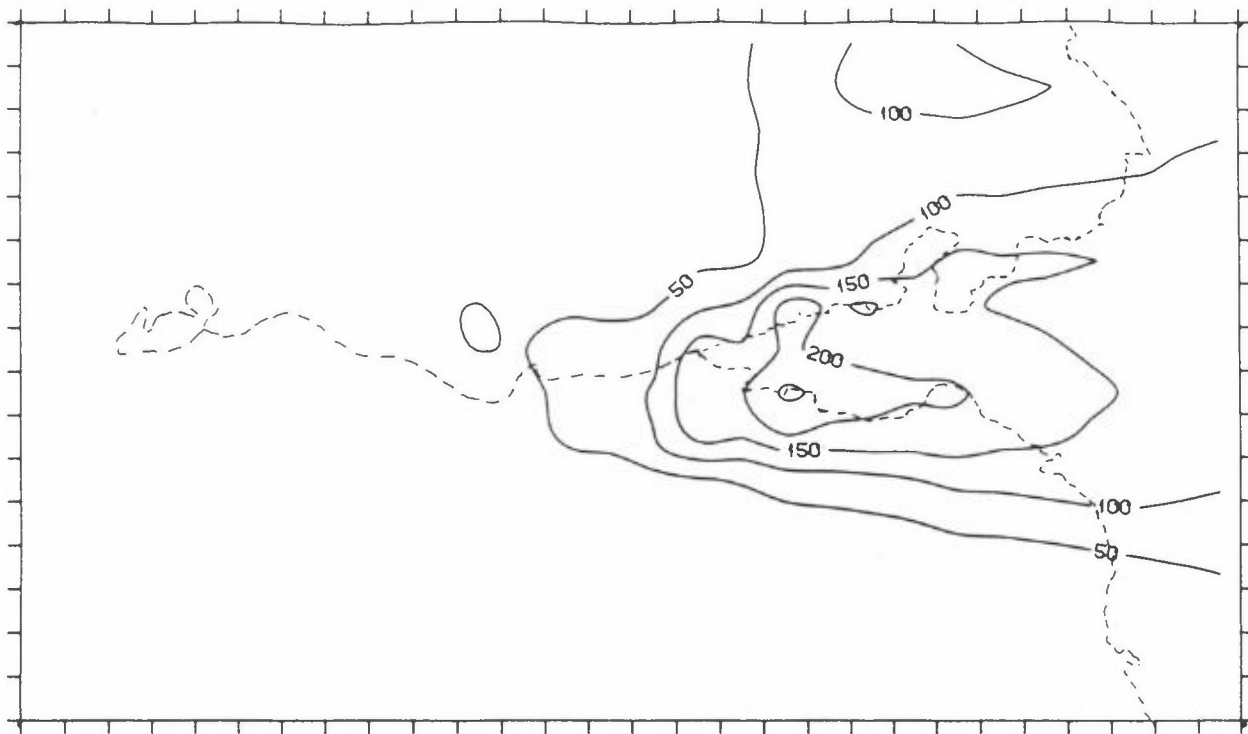
Figur 26: Total NO<sub>2</sub>-konsentrasjon under Scenarium 3.  
Vind: 280°, 1 m/s, Enhet:  $\mu\text{g NO}_2/\text{m}^3$ .



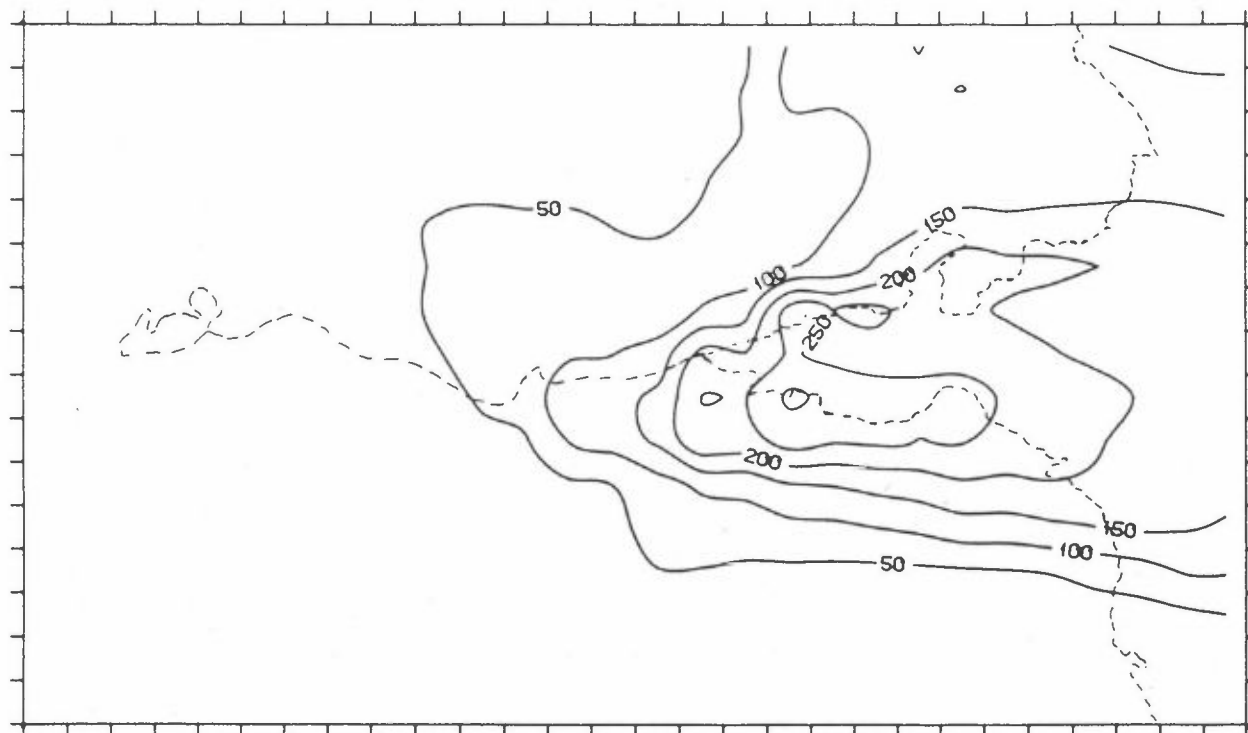
Figur 27: Utslippssintensitet av NO<sub>x</sub> fra trafikk under Scenari-  
rium 4. Enhet: kg NO<sub>x</sub>/time og rute.



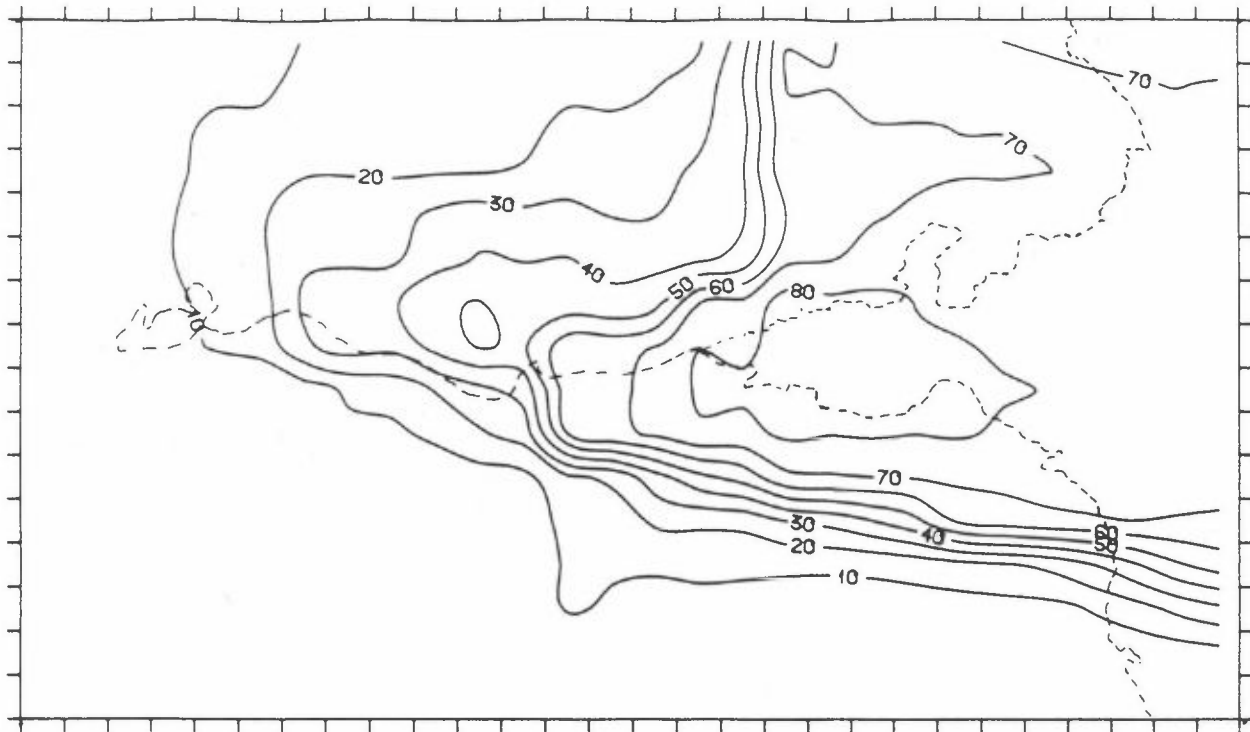
Figur 28: Total utslippssintensitet av NO<sub>x</sub> under Scenarium 4.  
Enhet: kg NO<sub>x</sub>/time og rute.



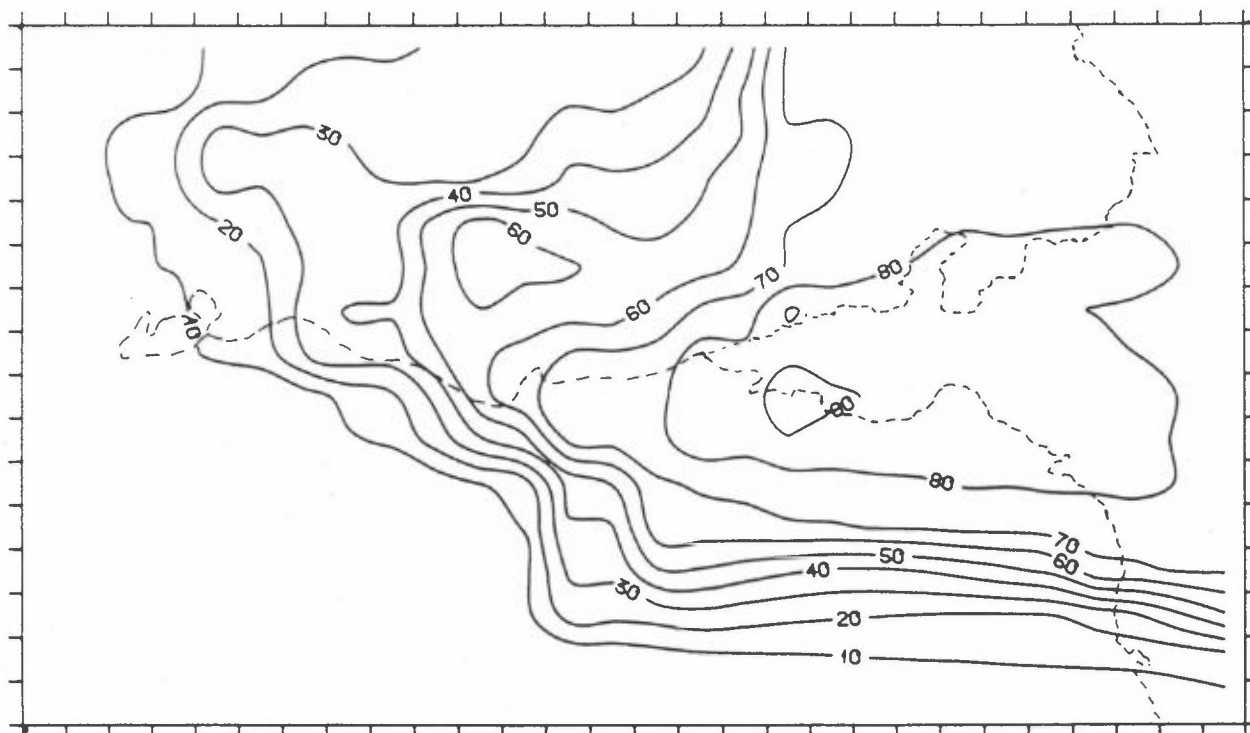
Figur 29: NO<sub>x</sub>-konsentrasjon fra trafikk under Scenarium 4.  
Vind: 280°, 1 m/s, Enhet: µg NO<sub>x</sub>/m<sup>3</sup>.



Figur 30: Total NO<sub>x</sub>-konsentrasjon under Scenarium 4.  
Vind: 280°, 1 m/s, Enhet: µg NO<sub>x</sub>/m<sup>3</sup>.



Figur 31:  $\text{NO}_2$ -konsentrasjon fra trafikk under Scenarium 4.  
Vind:  $280^{\circ}$ , 1 m/s, Enhet:  $\mu\text{g NO}_2/\text{m}^3$ .



Figur 32: Total  $\text{NO}_2$ -konsentrasjon under Scenarium 4.  
Vind:  $280^{\circ}$ , 1 m/s, Enhet:  $\mu\text{g NO}_2/\text{m}^3$ .

I plottene for utslipp er Korsta varmeverk og Ortviken pappersbruk ikke tatt med (punktikilder). I alle isoplott av  $\text{NO}_2$  fra trafikk, samt for  $\text{NO}_2$  totalt, er  $60 \mu\text{g NO}_2/\text{m}^3$  fra ozon lagt til i alle ruter der  $\text{NO}_x > 60 \mu\text{g/m}^3$  (i øvrige ruter er  $\text{NO}_2 = \text{NO}_x$ ).

Samme beregningsresultater i form av tallmatriser for hver kildegruppe og for hvert scenarium er gitt i vedlegg B-F. I disse vedleggene er også resultater fra beregningene for vind-situasjon 2 tatt med. I tallmatrisene for utslipp er, på samme måte som i isoplottene, Korsta varmeverk og Ortviken pappersbruk ikke tatt med (punktikilder).

Som nevnt i kapittel 3.1 er det i beregningene av konsentrasjoner ikke tatt hensyn til lokale topografiske effekter ved åssidene. Dette viser seg spesielt i åsen opp mot Norra Stadsberget for vindsituasjon 2. Vi beregner der økte forurensningskonsentrasjoner oppover ås-siden, mens luften i realiteten vil følge ås-siden.

## 5 VURDERING

Spredningsberegninger på grunnlag av data for utslipp og meteorologiske forhold som vanligvis opptrer når man mäter høye  $\text{NO}_x$ - og  $\text{NO}_2$ -konsentrasjoner i Sundsvall (ved vindsituasjon 1) har gitt beregnede  $\text{NO}_x$ -konsentrasjoner i Sundsvall sentrum som stemmer rimelig bra med de som måles. For stagnasjons-situasjonen (vind-situasjon 2) beregnes endel lavere konsentrasjoner ( $500-600 \mu\text{g/m}^3$ ) enn det som er målt (opptil  $1\,200 \mu\text{g/m}^3$ ). Vi har ikke på en enkel måte kunnet legge inn at luften i en slik situasjon allerede er forurensset når vinden snur fra landbris til sjøbris.

Når det gjelder  $\text{NO}_2$  stemmer våre beregninger for vindsituasjon 1 bra overens med DOAS-målingene, men ligger endel lavere enn de høyeste verdier som kjemiluminescens-målingene gir.

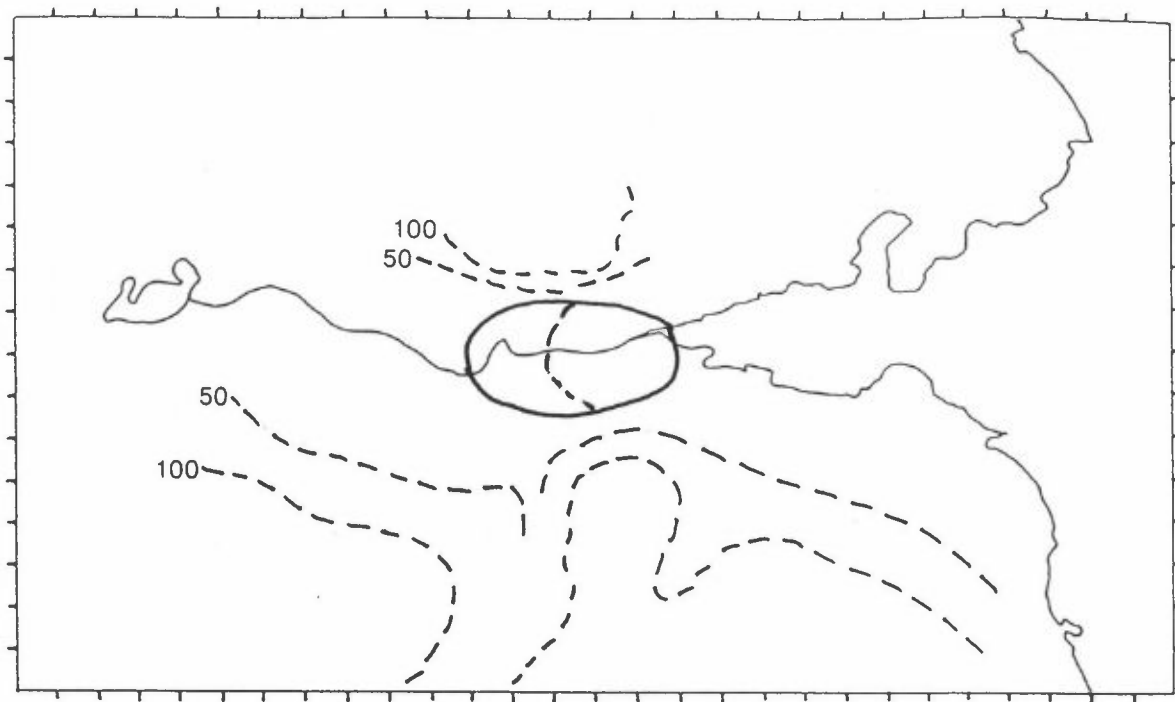
Beregningene gir et rimelig godt grunnlag for å estimere utstrekningen av det området i Sundsvall som kan få høye NO<sub>x</sub>- og NO<sub>2</sub>-verdier under forurensningsepisoder med stasjonære vindforhold og svært dårlige spredningsforhold, når en i tillegg tar hensyn til de lokale topografiske effekter ved ås-sidene.

Beregningene for de ulike scenariene gir informasjon om de endringer i forurensningsnivå som de ulike tiltak som ligger i hvert av scenariene vil føre til i de angitte vindsituasjonene.

Figur 33 viser den omtrentlige utstrekning av det området som i dagens situasjon kan få svært høye NO<sub>x</sub>- og NO<sub>2</sub>-nivåer (beregnet NO<sub>2</sub> > 120 µg/m<sup>3</sup> som timesmiddelverdi) under stagnasjonsperioder med svært dårlig spredning. Figuren er tegnet på grunnlag av beregningene utført for windsituasjon 1 og 2. Området i figuren tilsvarer transport mot vest i ca. én time med 0,5 m/s etter vindskift fra vestlig vind og før vindskift til vestlig vind igjen. Vindregistreringene fra Sundsvall (som vist for noen dager i vedlegg G), viser at vinden i stagnasjons-episode ofte skifter mellom vest og øst og andre retninger fra time til time. I slike tilfeller kan konsentrasjonen bygge seg opp til svært høye nivåer, spesielt innenfor sentrumsområdet (stiplet linje i figur 33) der utslippet er størst.

VBB trafikk hadde i forbindelse med beregning av NO<sub>2</sub>-konsentrasjonen i gater behov for bakgrunnsverdier (rute-konsentrasjoner) som skulle inngå i beregning av 98-prosentil verdier for vinterhalvår av gatekonsentrasjoner.

Med de begrensede tids- og kostnadsrammer for dette prosjektet kunne ikke den romlige fordeling av 98-prosentil verdien av forurensningen beregnes. Dette krever beregning av forurensningsfordelingen fra time til time over et halvår med normal variasjon i meteorologiske forhold og spredningsforhold.



Figur 33: Anslått avgrensing av området i Sundsvall sentrum som kan få svært høye  $\text{NO}_x$ - og  $\text{NO}_2$ -konsentrasjoner (timesverdier) i stagnasjonstilfeller med svært dårlige spredningsforhold (50 m og 100 m høyde-koter er også skissert).

De enkle simuleringsberegningene som er utført for å gi et grovt estimat av utbredelsen av høye forurensningskonsentrasjoner, samt virkningen av planlagte tiltak, gir et grunnlag for å estimere fordelingen av 98-prosentil verdier på rutenivå.

For områder i sentrum og øst for sentrum gir windsituasjon 1 (svak vind fra vest) et estimat av den forurensningsfordelingen som representerer 98-prosentil verdien, fordi denne situasjonen representerer høy forurensningsgrad og opptrer i mer enn 2% av tiden om vinteren. For områder vest for sentrum kan 98-prosentil verdien være høyere enn det som beregnes ved windsituasjon 1, fordi svak østlig vind som også opptrer relativt hyppig, kan gi høy forurensningsgrad vest for sentrum.

Figur 8 for windsituasjon 1, dagens forhold, gir  $80-90 \mu\text{g NO}_2 / \text{m}^3$  i sentrum. Målt 98-prosentil (av timesmiddelverdier)

på Stadshuset er ca.  $100 \mu\text{g}/\text{m}^3$ , altså en del høyere enn forurensningen beregnet for vindsituasjon 1.

Det området i figur 8 som omsluttet av linjen for  $80 \mu\text{g}/\text{m}^3$ , representerer et grovt estimat av det romlige omfanget av 98-prosentil over  $100 \mu\text{g}/\text{m}^3$  i Sundsvall sentrum og øst for sentrum, med den modifikasjon at området strekker seg noe lenger mot vest enn 80-linjen i figur 8. Våre beregninger antyder derved at "riktlinjen" for 98-prosentil,  $110 \mu\text{g}/\text{m}^3$ , overskrides noe i et område øst-sørøst for sentrum, langs E4.

Det gjentas at dette er et estimat, basert på et forenklet beregningsopplegg. Et bedre estimat krever beregninger fra time til time med normal meteorologisk variasjon over et vinterhalvår koblet med kontinuerlig registrerende målinger i sentrum og i områder øst for og vest for sentrum.

Beregningene gir middelverdier av konsentrasjonen i hver rute. Beregningene gir ikke grunnlag for å si noe om forurensningsfordelingen innen rutene.

Dalbunnen dekker kun 2-3 400-meters-ruter på tvers (i nord-sør-retning). Oppløsningen på tvers er derfor begrenset. Beregningene gir ikke grunnlag for å differensiere mellom ulike gater i øst-vest-retningen innen samme rute, når det gjelder bakgrunnskonsentrasjonen.

De spredningsparametre som er brukt (Brookhaven) fører til at maksimal-konsentrasjonene beregnes å opptre nedvinds fra sentrum (ved vindsituasjon 1 ca. 800 m nedvinds, og ved vind-situasjon 2 ca. 2 km nedvinds). Dette skyldes akkumulering ved at fortynningen vertikalt er såpass dårlig at den ikke helt motvirker det tilskudd av utslipp som luften stadig får på sin vei fra sentrum. Ifølge beregningene vil slike forhold kunne opptre i de mest ekstreme forurensningsepisodene i Sundsvall. Etterprøving ved målinger krever samtidig kontinuerlig

registrering i sentrum og i områdene nedvinds for sentrum under forurensningsepisoder.

Området langs Bergsgatan er kanskje spesielt interessant i forbindelse med vurdering av tiltak for flytting av trafikk dit. Målinger langs Bergsgatan har gitt en maks. timesverdi av NO<sub>2</sub> på 111 µg/m<sup>3</sup> (januar 1979), og en maks. døgnverdi på 90 µg/m<sup>3</sup> (november og desember 1978, februar 1979) (Johansson og Karlsson, 1981). Måleperioden for timeverdier var kort (3 uker), og inneholdt ingen typiske forurensningsepisoder. En maks. døgnverdi på 90 µg/m<sup>3</sup> tilsvarer en 98-prosentil av timesverdier noe høyere enn dette, anslagsvis 10-30% høyere, dvs. 100-120 µg/m<sup>3</sup>. Vår simulering gir en 98-prosentil på vel 70 µg/m<sup>3</sup> i ruten ved Sidsjövägen, inklusive 60 µg/m<sup>3</sup> fra NO-O<sub>3</sub>-reaksjonen. Bidraget fra utslippet i Bergsgatan er da tatt med. Om dette utslippsbidraget tas bort i beregningene, ville en fått 60-65 µg/m<sup>3</sup> i bakgrunnen ved Sidsjövägen. Et gatebidrag fra Bergsgatan på 60 µg/m<sup>3</sup> nær veikant gir da en samlet 98-prosentil verdi på ca. 120-125 µg/m<sup>3</sup>. Det er ingen motsetning mellom dette og de målinger som er utført ved Bergsgatan ved Sidsjövägen, der det altså er målt en maksimal døgnverdi på 90 µg/m<sup>3</sup>. I tillegg skal nevnes at dette området ved Bergsjövägen kan påvirkes noe av kaldluftdrenasje av relativt ren luft ned Sidsjöbäck-dalen, som kan medføre en noe lavere 98-prosentil enn det vi har beregnet.

## 6 REFERANSER

Böhler, T. (1987) User's guide for the Gaussian type dispersion models CONCX and CONDEP. Lillestrøm (NILU TR 8/87).

Calder, K. L. (1971) A climatological model for multiple source urban air pollution. In: Proceedings of the Second Meeting of the Expert Panel on Air Pollution modelling. Paris. (NATO. Committee on the Challenges of Modern Society, 5).

Fortak, H. G. (1970) Numerical simulation of temporal and spatial distributions of urban air pollution concentration. In: Proceedings of symposium on multiple-source urban diffusion models. Carolina Inn 1969. Ed. by Arthur C. Stern. Research Triangle Park, North Carolina. (U.S. Environmental Protection Agency. Office of Air Programs Publication. AP 86.)

Gram, F. (1988) User's guide for the "KILDER" dispersion modeling system. Lillestrøm (NILU TR 7/88).

Grennfelt, P. (1985) Frekvensfordelningar av NO<sub>2</sub>-halter i centrala Sundsvall. Göteborg (IVL-rapport EM 1885).

Johansson, R. og Karlsson, H. (1981) Mätningar av kväveoxider i Sundsvall 1978-79. Statens naturvårdsverk, Solna (SNV PM 1453).

Laurin, S. og Persson, C. (1983) Utvärdering av NO<sub>2</sub>-data i Sundsvall. SMHI, Norrköping (Rapport 1983:25).

## VEDLEGG A

Utslippsforhold for trafikk



I tabell A1 og A2 er VBBs data for antatt utslipp av NO<sub>x</sub> for de tre kjøretøygruppene (pb = personbil, lb = lastebil og buss) gitt for ulike veityper og områdekategorier. Tabell A1 viser utslippstall for Sundsvall 1988, mens tabell A2 viser tilsvarende tall for Sundsvall år 2000. Alle utslippstall er i g NO<sub>x</sub>/km. Det er skilt mellom utslipp gate/vei-kryss og utslipp på midten av gate/vei-segmentet.

Tabell A1: Antatte utslippstall for ulike kjøretøygrupper og for ulike gatetyper/områdekategorier for Sundsvall 1988.

Enhet: g NO<sub>x</sub>/km.

	Gjennomsnitt inkl. kryss			"Midt på kvartal"		
	pb	lb	buss	pb	lb	buss
<u>Lokalgt. 20 km/h</u>						
boligområde	2,9	21	36	2,1	17	29
sentrum	2,9	25	36	2,1	22	29
arbeidsplass	2,9	33	36	2,1	29	29
<u>Lokalgt. 30 km/h</u>						
boligområde	2,3	18	29	1,6	16	23
sentrum	2,3	21	29	1,6	18	23
arbeidsplass	2,3	28	29	1,6	24	23
<u>Lokalgt. 40 km/h</u>						
boligområde	1,7	14	25	1,5	12	20
sentrum	1,7	16	25	1,5	15	20
arbeidsplass	1,7	22	25	1,5	21	20
<u>Oppsamlingsgt. 40 km/t</u>						
boligområde	1,7	14	25	1,5	12	20
sentrum	1,7	16	25	1,5	15	20
arbeidsplass	1,7	22	25	1,5	21	20
<u>Hovedgate 20 km/h</u>						
boligområde	2,9	27	36	2,1	24	29
sentrum	2,9	29	36	2,1	24	29
arbeidsplass	2,9	33	36	2,1	26	29
<u>Hovedgate 30 km/h</u>						
boligområde	2,3	22	29	1,6	19	23
sentrum	2,3	24	29	1,6	19	23
arbeidsplass	2,3	28	29	1,6	22	23
<u>Hovedgt. 40 km/h</u>						
boligområde	1,7	18	25	1,5	17	20
sentrum	1,7	19	25	1,5	17	20
arbeidsplass	1,7	22	25	1,5	20	20
<u>Infart/gjennomfart</u>						
50 km/h	1,4	19	22	1,4	19	22
70 km/h	1,3	16	22	1,3	16	22
90 km/h	1,9	18	24	1,9	18	24

Tabell A2: Antatte utslippstall for ulike kjøretøygrupper og for ulike gatetyper/områdekategorier for Sundsvall år 2000.

Enhet: g NO<sub>x</sub> /km.

	Gjennomsnitt inkl. kryss			Midt på kvartal		
	pb	lb	buss	pb	lb	buss
<u>Lokalgt. 20 km/h</u>						
boligområde	1,0	16	11	0,7	13	10
sentrum	1,0	19	11	0,7	17	10
arbeidsplass	1,0	25	11	0,7	22	10
<u>Lokalgt. 30 km/h</u>						
boligområde	0,8	14	9	0,6	13	8
sentrum	0,8	16	9	0,6	14	8
arbeidsplass	0,8	21	9	0,6	18	8
<u>Lokalgt. 40 km/h</u>						
boligområde	0,6	11	8	0,5	10	8
sentrum	0,6	12	8	0,5	11	8
arbeidsplass	0,6	17	8	0,5	16	8
<u>Oppsamlingsgt. 40 km/t</u>						
boligområde	0,6	11	8	0,5	10	8
sentrum	0,6	12	8	0,5	11	8
arbeidsplass	0,6	17	8	0,5	15	8
<u>Hovedgate 20 km/h</u>						
boligområde	1,0	20	11	0,7	18	10
sentrum	1,0	22	11	0,7	18	10
arbeidsplass	1,0	25	11	0,7	20	10
<u>Hovedgate 30 km/h</u>						
boligområde	0,8	17	9	0,6	15	8
sentrum	0,8	18	9	0,6	15	8
arbeidsplass	0,8	21	9	0,6	17	8
<u>Hovedgt. 40 km/h</u>						
boligområde	0,8	14	8	0,5	13	8
sentrum	0,8	14	8	0,5	13	8
arbeidsplass	0,8	17	8	0,5	15	8
<u>Infart/qjennomfart</u>						
50 km/h	0,5	14	8	0,5	14	8
70 km/h	0,4	12	8	0,4	12	8
90 km/h	0,6	14	9	0,6	14	9

**VEDLEGG B**

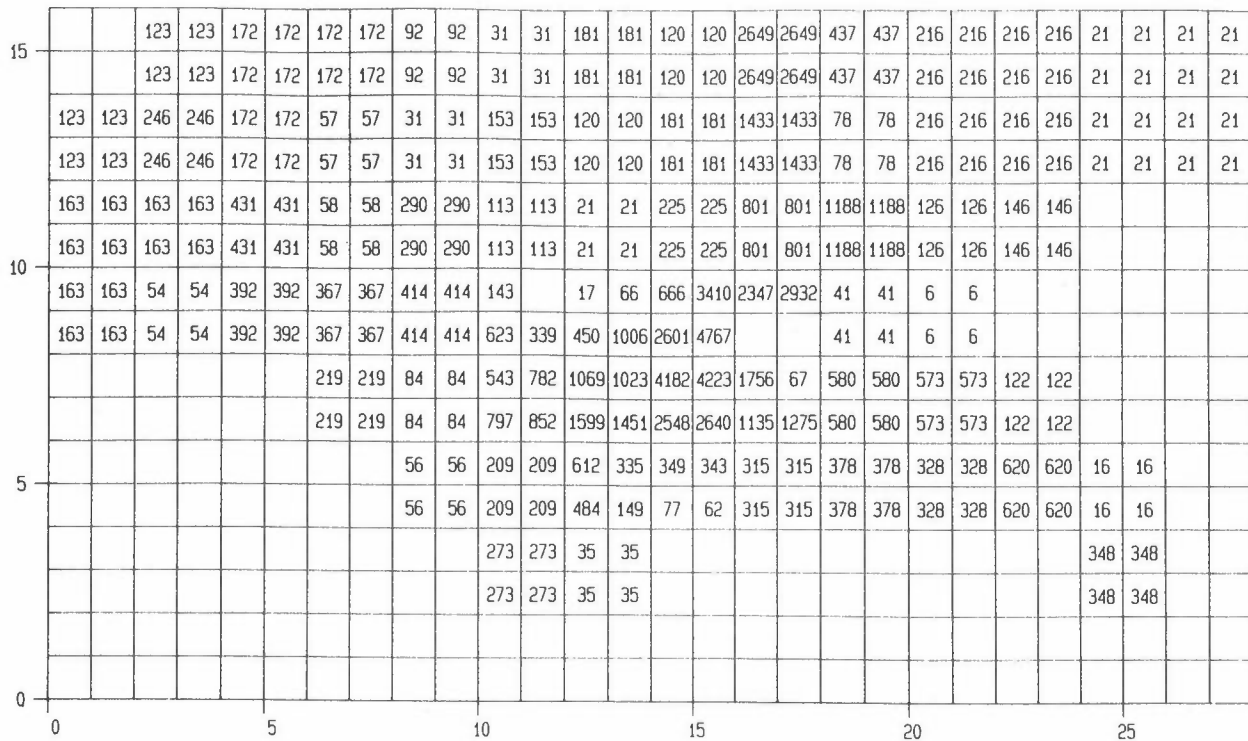
Resultater for Sundsvall 1988



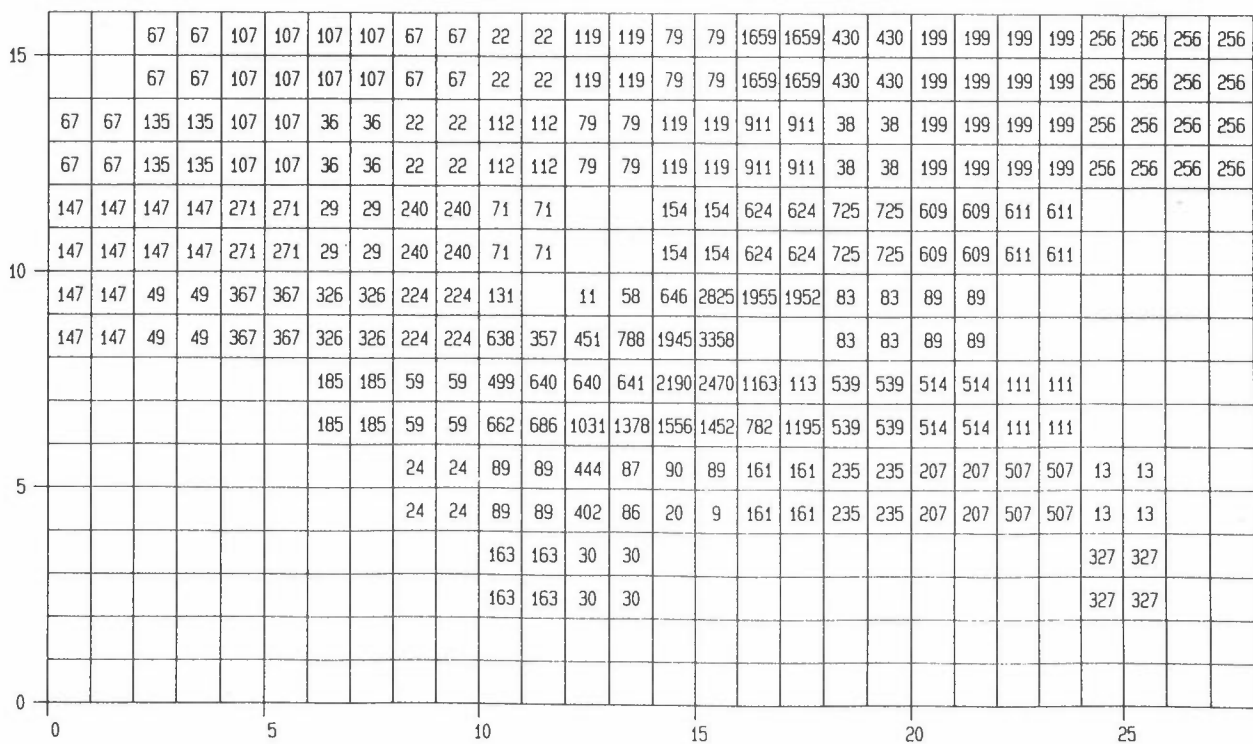
## INNHOLD

	Side
Utslippsfelter NO <sub>x</sub> . Enhet: g NO <sub>x</sub> /time	
- Personbiler .....	48
- Lastebiler .....	48
- Busser .....	49
- Energiproduksjon .....	49
- Industri, m.m. .....	50
- Trafikk (personbiler + lastebiler + busser) .....	50
- Totalt (trafikk + energiproduksjon + industri m.m) .....	51
Konsentrasjonsfelter NO <sub>x</sub> . vind: 280°, 1 m/s. Enhet: µg NO <sub>x</sub> /m <sup>3</sup>	
- Personbiler .....	52
- Lastebiler .....	52
- Busser .....	53
- Energiproduksjon .....	53
- Industri, m.m. .....	54
- Trafikk (personbiler + lastebiler + busser) .....	54
- Totalt (trafikk + energiproduksjon + industri m.m) .....	55
Konsentrasjonsfelter NO <sub>2</sub> . vind: 280°, 1 m/s. Enhet: µg NO <sub>2</sub> /m <sup>3</sup>	
- Personbiler .....	56
- Lastebiler .....	56
- Busser .....	57
- Energiproduksjon .....	57
- Industri, m.m. .....	58
- Trafikk (personbiler + lastebiler + busser) .....	58
- Totalt (trafikk + energiproduksjon + industri m.m) .....	59
Konsentrasjonsfelter NO <sub>x</sub> . vind: 100°, 1/2 m/s. Enhet: µg NO <sub>x</sub> /m <sup>3</sup>	
- Personbiler .....	60
- Lastebiler .....	60
- Busser .....	61
- Energiproduksjon .....	61
- Industri, m.m. .....	62
- Trafikk (personbiler + lastebiler + busser) .....	62
- Totalt (trafikk + energiproduksjon + industri m.m) .....	63
Konsentrasjonsfelter NO <sub>2</sub> . vind: 100°, 1/2 m/s. Enhet: µg NO <sub>2</sub> /m <sup>3</sup>	
- Personbiler .....	64
- Lastebiler .....	64
- Busser .....	65
- Energiproduksjon .....	65
- Industri, m.m. .....	66
- Trafikk (personbiler + lastebiler + busser) .....	66
- Totalt (trafikk + energiproduksjon + industri m.m) .....	67

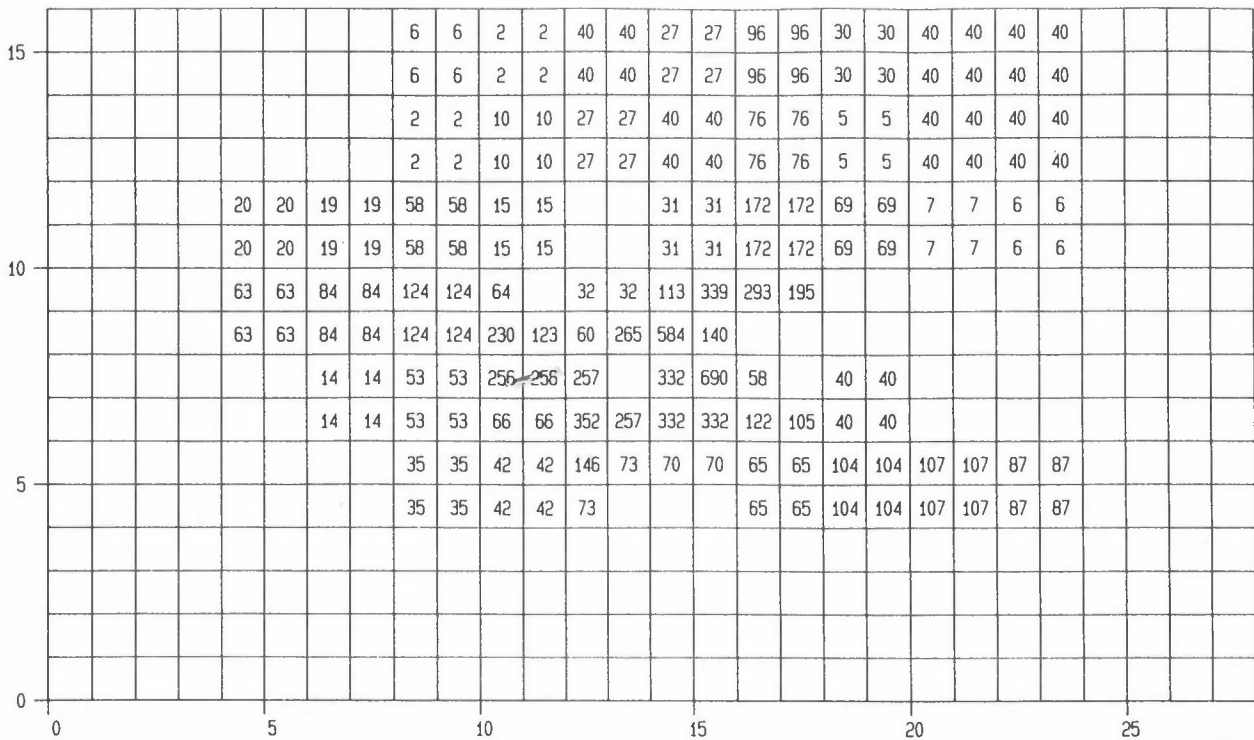
NOX-QPB-01  
G/TIME



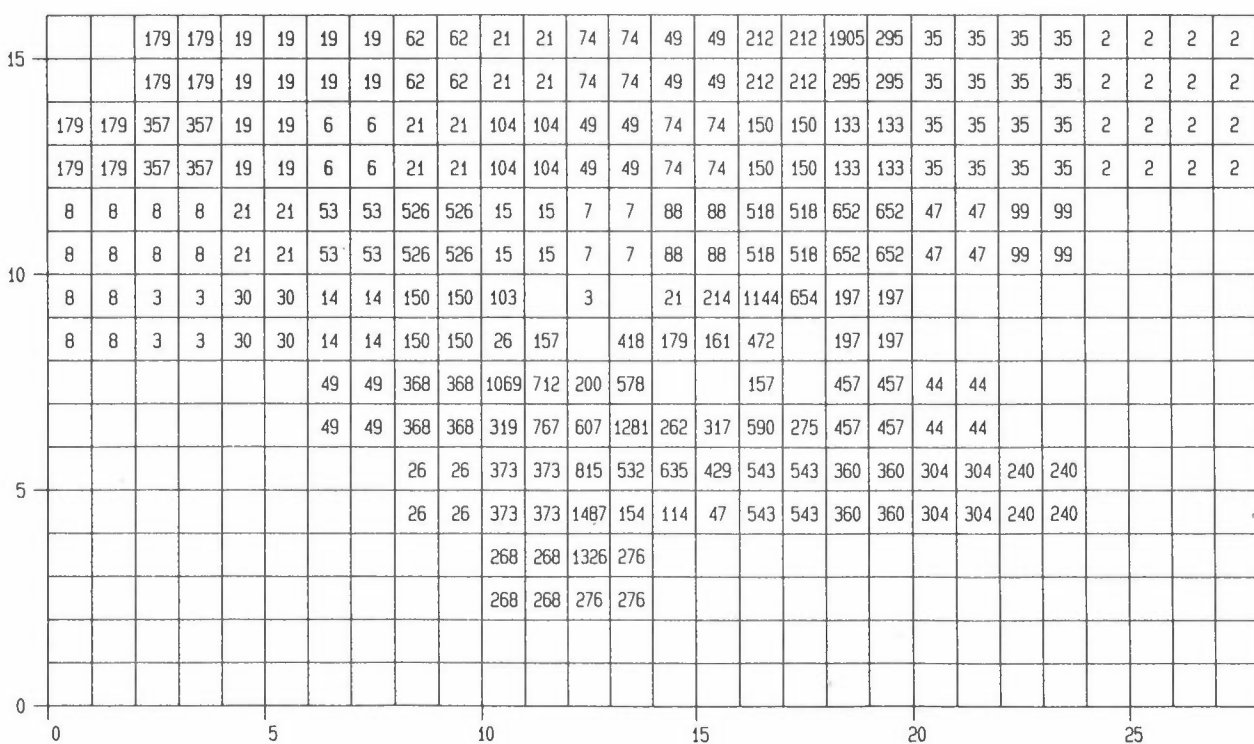
NOX-QLB-01  
G/TIME



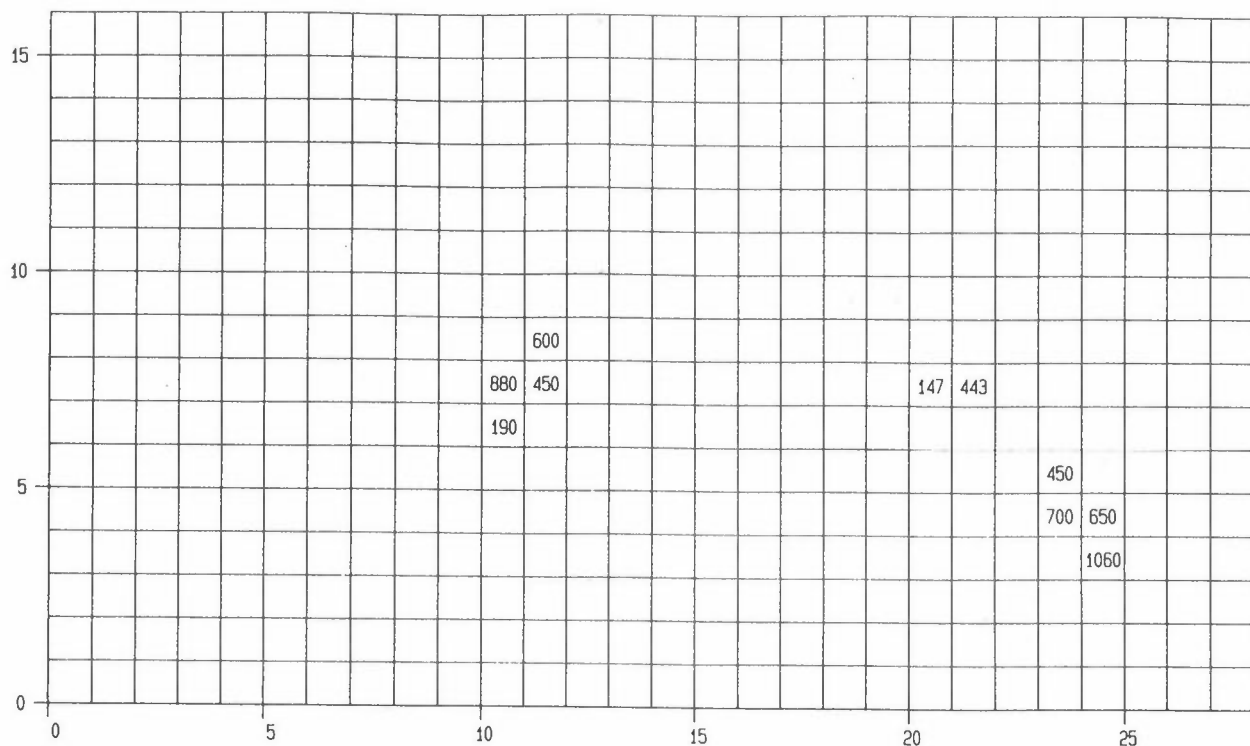
NOX-QBU-01  
G/TIME



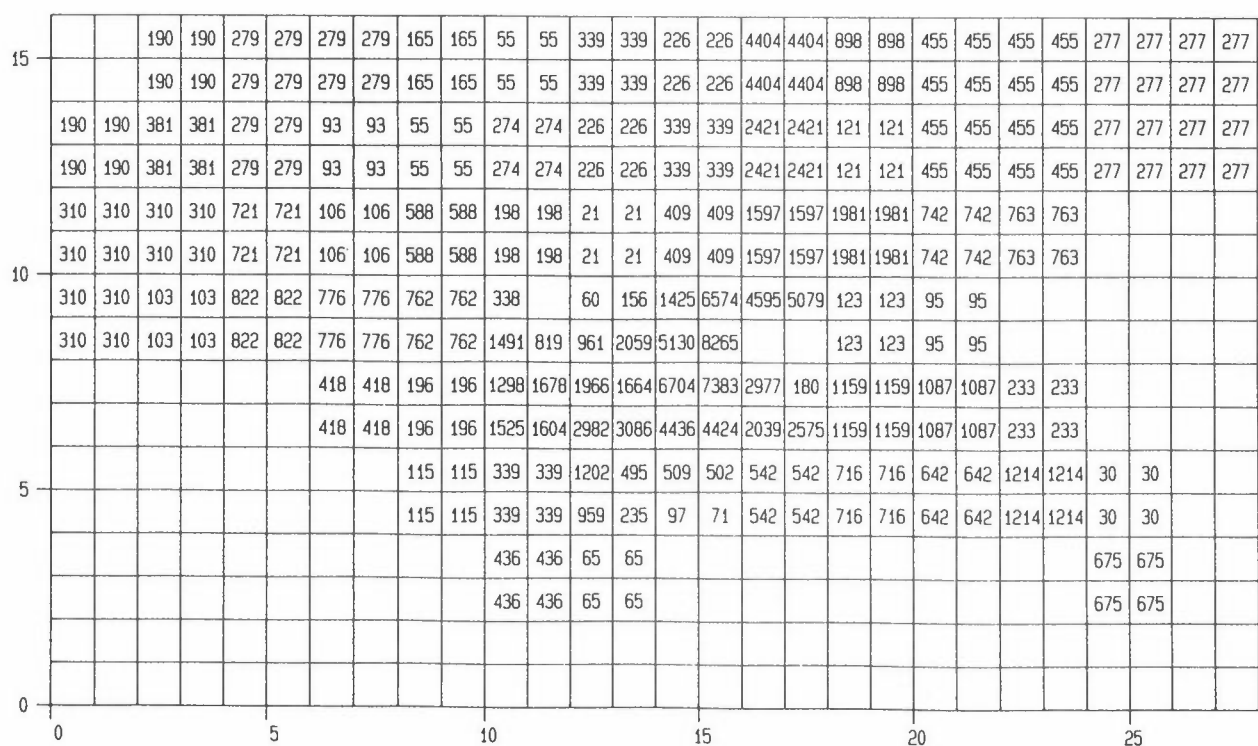
NOX-QEN-01  
G/TIME



NOX-QIN-01  
G/TIME

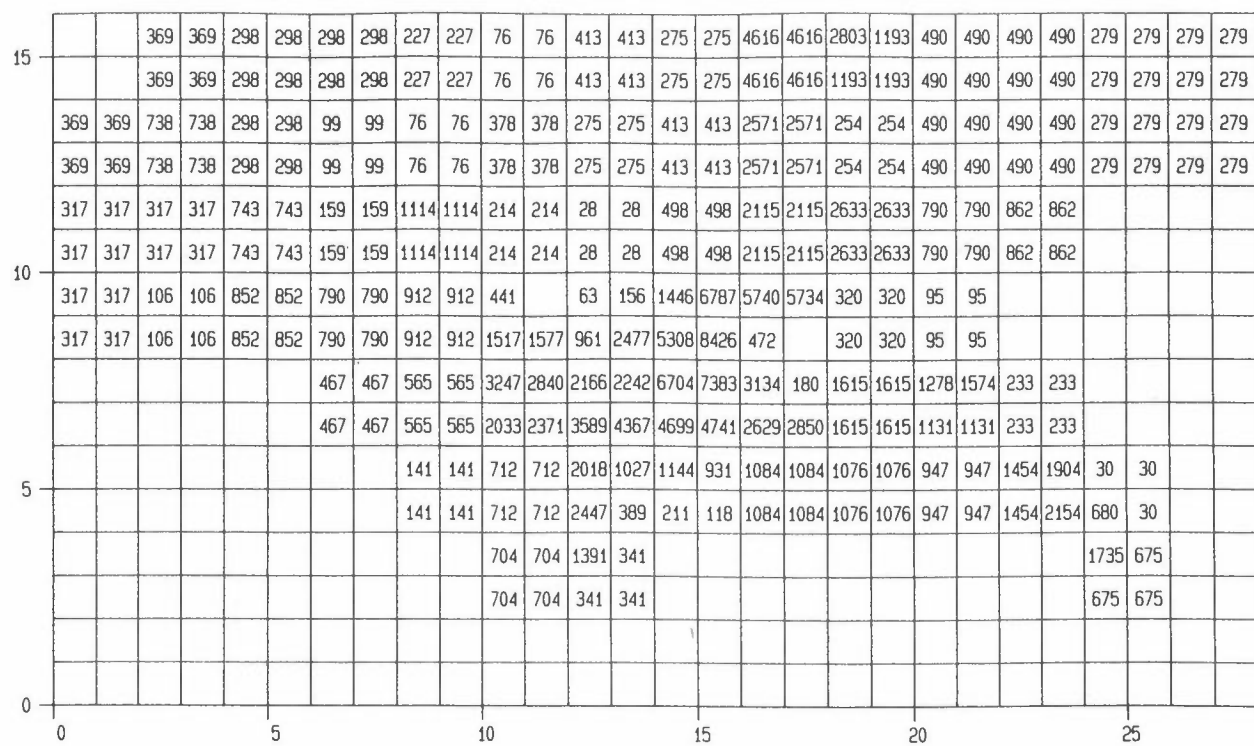


NOX-QTR-01  
G/TIME

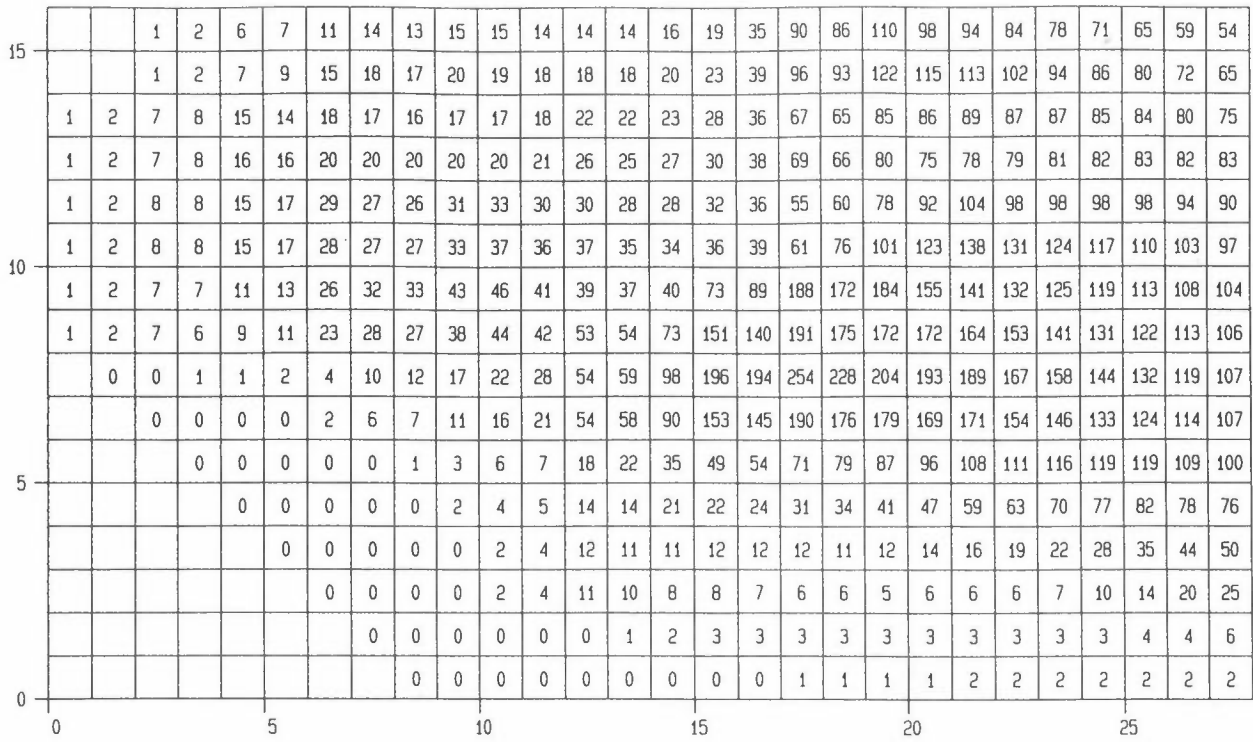


NOX-QTA-01

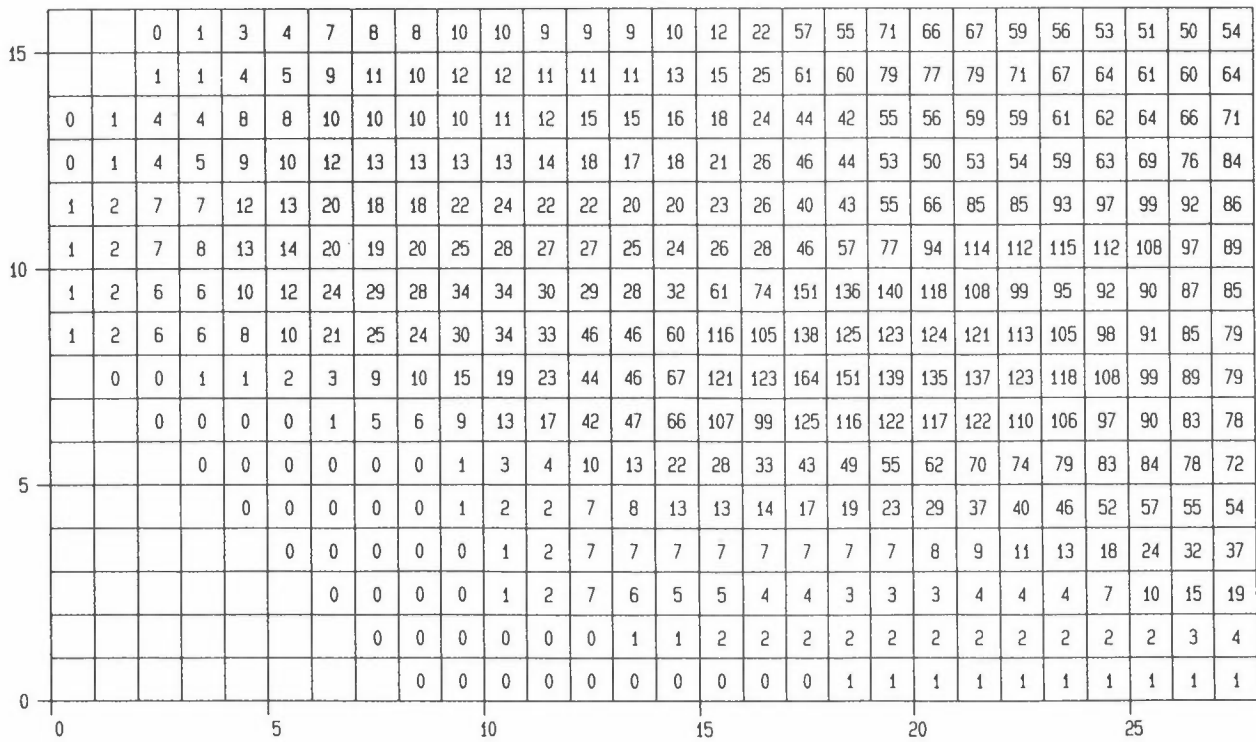
G/TIME



NOX-CPB-01  
UG/M3



NOX-CLB-01  
UG/M3



NOX-CBU-01  
UG/M3

							0	0	0	0	1	1	1	2	3	5	4	5	5	6	5	5	5	5	5	4
							0	0	0	0	1	1	2	2	3	5	5	6	6	7	7	7	7	7	6	6
							0	0	0	0	1	1	2	3	3	5	5	6	6	7	7	7	8	8	8	7
							0	0	0	0	1	1	1	2	2	3	4	6	5	7	7	8	8	9	9	9
							0	0	1	1	1	3	3	3	3	3	4	5	9	9	11	11	11	11	11	10
							0	0	1	1	2	4	5	5	5	5	5	6	11	12	15	16	16	15	14	13
							0	1	3	5	5	8	9	8	8	9	13	15	25	22	22	19	17	16	15	14
							0	1	3	4	5	8	10	10	14	14	18	29	25	23	22	21	21	20	18	17
							0	0	1	1	3	6	7	16	15	18	26	26	34	30	26	24	21	19	17	16
							0	0	0	1	2	3	3	7	10	17	25	23	27	25	24	22	21	19	17	16
							0	0	0	1	2	2	4	5	7	10	10	13	14	15	17	19	19	19	18	16
							0	1	2	2	3	3	3	3	3	4	5	6	7	9	13	13	14	14	14	13
							0	0	0	0	1	1	1	1	1	1	2	2	3	3	4	5	6	7	7	
							0	0	0	0	0	0	0	0	0	0	0	0	0	0	0	0	0	0	0	0
							0	0	0	0	0	0	0	0	0	0	0	0	0	0	0	0	0	0	0	0

NOX-CEN-01  
UG/M3

		1	2	7	6	6	6	7	8	7	8	8	9	10	10	14	26	29	49	41	32	27	24	21	19	17	
		1	3	9	10	10	10	11	11	10	10	10	10	11	12	16	17	21	25	32	31	30	28	25	22	20	
	1	2	10	11	20	17	16	14	12	11	11	10	13	12	12	14	14	18	18	20	21	23	22	23	25	25	
	1	2	10	11	19	17	14	12	11	10	10	12	16	16	16	17	17	20	20	23	25	28	29	29	28	27	
	0	0	1	1	2	4	6	8	11	23	29	25	22	19	18	18	20	30	33	41	45	49	44	42	40	39	33
	0	0	0	0	1	1	2	3	7	19	26	23	21	19	18	18	19	30	33	45	53	59	55	51	47	44	36
	0	0	0	0	0	1	1	2	2	3	6	9	10	12	12	13	15	25	50	49	53	49	48	46	43	41	38
	0	0	0	0	0	1	1	2	2	2	6	8	9	13	19	22	32	34	40	39	40	43	46	45	43	42	39
	0	0	0	0	0	0	0	2	4	12	24	27	49	44	40	43	41	41	44	47	51	55	52	50	48	46	43
	0	0	0	0	0	0	1	4	12	18	21	39	46	52	70	64	70	66	65	65	66	60	57	54	51	49	46
	0	0	0	0	0	0	0	1	4	8	25	28	43	62	63	75	70	74	73	78	72	69	64	60	53	47	
	0	0	0	0	0	0	0	2	4	20	22	38	37	32	29	27	26	27	28	29	30	31	32	32	31		
	0	0	0	0	0	0	0	2	4	13	13	15	19	18	17	16	15	14	14	13	13	14	15	16	18		
	0	0	0	0	0	0	0	0	0	0	0	0	0	1	1	2	2	2	3	4	4	5	5	5	5		

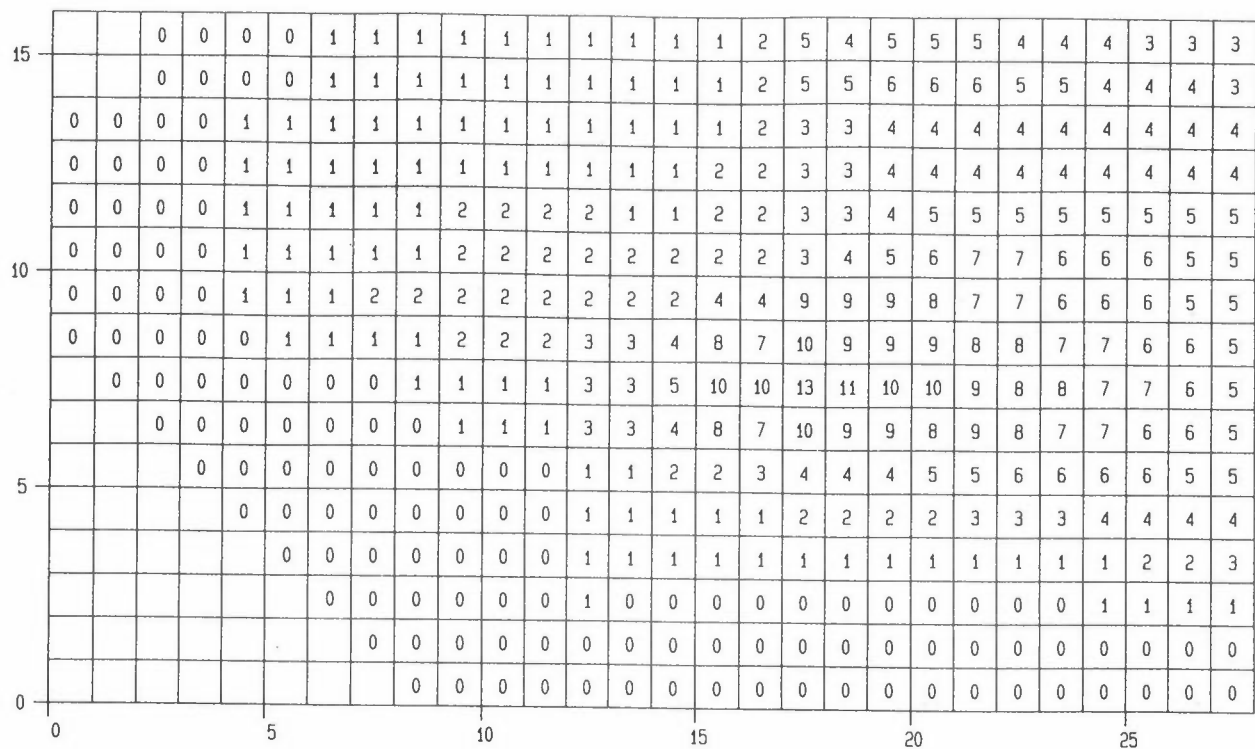


NOX-TOT-01

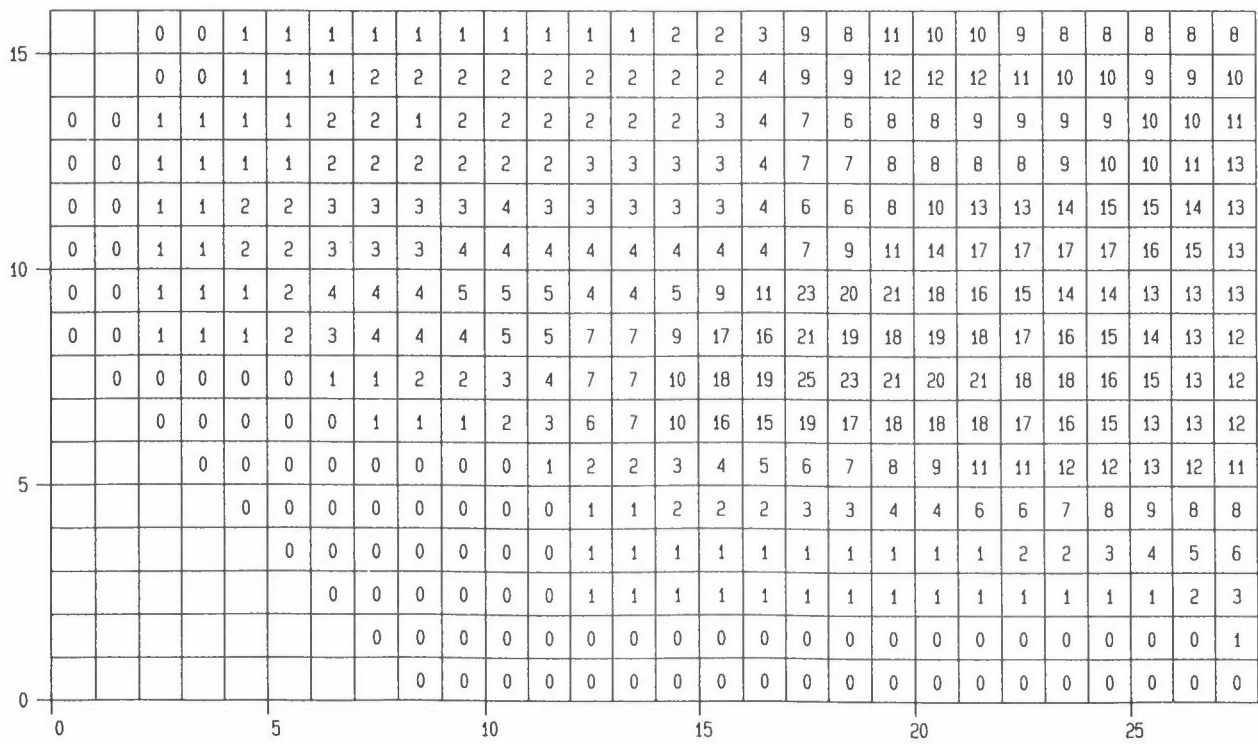
UG/M3

		2	5	17	17	24	28	26	32	33	30	32	32	36	43	69	166	171	215	219	207	181	166	153	143	133	129	
15		3	7	20	23	34	39	38	43	43	39	40	40	45	53	80	178	176	228	224	230	211	198	185	173	161	155	
	2	5	20	23	42	39	44	41	38	38	39	40	51	49	52	63	77	134	130	165	168	178	175	177	178	181	179	179
	2	5	20	24	45	42	46	45	43	43	44	47	61	60	63	72	85	141	135	162	158	167	170	177	182	190	195	203
	2	4	15	17	30	35	56	55	57	78	89	80	77	70	69	76	87	134	145	184	214	249	238	244	247	248	234	222
10	2	4	15	16	29	32	51	51	56	80	96	91	90	84	81	85	93	148	179	239	287	330	315	307	292	277	253	235
	2	4	14	14	21	27	55	68	68	91	98	90	89	86	96	165	207	418	384	404	346	317	296	282	270	259	250	241
	2	4	13	12	19	22	49	59	58	81	97	99	140	147	185	339	314	400	368	362	364	355	332	311	291	273	257	241
	0	0	1	3	3	8	21	27	47	77	95	189	184	238	398	395	502	460	421	409	414	370	356	325	298	269	244	
	0	0	0	0	3	14	17	33	52	64	146	166	231	363	337	419	388	395	377	383	347	330	305	285	267	251		
5		0	0	0	0	0	1	6	15	22	58	68	108	149	161	204	214	234	251	279	278	289	290	292	266	245		
		0	0	0	0	1	4	10	14	50	51	81	82	85	109	115	132	147	177	179	197	210	225	217	205			
		0	0	0	0	0	5	10	39	40	56	57	53	49	47	47	51	56	63	70	90	106	138	145				
		0	0	0	0	5	10	31	29	29	32	29	26	25	24	24	23	24	25	32	41	54	68					
		0	0	0	0	0	0	1	3	6	8	10	10	11	12	12	12	13	13	14	14	16	20					
0		0	0	0	0	0	0	0	0	0	0	0	0	1	2	4	4	5	6	7	7	8	8	8	9			

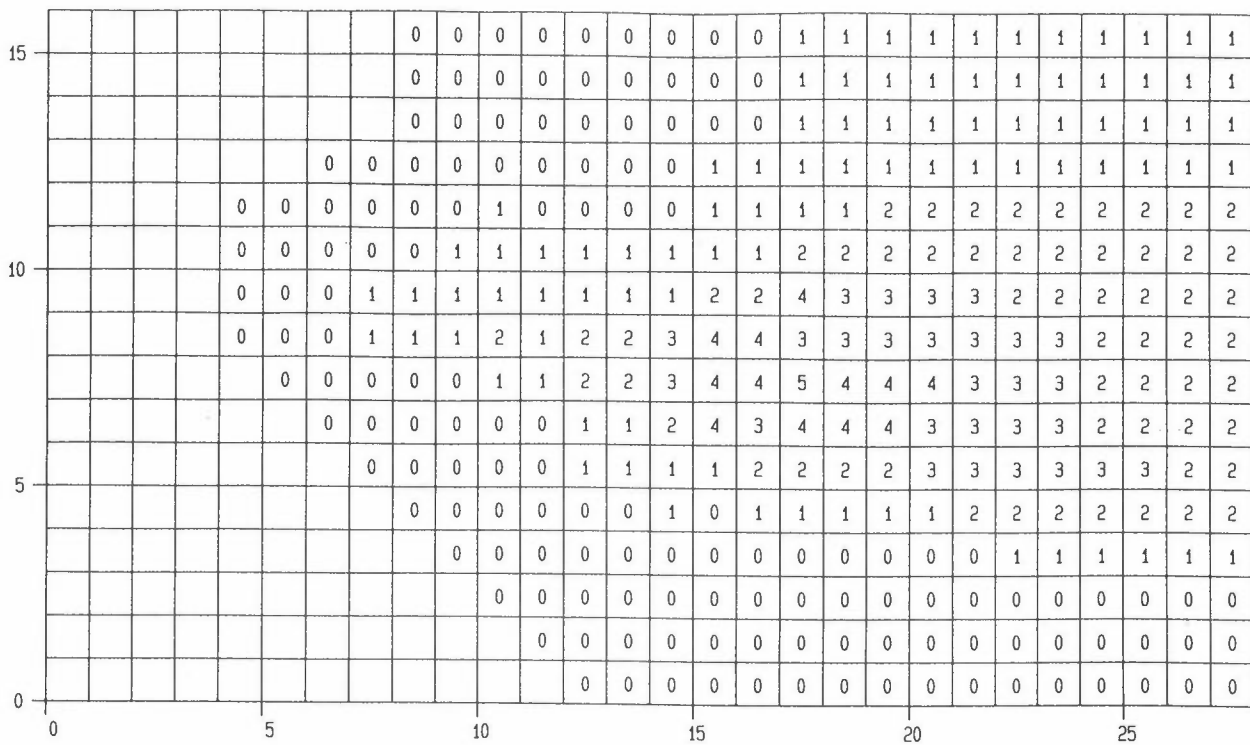
N02-CPB-01  
UG/M3



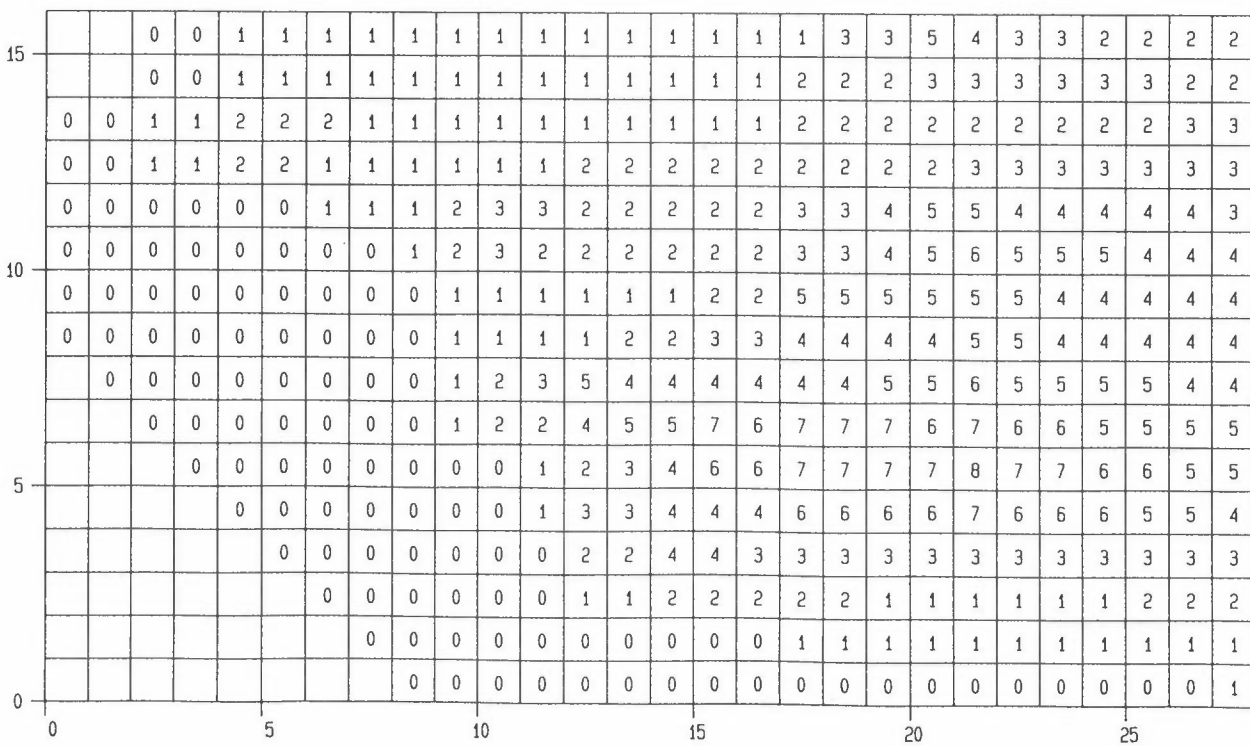
N02-CLB-01  
UG/M3



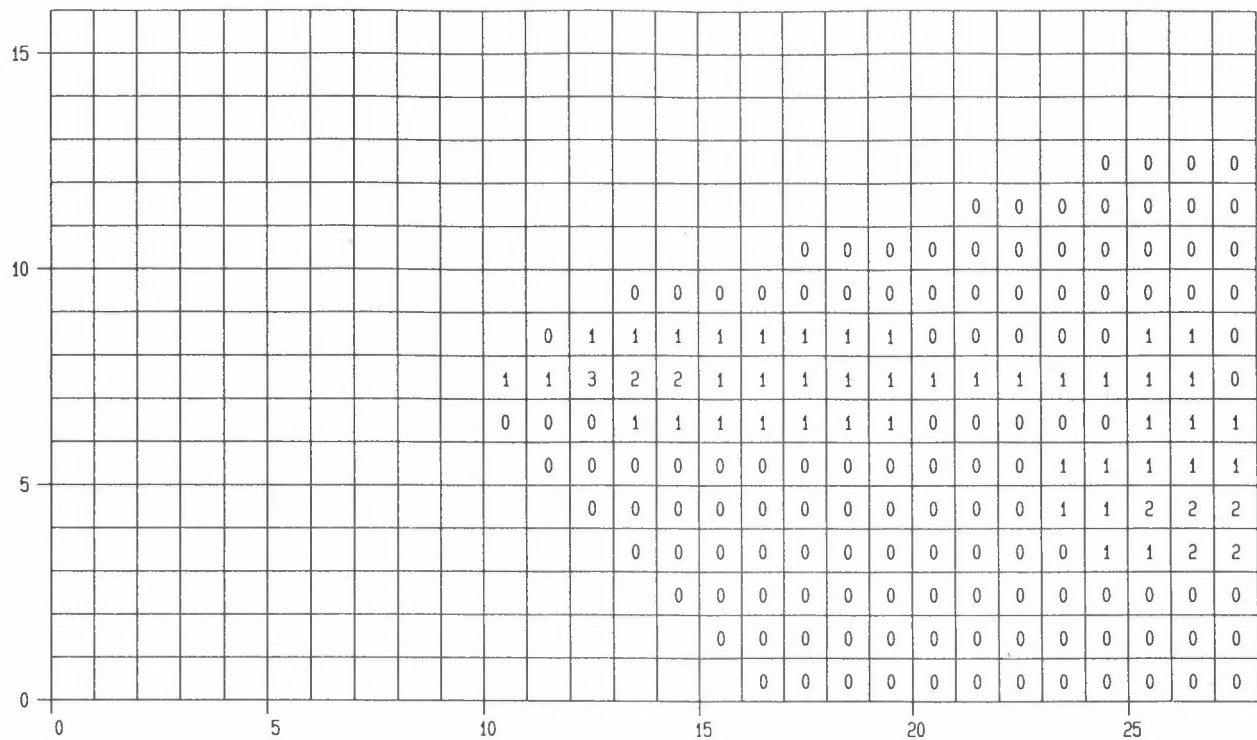
N02-CBU-01  
UG/M3



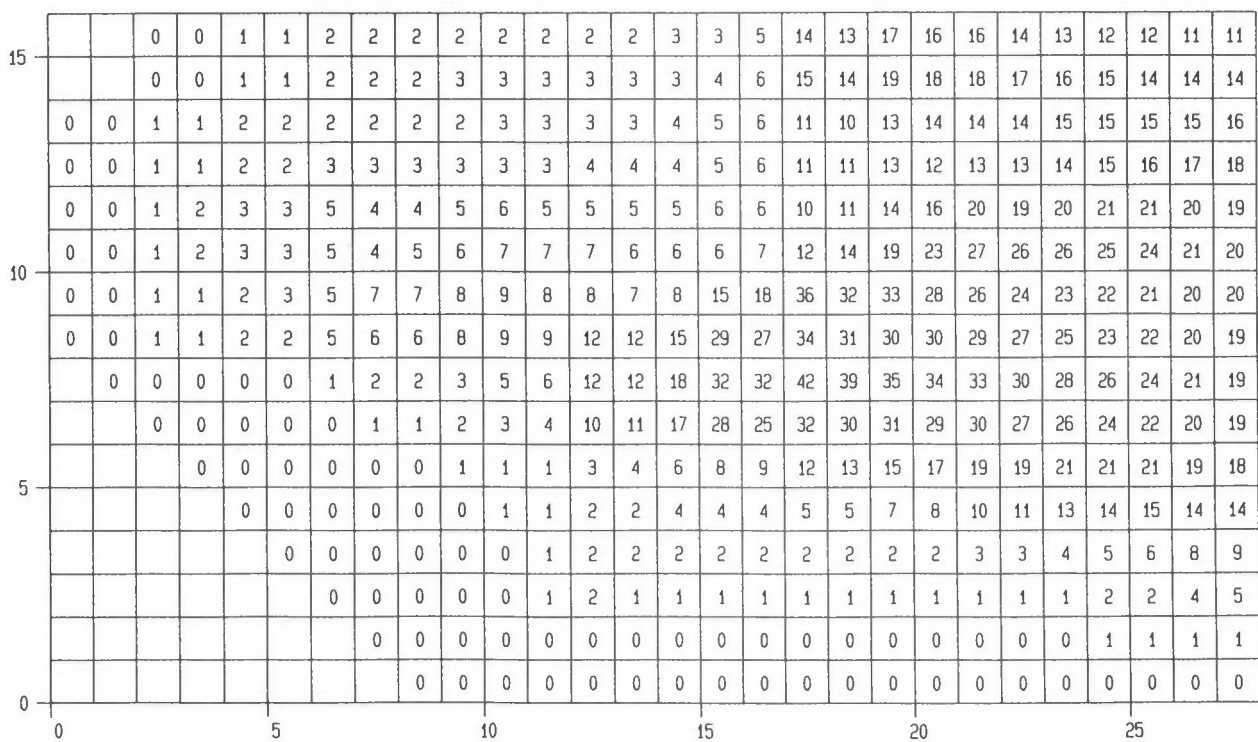
N02-CEN-01  
UG/M3



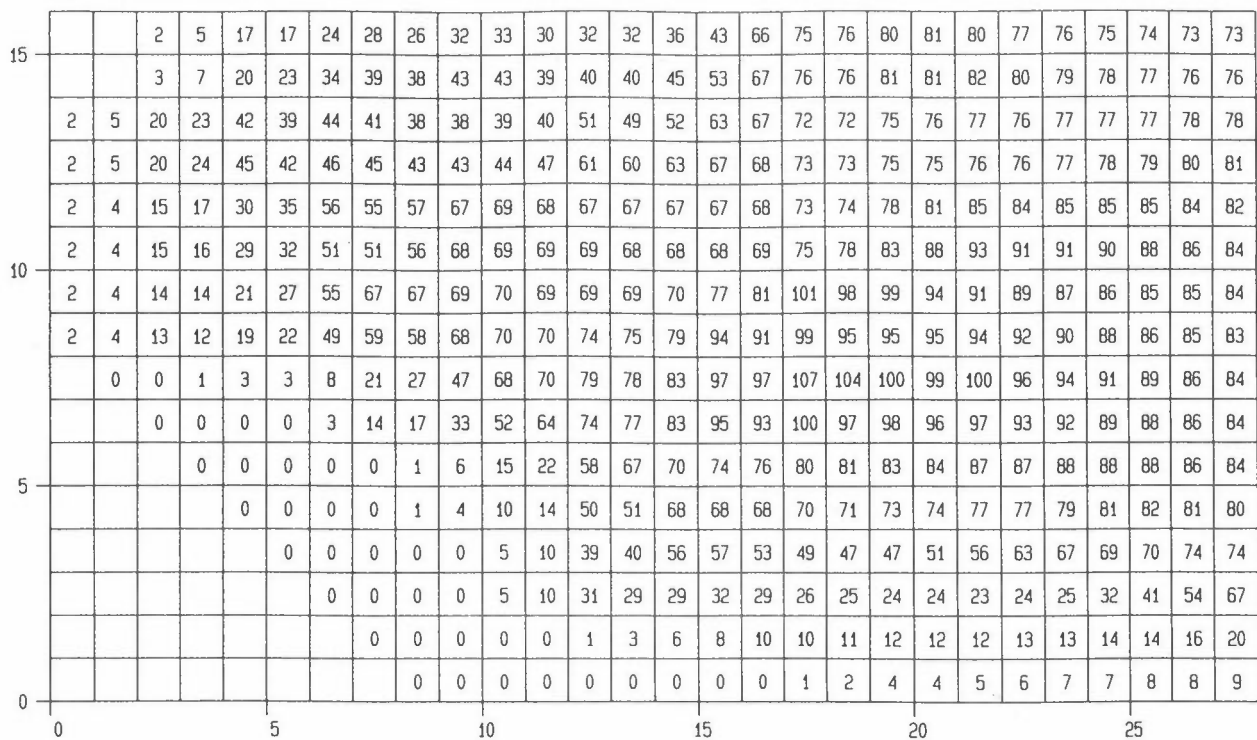
N02-CIN-01  
UG/M3



N02-CTR-01  
UG/M3



NO2-TOT-01  
UG/M3



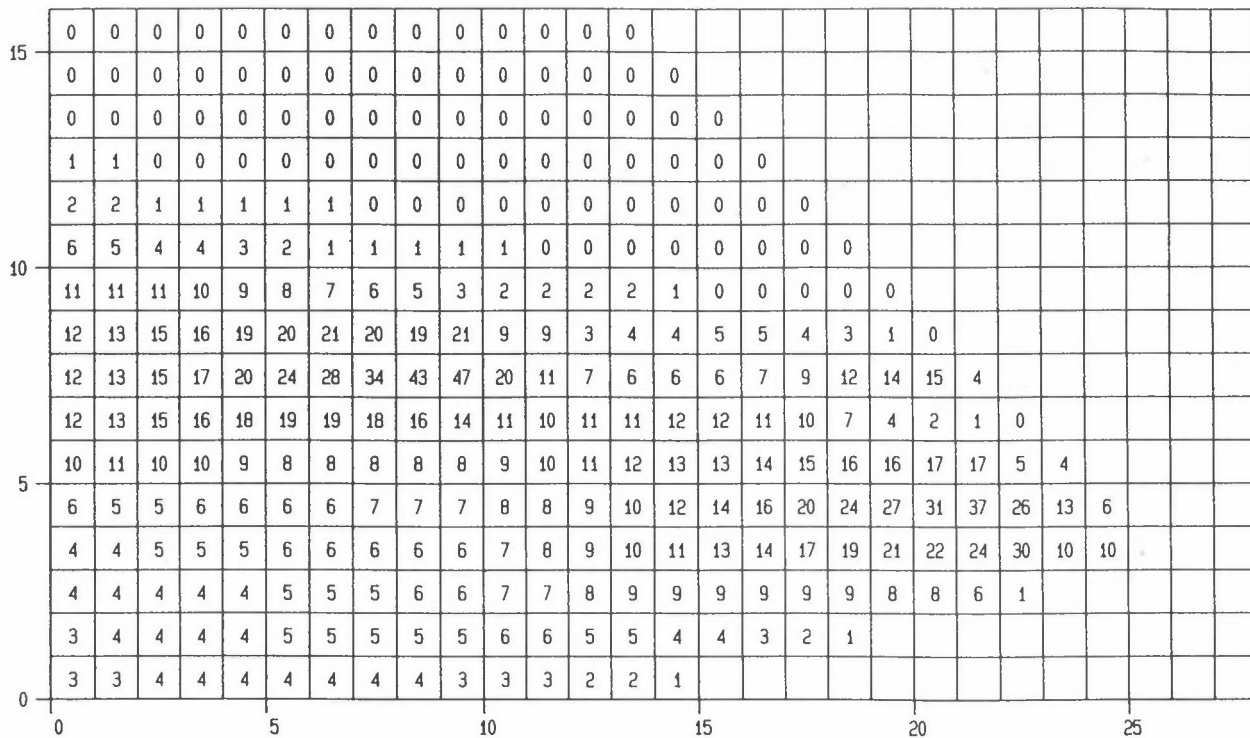
NOX-CPB-01  
UG/M3

NOX-CLB-01  
UG/M3

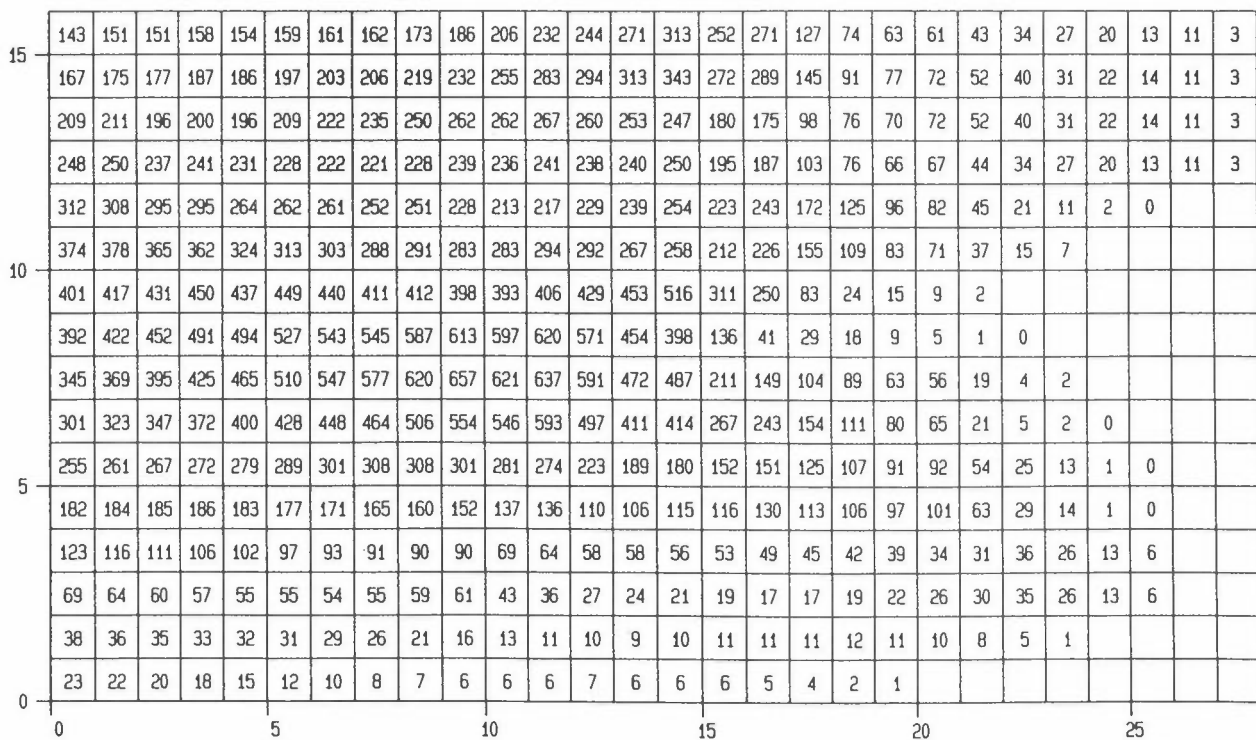
NOX-CBU-01  
UG/M3

NOX-CEN-01  
UG/M3

NOX-CIN-01  
UG/M3



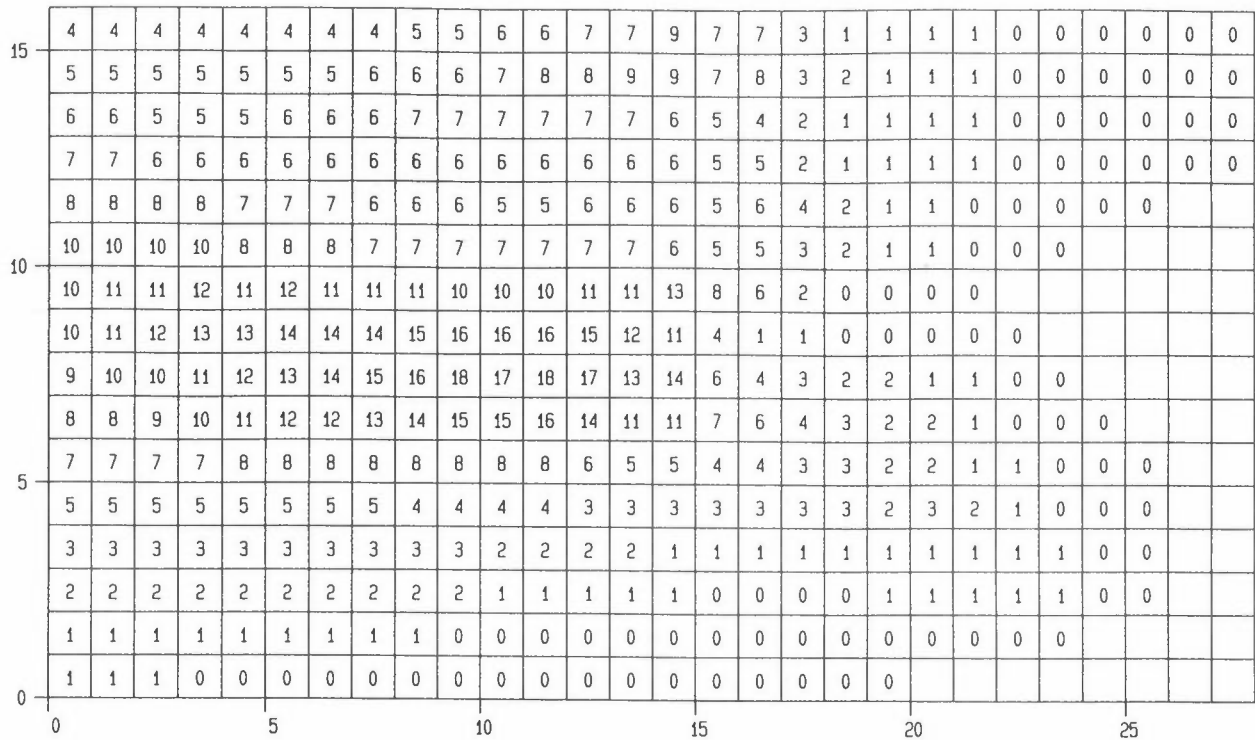
NOX-CTR-01  
UG/M3



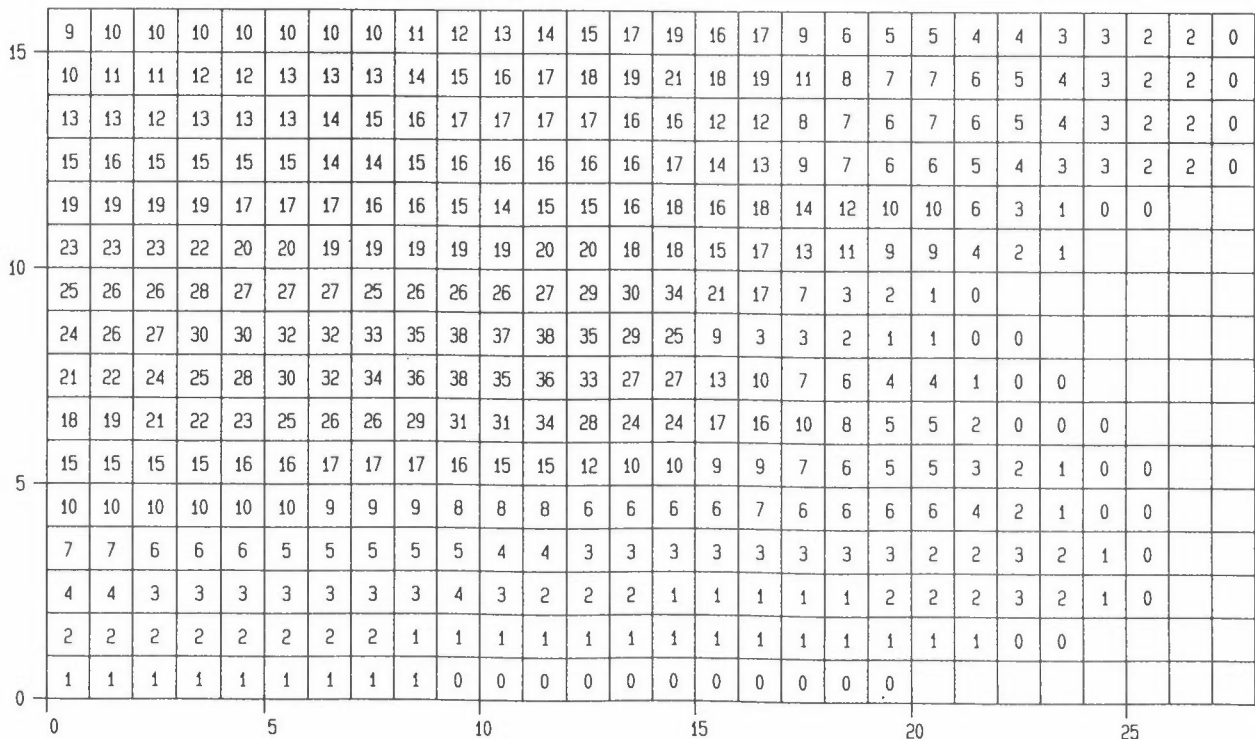
NOX-TOT-01

UG/M3

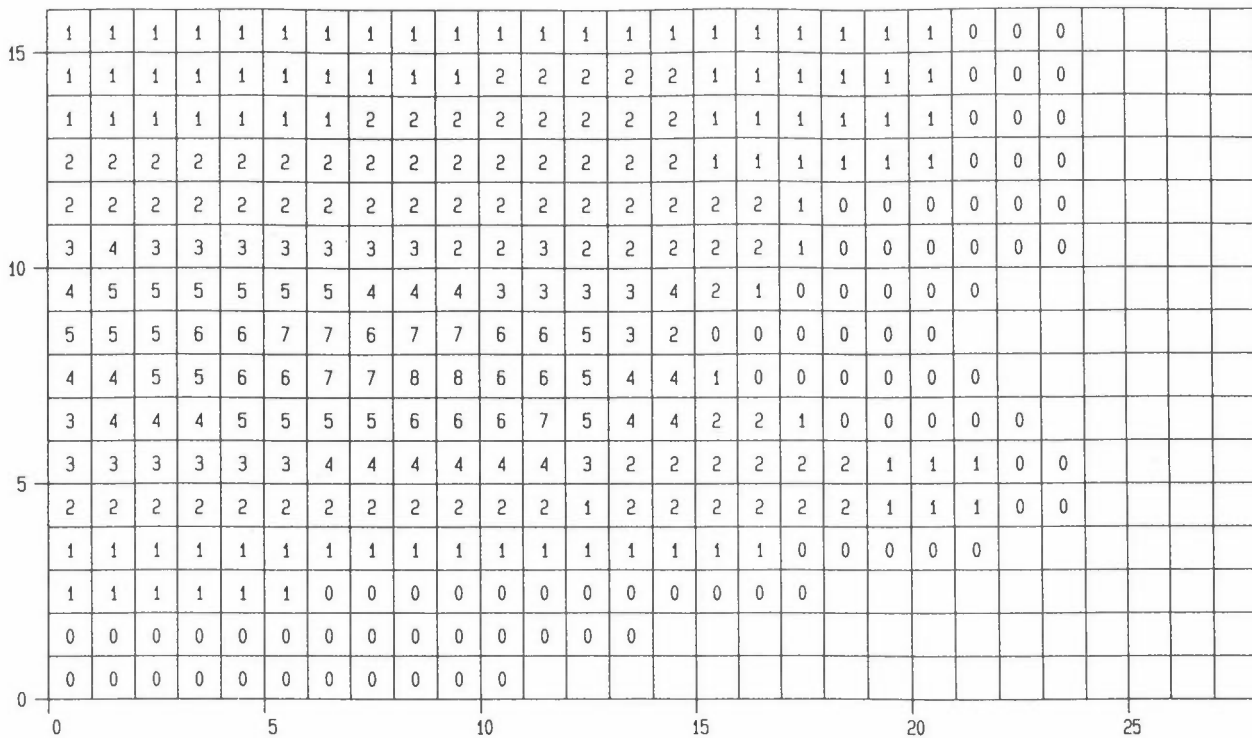
N02-CPB-01  
UG/M3



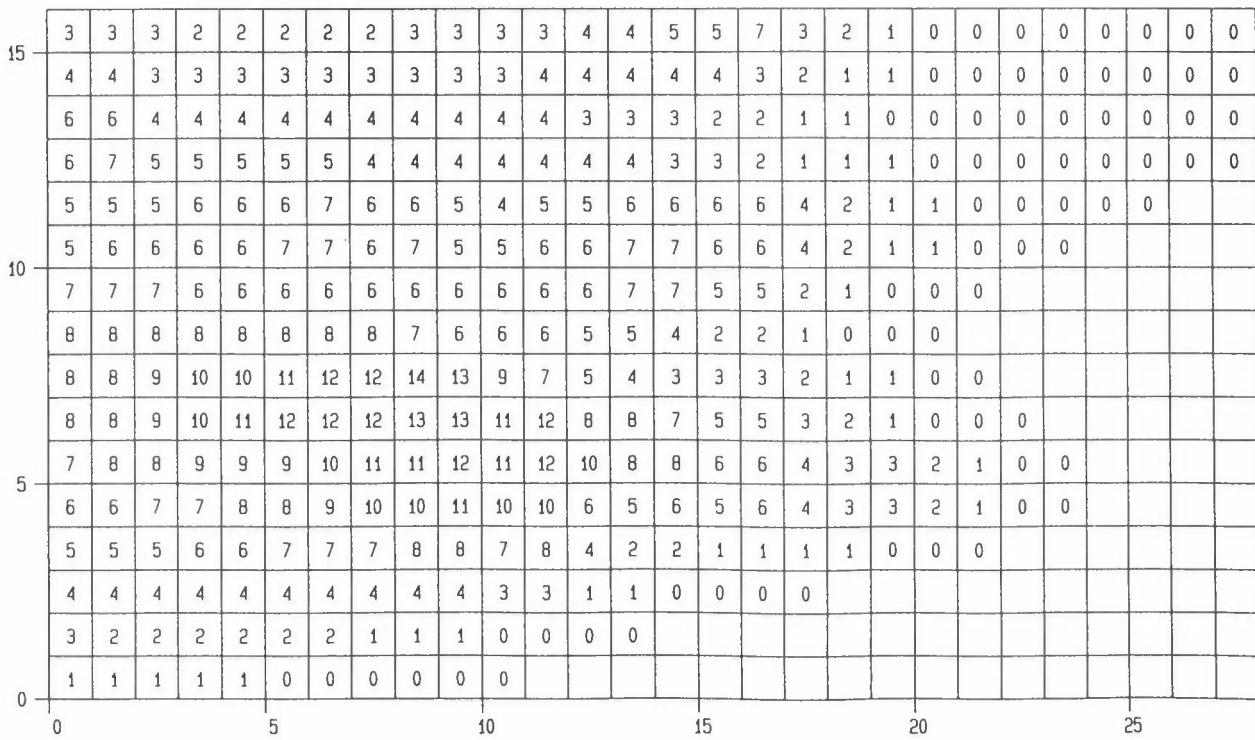
N02-CLB-01  
UG/M3



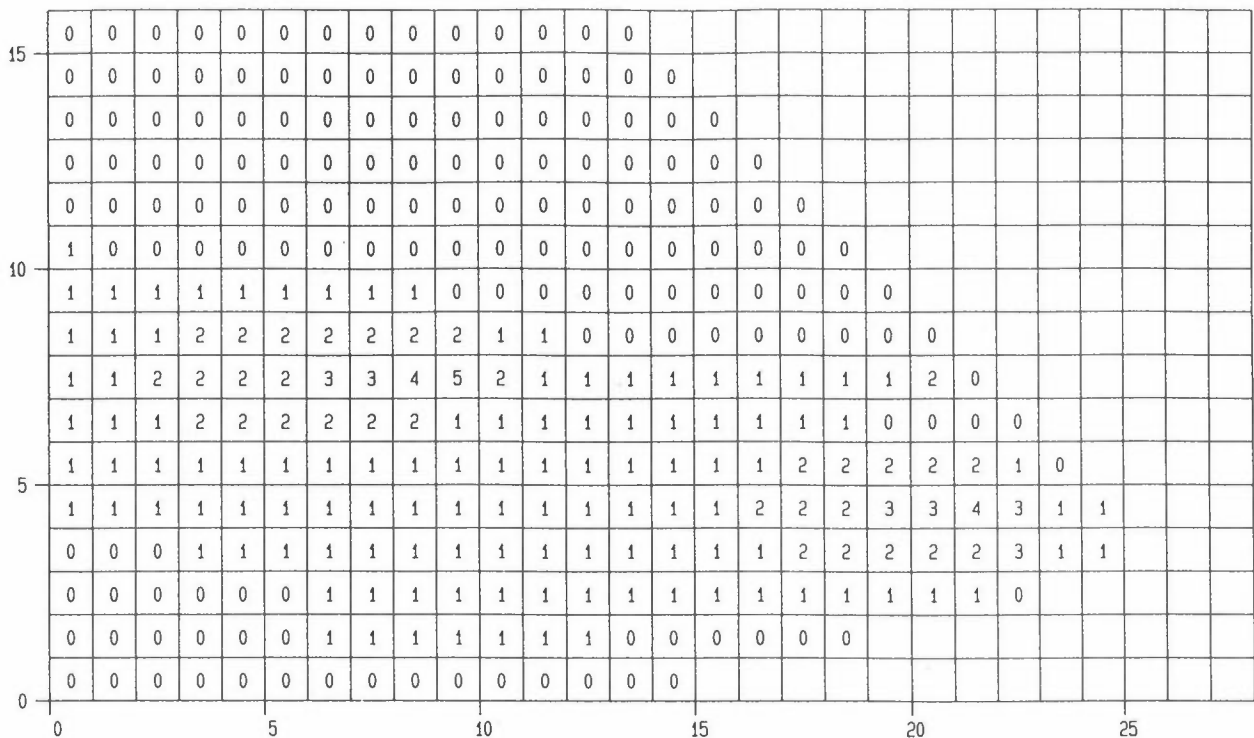
N02-CBU-01  
UG/M3



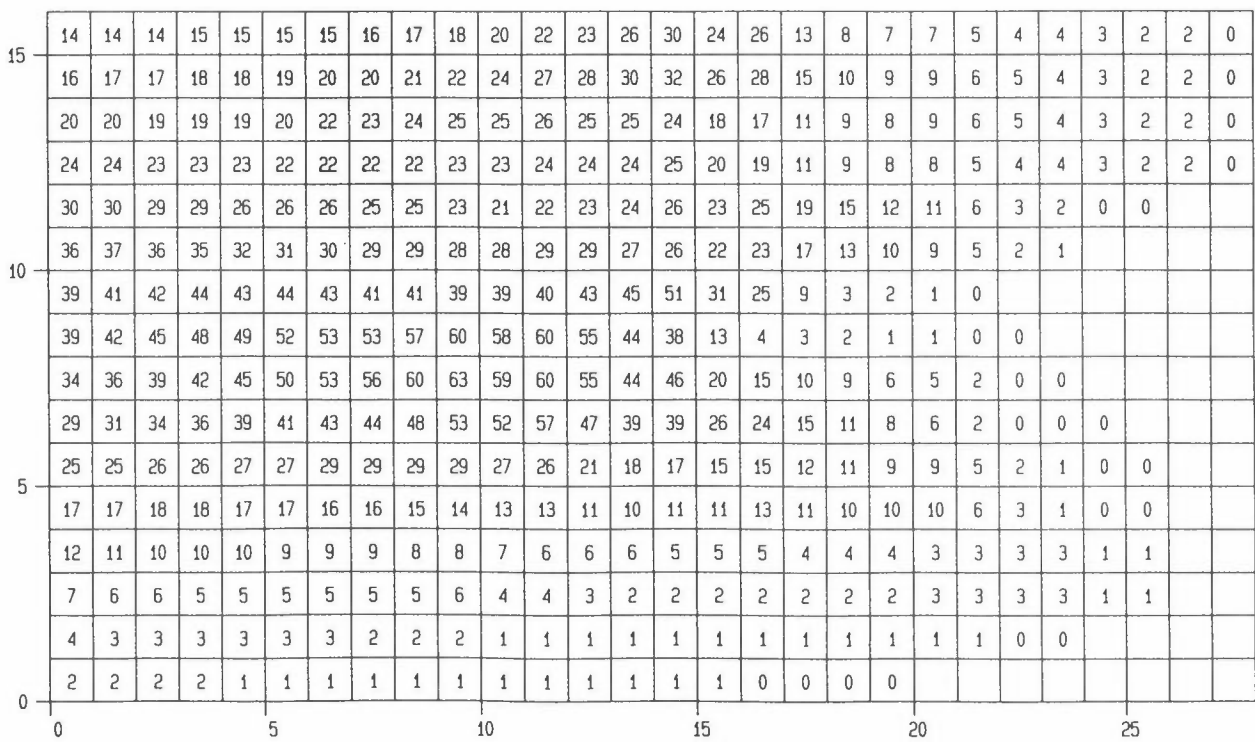
N02-CEN-01  
UG/M3



N02-CIN-01  
UG/M3



N02-CTR-01  
UG/M3



N02-TOT-01  
UG/M3

	77	78	77	78	77	78	78	78	79	81	83	85	87	90	94	90	93	76	71	68	65	45	35	28	20	13	11	3	
15	80	81	80	81	81	82	83	83	84	86	88	91	92	94	97	90	91	77	71	70	69	54	41	32	22	14	11	3	
	86	86	83	83	83	84	85	87	89	90	89	90	88	87	87	80	79	72	69	69	69	54	41	32	22	14	11	3	
	90	91	88	88	87	87	86	86	87	88	88	88	88	88	88	82	81	73	70	68	68	46	35	28	20	13	11	3	
	95	95	94	94	92	92	93	91	91	87	86	87	88	90	92	89	91	82	77	73	72	49	23	12	2	0			
10	102	103	102	102	98	98	97	95	96	94	94	95	96	94	93	88	90	80	75	71	70	41	17	8					
	107	109	110	112	110	111	110	107	107	105	105	106	109	112	119	96	89	71	30	19	10	2							
	107	111	114	118	119	122	124	123	126	129	125	127	121	109	102	76	64	42	25	12	5	1	0						
	103	106	109	113	118	123	128	132	138	141	129	128	120	109	109	84	78	73	71	68	67	24	4	2					
	98	101	104	108	111	115	117	118	123	127	124	130	116	108	107	92	90	79	73	69	67	23	5	2	0				
5	93	94	95	96	96	98	99	101	101	101	99	99	92	88	87	82	82	78	75	73	73	68	35	19	1	0			
	84	84	85	85	86	86	86	86	86	86	84	84	78	76	78	78	80	77	76	75	76	71	60	29	7	0			
	77	77	76	76	76	76	76	77	77	75	74	70	69	68	68	67	67	66	63	58	56	66	36	23	6				
	71	70	70	70	70	70	70	70	71	71	68	67	46	39	32	30	27	26	28	31	33	35	37	26	13	6			
	66	64	62	60	58	55	50	44	36	28	22	19	16	14	14	15	15	14	12	11	10	8	5	1					
0	40	37	34	29	25	20	16	14	11	10	9	9	9	8	7	6	5	4	2	1									
	0	5	10	15	20	25	30	35	40	45	50	55	60	65	70	75	80	85	90	95	100	105	110	115	120	125	130	135	140



## **VEDLEGG C**

**Resultater for scenarium 1**

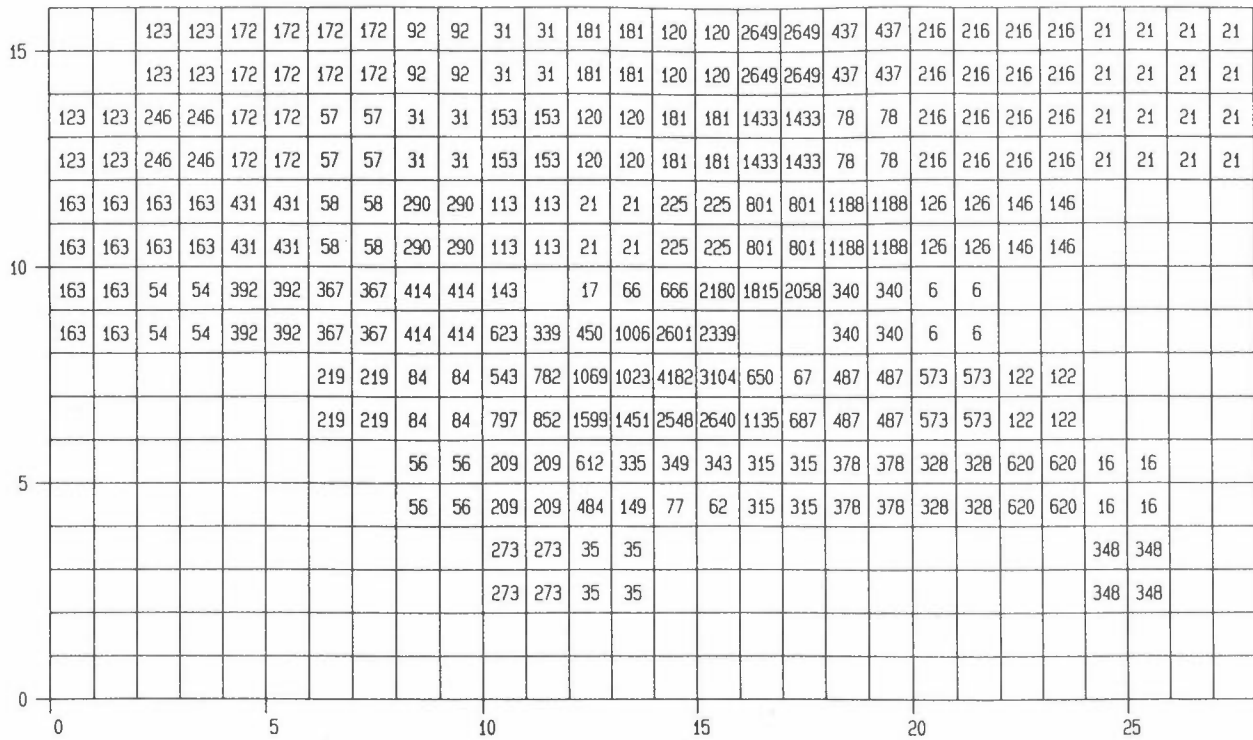
(Trafikk og utslippsfaktorer for 1988,  
men med flytting av trafikk  
fra E4 til bro over fjorden)



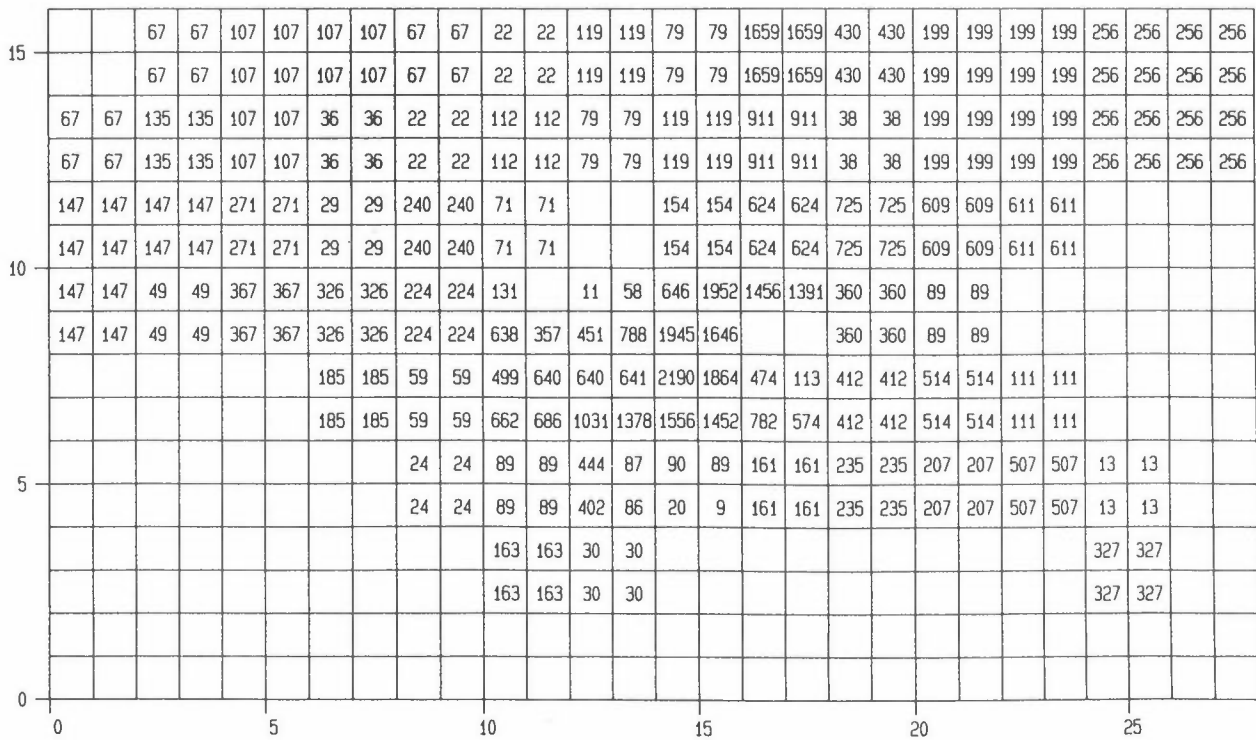
## INNHOLD

	Side
<b>Utslippsfelter NO<sub>x</sub>. Enhet: g NO<sub>x</sub>/time</b>	
- Personbiler .....	72
- Lastebiler .....	72
- Busser .....	73
- Energiproduksjon .....	73
- Industri, m.m. .....	74
- Trafikk (personbiler + lastebiler + busser) .....	74
- Totalt (trafikk + energiproduksjon + industri m.m) .....	75
<b>Konsentrasjonsfelter NO<sub>x</sub>. Vind: 280°, 1 m/s. Enhet: µg NO<sub>x</sub>/m<sup>3</sup></b>	
- Personbiler .....	76
- Lastebiler .....	76
- Busser .....	77
- Energiproduksjon .....	77
- Industri, m.m. .....	78
- Trafikk (personbiler + lastebiler + busser) .....	78
- Totalt (trafikk + energiproduksjon + industri m.m) .....	79
<b>Konsentrasjonsfelter NO<sub>2</sub>. Vind: 280°, 1 m/s. Enhet: µg NO<sub>2</sub>/m<sup>3</sup></b>	
- Personbiler .....	80
- Lastebiler .....	80
- Busser .....	81
- Energiproduksjon .....	81
- Industri, m.m. .....	82
- Trafikk (personbiler + lastebiler + busser) .....	82
- Totalt (trafikk + energiproduksjon + industri m.m) .....	83
<b>Konsentrasjonsfelter NO<sub>x</sub>. Vind: 100°, 1/2 m/s. Enhet: µg NO<sub>x</sub>/m<sup>3</sup></b>	
- Personbiler .....	84
- Lastebiler .....	84
- Busser .....	85
- Energiproduksjon .....	85
- Industri, m.m. .....	86
- Trafikk (personbiler + lastebiler + busser) .....	86
- Totalt (trafikk + energiproduksjon + industri m.m) .....	87
<b>Konsentrasjonsfelter NO<sub>2</sub>. Vind: 100°, 1/2 m/s. Enhet: µg NO<sub>2</sub>/m<sup>3</sup></b>	
- Personbiler .....	88
- Lastebiler .....	88
- Busser .....	89
- Energiproduksjon .....	89
- Industri, m.m. .....	90
- Trafikk (personbiler + lastebiler + busser) .....	90
- Totalt (trafikk + energiproduksjon + industri m.m) .....	91

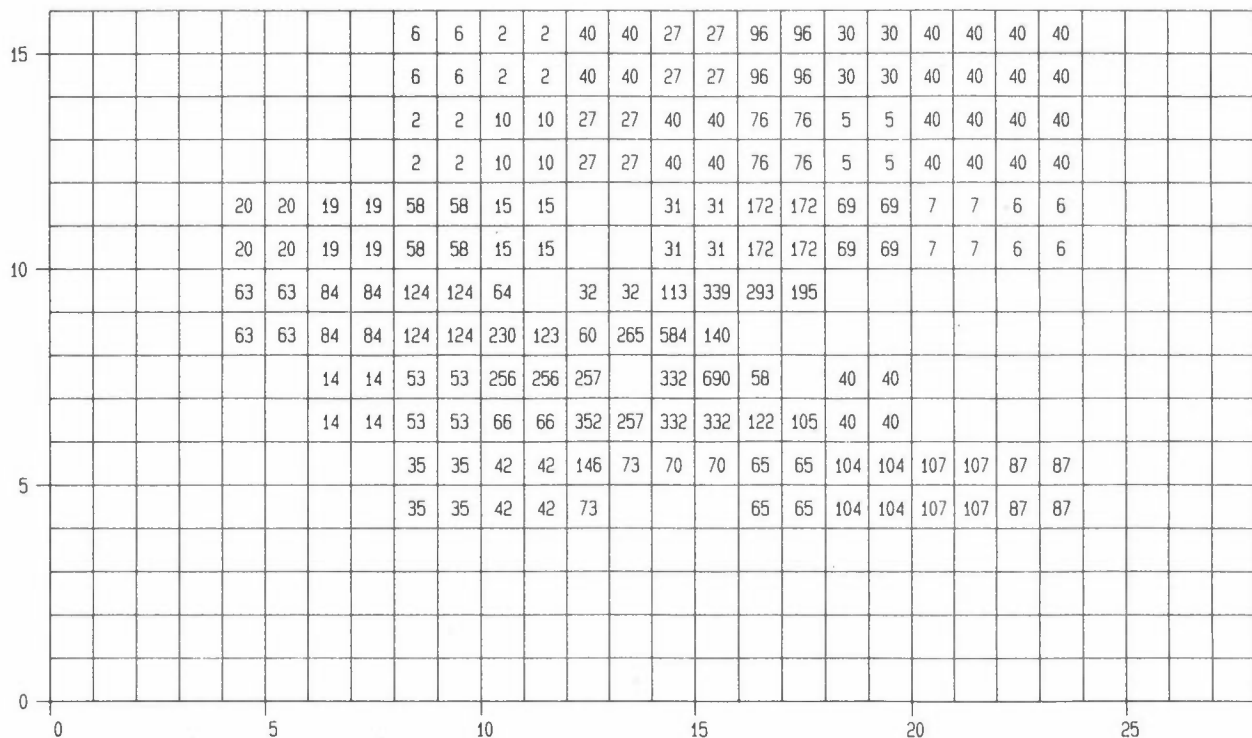
NOX-QPB-02  
G/TIME



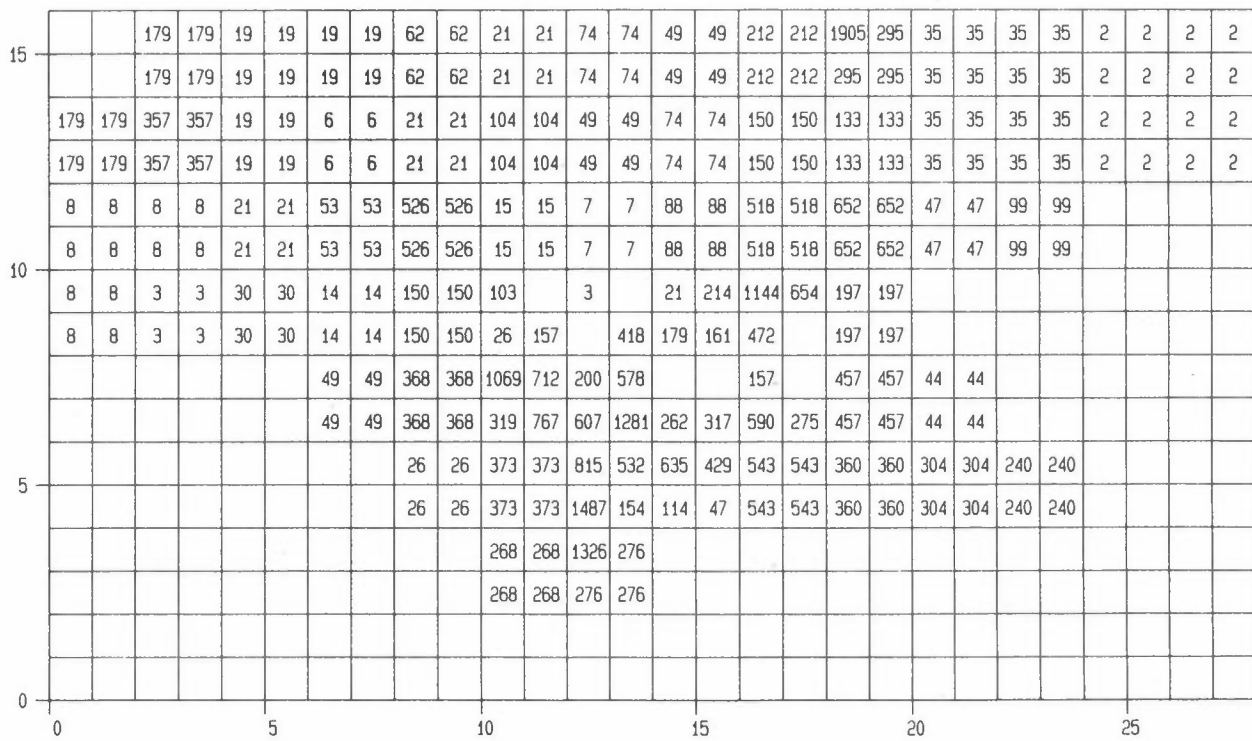
NOX-QLB-02  
G/TIME



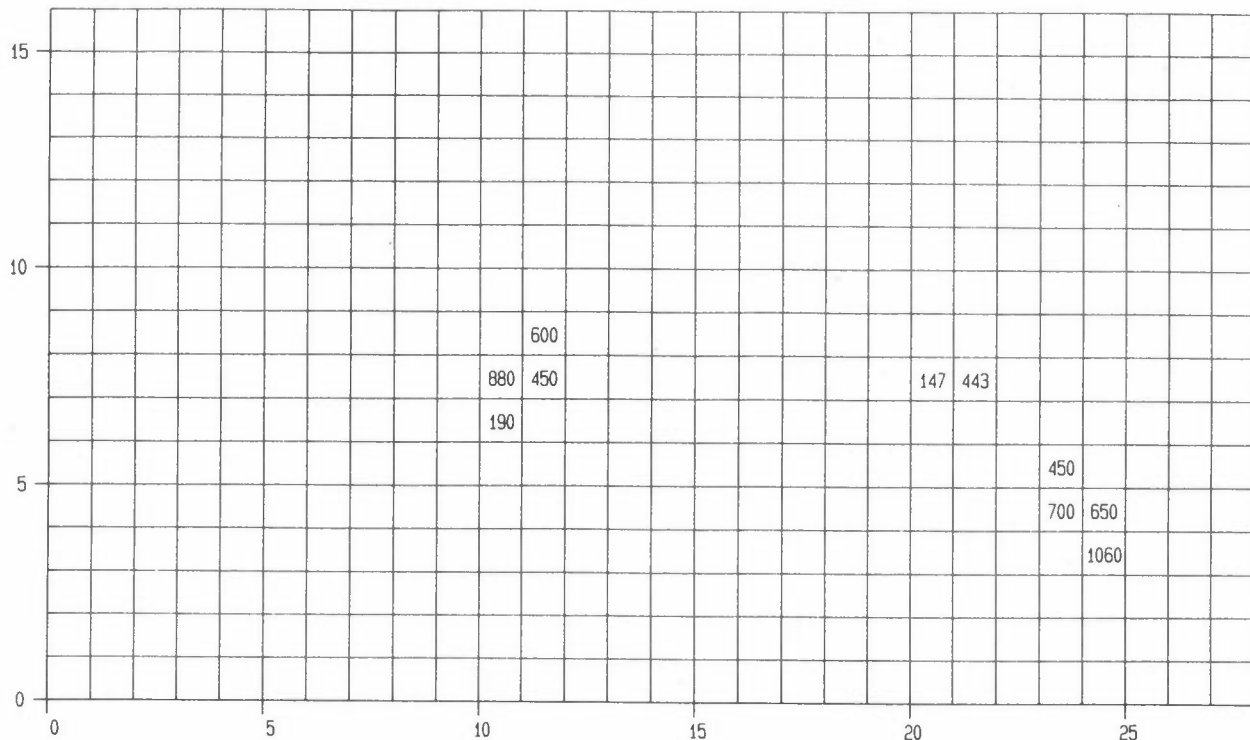
NOX-QBU-02  
G/TIME



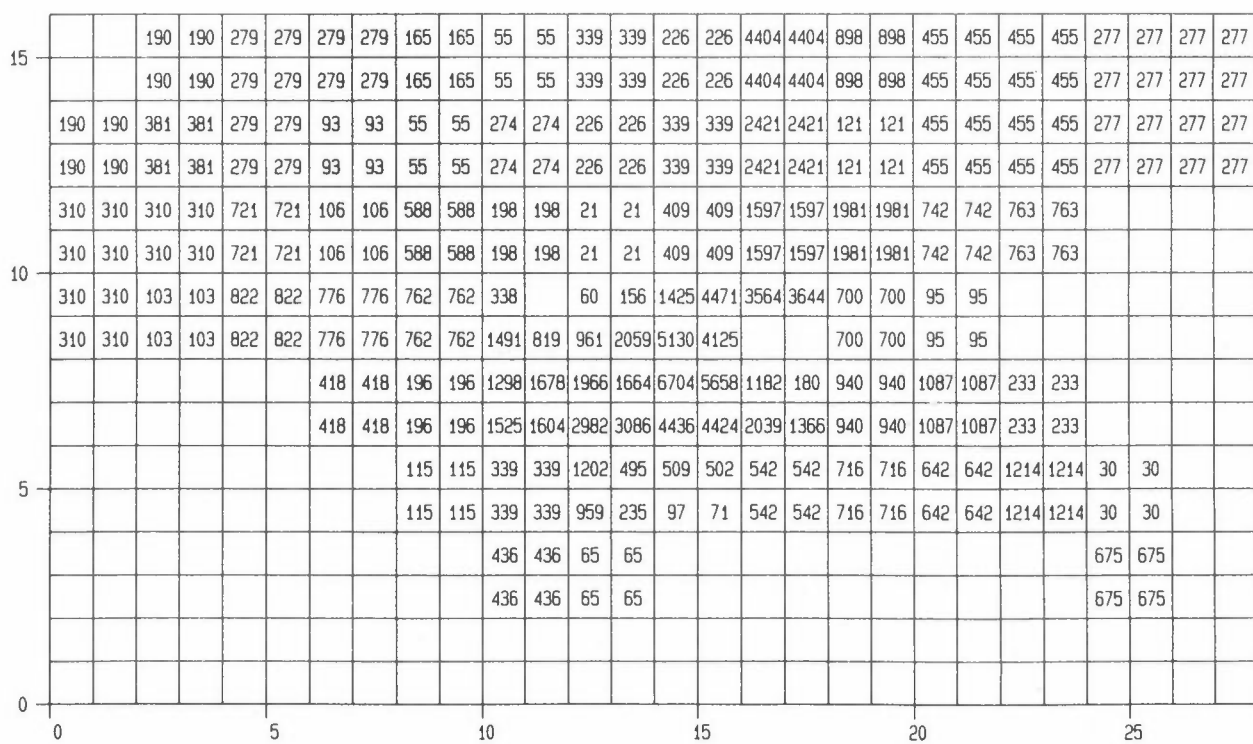
NOX-QEN-02  
G/TIME



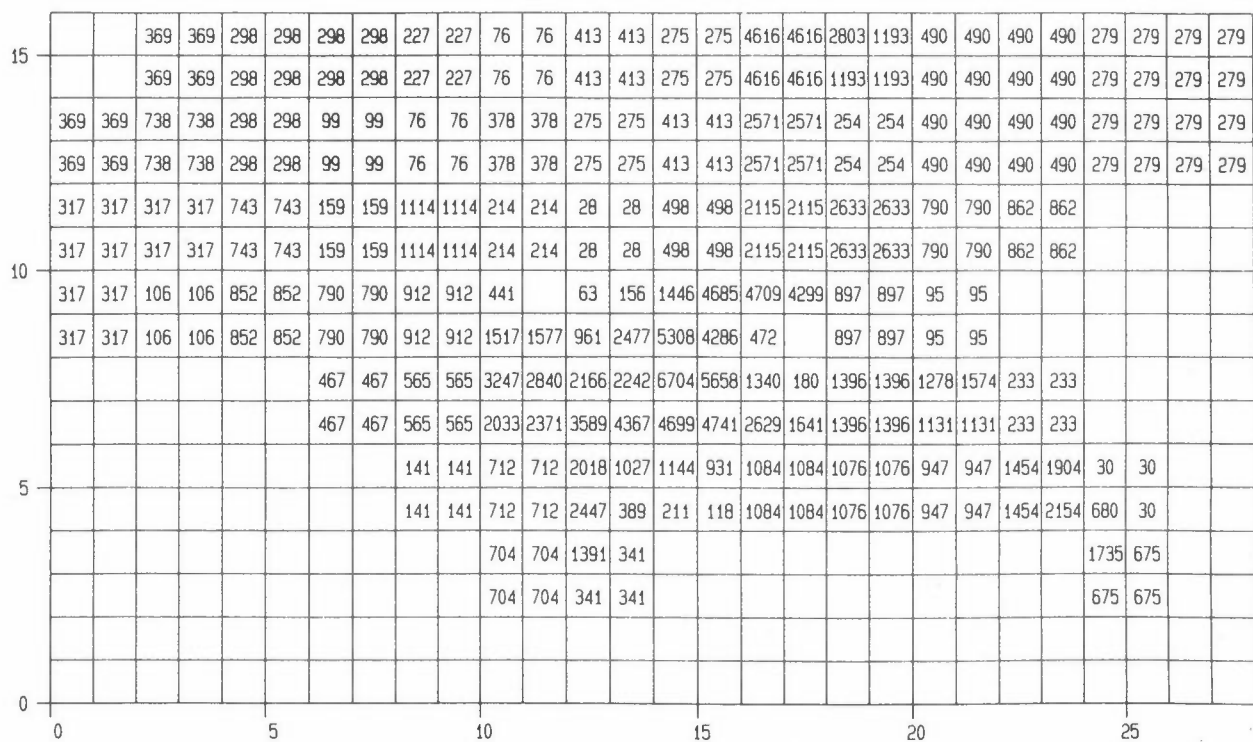
NOX-QIN-02  
G/TIME



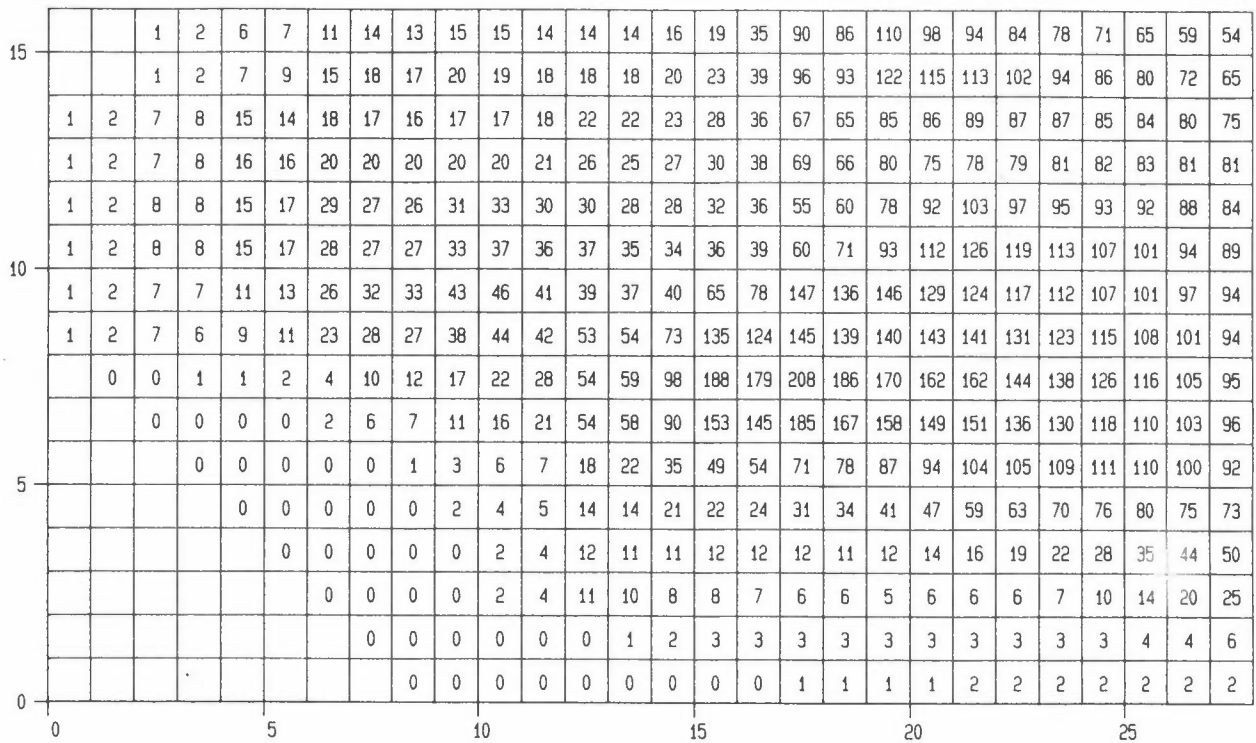
NOX-QTA-02  
G/TIME



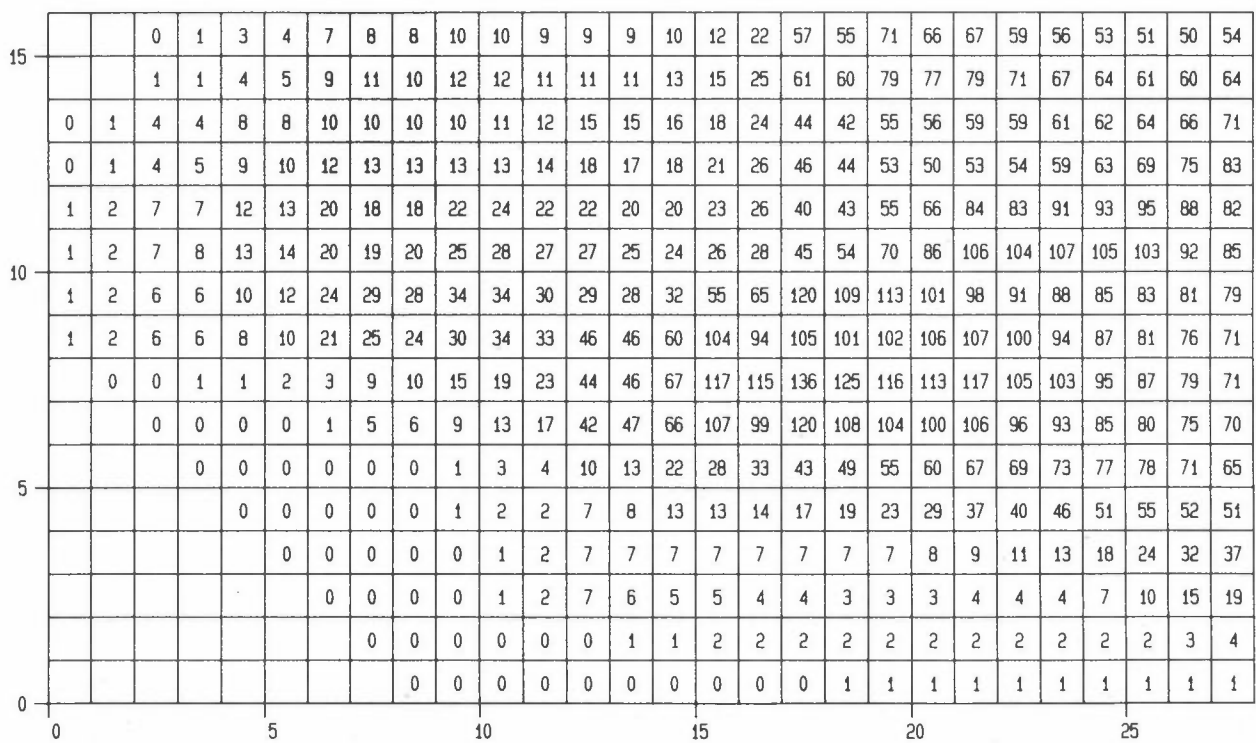
NOX-QTA-02  
G/TIME



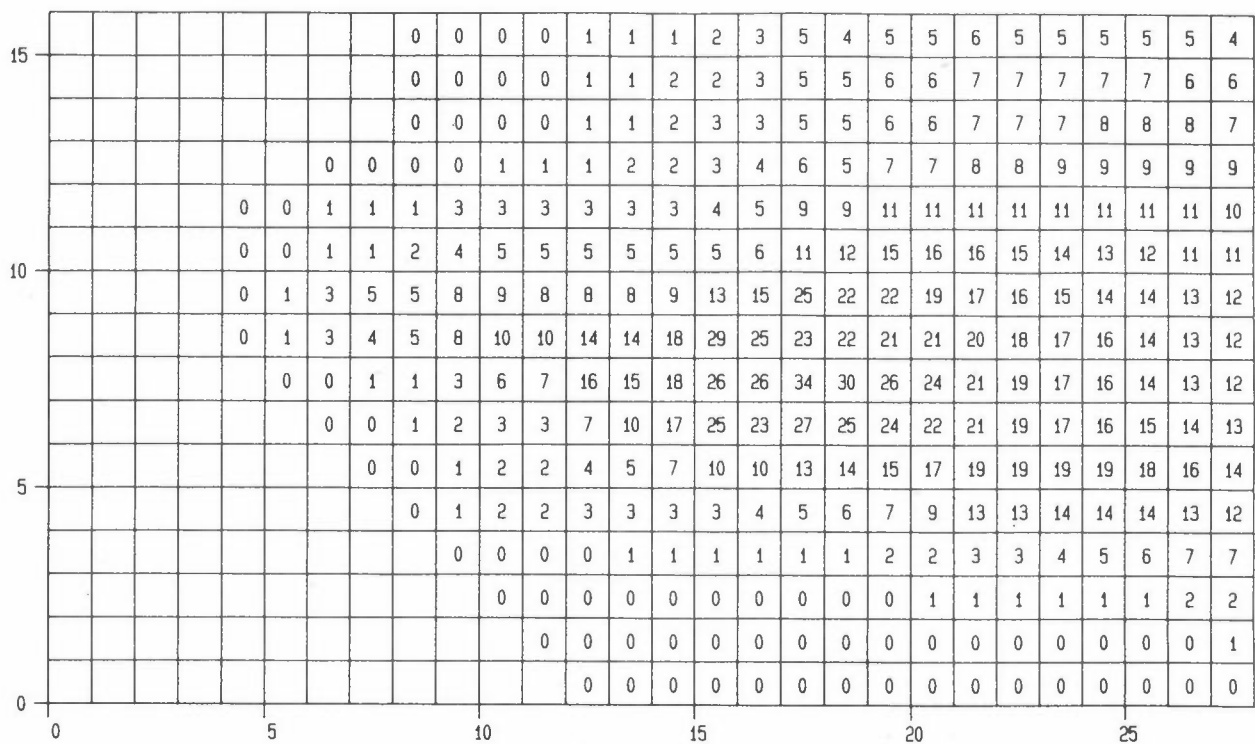
NOX-CPB-02  
UG/M3



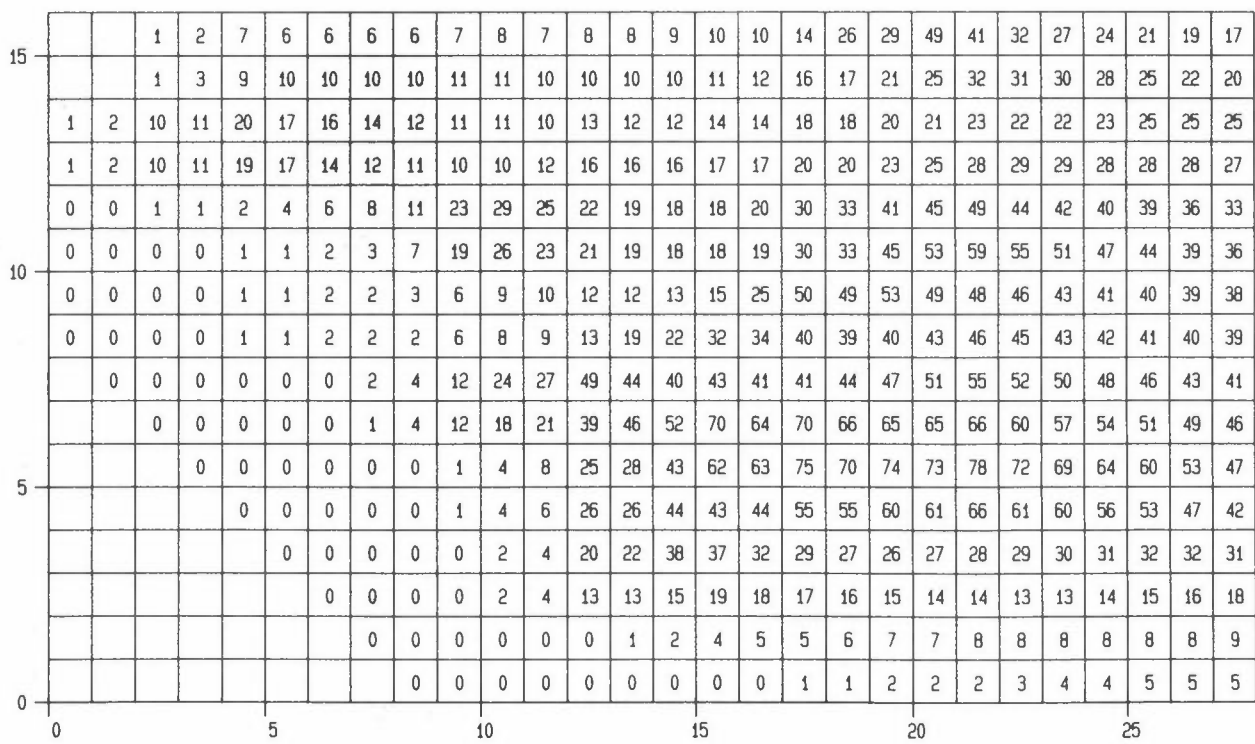
NOX-CLB-02  
UG/M3



NOX-CBU-02  
UG/M3



NOX-CEN-02  
UG/M3

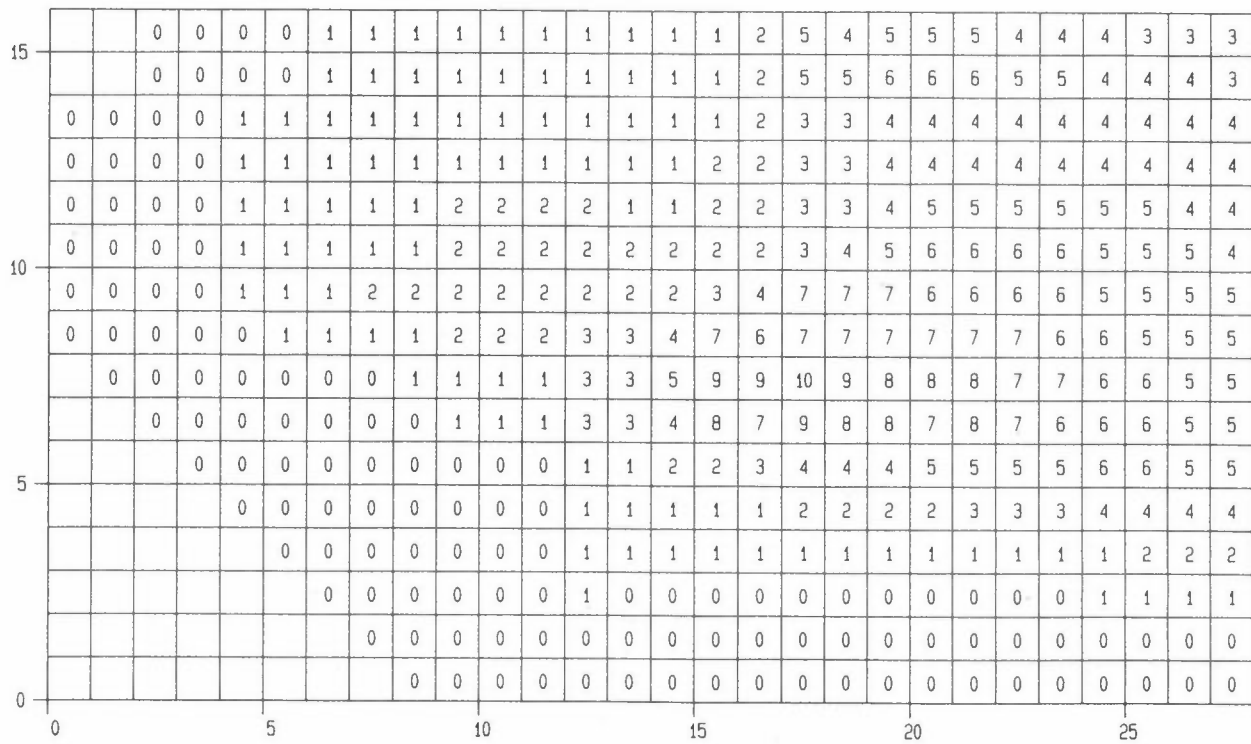




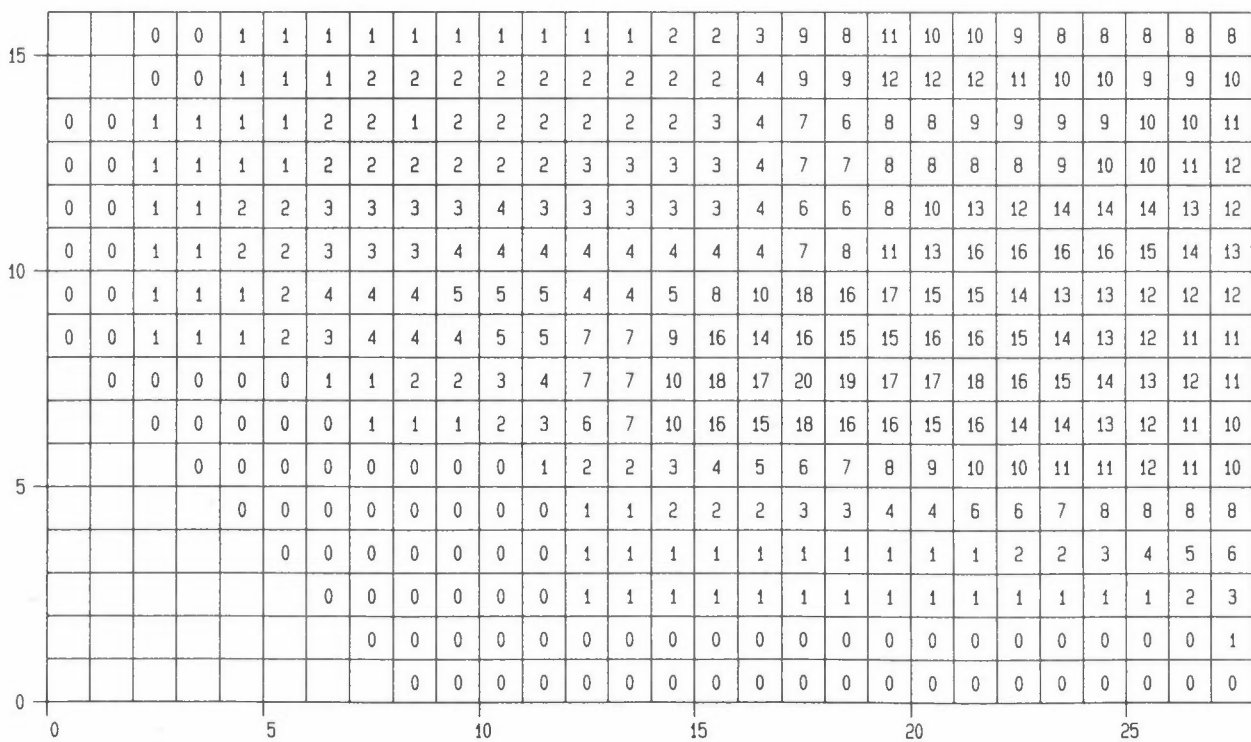
NOX-TOT-02  
UG/M3

		2	5	17	17	24	28	26	32	33	30	32	32	36	43	69	166	171	215	219	207	181	166	153	143	133	129
		3	7	20	23	34	39	38	43	43	39	40	40	45	53	80	178	176	228	224	230	211	198	185	173	161	155
2	5	20	23	42	39	44	41	38	38	39	40	51	49	52	63	77	134	130	165	168	178	175	177	178	181	179	179
2	5	20	24	45	42	46	45	43	43	44	47	61	60	63	72	85	141	135	162	158	167	170	177	182	189	193	200
2	4	15	17	30	35	56	55	57	78	89	80	77	70	69	76	87	134	145	184	214	248	235	238	239	238	224	211
2	4	15	16	29	32	51	51	56	80	96	91	90	84	81	85	93	146	171	225	268	310	295	288	275	262	239	222
2	4	14	14	21	27	55	68	68	91	98	90	89	86	96	151	185	345	321	338	303	290	273	261	250	241	233	225
2	4	13	12	19	22	49	59	58	81	97	99	140	147	185	311	286	322	308	309	319	318	298	281	265	249	235	222
0	0	1	3	3	8	21	27	47	77	95	189	184	238	386	371	429	392	364	356	365	330	321	294	270	245	224	
0	0	0	0	3	14	17	33	52	64	146	166	231	363	337	410	371	356	341	347	314	301	278	261	246	232		
0	0	0	0	0	0	1	6	15	22	58	68	108	149	161	204	214	233	246	271	267	276	276	277	250	230		
0	0	0	0	0	1	4	10	14	50	51	81	82	85	109	115	132	147	176	179	196	209	222	212	198			
0	0	0	0	0	0	5	10	39	40	56	57	53	49	47	47	51	56	63	70	90	106	138	144				
0	0	0	0	0	0	5	10	31	29	29	32	29	26	25	24	24	23	24	25	32	41	54	68				
0	0	0	0	0	0	0	1	3	6	8	10	10	11	12	12	12	13	13	14	14	16	20					
0	0	0	0	0	0	0	0	0	0	0	0	1	2	4	4	5	6	7	7	8	8	9					

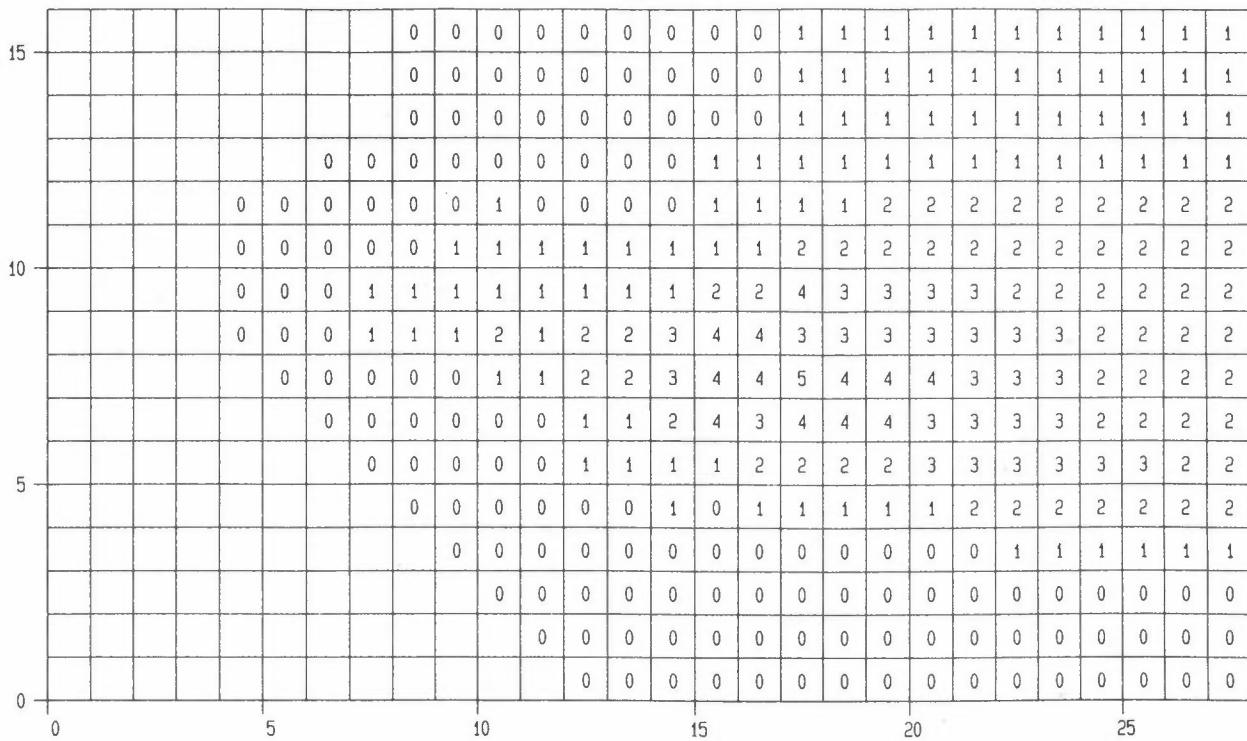
N02-CPB-02  
UG/M3



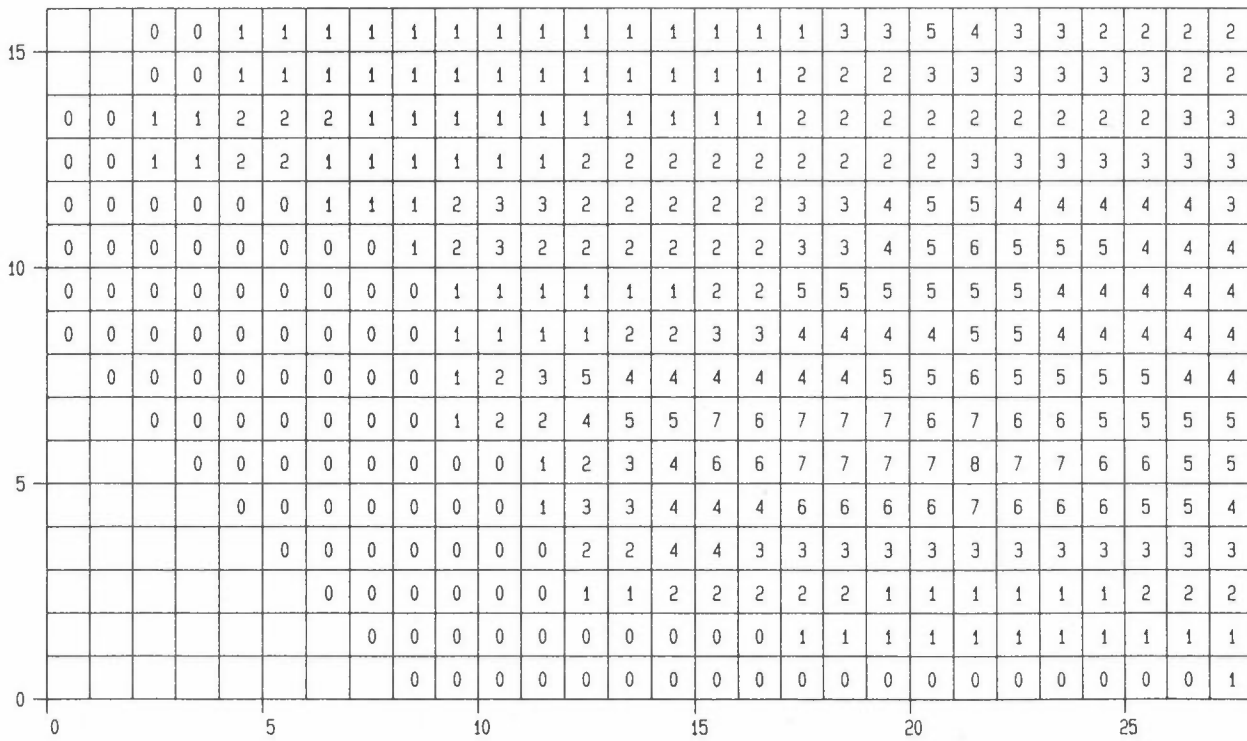
N02-CLB-02  
UG/M3



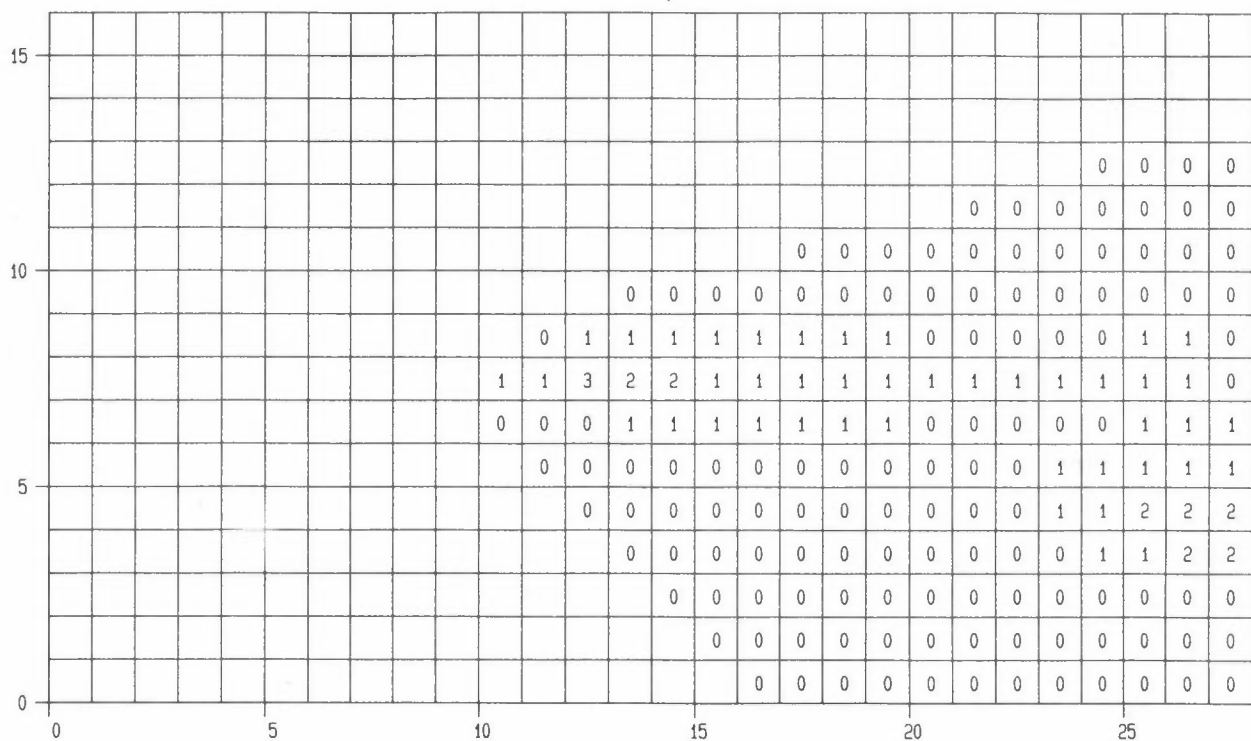
N02-CBU-02  
UG/M3



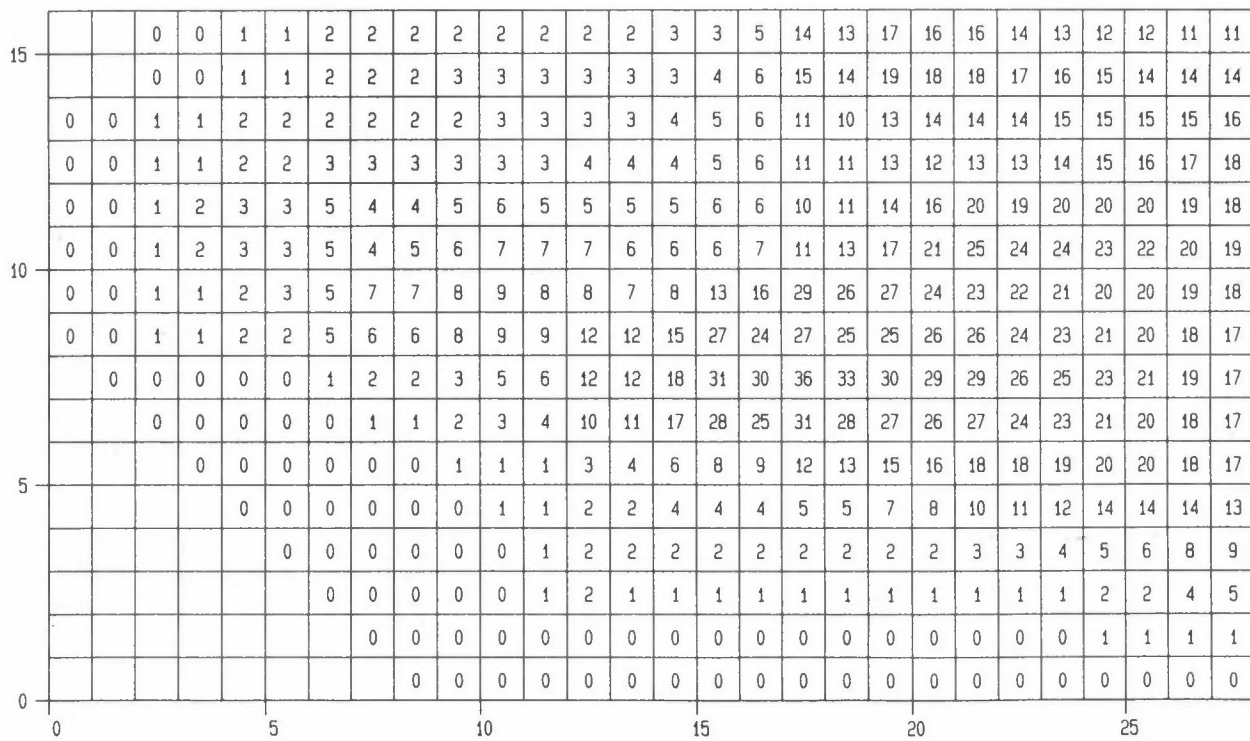
N02-CEN-02  
UG/M3



N02-CIN-02  
UG/M3



N02-CTR-02  
UG/M3



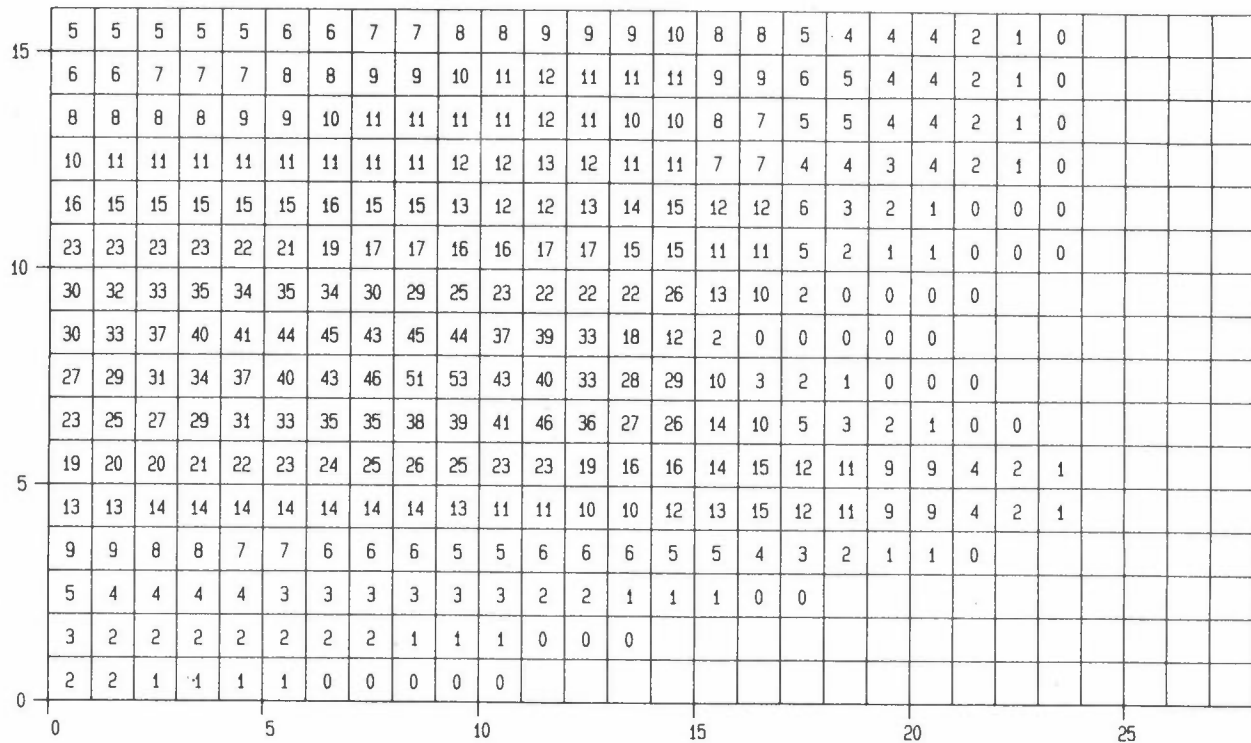
NO2-TOT-02  
UG/M3

		2	5	17	17	24	28	26	32	33	30	32	32	36	43	66	75	76	80	81	80	77	76	75	74	73	73		
		3	7	20	23	34	39	38	43	43	39	40	40	45	53	67	76	76	81	81	82	80	79	78	77	76	76		
	2	5	20	23	42	39	44	41	38	38	39	40	51	49	52	63	67	72	72	75	76	77	76	77	77	78	78		
	2	5	20	24	45	42	46	45	43	43	44	47	61	60	63	67	68	73	73	75	75	76	76	77	78	79	80		
	2	4	15	17	30	35	56	55	57	67	69	68	67	67	67	68	73	74	78	81	84	83	84	84	83	82			
	2	4	15	16	29	32	51	51	56	68	69	69	68	68	68	69	74	77	82	86	91	90	89	88	87	84	83		
	2	4	14	14	21	27	55	67	67	69	70	69	69	69	70	75	79	94	92	93	90	89	87	86	85	84	82		
	2	4	13	12	19	22	49	59	58	68	70	70	74	75	79	91	88	91	90	90	91	91	89	87	86	84	83		
	0	0	1	3	3	8	21	27	47	68	70	79	78	83	96	95	101	98	95	94	95	92	91	89	86	84	82		
	0	0	0	0	3	14	17	33	52	64	74	77	83	95	93	99	95	94	93	94	90	89	87	85	84	83			
	0	0	0	0	0	0	1	6	15	22	58	67	70	74	76	80	81	82	84	86	86	87	87	87	84	82			
	0	0	0	0	0	1	4	10	14	50	51	68	68	68	70	71	73	74	77	77	79	80	82	81	79				
	0	0	0	0	0	5	10	31	29	29	32	29	26	25	24	24	23	24	25	32	41	54	67						
	0	0	0	0	0	0	0	1	3	6	8	10	10	11	12	12	12	13	13	13	14	14	16	20					
0	0	0	0	0	0	0	0	0	0	0	0	0	0	0	1	2	4	4	5	6	7	7	8	8	9				

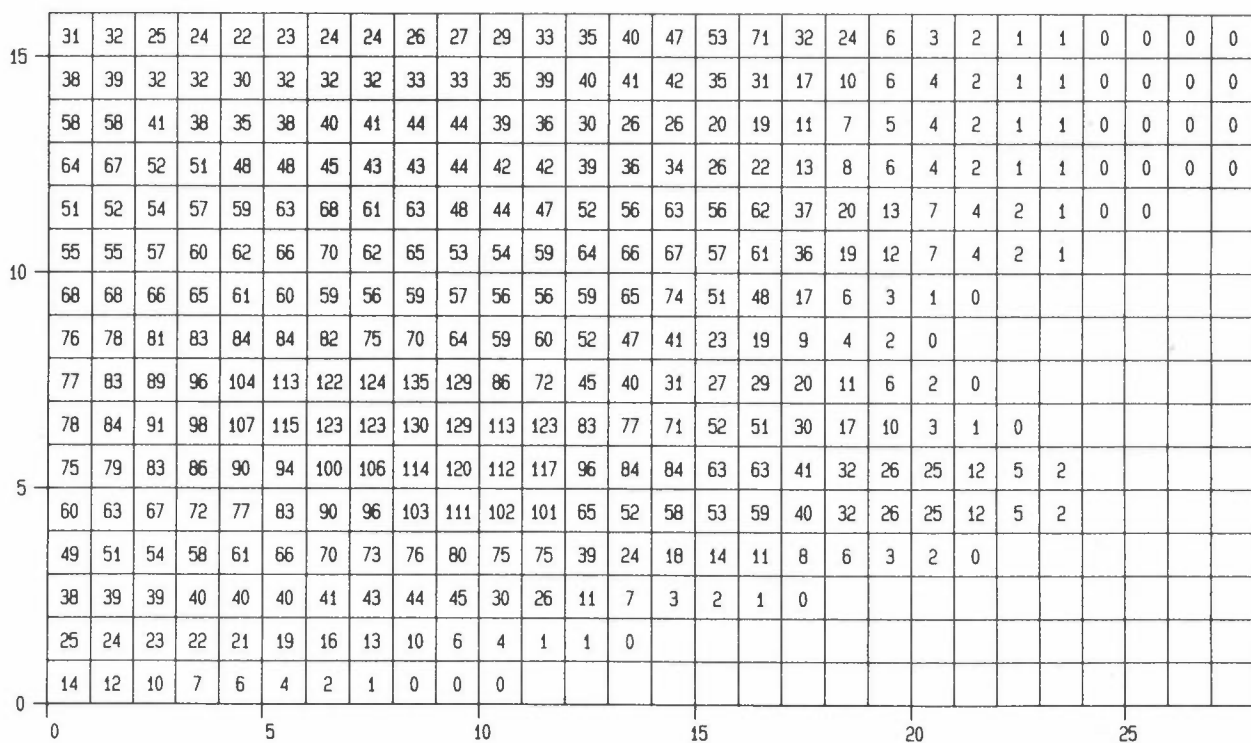
NOX-CPB-02  
UG/M3

NOX-CLB-02  
UG/M3

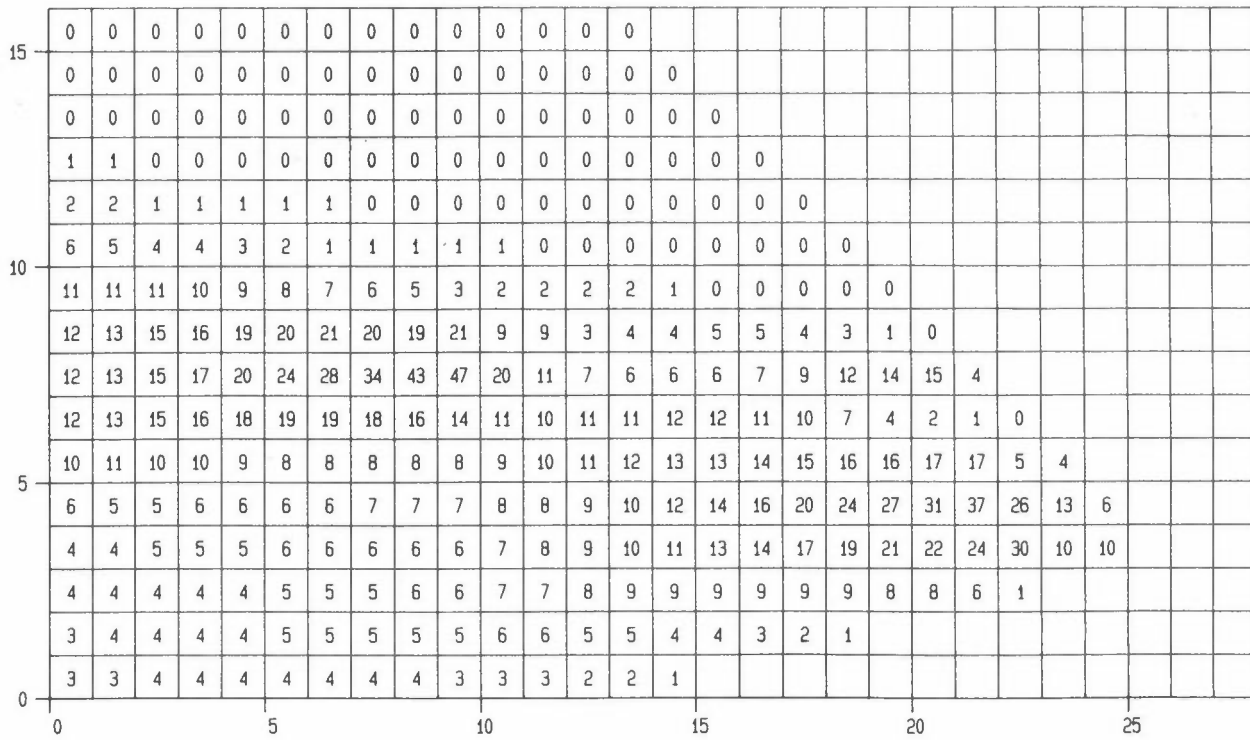
NOX-CBU-02  
UG/M3



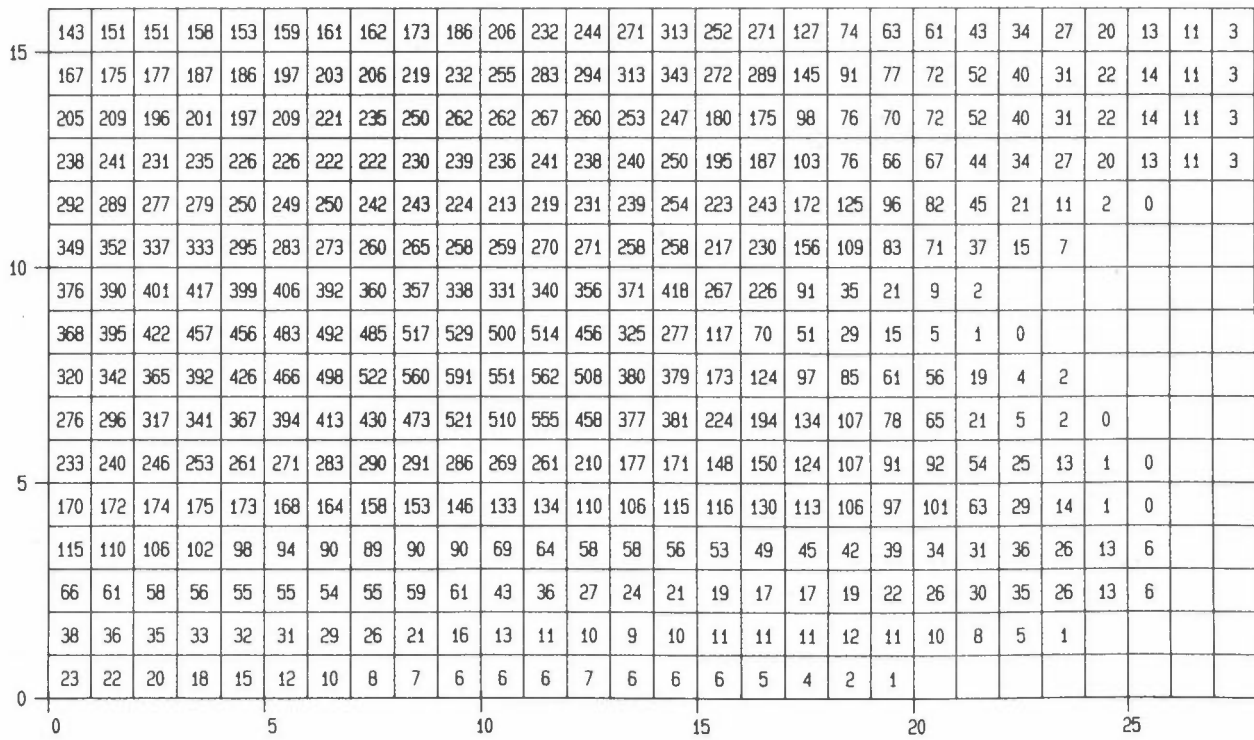
NOX-CEN-02  
UG/M3



NOX-CIN-02  
UG/M3



NOX-CTR-02  
UG/M3



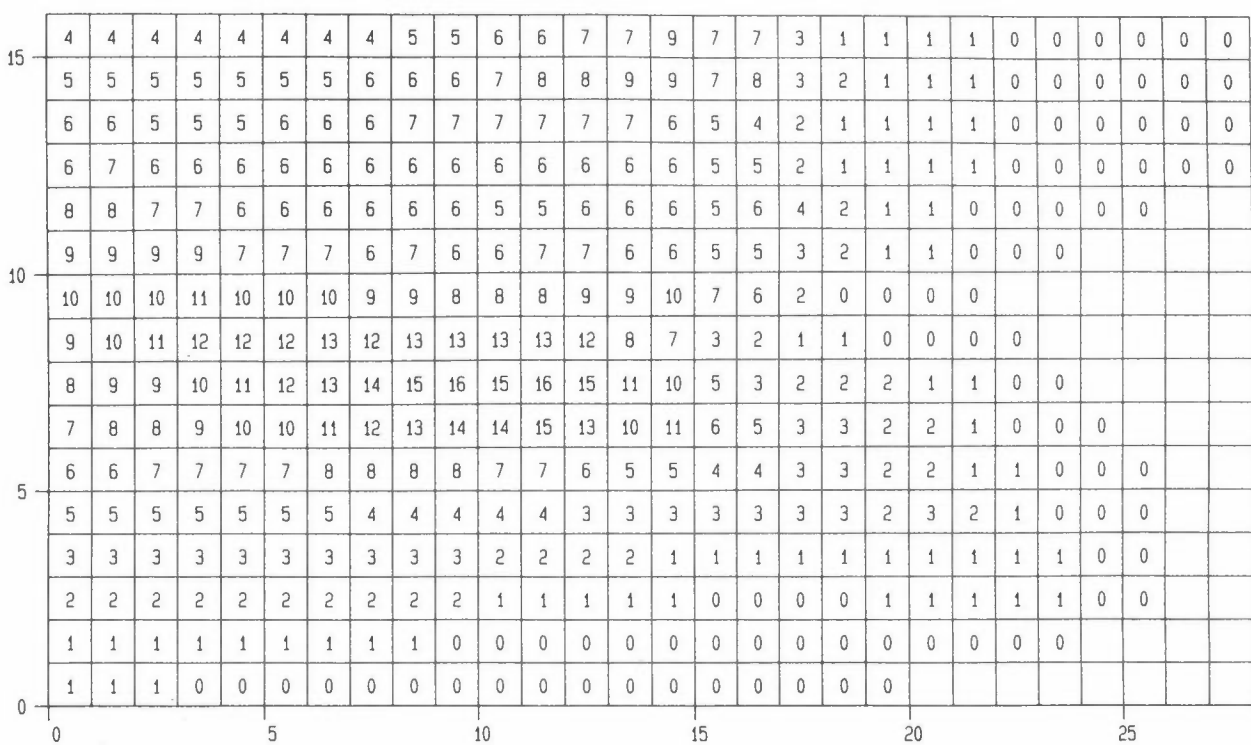
NOX-TOT-02  
UG/M3

174	183	176	182	175	182	185	186	200	214	235	265	279	310	360	305	341	159	99	69	65	45	35	28	20	13	11	3
205	214	210	219	217	229	235	238	252	265	290	322	334	355	385	307	319	163	101	84	76	54	41	32	22	14	11	3
263	267	237	239	232	247	261	277	294	306	301	303	290	280	273	200	194	109	83	75	76	54	41	32	22	14	11	3
303	309	283	286	274	273	268	265	273	283	277	282	276	276	284	221	210	115	84	72	71	46	35	28	20	13	11	3
346	343	332	337	310	313	319	303	306	272	257	267	283	295	317	280	304	209	145	109	89	49	23	12	2	0		
410	412	398	396	359	351	345	324	332	313	314	329	335	324	325	274	291	191	128	95	78	41	17	8				
455	469	478	492	469	474	458	422	421	397	389	398	418	438	494	318	274	108	41	24	10	2						
455	487	518	556	558	587	595	581	605	613	569	583	511	376	322	144	93	63	36	17	5	1	0					
409	438	469	504	550	603	648	680	738	767	658	645	559	427	416	207	161	125	108	81	73	24	4	2				
367	393	423	455	492	529	555	571	619	664	634	687	552	466	463	288	256	174	131	91	71	23	5	2	0			
318	330	339	349	359	373	391	404	412	414	389	387	317	272	268	224	227	181	155	132	134	83	35	19	1	0		
236	241	247	252	256	257	261	261	264	264	243	244	183	167	185	182	206	173	161	149	157	112	60	29	7	0		
168	166	165	164	165	165	166	168	171	176	151	148	106	93	86	80	74	70	66	63	58	56	66	36	23	6		
108	104	101	100	99	100	101	103	109	113	80	70	46	39	32	30	27	26	28	31	33	35	37	26	13	6		
66	64	62	60	58	55	50	44	36	28	22	19	16	14	14	15	15	14	12	11	10	8	5	1				
40	37	34	29	25	20	16	14	11	10	9	9	9	8	7	6	5	4	2	1								

0 0 5 10 15 20 25

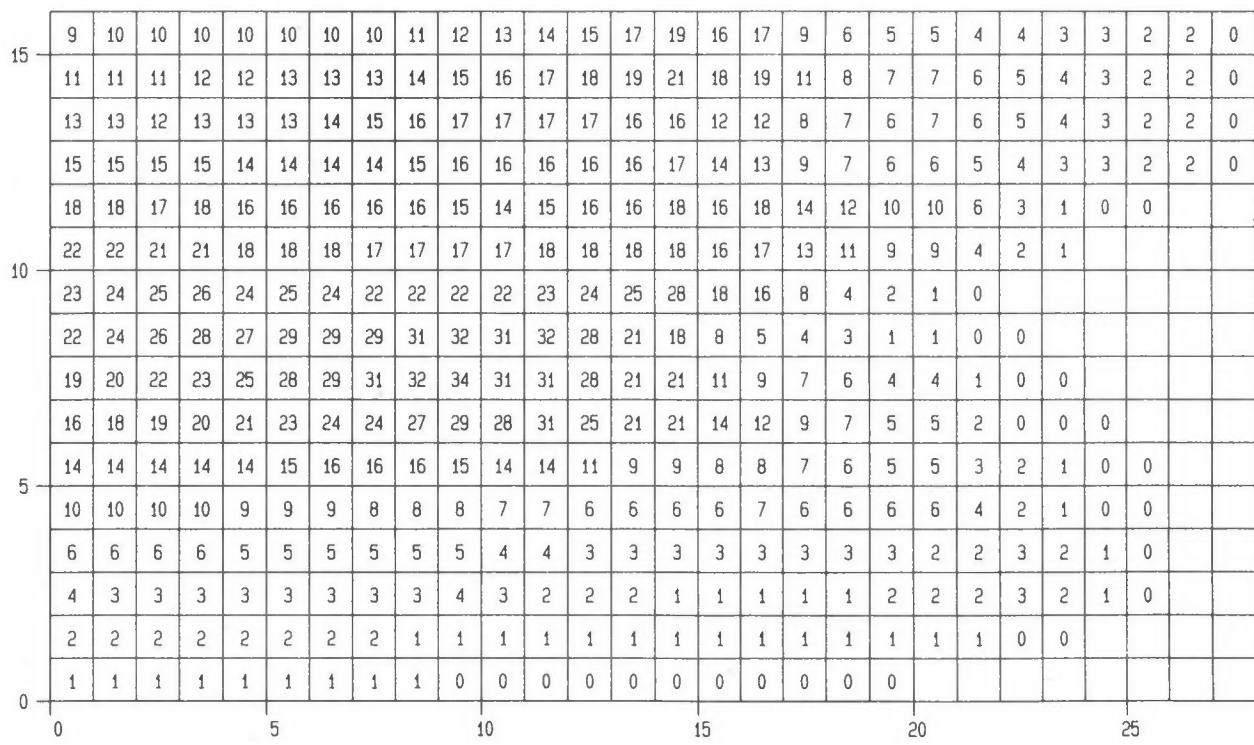
N02-CPB-02

UG/M3

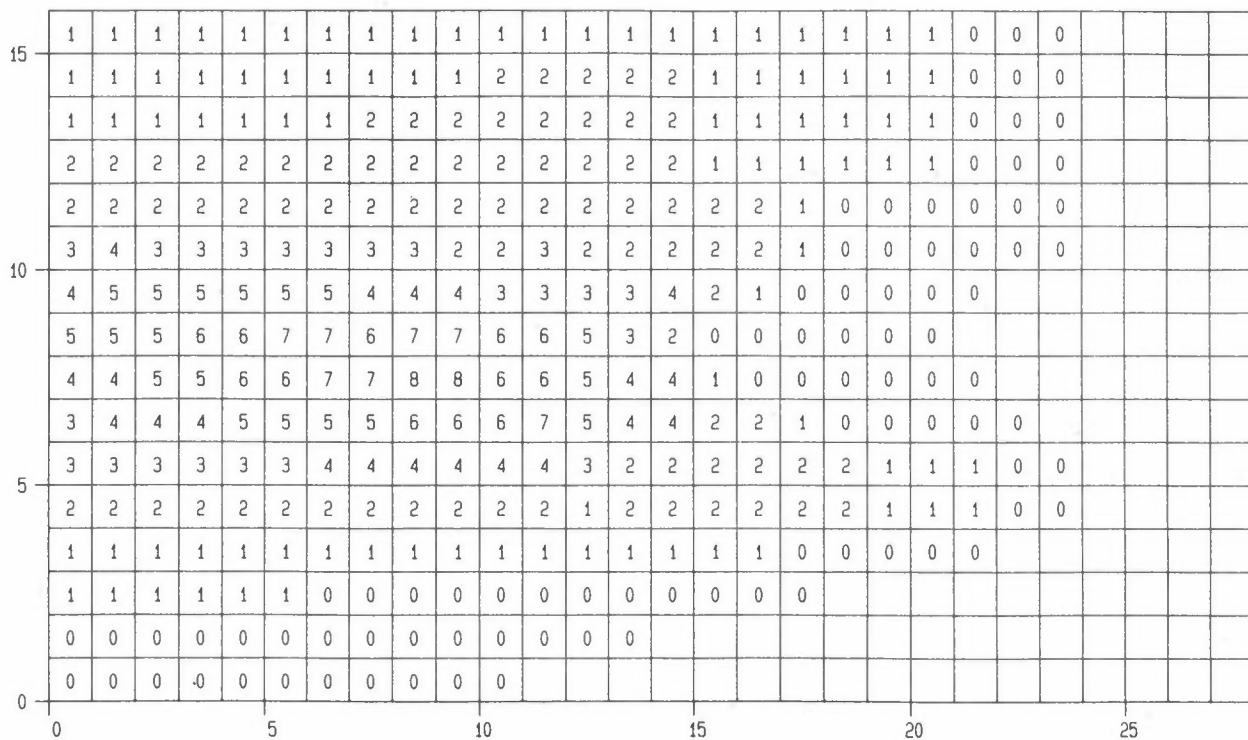


N02-CLB-02

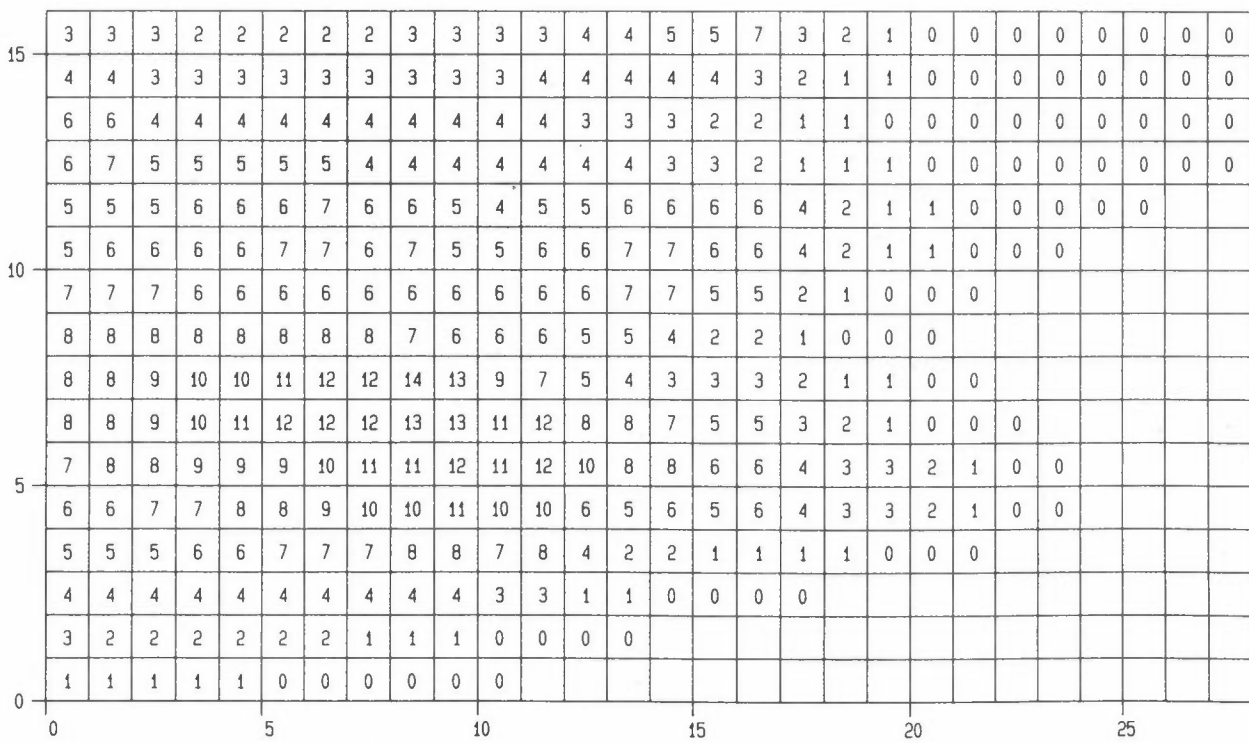
UG/M3



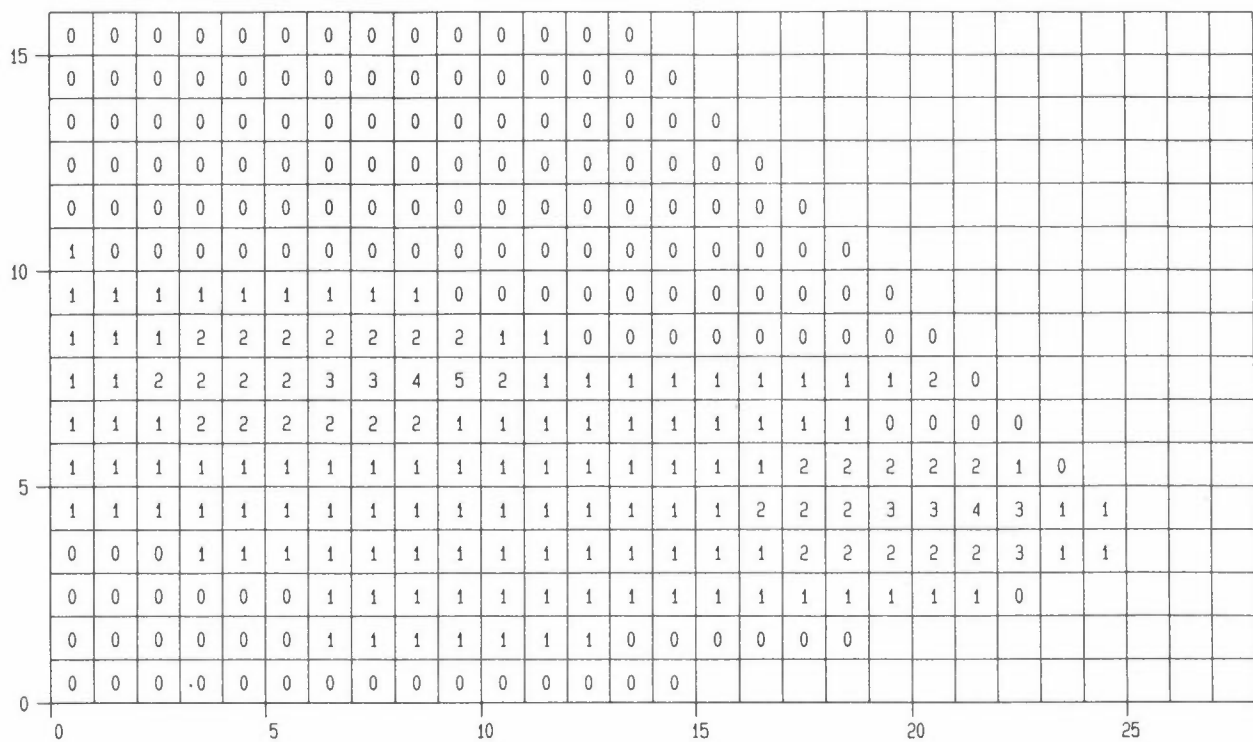
N02-CBU-02  
UG/M3



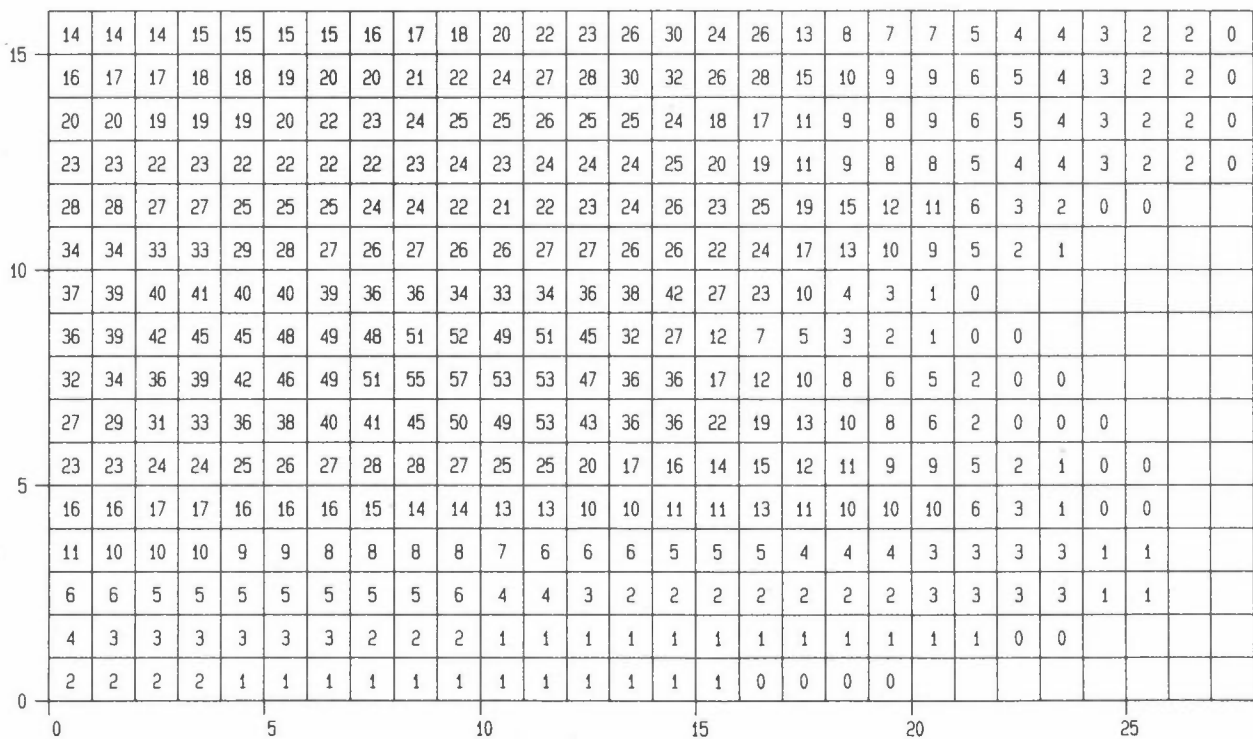
N02-CEN-02  
UG/M3



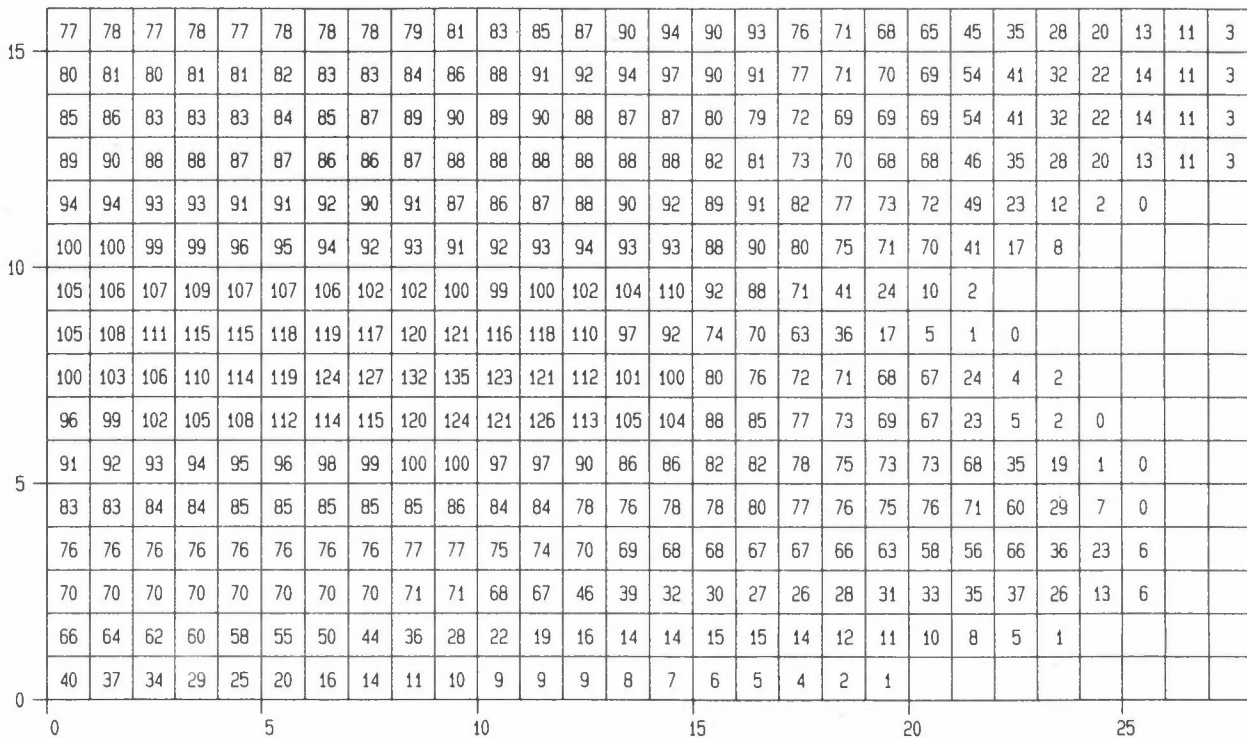
NO2-CIN-02  
UG/M3



NO2-CTR-02  
UG/M3



NO<sub>2</sub>-TOT-02  
UG/M3





## **VEDLEGG D**

**Resultater for scenarium 2**

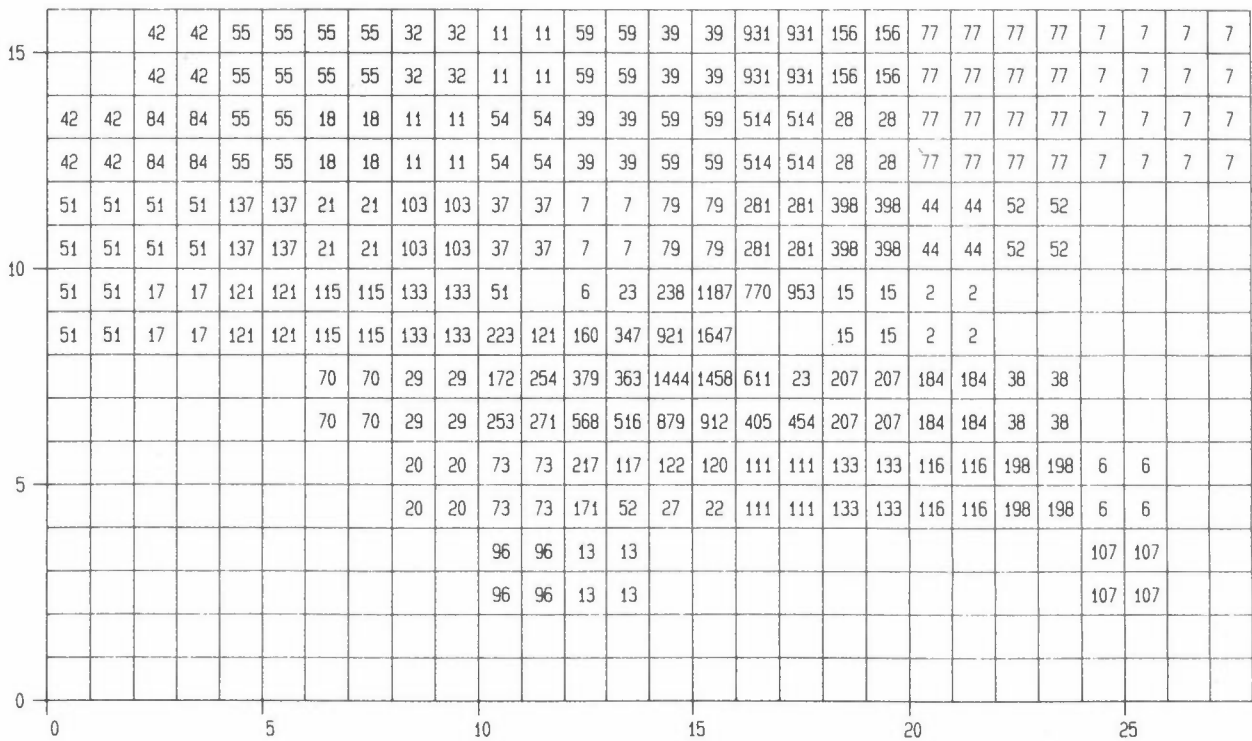
**(Trafikk som i 1988, men med  
utslippsfaktorer for år 2000)**



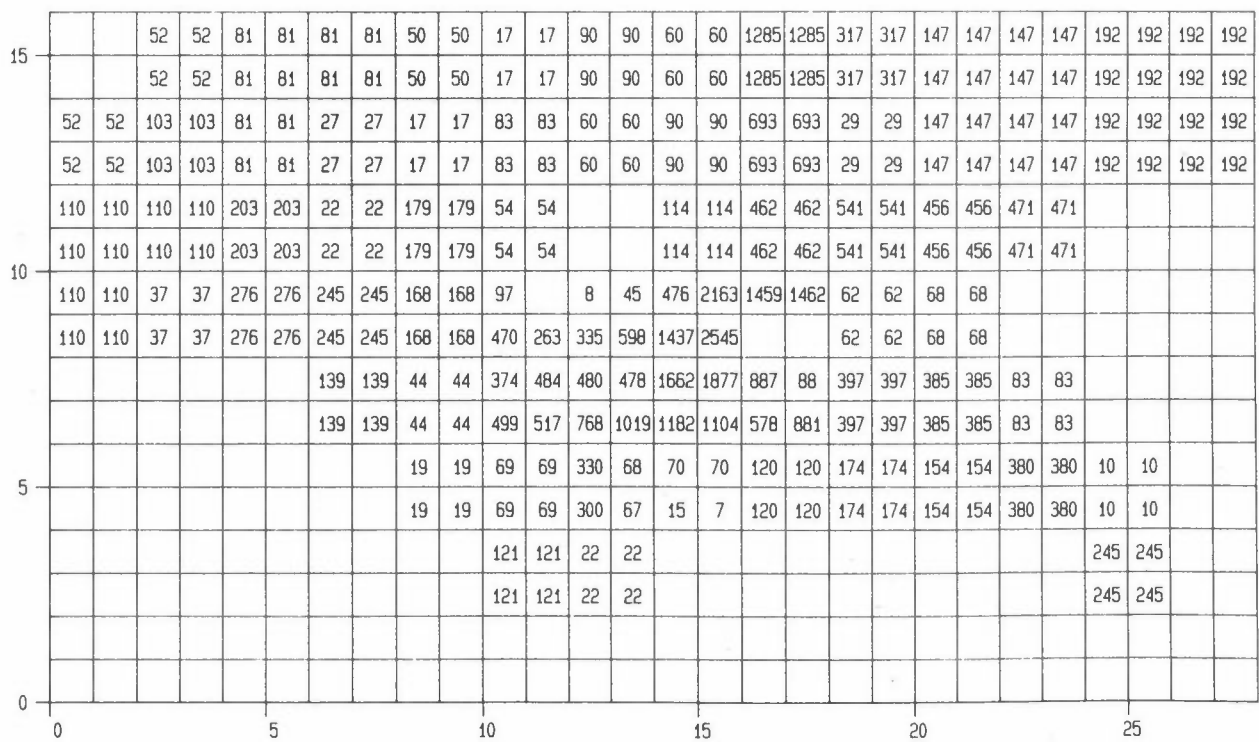
## INNHOLD

	Side	
<b>Utslippsfelter NO<sub>x</sub>. Enhet: g NO<sub>x</sub>/time</b>		
- Personbiler .....	96	
- Lastebiler .....	96	
- Busser .....	97	
- Energiproduksjon .....	97	
- Industri, m.m. ....	98	
- Trafikk (personbiler + lastebiler + busser) .....	98	
- Totalt (trafikk + energiproduksjon + industri m.m) .....	99	
<b>Konsentrasjonsfelter NO<sub>x</sub>. vind: 280°, 1 m/s. Enhet: µg NO<sub>x</sub>/m³</b>		
- Personbiler .....	100	
- Lastebiler .....	100	
- Busser .....	101	
- Energiproduksjon .....	101	
- Industri, m.m. ....	102	
- Trafikk (personbiler + lastebiler + busser) .....	102	
- Totalt (trafikk + energiproduksjon + industri m.m) .....	103	
<b>Konsentrasjonsfelter NO<sub>2</sub>. vind: 280°, 1 m/s. Enhet: µg NO<sub>2</sub>/m³</b>		
- Personbiler .....	104	
- Lastebiler .....	104	
- Busser .....	105	
- Energiproduksjon .....	105	
- Industri, m.m. ....	106	
- Trafikk (personbiler + lastebiler + busser) .....	106	
- Totalt (trafikk + energiproduksjon + industri m.m) .....	107	
<b>Konsentrasjonsfelter NO<sub>x</sub>. Vin</b>	<i>71.</i>	<b>Enhett: µg NO<sub>x</sub>/m³</b>
- Personbiler .....	<i>23 gr</i>	
- Lastebiler .....	<i>47 "</i>	
- Busser .....	<i>95.</i>	
- Energiproduksjon .....		
- Industri, m.m. ....		
- Trafikk (personbiler + lastebiler + busser) .....		
- Totalt (trafikk + energiproduksjon + industri m.m) .....	111	
<b>Konsentrasjonsfelter NO<sub>2</sub>. vind: 100°, 1/2 m/s. Enhet: µg NO<sub>2</sub>/m³</b>		
- Personbiler .....	112	
- Lastebiler .....	112	
- Busser .....	113	
- Energiproduksjon .....	113	
- Industri, m.m. ....	114	
- Trafikk (personbiler + lastebiler + busser) .....	114	
- Totalt (trafikk + energiproduksjon + industri m.m) .....	115	

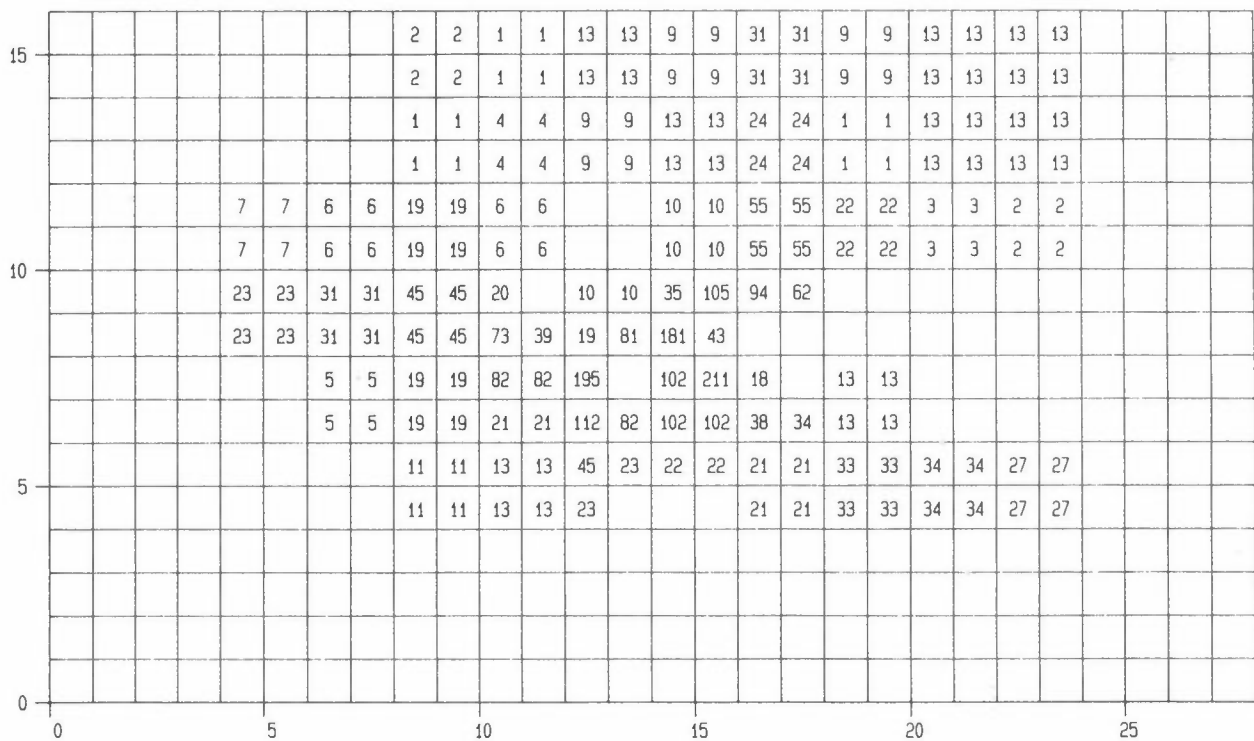
NOX-QPB-03  
G/TIME



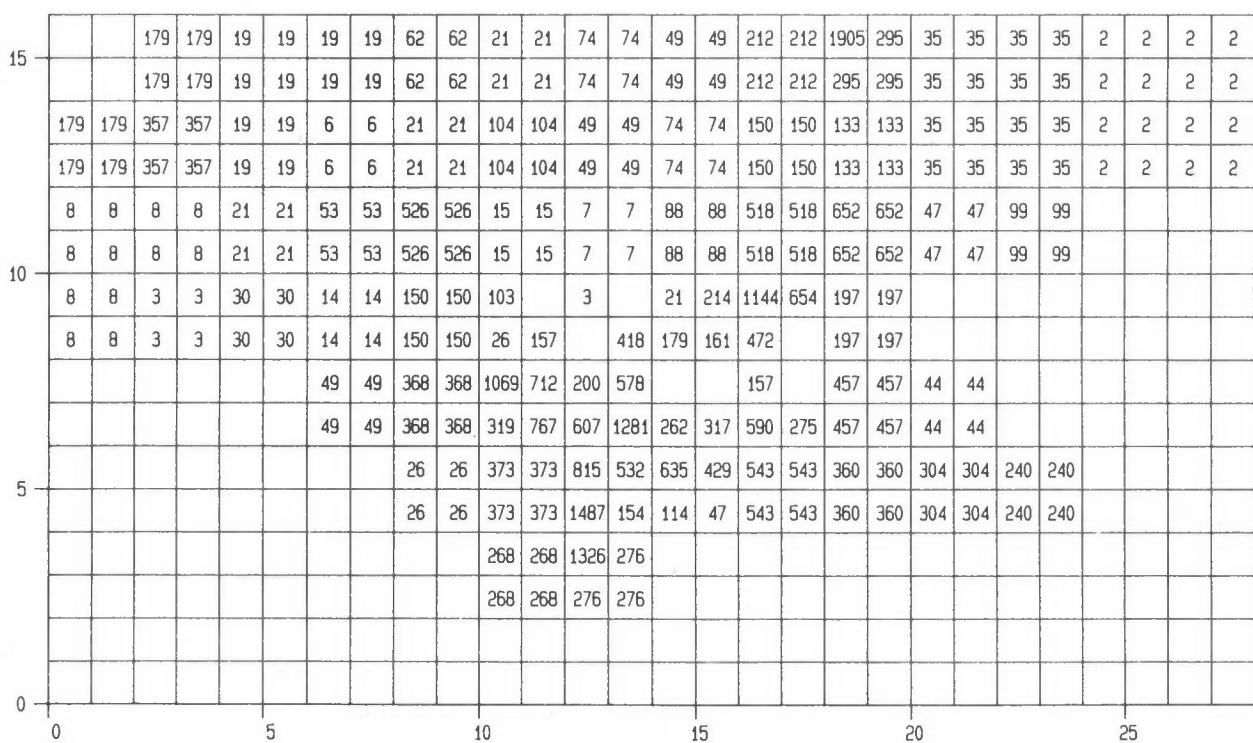
NOX-QLB-03  
G/TIME



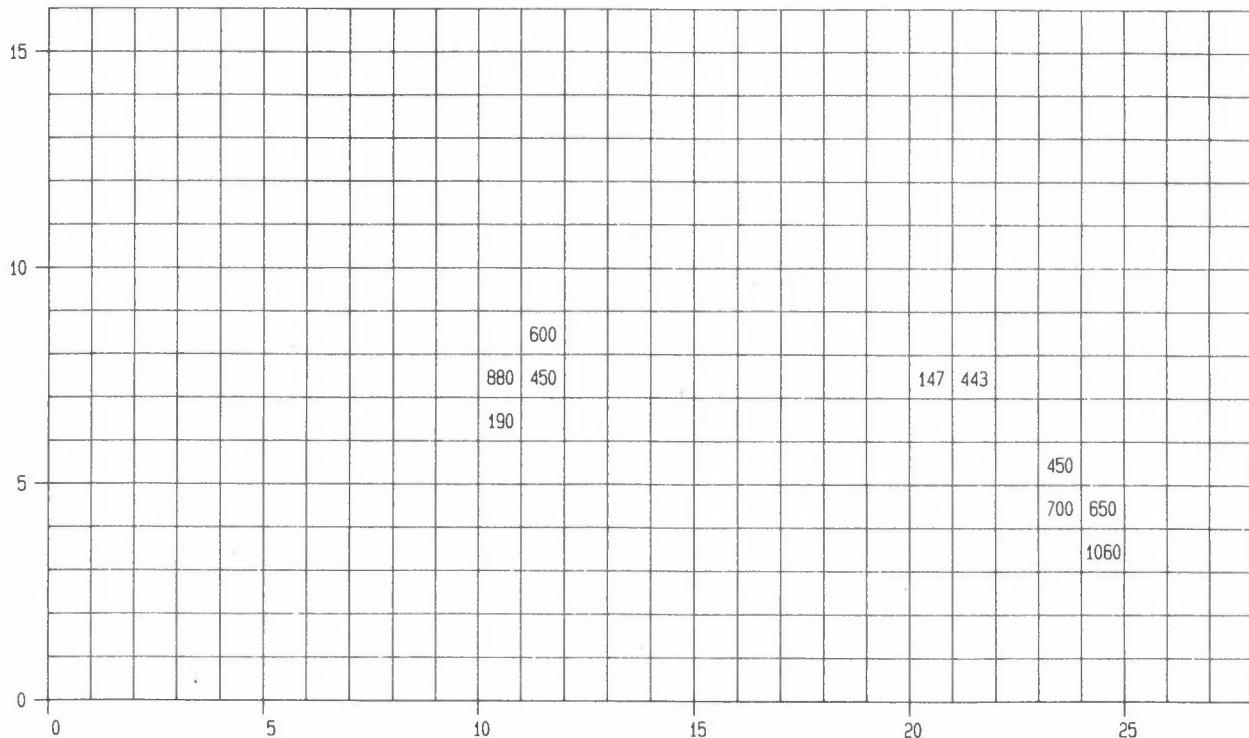
NOX-QBU-03  
G/TIME



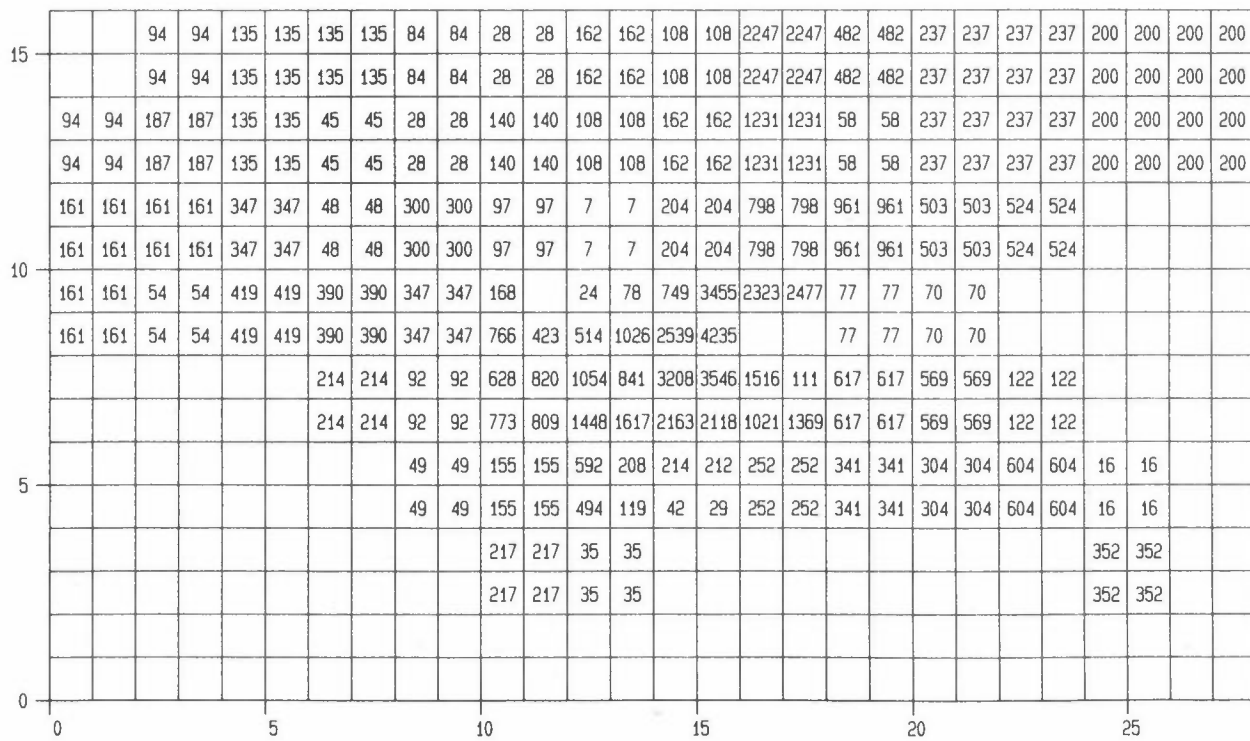
NOX-GEN-03  
G/TIME



NOX-QIN-03  
G/TIME

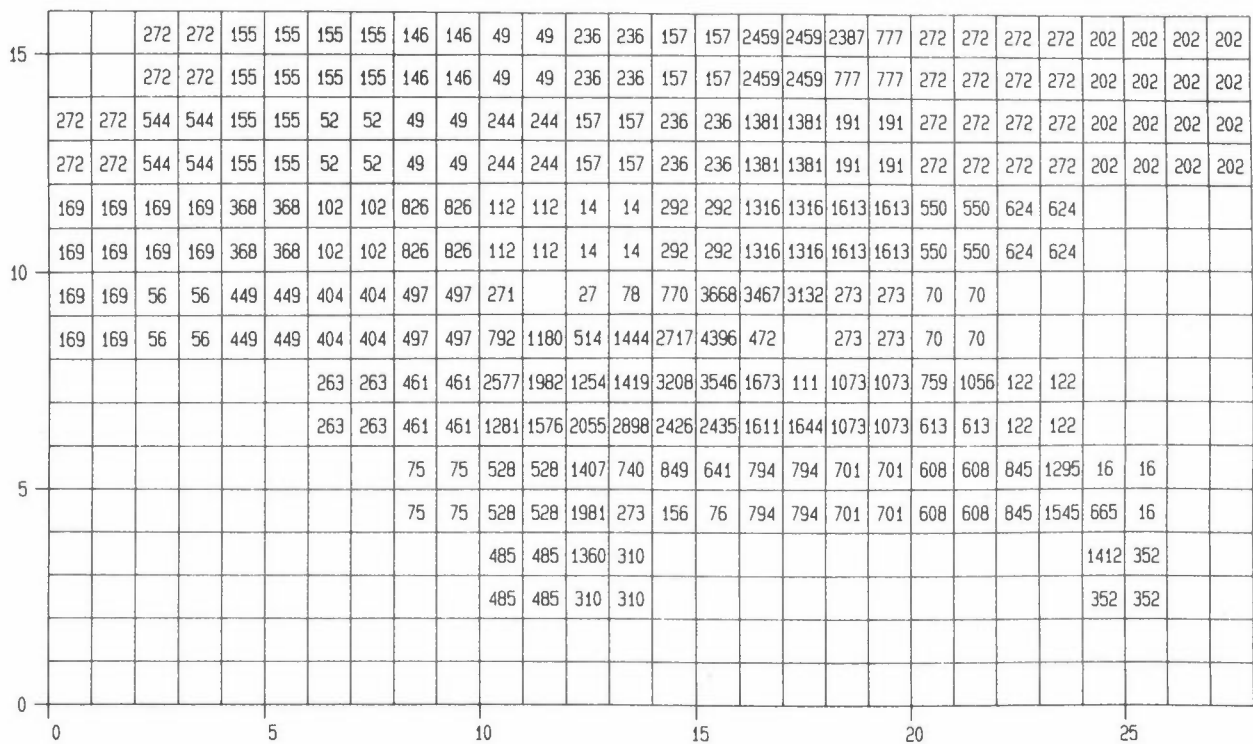


NOX-QTR-03  
G/TIME



NOX-QTA-03

G/TIME



NOX-CP8-03  
UG/M3

		0	1	2	2	4	4	4	5	5	5	5	5	6	12	31	30	38	34	33	29	27	25	23	21	19		
		0	1	2	3	5	6	6	7	6	6	6	6	7	8	13	33	32	42	40	39	36	33	30	28	25	23	
	0	1	2	3	5	5	6	6	5	5	6	6	8	7	8	9	12	23	23	30	30	31	30	30	30	29	28	
	0	1	2	3	5	5	6	7	6	6	7	7	9	8	9	10	13	24	23	28	26	27	27	28	28	29	29	
	0	1	2	3	5	5	9	9	9	10	11	10	10	9	9	11	12	19	20	27	31	36	34	34	34	33	32	31
	0	1	2	3	5	5	9	8	9	11	12	12	12	11	11	12	13	21	26	35	42	47	44	42	40	38	35	33
	0	1	2	2	3	4	8	10	10	14	14	13	13	12	13	25	30	64	58	62	52	48	45	43	41	39	37	35
	0	1	2	2	3	3	7	9	8	12	14	14	18	18	25	52	48	66	60	59	59	56	52	48	45	42	39	36
	0	0	0	0	1	1	3	4	5	7	9	18	20	33	67	67	87	79	70	67	65	58	54	49	45	40	36	
	0	0	0	0	1	2	2	3	5	7	17	19	31	53	50	66	61	62	58	59	53	50	46	42	39	36		
	0	0	0	0	0	0	0	1	2	2	6	7	12	17	19	24	27	30	33	38	38	40	41	40	37	34		
	0	0	0	0	0	0	1	1	2	5	5	7	8	8	11	12	14	16	21	22	24	26	28	27	26			
	0	0	0	0	0	0	1	1	4	4	4	4	4	4	4	4	4	5	6	7	8	10	12	15	17			
	0	0	0	0	0	1	1	4	3	3	3	2	2	2	2	2	2	2	2	2	2	3	5	7	8			
	0	0	0	0	0	0	0	0	0	0	1	1	1	1	1	1	1	1	1	1	1	1	1	1	1	2		
	0	0	0	0	0	0	0	0	0	0	0	0	0	0	0	0	0	0	0	0	0	1	1	1	1	1	1	

NOX-CLB-03  
UG/M3

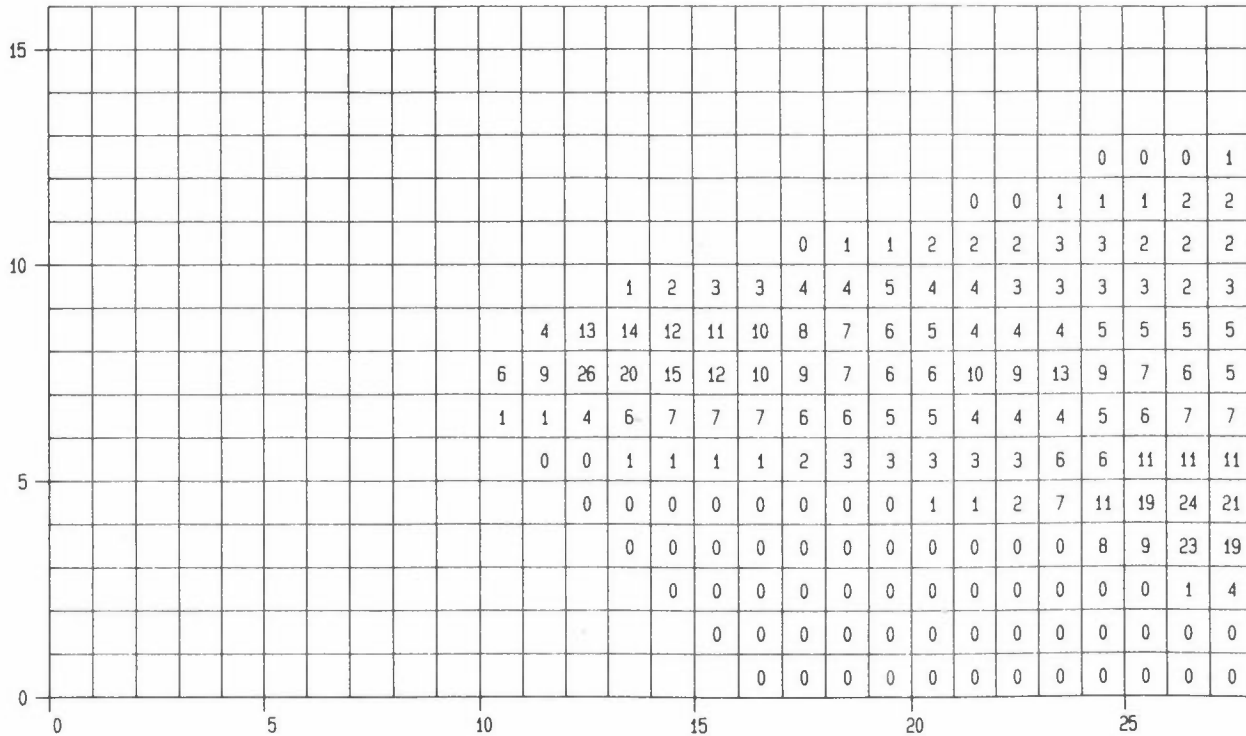
NOX-CBU-03  
UG/M3

15					0	0	0	0	0	0	0	1	1	1	1	2	2	2	2	2	2	2	1	1
					0	0	0	0	0	0	0	1	1	2	2	2	2	2	2	2	2	2	2	2
					0	0	0	0	0	0	0	1	1	1	2	2	2	2	2	2	2	3	2	2
					0	0	0	0	0	0	0	1	1	1	1	2	2	2	2	3	3	3	3	3
					0	0	0	0	0	0	0	1	1	1	1	2	3	3	4	4	4	3	3	3
10					0	0	0	1	1	1	1	1	1	2	3	3	4	4	5	5	5	5	4	4
					0	0	0	1	1	1	2	2	2	2	2	2	4	4	5	5	5	5	4	4
					0	0	1	2	2	3	3	3	3	3	4	5	8	7	7	6	6	5	5	4
					0	0	1	2	2	3	4	4	5	5	6	10	9	8	7	7	7	6	6	5
					0	0	0	0	1	2	3	6	6	8	10	9	11	10	9	8	7	6	6	5
5					0	0	0	0	1	1	1	2	3	5	8	8	9	8	8	7	7	6	6	5
					0	0	0	0	1	1	1	1	1	2	3	3	4	4	5	6	6	6	6	5
					0	0	1	1	1	1	1	1	1	1	2	2	2	3	4	4	5	5	4	4
					0	0	0	0	0	0	0	0	0	0	0	0	0	0	0	1	1	1	2	2
					0	0	0	0	0	0	0	0	0	0	0	0	0	0	0	0	0	0	0	0
0					0	0	0	0	0	0	0	0	0	0	0	0	0	0	0	0	0	0	0	0

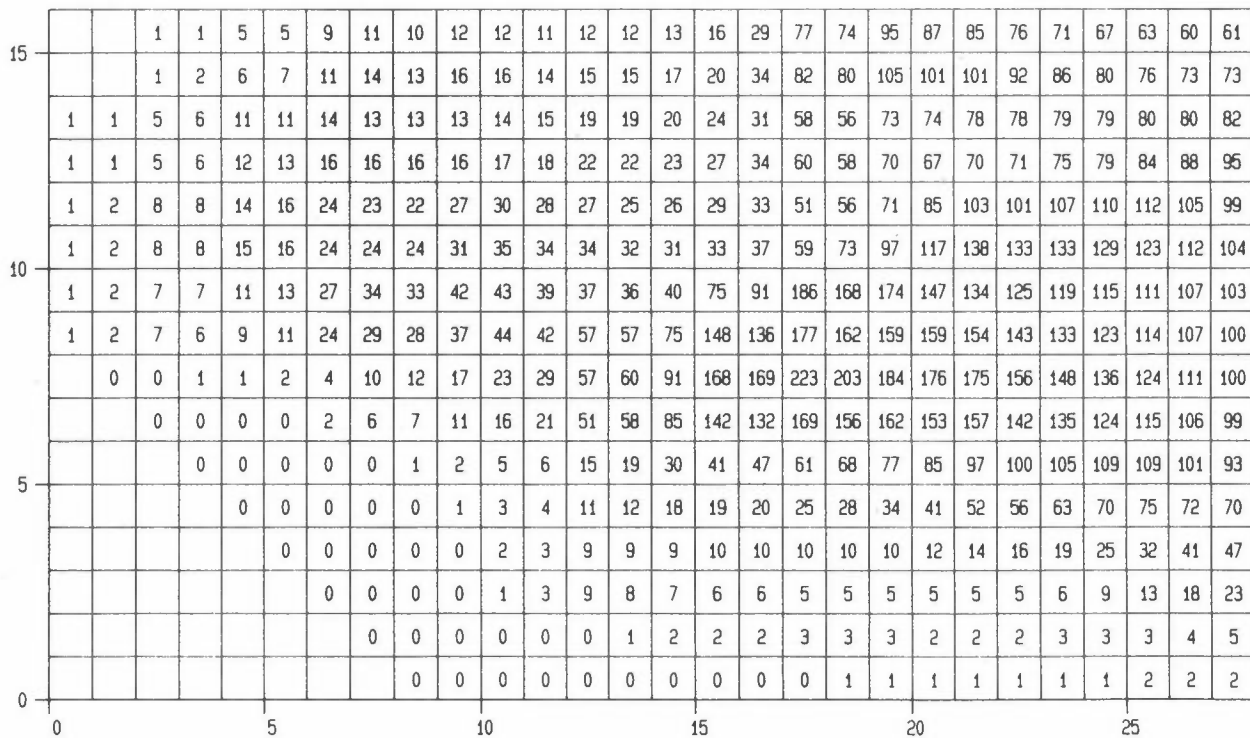
NOX-CEN-03  
UG/M3

15		1	2	7	6	6	6	6	7	8	7	8	8	9	10	10	14	26	29	49	41	32	27	24	21	19	17		
		1	2	10	11	20	17	16	14	12	11	11	10	13	12	12	14	14	18	18	20	21	23	22	22	23	25	25	
		1	2	10	11	19	17	14	12	11	10	10	12	16	16	16	17	17	20	20	23	25	28	29	29	28	28	27	
		0	0	1	1	2	4	6	8	11	23	29	25	22	19	18	18	20	30	33	41	45	49	44	42	40	39	36	33
		0	0	0	0	1	1	2	3	7	19	26	23	21	19	18	18	19	30	33	45	53	59	55	51	47	44	39	36
10		0	0	0	0	1	1	2	2	3	6	9	10	12	12	13	15	25	50	49	53	49	48	46	43	41	40	39	38
		0	0	0	0	1	1	2	2	2	6	8	9	13	19	22	32	34	40	39	40	43	46	45	43	42	41	40	39
		0	0	0	0	0	0	2	4	12	24	27	49	44	40	43	41	41	44	47	51	55	52	50	48	46	43	41	41
		0	0	0	0	0	1	4	12	18	21	39	46	52	70	64	70	66	65	65	66	60	57	54	51	49	46		
5		0	0	0	0	0	0	1	4	8	25	28	43	62	63	75	70	74	73	78	72	69	64	60	53	47			
		0	0	0	0	0	0	1	4	6	26	26	44	43	44	55	55	60	61	66	61	60	56	53	47	42			
		0	0	0	0	0	0	2	4	20	22	38	37	32	29	27	26	27	28	29	30	31	32	32	31				
		0	0	0	0	0	0	2	4	13	13	15	19	18	17	16	15	14	14	13	13	14	15	16	18				
		0	0	0	0	0	0	0	0	1	2	4	5	5	6	7	7	8	8	8	8	8	8	8	8	9			
0		0	0	0	0	0	0	0	0	0	0	0	0	0	0	1	1	2	2	2	3	4	4	5	5	5	5		

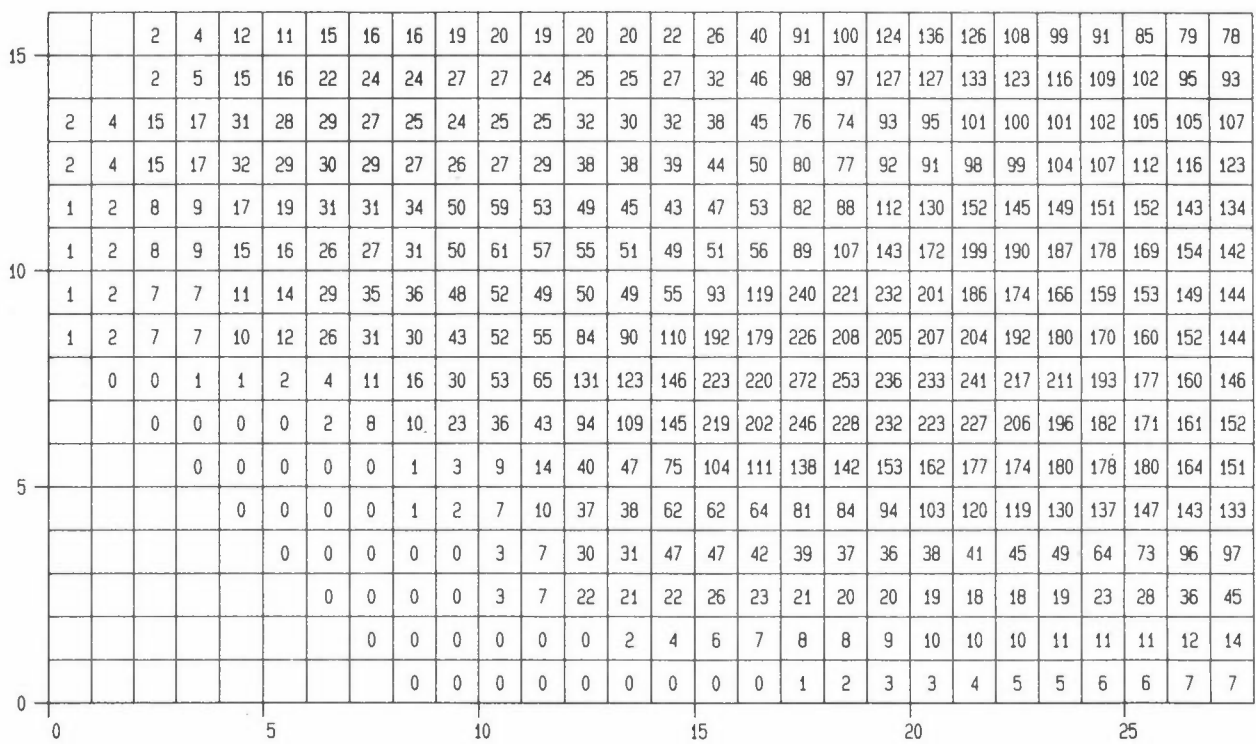
NOX-CIN-03  
UG/M3



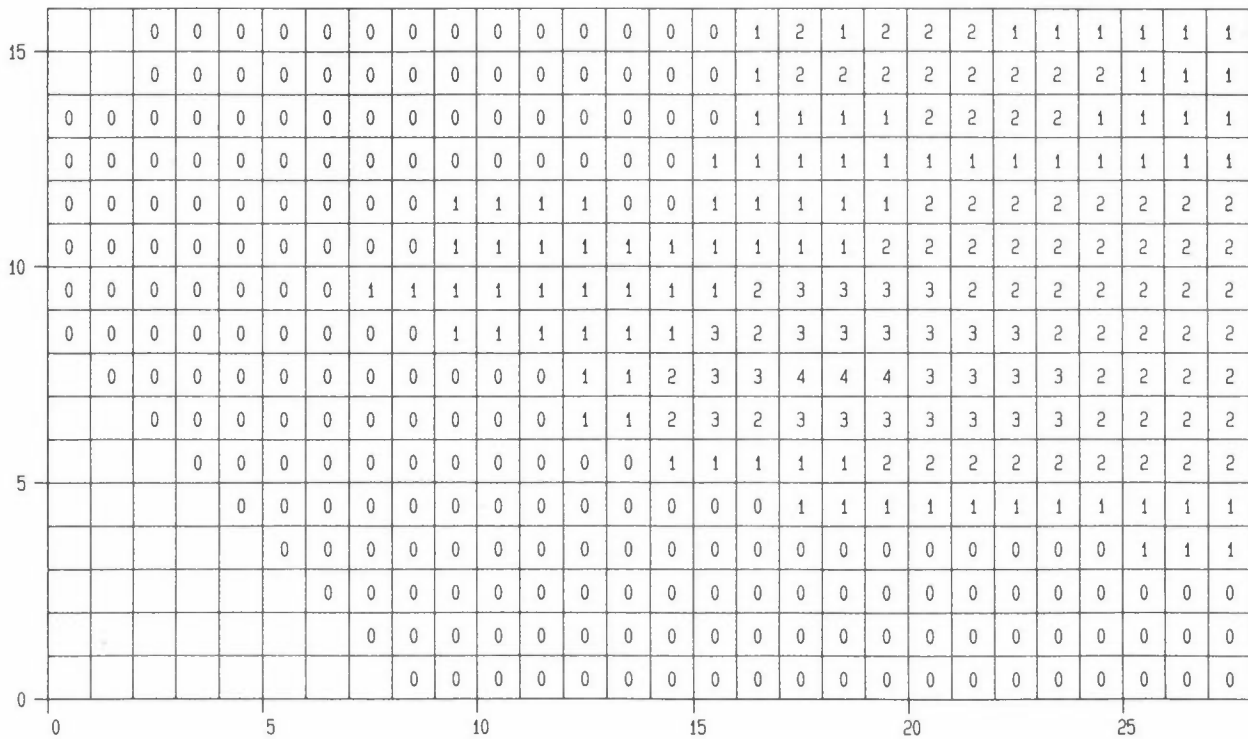
NOX-CTR-03  
UG/M3



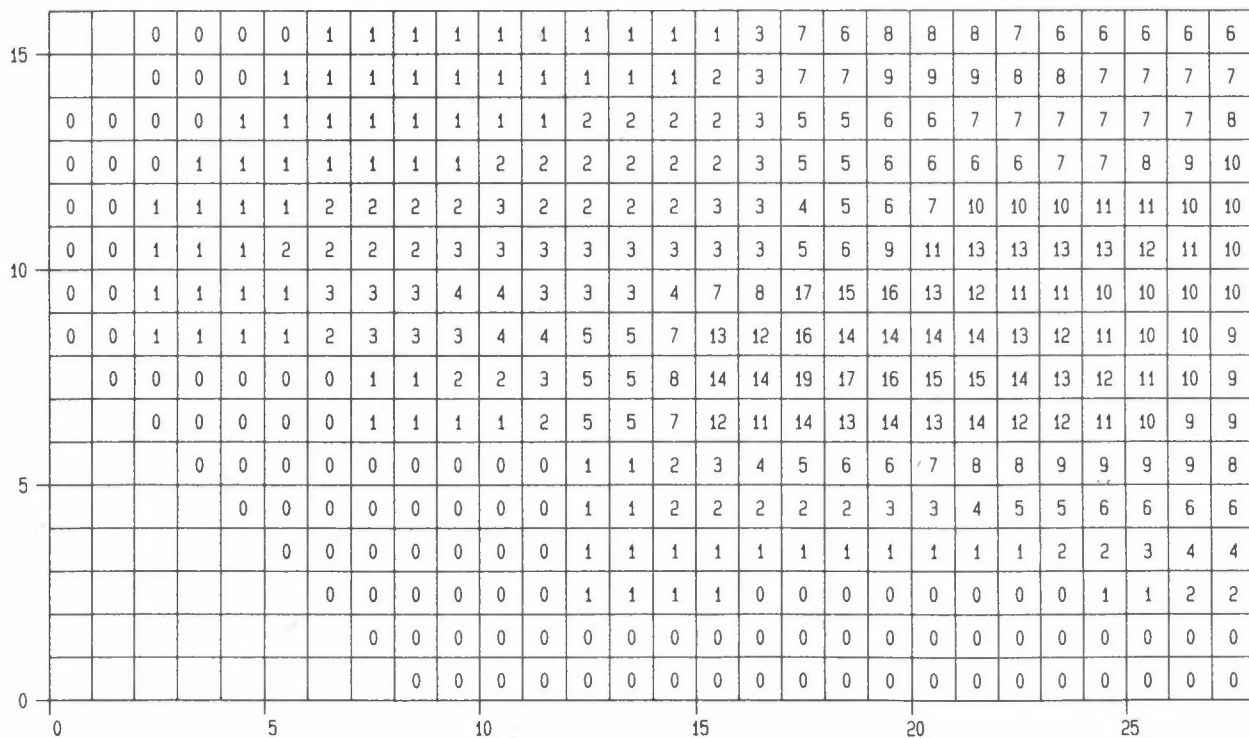
NOX-TOT-03  
UG/M3



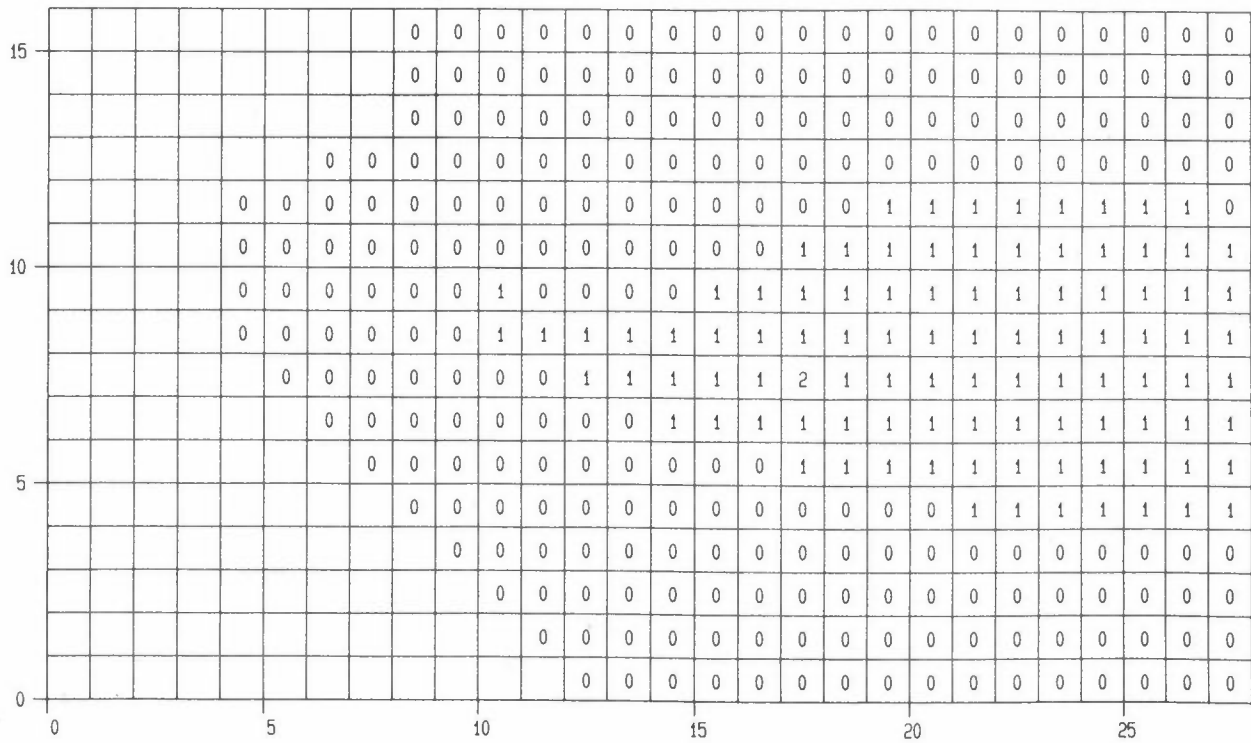
N02-CPB-03  
UG/M3



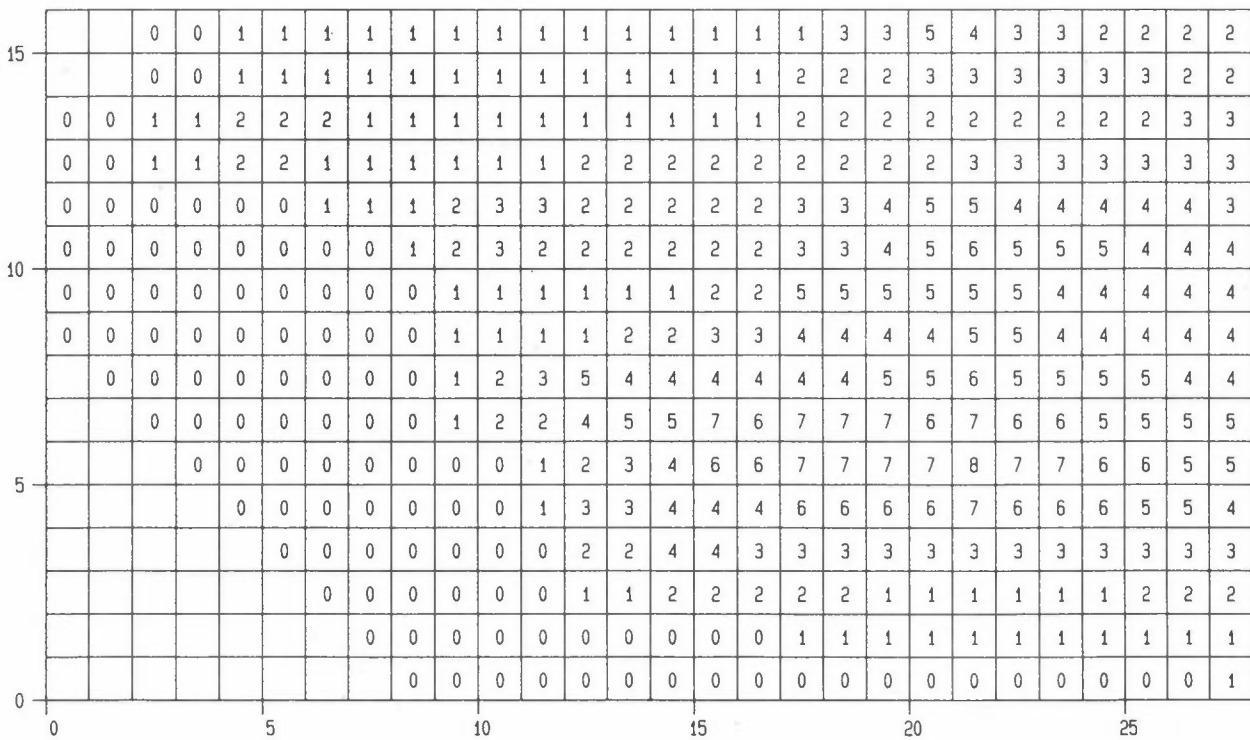
N02-CLB-03  
UG/M3



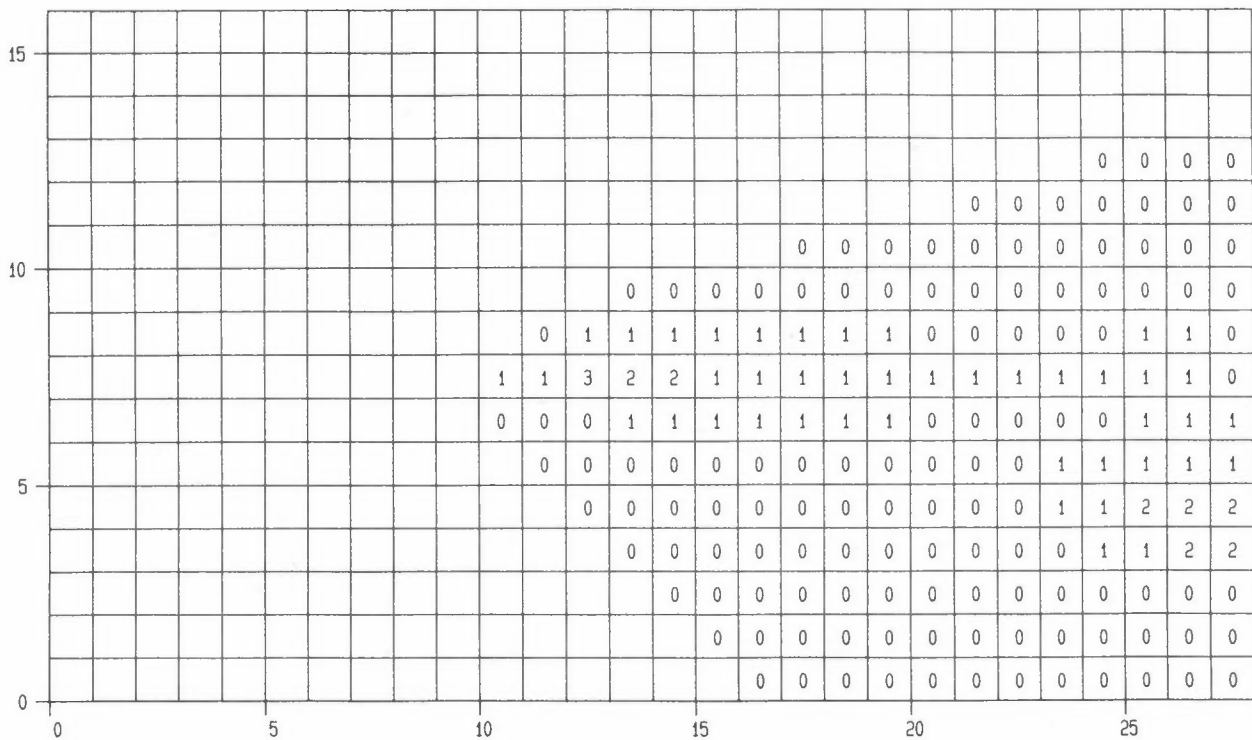
N02-CBU-03  
UG/M3



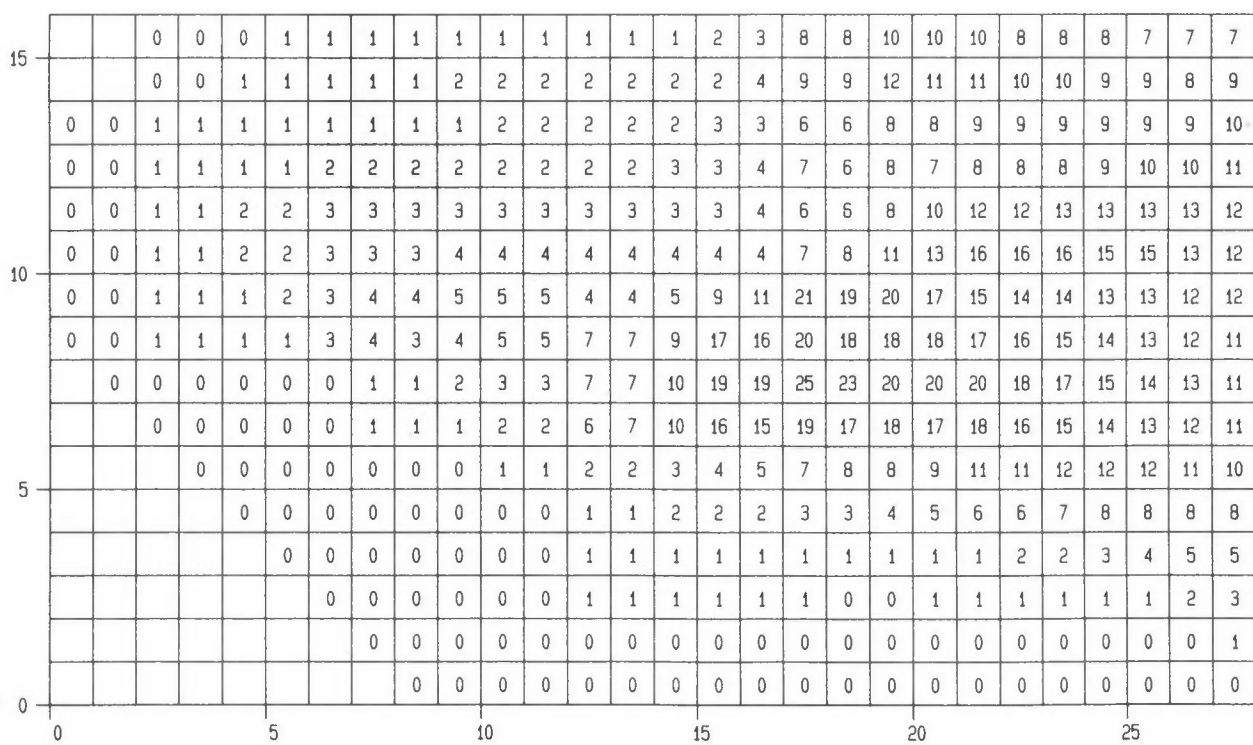
N02-CEN-03  
UG/M3



N02-CIN-03  
UG/M3



N02-CTR-03  
UG/M3



N02-TOT-03  
UG/M3

	2	4	12	11	15	16	16	19	20	19	20	20	22	26	40	70	71	73	74	74	72	71	70	69	69	69	
	2	5	15	16	22	24	24	27	27	24	25	25	27	32	46	71	71	74	74	74	73	73	72	71	71	71	
2	4	15	17	31	28	29	27	25	24	25	25	32	30	32	38	45	68	68	70	70	71	71	71	72	72	72	
2	4	15	17	32	29	30	29	27	26	27	29	38	38	39	44	50	69	68	70	70	71	71	71	72	73	73	74
1	2	8	9	17	19	31	31	34	50	59	53	49	45	43	47	53	69	70	72	74	77	76	77	77	76	75	75
1	2	8	9	15	16	26	27	31	50	61	57	55	51	49	51	56	70	72	76	79	82	81	81	80	79	77	76
1	2	7	7	11	14	29	35	36	48	52	49	50	49	55	71	73	87	85	86	82	81	79	78	78	77	77	76
1	2	7	7	10	12	26	31	30	43	52	55	69	70	72	81	80	85	83	82	83	82	81	80	79	78	77	76
0	0	1	1	2	4	11	16	30	53	65	74	73	76	84	84	90	88	86	85	86	84	83	81	79	78	76	76
0	0	0	0	2	8	10	23	36	43	70	72	76	84	82	86	84	85	84	85	82	81	80	79	78	77	77	
0	0	0	0	0	1	3	9	14	40	47	68	71	72	74	75	76	77	79	79	79	79	79	78	76	75	75	
0	0	0	0	0	1	2	7	10	37	38	62	62	64	68	69	70	71	73	73	74	75	76	75	75	74	74	
0	0	0	0	0	0	3	7	30	31	47	47	42	39	37	36	38	41	45	49	64	68	70	70	70	70	70	
					0	0	0	0	3	7	22	21	22	26	23	21	20	20	19	18	18	19	23	28	36	45	
					0	0	0	0	0	0	2	4	6	7	8	8	9	10	10	10	11	11	11	12	14		
					0	0	0	0	0	0	0	0	0	0	1	2	3	3	4	5	5	6	6	7	7		

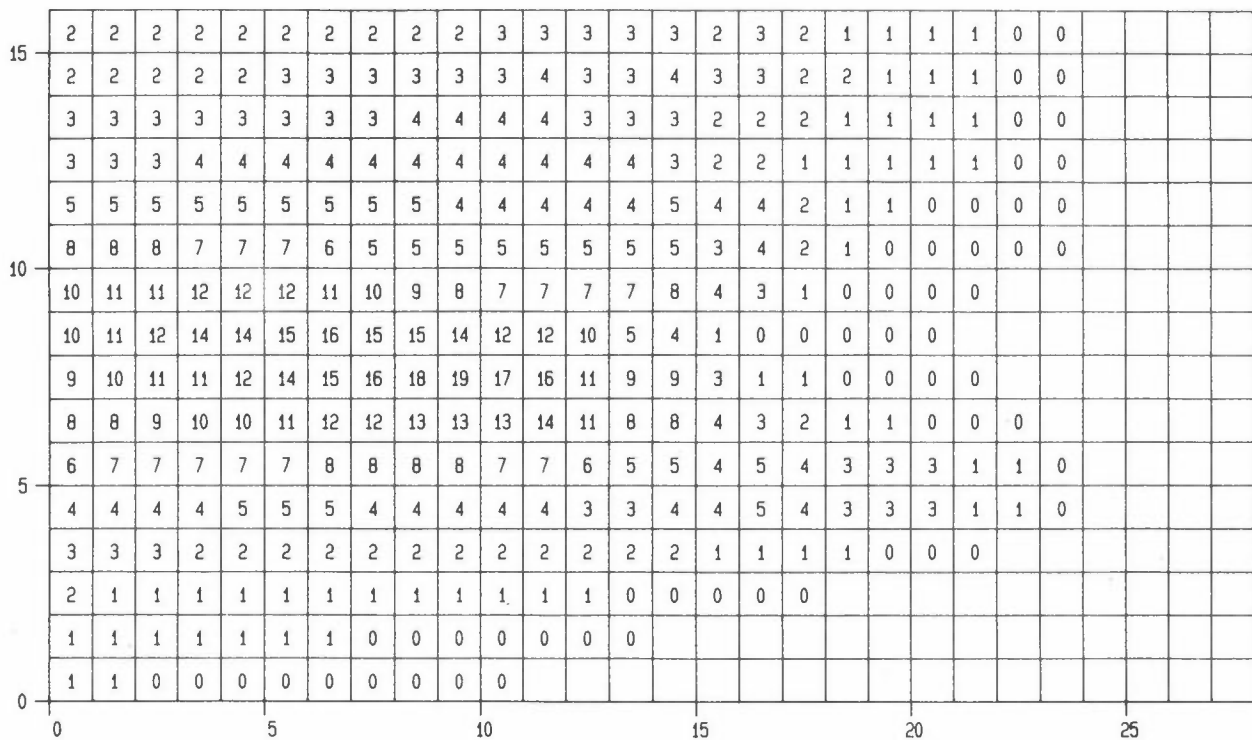
NOX-CPB-03

UG/M3

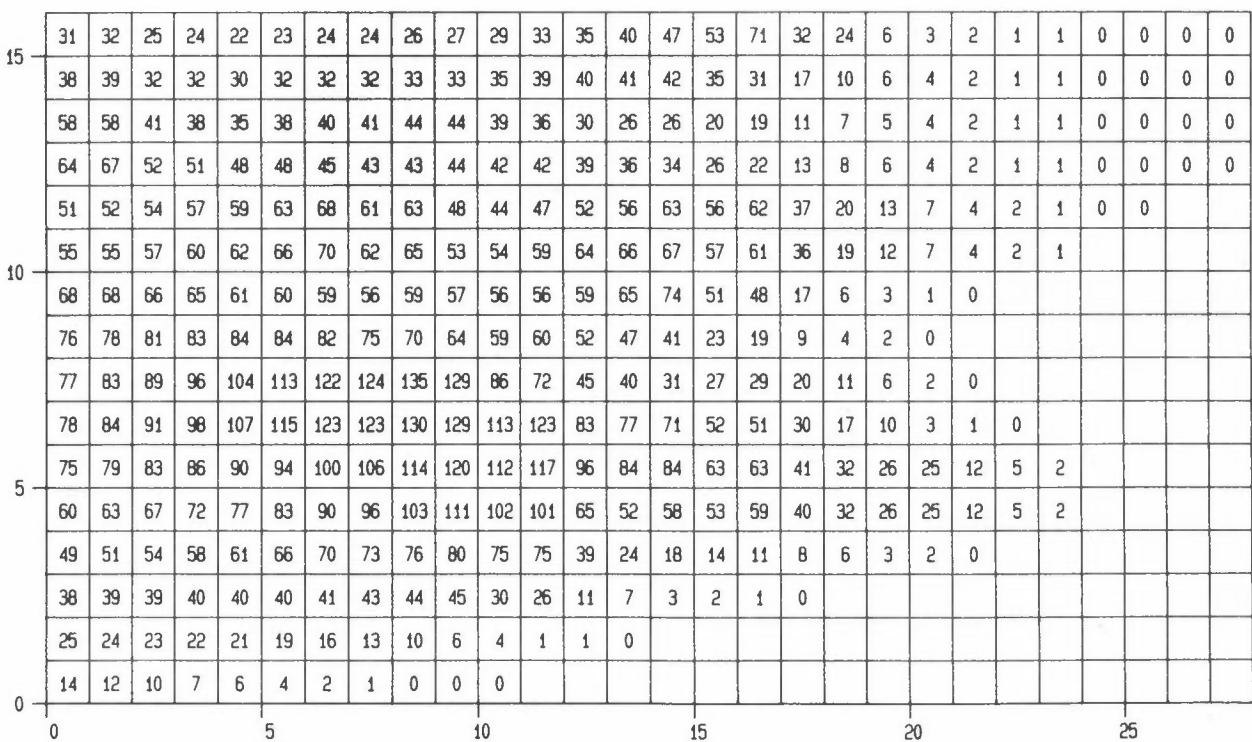
NOX-CLB-03

UG/M3

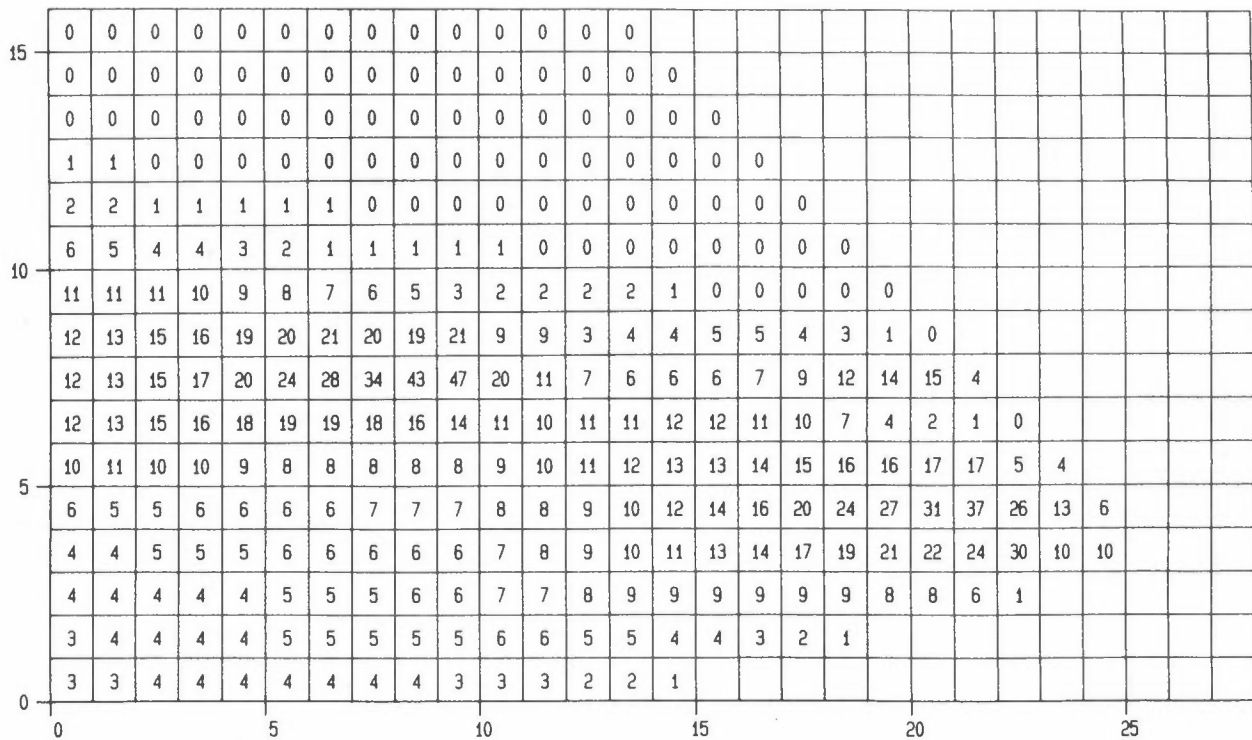
NOX-CBU-03  
UG/M3



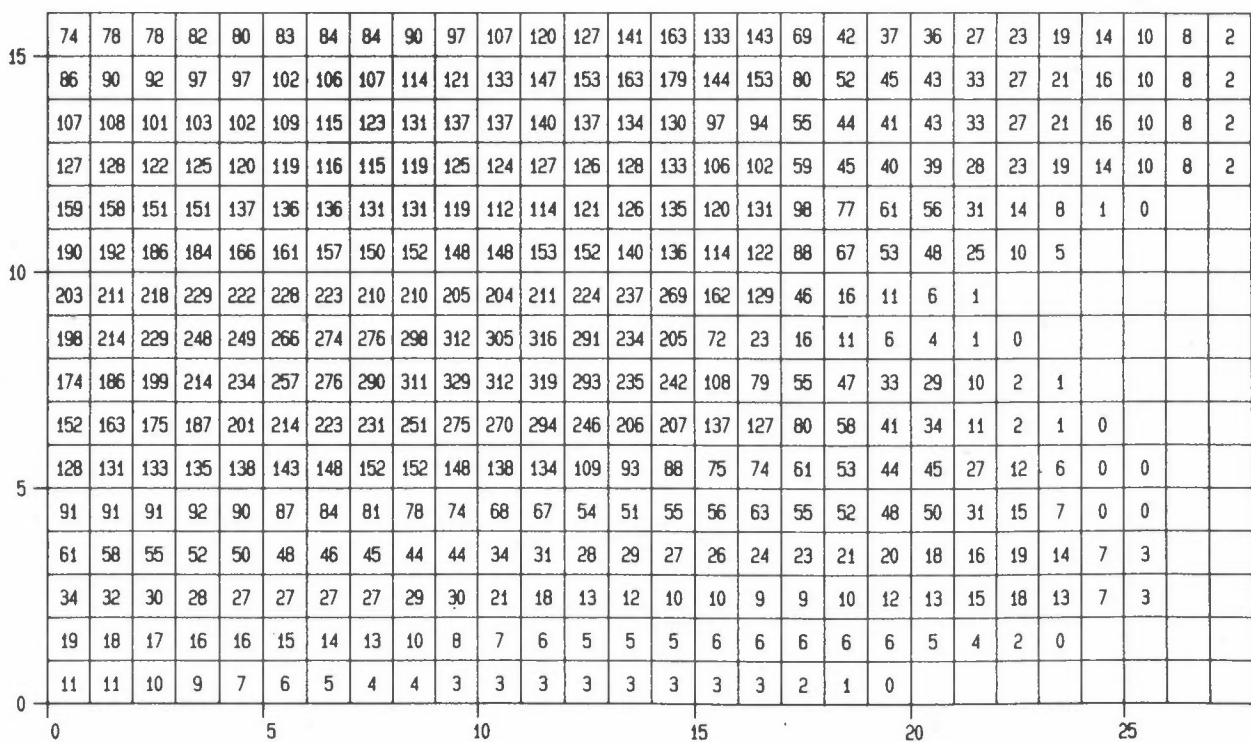
NOX-CEN-03  
UG/M3



NOX-CIN-03  
UG/M3



NOX-CTR-03  
UG/M3



NOX-TOT-03  
UG/M3

	105	110	104	105	102	106	108	108	117	124	136	154	162	181	210	186	213	101	67	43	39	29	24	19	14	10	8	2			
15	124	129	124	129	127	134	138	139	147	154	167	186	193	205	221	179	183	97	62	52	47	35	28	22	16	10	8	2			
	165	166	142	142	137	146	155	164	174	181	176	176	167	160	156	117	113	66	51	46	47	35	28	22	16	10	8	2			
	192	196	175	175	167	166	161	158	163	169	165	168	165	164	167	132	125	72	53	45	43	30	23	19	14	10	8	2			
	213	212	207	209	197	199	204	193	194	167	156	162	173	182	198	177	193	134	96	74	63	35	16	9	1	0					
10	251	252	247	247	231	229	228	214	219	202	202	213	216	205	203	171	183	124	86	65	56	29	12	6							
	282	291	296	303	292	296	289	272	274	265	262	270	286	304	344	213	178	63	22	14	7	1									
	286	305	324	347	352	370	377	372	387	397	373	385	346	285	250	100	47	29	18	8	4	1	0								
	263	282	303	327	358	394	426	448	489	505	418	402	345	281	280	142	115	84	70	53	46	15	2	1							
	242	260	280	301	325	348	365	372	397	418	394	427	340	294	289	201	189	120	81	55	40	13	2	1	0						
5	213	220	226	231	237	245	256	265	273	276	259	260	216	188	185	151	151	118	101	86	87	56	22	13	0	0					
	157	160	164	169	173	176	181	184	189	192	177	177	127	113	125	122	138	115	107	100	106	81	45	22	7	0					
	114	113	114	115	117	119	121	124	126	131	115	115	76	63	57	53	50	47	46	44	41	40	48	24	17	3					
	76	74	73	72	72	72	73	75	79	82	58	52	32	27	22	21	19	18	19	20	21	21	20	13	7	3					
	47	46	44	43	41	39	35	31	25	20	16	13	11	10	9	10	9	8	7	6	5	4	2	0							
0	28	26	24	20	17	14	11	9	8	7	6	6	6	5	4	3	3	2	1	0											

5

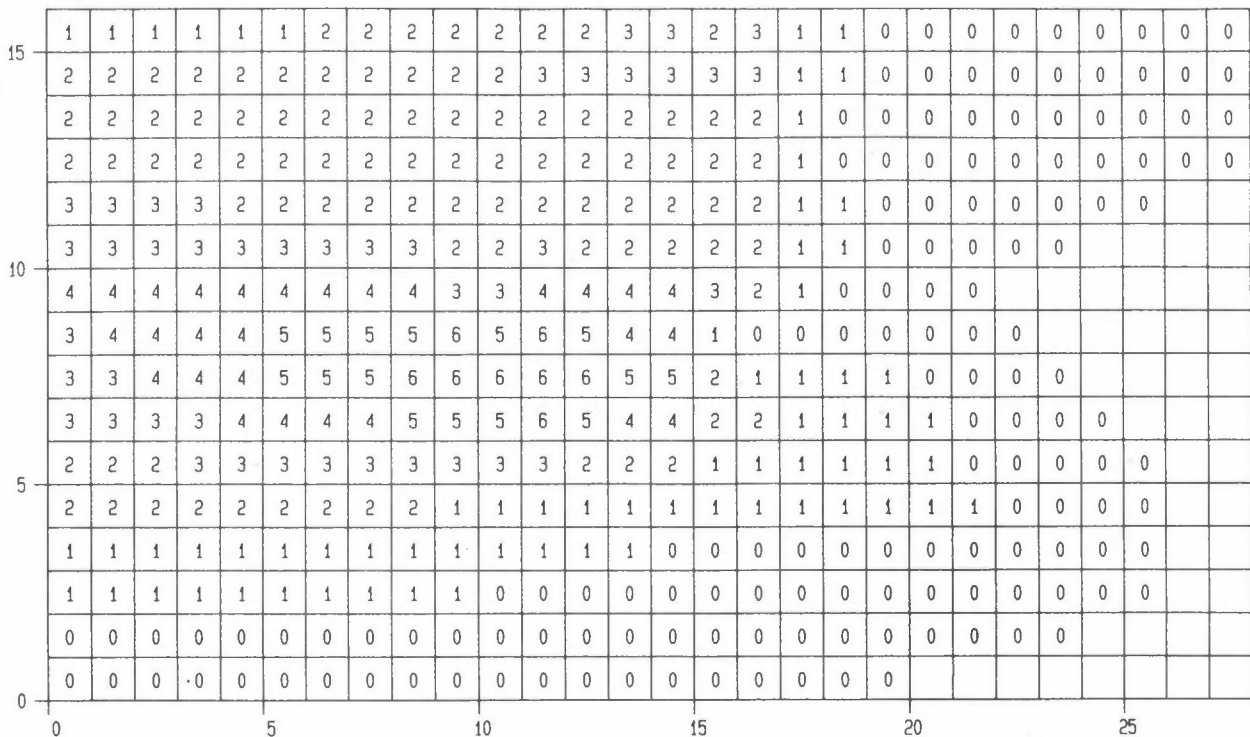
10

15

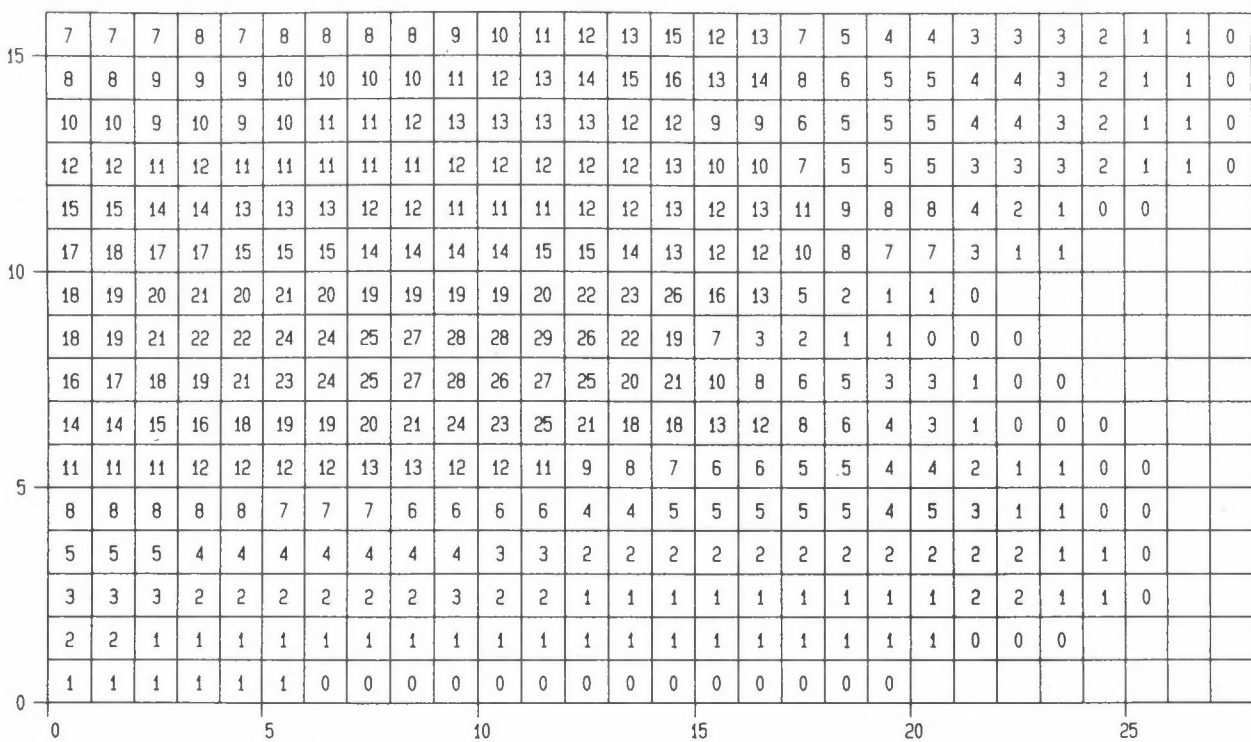
20

25

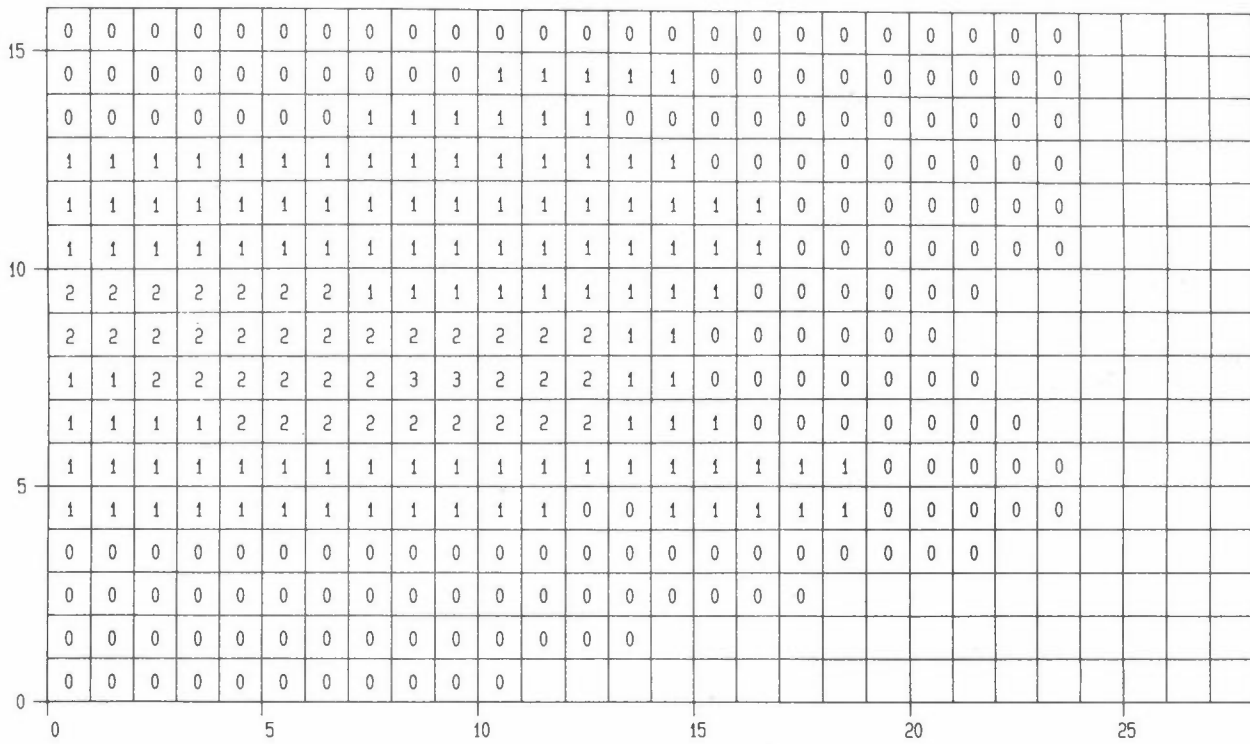
N02-CP8-03  
UG/M3



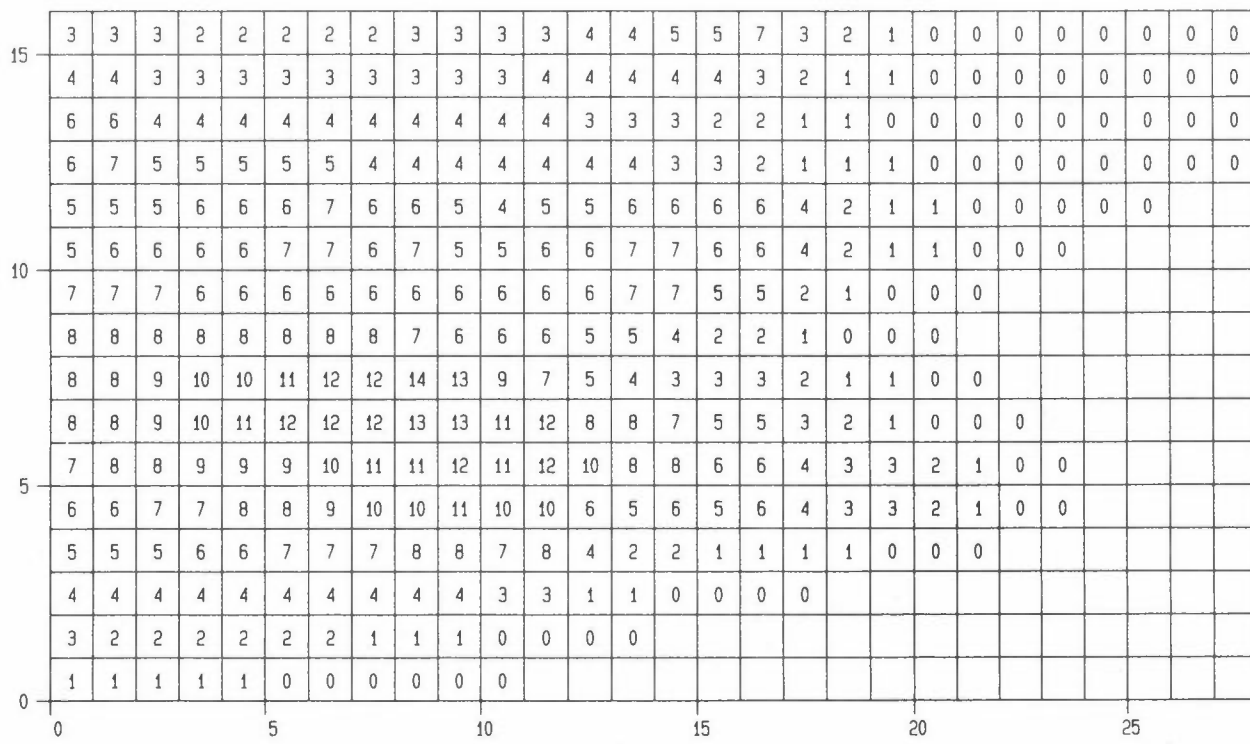
N02-CLB-03  
UG/M3



N02-CBU-03  
UG/M3

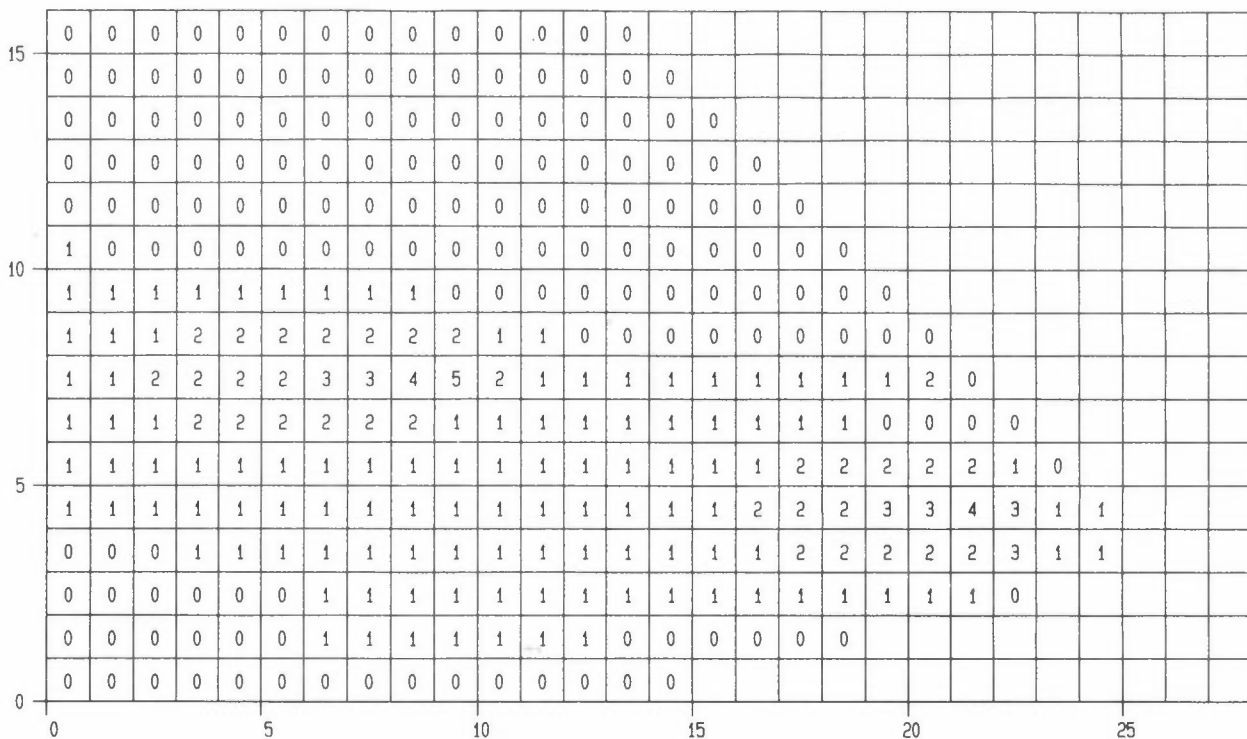


N02-CEN-03  
UG/M3



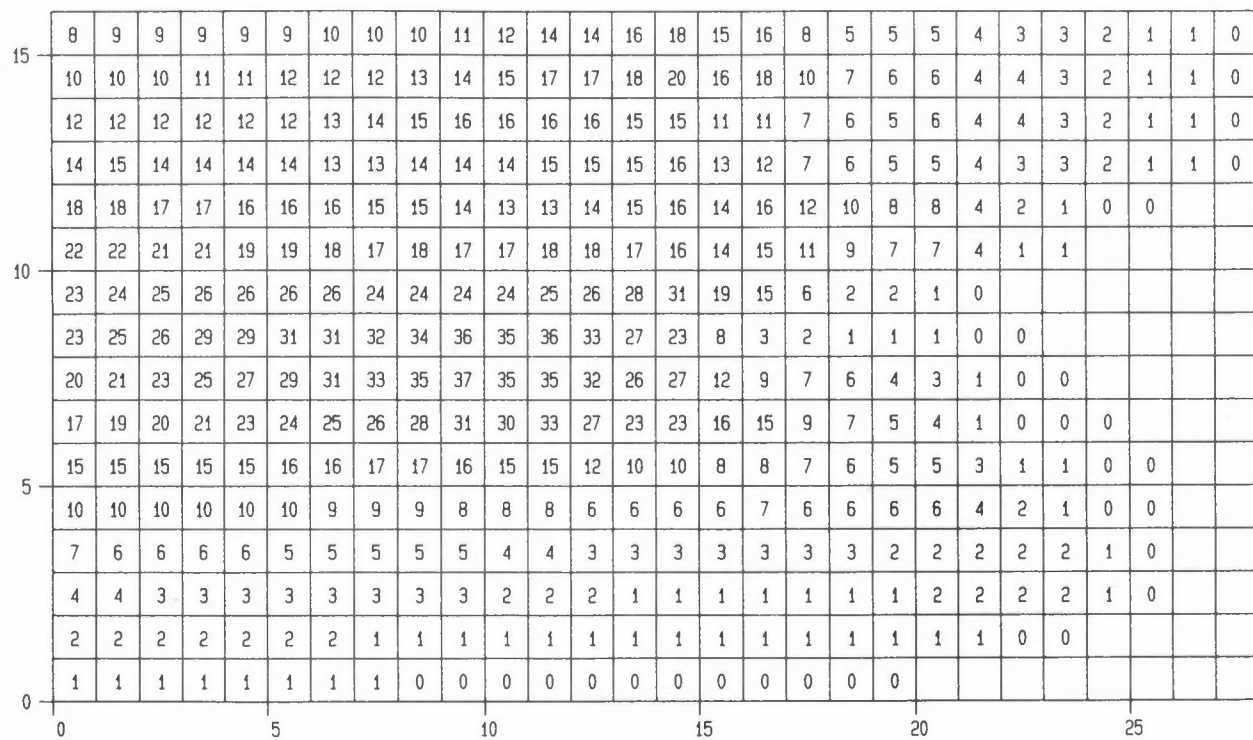
N02-CIN-03

UG/M3

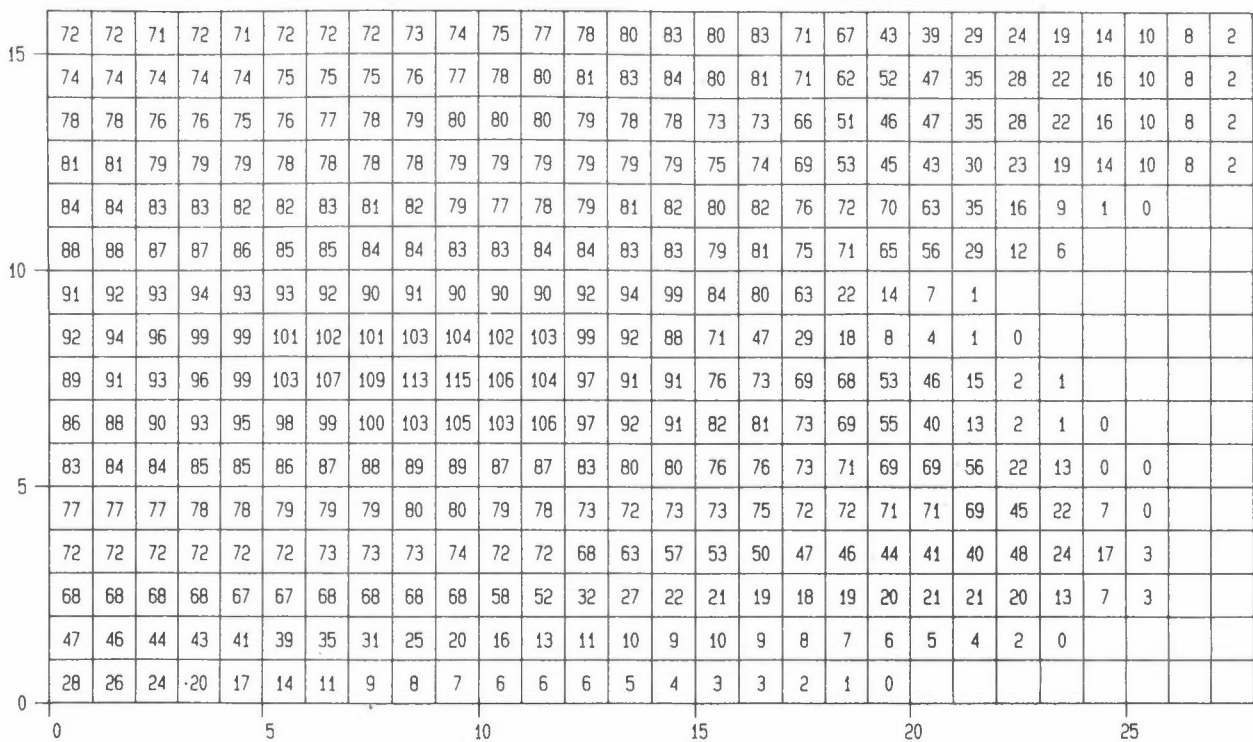


N02-CTR-03

UG/M3



NO2-TOT-03  
UG/M3





**VEDLEGG E**

Resultater for scenarium 3

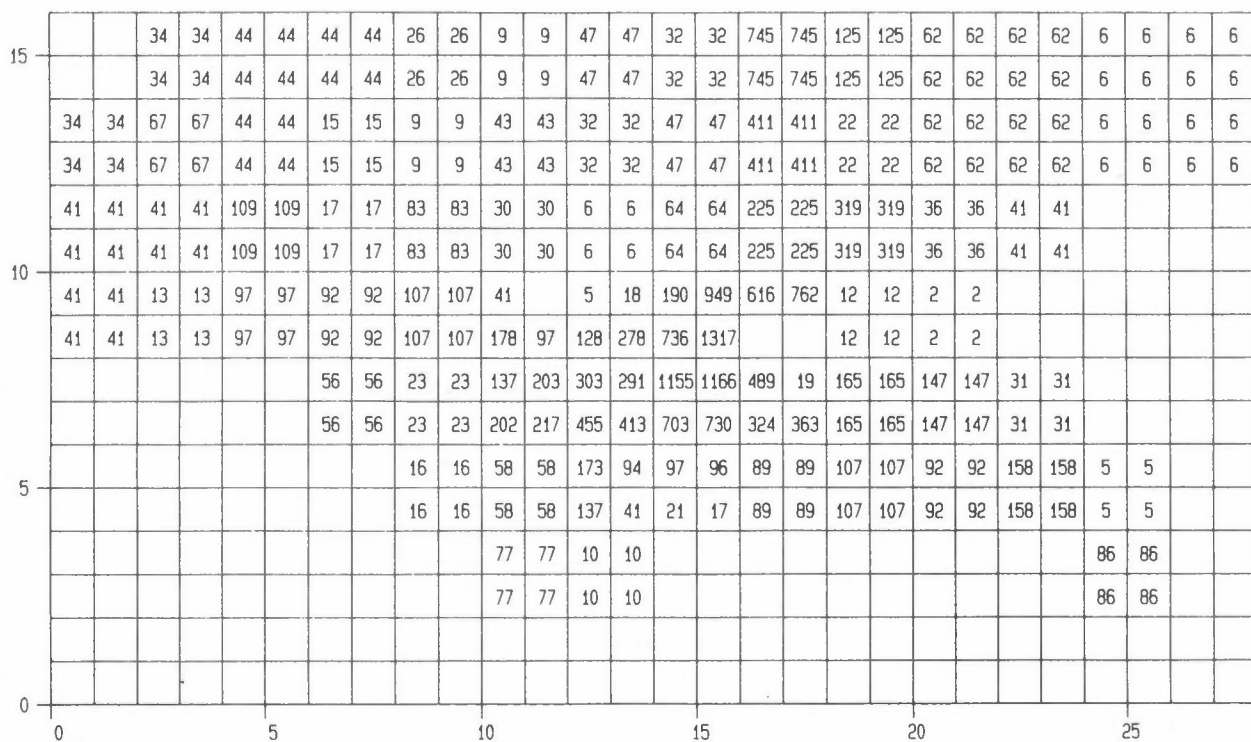
(Satsing på økt kollektivtrafikk,  
og med utslippsfaktorer for år 2000)



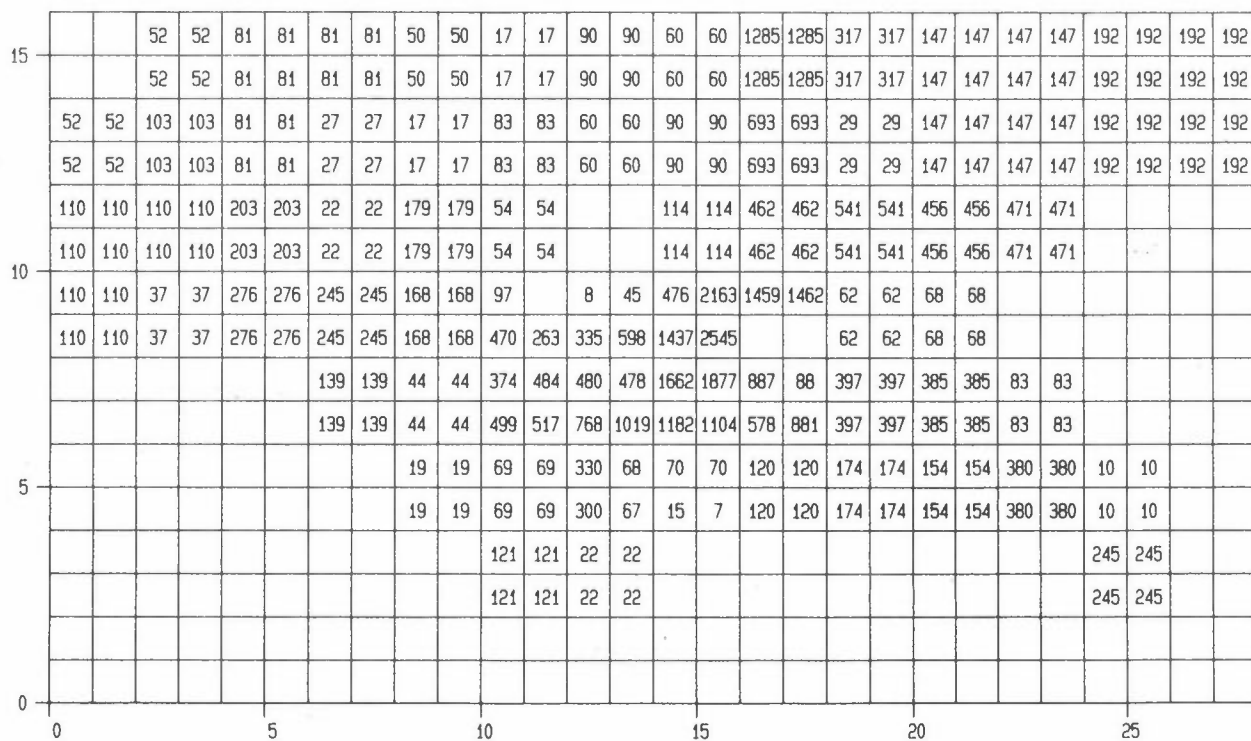
## INNHOLD

	Side
<b>Utslippsfelter NO<sub>x</sub>. Enhet: g NO<sub>x</sub>/time</b>	
- Personbiler .....	120
- Lastebiler .....	120
- Busser .....	121
- Energiproduksjon .....	121
- Industri, m.m. ....	122
- Trafikk (personbiler + lastebiler + busser) .....	122
- Totalt (trafikk + energiproduksjon + industri m.m) .....	123
<b>Konsentrasjonsfelter NO<sub>x</sub>. Wind: 280°, 1 m/s. Enhet: µg NO<sub>x</sub>/m³</b>	
- Personbiler .....	124
- Lastebiler .....	124
- Busser .....	125
- Energiproduksjon .....	125
- Industri, m.m. ....	126
- Trafikk (personbiler + lastebiler + busser) .....	126
- Totalt (trafikk + energiproduksjon + industri m.m) .....	127
<b>Konsentrasjonsfelter NO<sub>2</sub>. Wind: 280°, 1 m/s. Enhet: µg NO<sub>2</sub>/m³</b>	
- Personbiler .....	128
- Lastebiler .....	128
- Busser .....	129
- Energiproduksjon .....	129
- Industri, m.m. ....	130
- Trafikk (personbiler + lastebiler + busser) .....	130
- Totalt (trafikk + energiproduksjon + industri m.m) .....	131
<b>Konsentrasjonsfelter NO<sub>x</sub>. Wind: 100°, 1/2 m/s. Enhet: µg NO<sub>x</sub>/m³</b>	
- Personbiler .....	132
- Lastebiler .....	132
- Busser .....	133
- Energiproduksjon .....	133
- Industri, m.m. ....	134
- Trafikk (personbiler + lastebiler + busser) .....	134
- Totalt (trafikk + energiproduksjon + industri m.m) .....	135
<b>Konsentrasjonsfelter NO<sub>2</sub>. Wind: 100°, 1/2 m/s. Enhet: µg NO<sub>2</sub>/m³</b>	
- Personbiler .....	136
- Lastebiler .....	136
- Busser .....	137
- Energiproduksjon .....	137
- Industri, m.m. ....	138
- Trafikk (personbiler + lastebiler + busser) .....	138
- Totalt (trafikk + energiproduksjon + industri m.m) .....	139

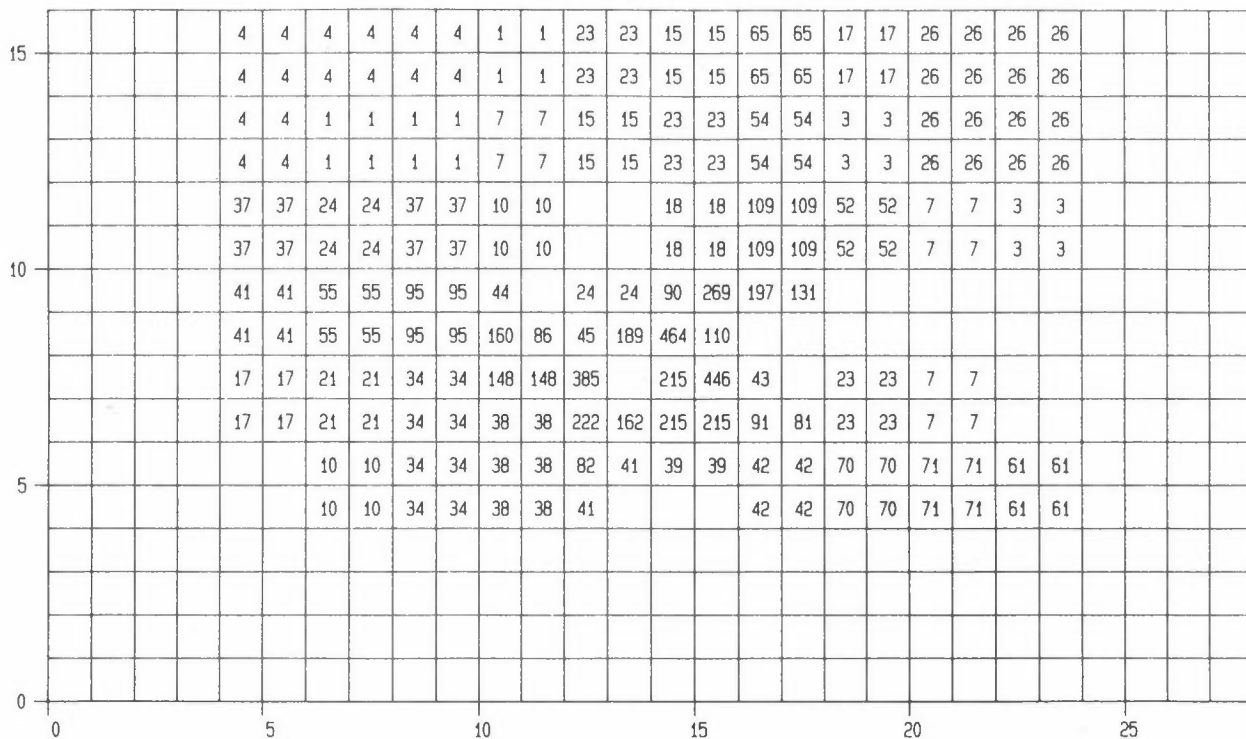
NOX-QPB-04  
G/TIME



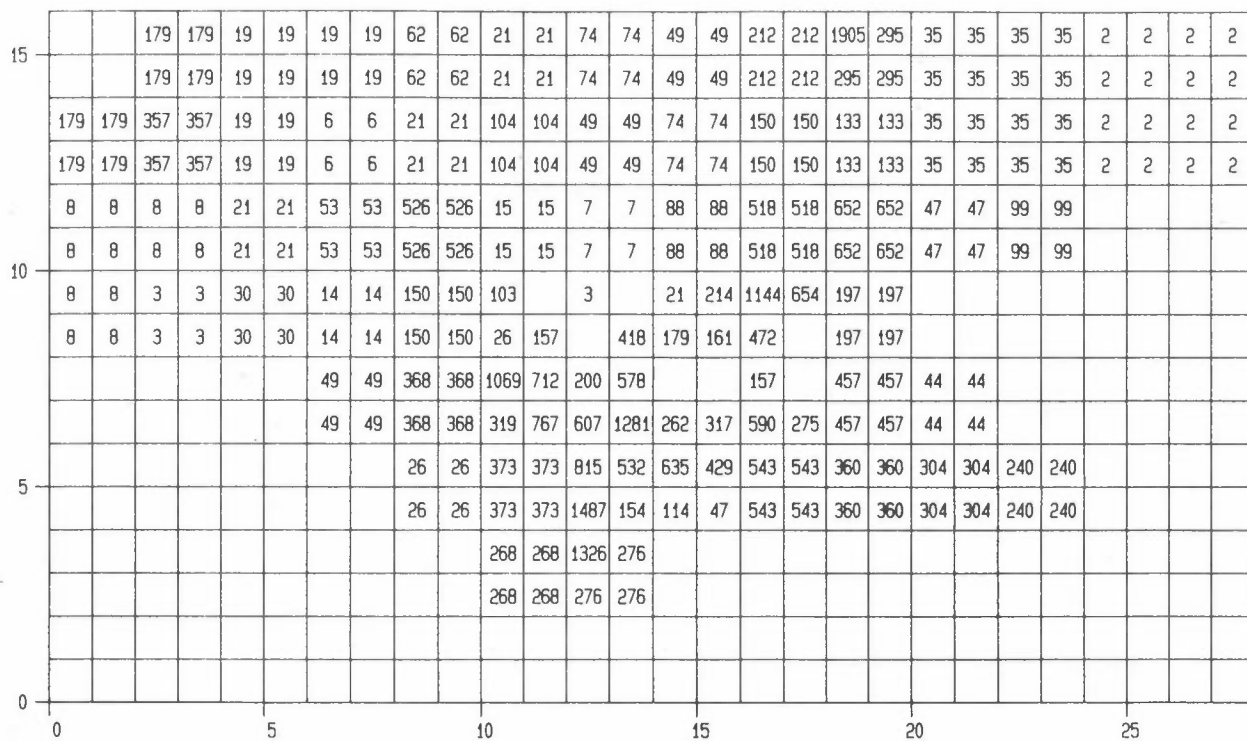
NOX-QLB-04  
G/TIME



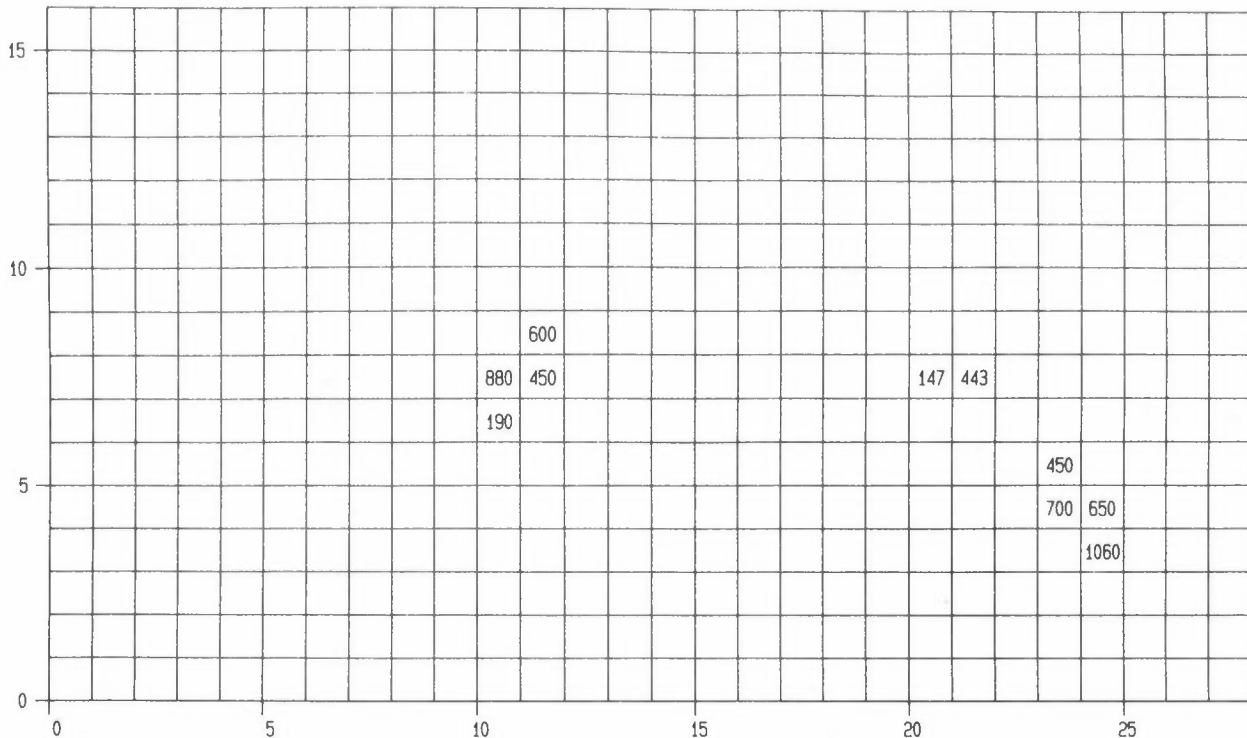
NOX-QBU-04  
G/TIME



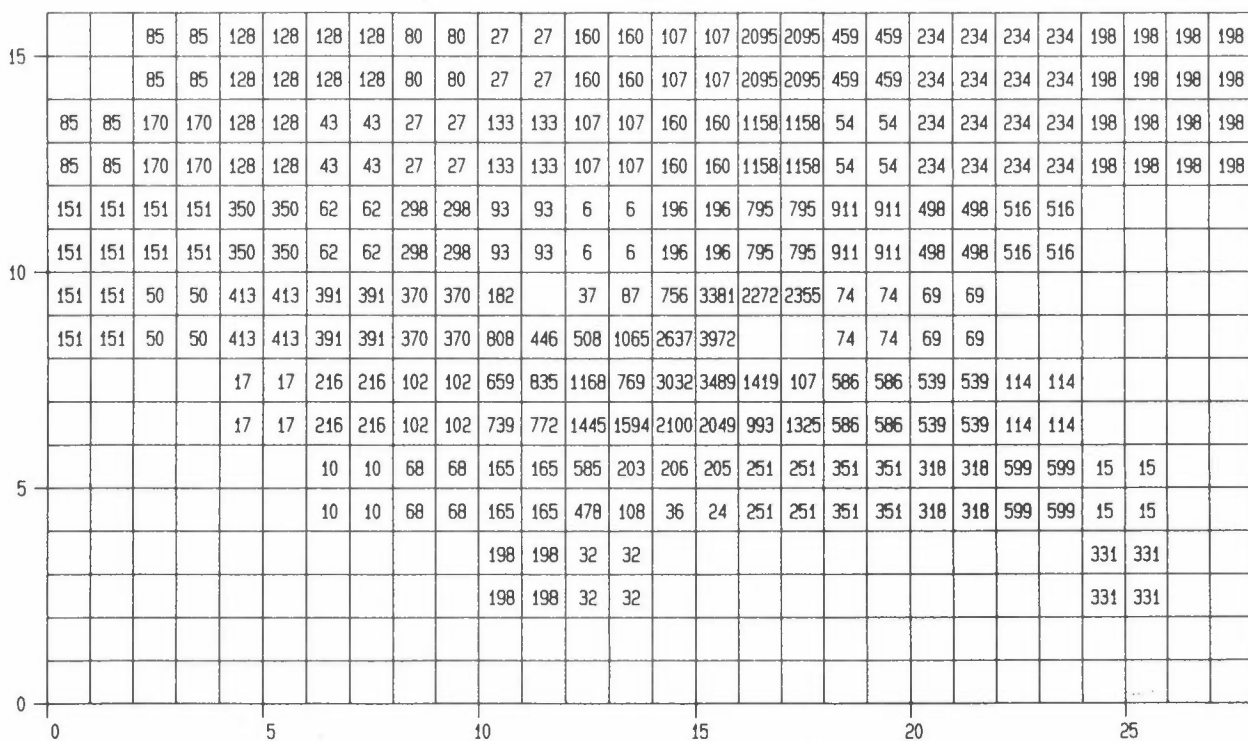
NOX-QEN-04  
G/TIME



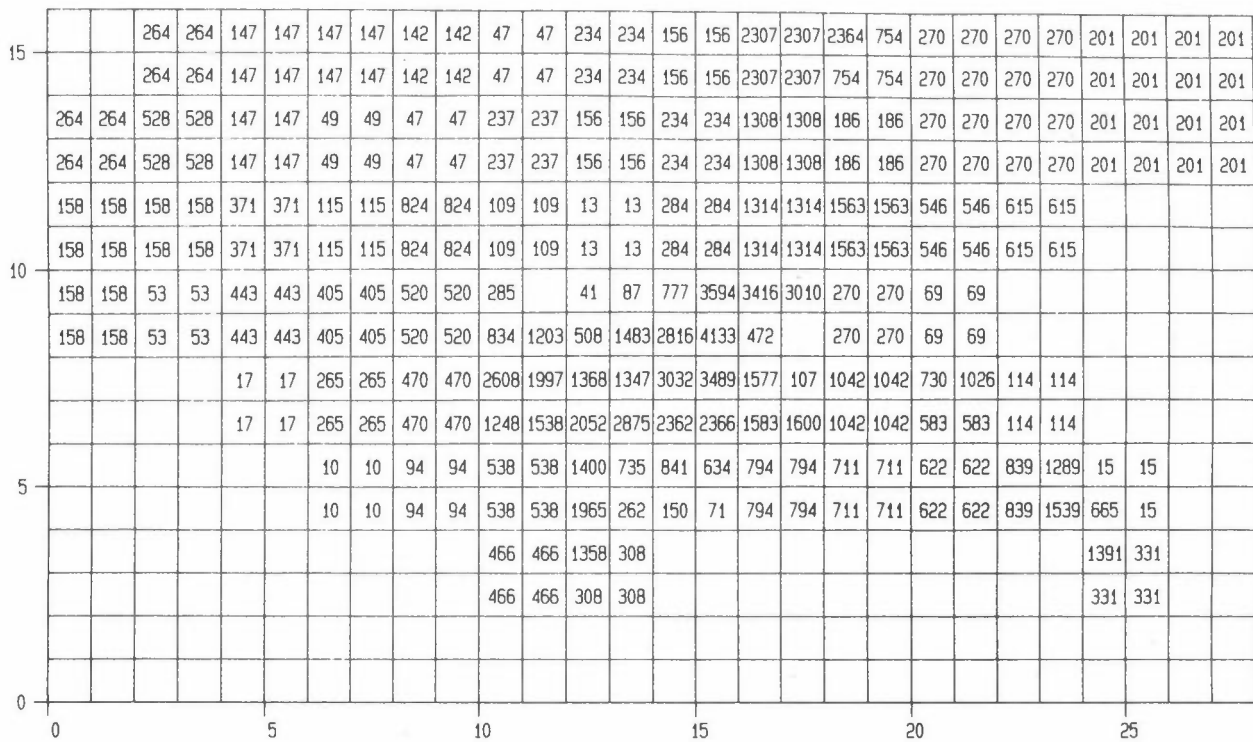
NOX-QIN-04  
G/TIME



NOX-QTR-04  
G/TIME



NOX-QTA-04  
G/TIME

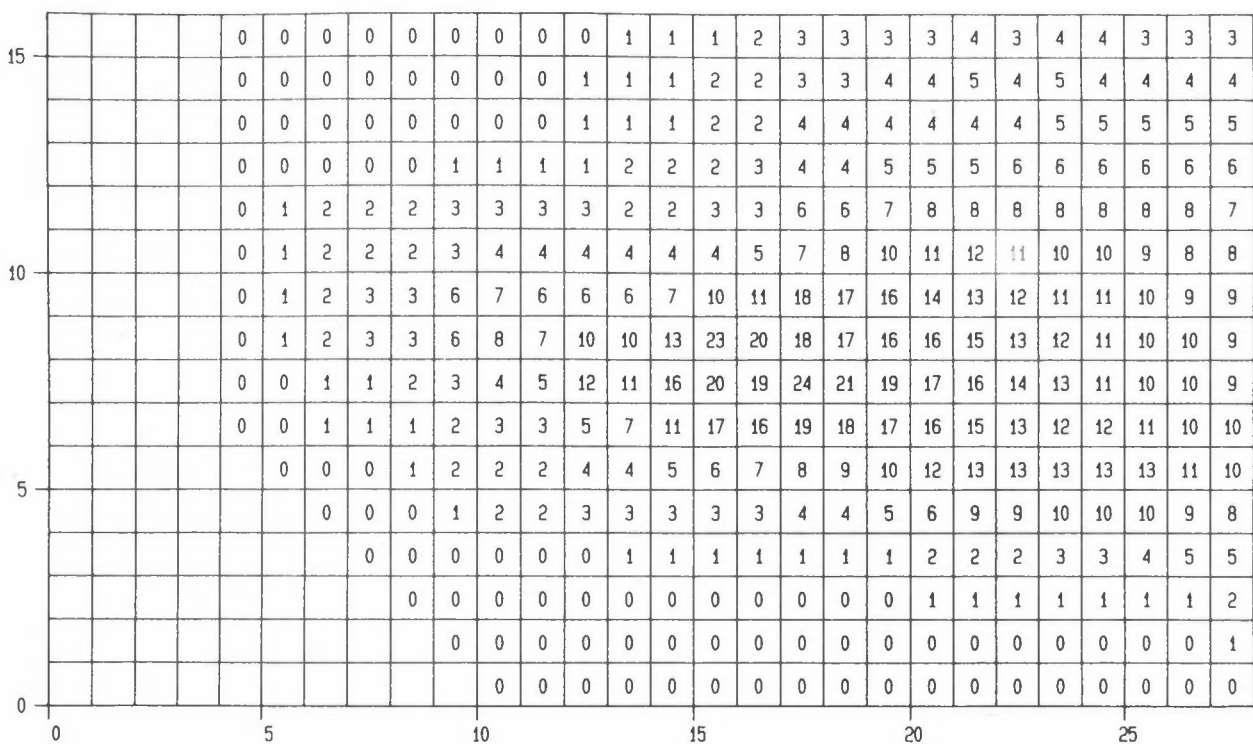


NOX-CPB-04  
UG/M3

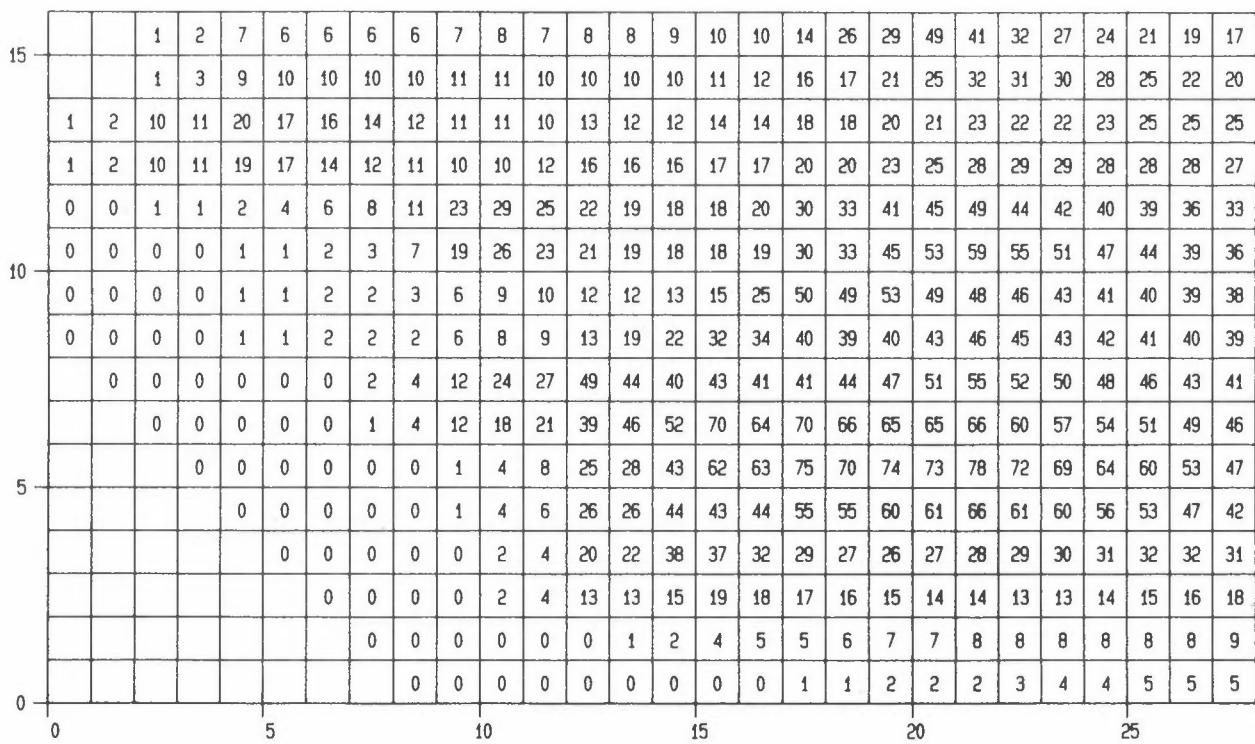
	0	0	2	2	3	4	3	4	4	4	4	4	5	9	25	24	31	27	26	23	22	20	18	16	15		
	0	1	2	2	4	5	5	5	5	5	5	5	6	11	27	26	34	32	32	29	26	24	22	20	18		
0	0	2	2	4	4	5	5	4	4	5	5	6	6	6	7	10	19	18	24	24	25	24	24	24	22	21	
0	0	2	2	4	4	5	5	5	5	5	5	7	7	7	8	10	19	18	22	21	22	22	23	23	23		
0	1	2	2	4	4	7	7	7	8	9	8	8	7	8	9	10	15	16	21	25	28	27	27	27	26	25	
0	1	2	2	4	4	7	7	7	9	10	9	10	9	9	10	17	21	28	33	37	35	34	32	30	28	27	
0	1	2	2	3	3	6	8	8	11	12	10	10	10	11	20	24	51	46	50	42	38	36	34	32	31	29	28
0	1	2	2	2	3	6	7	7	9	11	11	14	14	20	42	39	53	48	47	47	45	42	39	36	33	31	29
0	0	0	0	0	1	3	3	4	6	7	14	16	26	54	53	70	63	56	53	52	46	43	39	36	32	29	
0	0	0	0	0	0	2	2	3	4	5	14	15	25	42	40	53	49	50	47	47	42	40	37	34	31	29	
0	0	0	0	0	0	0	1	2	2	5	6	9	13	15	20	22	24	27	30	31	32	32	32	30	27		
0	0	0	0	0	0	0	0	1	1	4	4	6	6	7	9	9	11	13	17	17	19	21	22	21	21		
0	0	0	0	0	0	0	1	1	3	3	3	3	3	3	3	3	3	4	4	5	6	8	10	12	13		
0	0	0	0	0	0	1	1	3	3	2	2	2	2	2	2	2	2	2	2	2	2	3	4	5	7		
0	0	0	0	0	0	0	0	0	0	1	1	1	1	1	1	1	1	1	1	1	1	1	1	1	2		
0	0	0	0	0	0	0	0	0	0	0	0	0	0	0	0	0	0	0	0	0	0	1	1	1	1		

NOX-CL8-04  
UG/M3

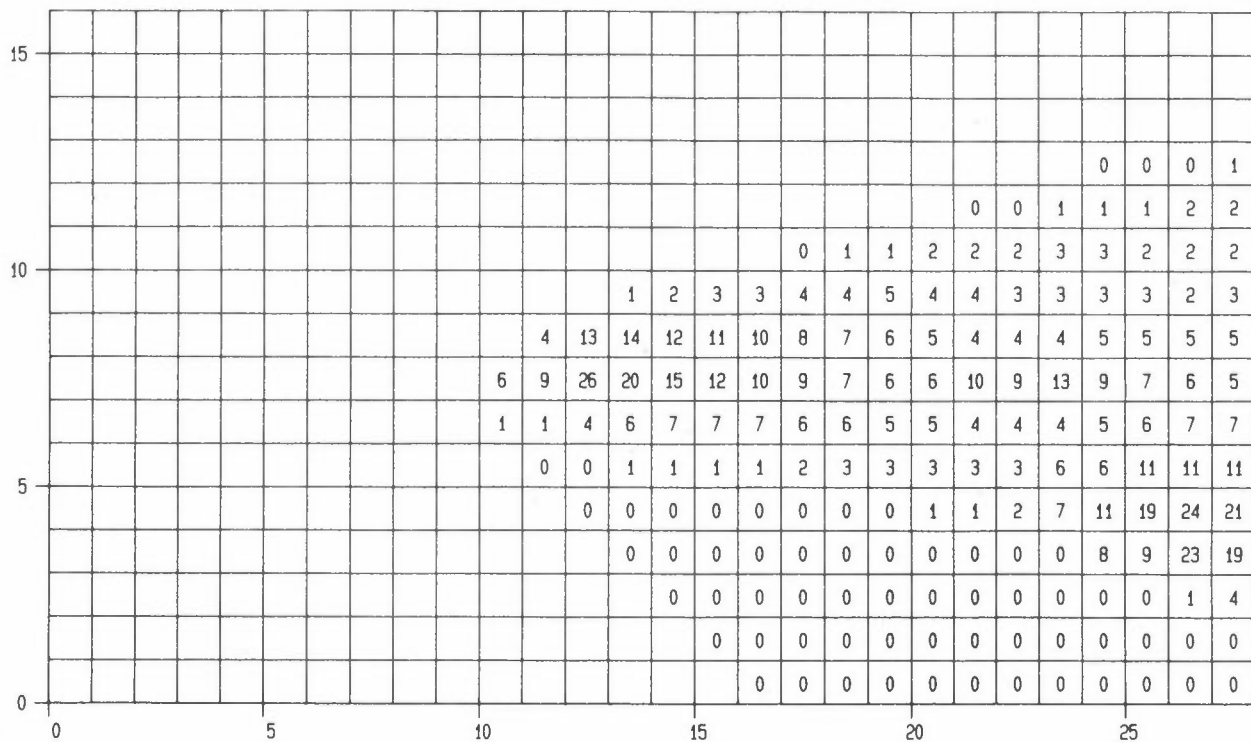
NOX-CBU-04  
UG/M3



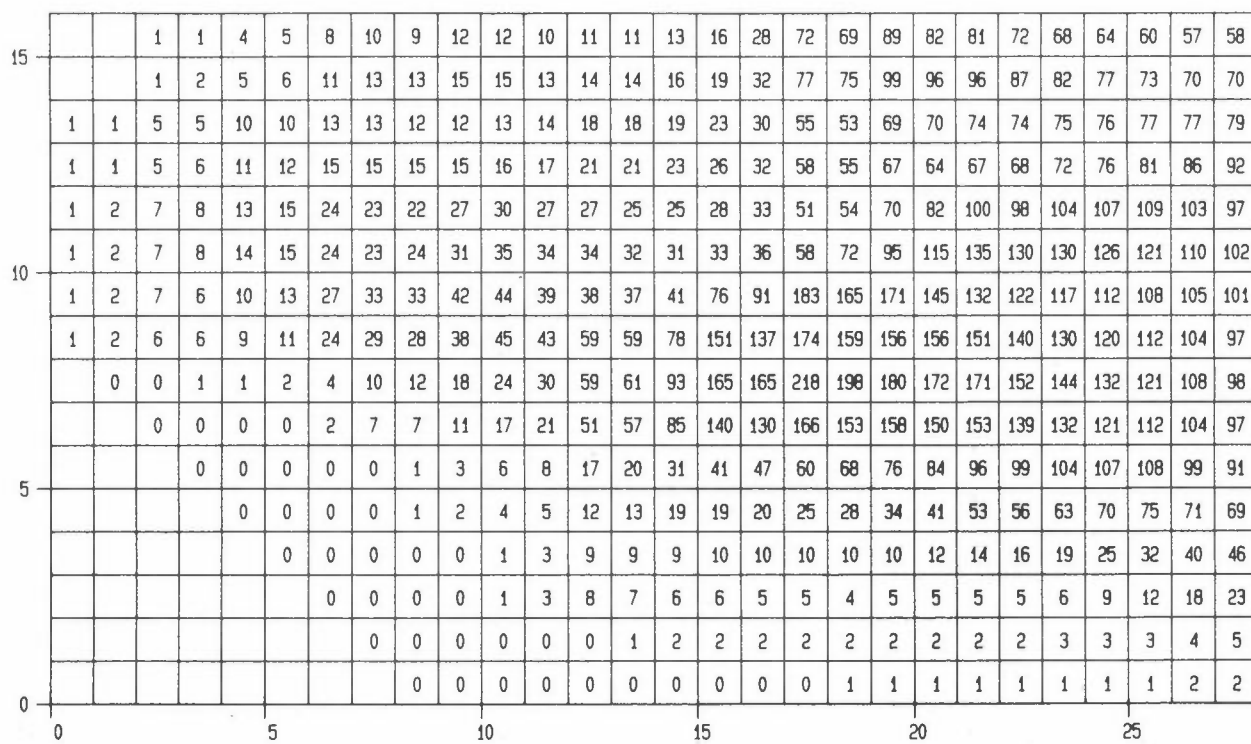
NOX-CEN-04  
UG/M3



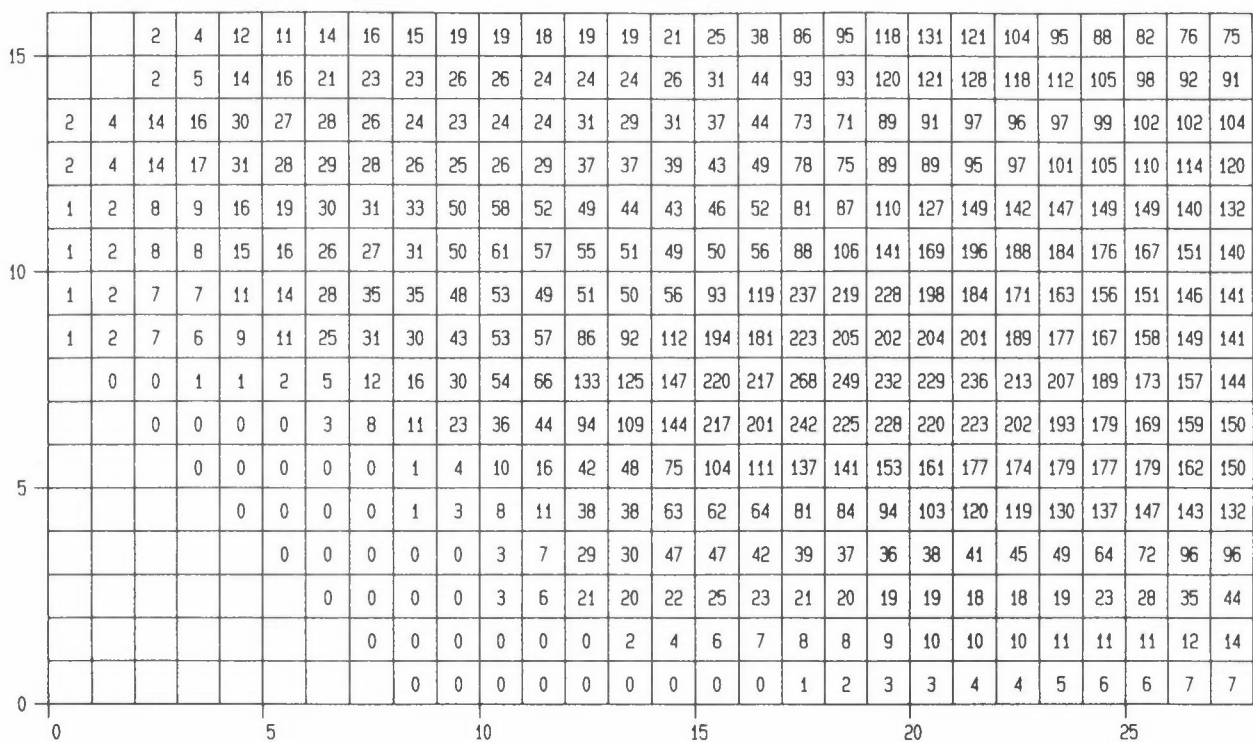
NOX-CIN-04  
UG/M3



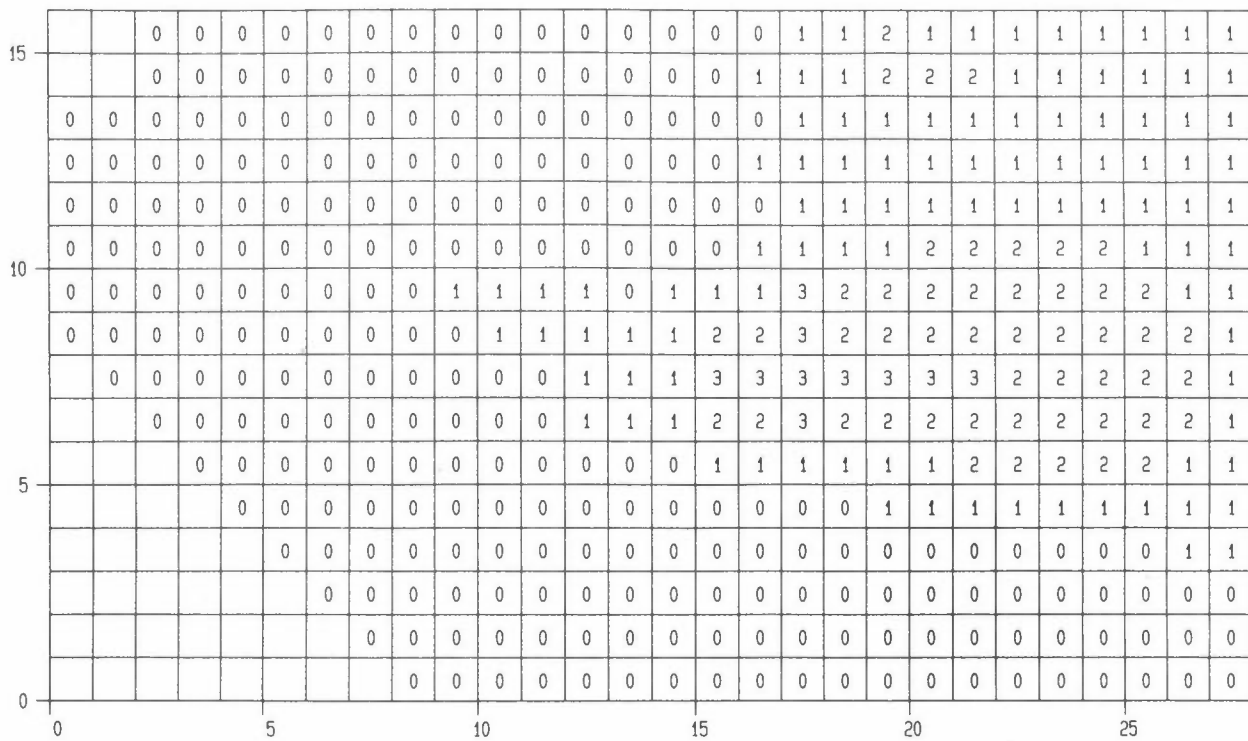
NOX-CTR-04  
UG/M3



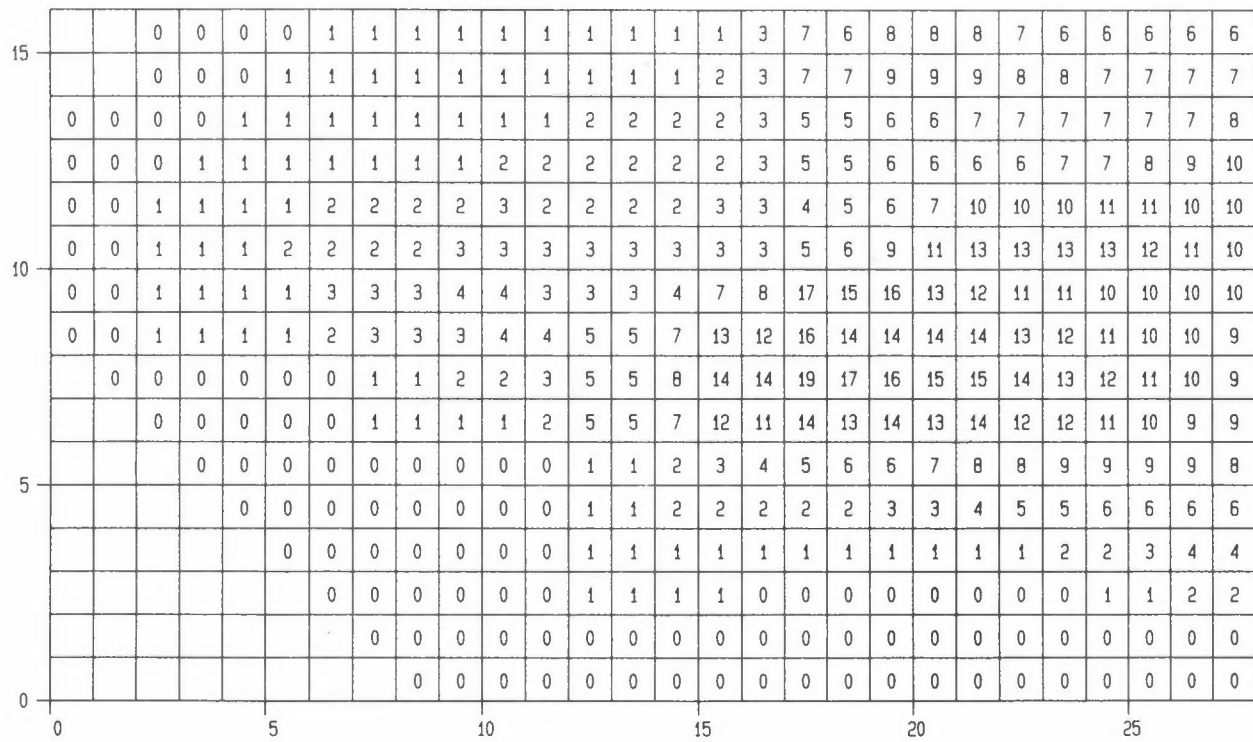
NOX-TOT-04  
UG/M3



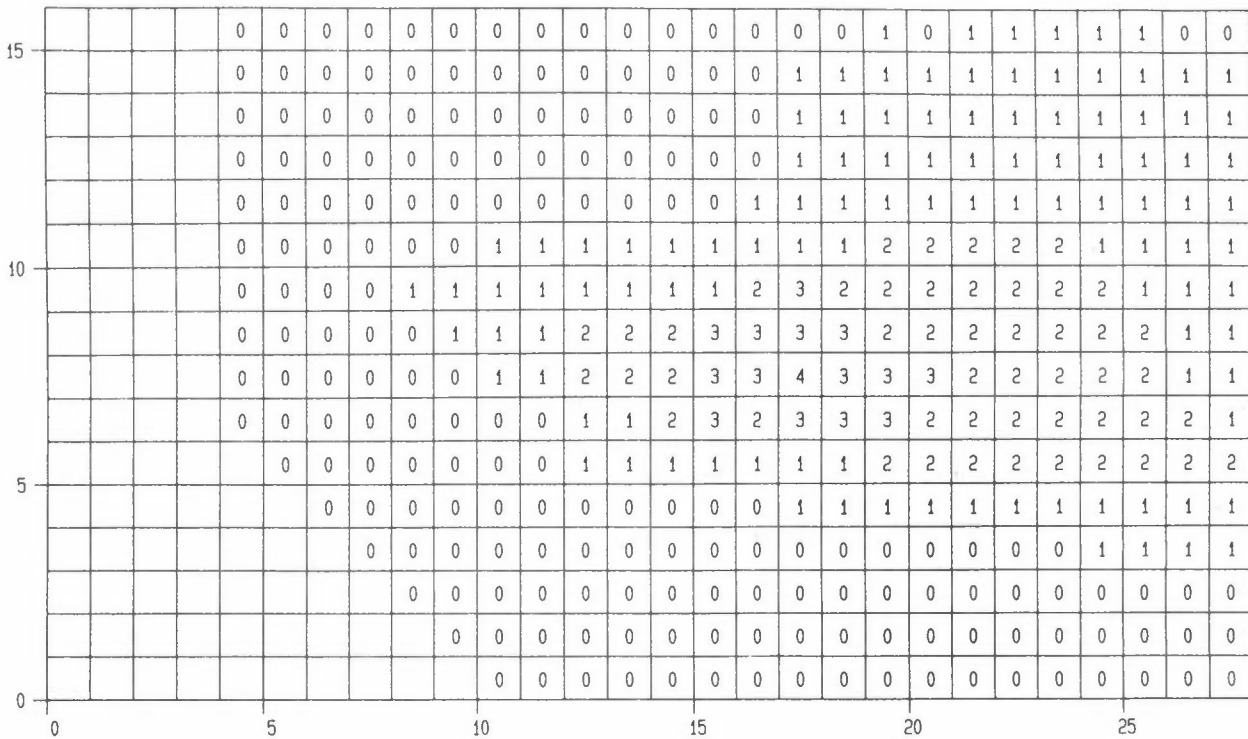
N02-CPB-04  
UG/M3



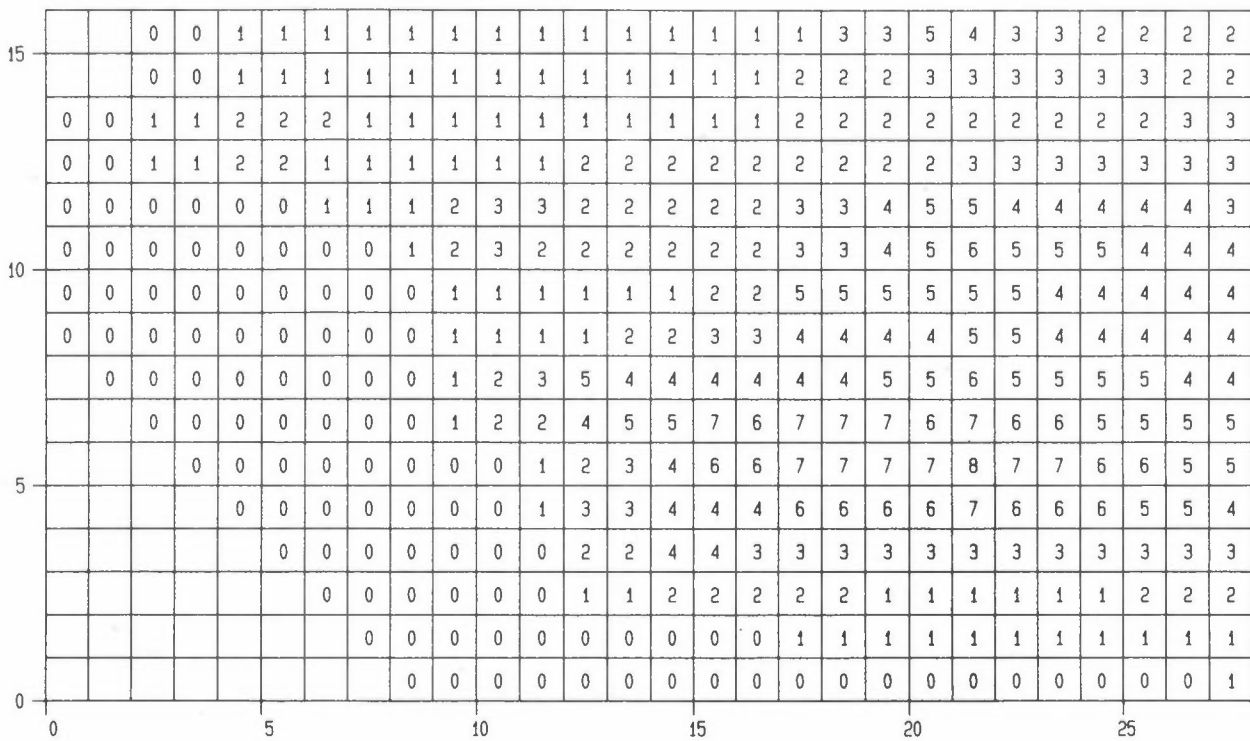
N02-CLB-04  
UG/M3



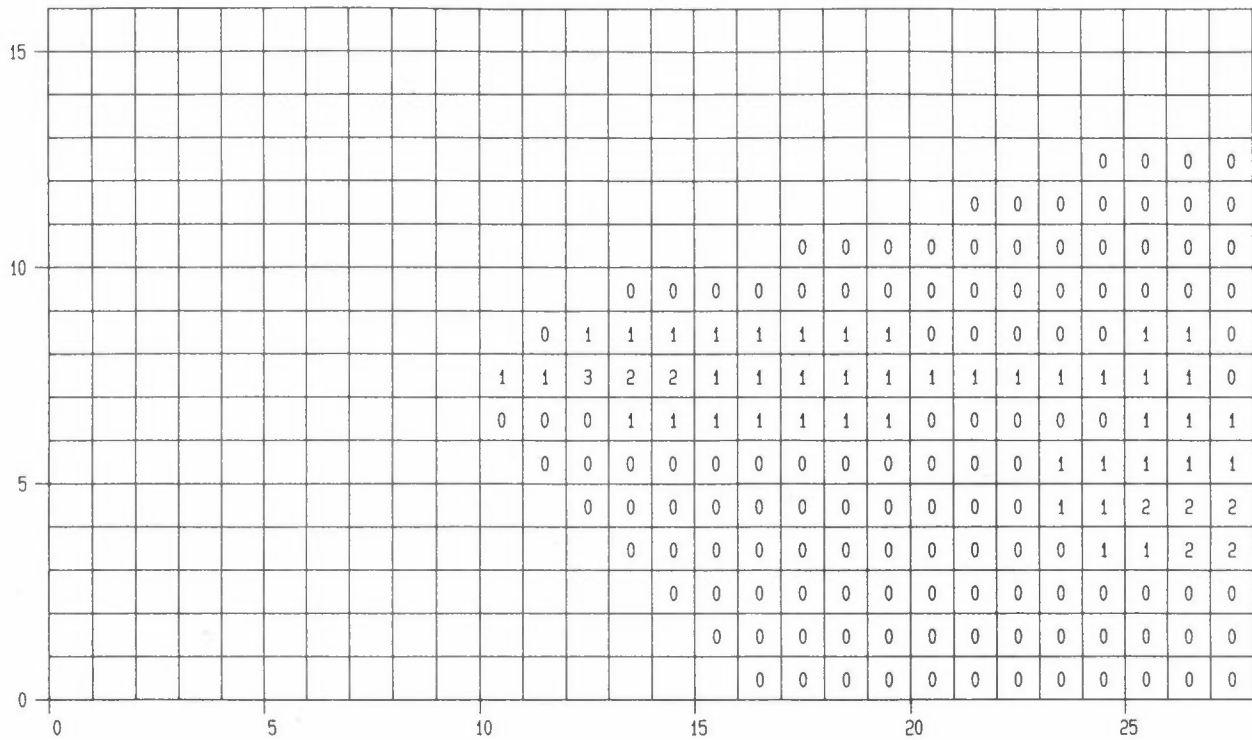
N02-CBU-04  
UG/M3



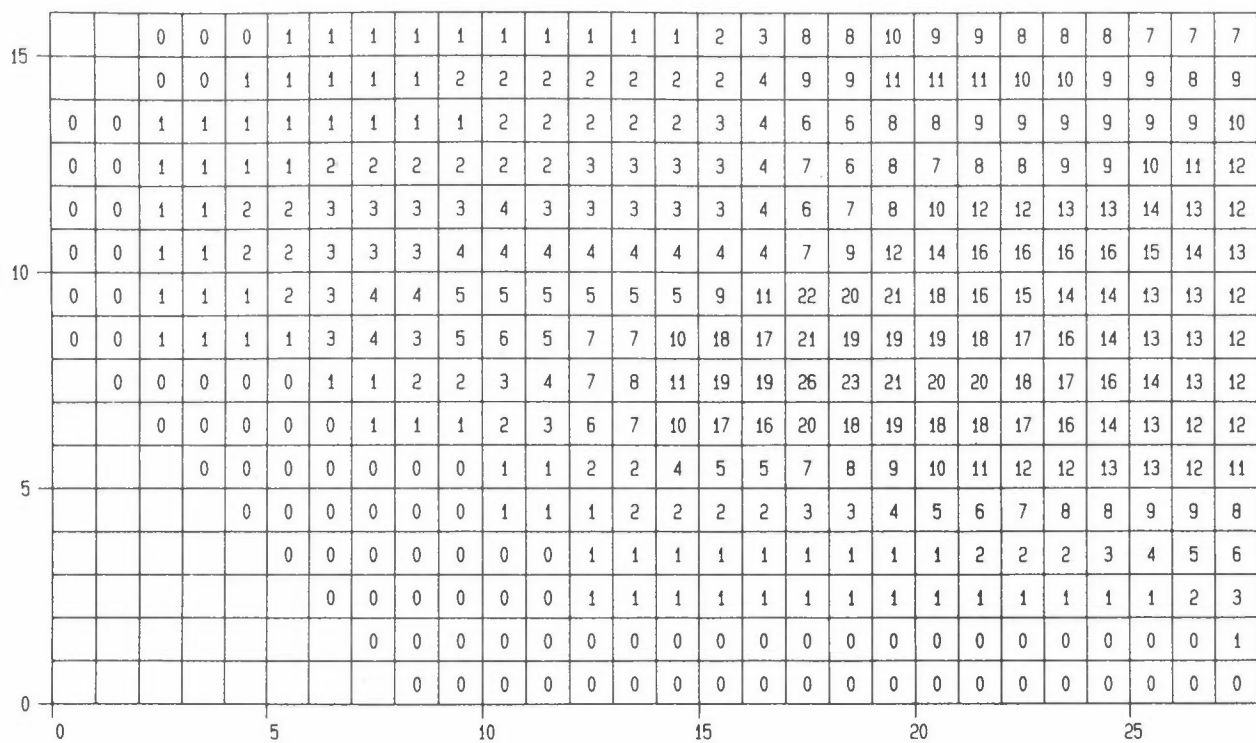
N02-CEN-04  
UG/M3



N02-CIN-04  
UG/M3



N02-CTR-04  
UG/M3



NO2-TOT-04  
UG/M3

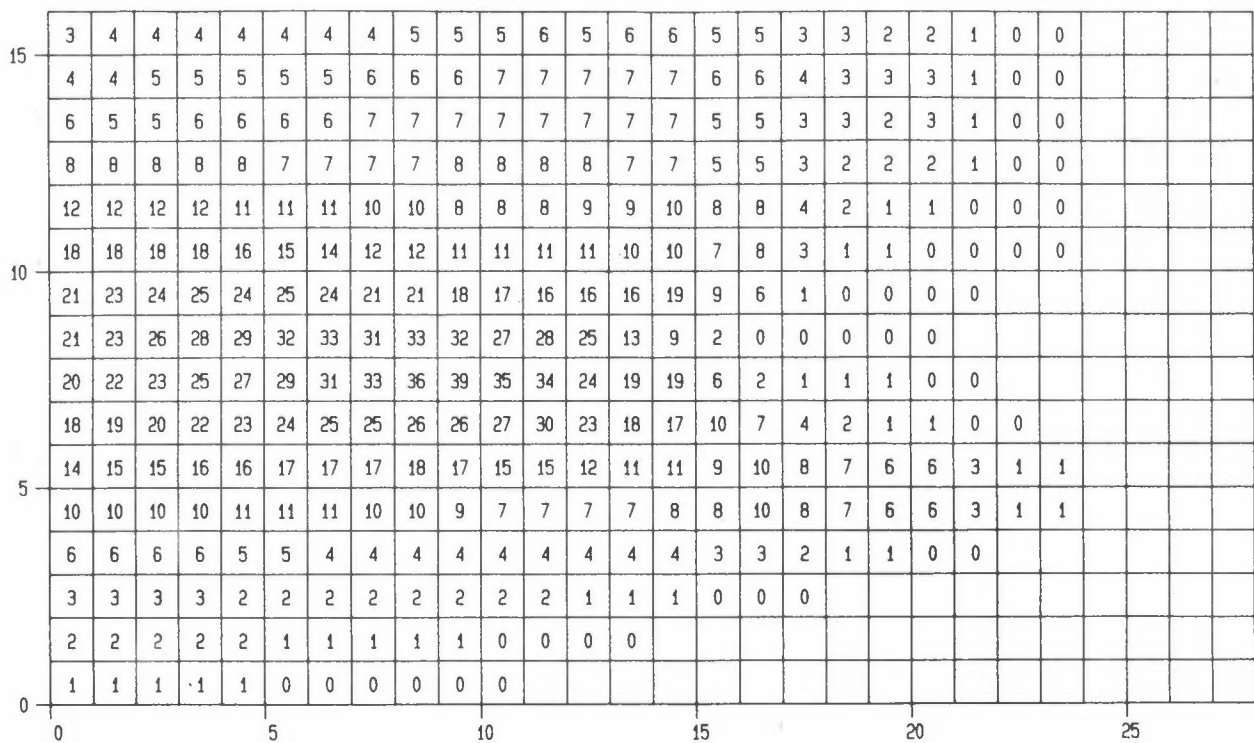
		2	4	12	11	14	16	15	19	19	18	19	19	21	25	38	70	71	73	74	74	72	71	70	69	69	69	
		2	5	14	16	21	23	23	26	26	24	24	24	26	31	44	70	70	74	74	74	73	73	72	71	71	71	
	2	4	14	16	30	27	28	26	24	23	24	24	31	29	31	37	44	68	68	70	70	71	71	71	72	72	72	
	2	4	14	17	31	28	29	28	26	25	26	29	37	37	39	43	49	69	68	70	70	71	71	71	72	73	73	74
	1	2	8	9	16	19	30	31	33	50	58	52	49	44	43	46	52	69	70	72	74	77	76	77	78	78	77	76
	1	2	8	8	15	16	26	27	31	50	61	57	55	51	49	50	56	70	72	76	79	83	82	82	81	80	78	76
	1	2	7	7	11	14	28	35	35	48	53	49	51	50	56	71	74	88	85	86	83	81	80	79	78	77	77	76
	1	2	7	6	9	11	25	31	30	43	53	57	70	71	73	83	81	86	84	83	83	82	80	79	78	77	76	
	0	0	1	1	2	5	12	16	30	54	66	75	74	77	85	85	91	89	87	86	87	84	84	82	80	78	76	
	0	0	0	0	3	8	11	23	36	44	71	72	76	85	83	87	85	86	85	85	83	82	80	79	78	77		
	0	0	0	0	0	0	1	3	8	11	38	38	63	62	64	68	69	70	71	73	73	74	75	76	76	75		
	0	0	0	0	0	0	3	7	29	30	47	47	42	39	37	36	38	41	45	49	64	68	70	71				
	0	0	0	0	0	0	3	6	21	20	22	25	23	21	20	19	19	18	18	19	23	28	35	44				
	0	0	0	0	0	0	0	0	0	0	2	4	6	7	8	8	9	10	10	10	11	11	11	12	14			
0										0	0	0	0	0	0	0	0	1	2	3	3	4	4	5	6	6	7	7

NOX-CP8-04  
UG/M3

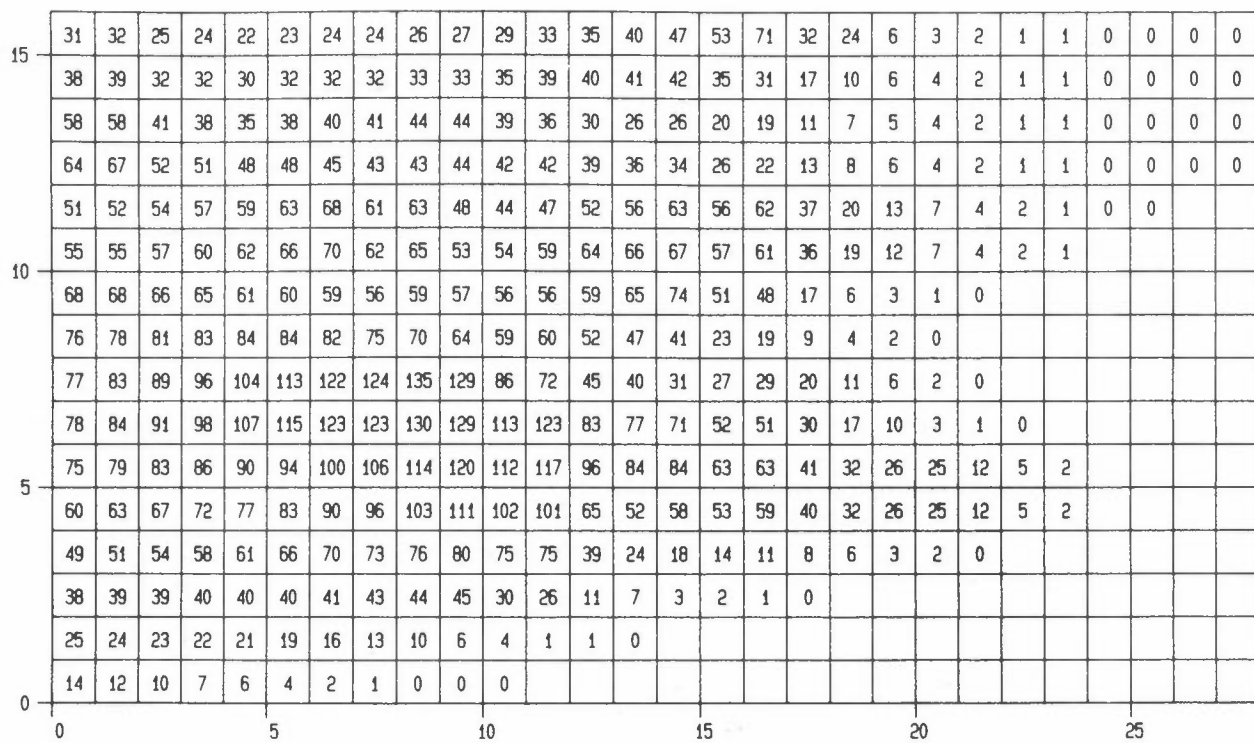
21	23	22	24	23	24	24	26	28	32	36	38	42	49	39	41	17	8	7	6	3	2	1	0	0	0	
25	26	26	28	27	29	30	31	33	35	39	44	46	49	53	41	43	19	10	8	7	4	2	1	0	0	0
31	32	29	30	29	31	33	35	37	39	39	40	39	38	37	26	25	12	8	7	7	4	2	1	0	0	0
37	37	35	35	34	33	32	32	33	34	34	34	33	34	36	27	26	11	7	6	6	3	2	1	0	0	0
45	44	43	43	38	37	37	35	35	32	30	30	31	32	34	28	31	19	11	7	4	2	1	0	0	0	0
53	54	52	52	46	44	43	40	41	39	39	40	40	36	34	27	29	17	10	6	4	2	1	0			
56	58	60	62	61	63	62	58	58	56	55	56	59	62	71	42	34	9	1	1	0	0					
55	59	63	68	69	74	77	78	84	88	87	90	84	67	60	20	5	3	2	1	0	0	0				
49	52	56	61	66	73	79	84	90	97	95	100	94	74	76	31	21	14	12	9	8	3	1	0			
43	46	50	54	58	63	66	69	76	84	83	90	76	63	63	39	34	21	15	11	9	3	1	0	0		
37	39	40	41	42	44	46	47	47	46	43	42	34	29	27	22	22	17	15	12	12	7	3	2	0	0	
28	28	28	28	28	27	26	25	24	23	21	20	16	16	17	17	19	16	14	13	13	8	4	2	0	0	
19	18	17	16	16	15	14	14	14	14	10	9	8	8	8	7	7	6	5	5	4	4	5	3	2	1	
11	10	9	9	8	8	8	9	9	10	6	5	4	3	3	2	2	2	2	3	3	4	4	3	2	1	
6	5	5	5	5	5	4	4	3	2	2	1	1	1	1	1	1	1	1	1	1	1	1	1	1	0	
3	3	3	3	2	2	1	1	1	1	1	1	1	1	1	1	1	0	0	0							

NOX-CLB-04  
UG/M3

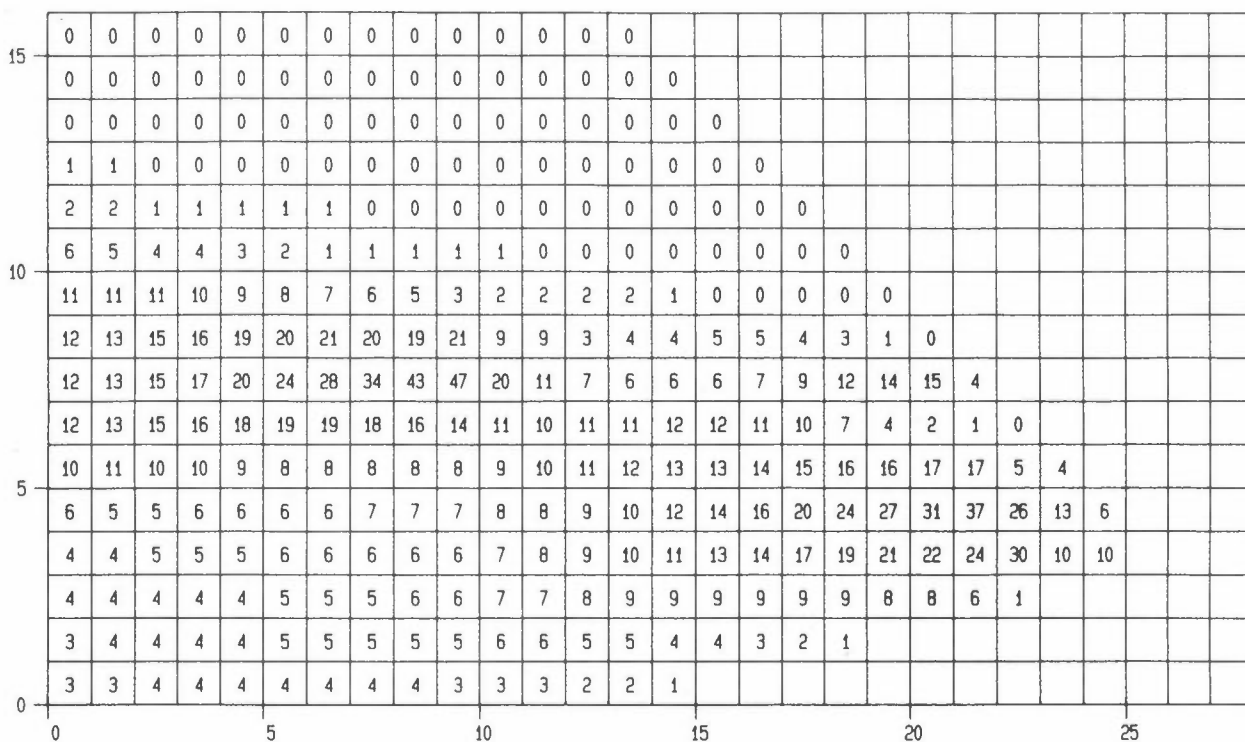
NOX-CBU-04  
UG/M3



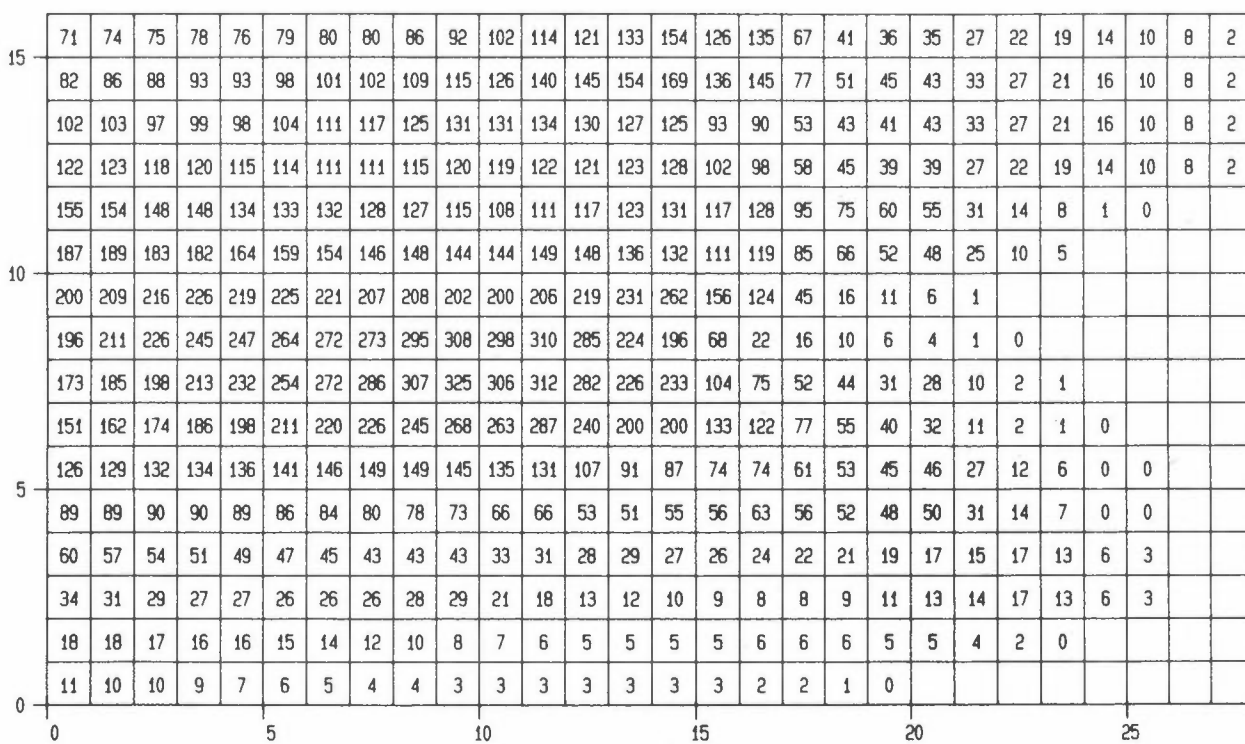
NOX-CEN-04  
UG/M3



NOX-CIN-04  
UG/M3



NOX-CTR-04  
UG/M3



NOX-TOT-04  
UG/M3

	101	107	100	102	98	102	104	104	112	119	131	148	156	173	201	179	206	98	66	42	39	29	23	19	14	10	8	2
15	120	125	120	124	123	130	133	134	142	148	161	178	185	196	211	172	176	94	61	51	47	35	28	22	16	10	8	2
	160	161	138	137	133	142	150	159	169	175	170	169	160	154	150	113	109	64	50	46	47	35	28	22	16	10	8	2
	187	191	171	171	163	162	157	154	158	164	161	164	160	159	162	128	121	71	53	45	43	29	23	19	14	10	8	2
	209	208	203	206	193	196	201	189	190	163	152	158	169	179	194	174	190	132	95	73	63	35	16	9	1	0		
10	247	249	244	245	228	227	225	210	215	198	198	209	212	202	200	168	180	121	84	64	55	29	12	6				
	280	288	293	301	289	293	287	269	272	261	258	265	280	298	337	207	173	62	22	14	7	1						
	283	302	322	345	350	368	375	369	384	393	367	379	340	275	241	96	46	29	17	8	4	1	0					
	262	281	302	326	356	391	423	444	485	501	413	395	334	273	271	138	111	81	68	51	45	14	2	1				
	241	259	279	300	323	346	361	367	391	411	387	420	333	288	283	196	184	117	79	53	38	12	2	1	0			
5	211	219	225	230	235	243	254	263	270	274	256	257	213	186	184	151	151	118	101	86	87	56	22	13	0	0		
	155	158	162	168	172	176	180	183	188	191	176	175	126	113	125	122	139	116	108	100	106	80	45	22	7	0		
	112	112	113	114	116	118	120	122	125	129	115	114	76	63	57	53	49	47	45	43	41	39	47	23	17	3		
	75	74	72	71	71	71	72	74	78	80	58	51	32	27	22	20	18	17	18	19	20	20	19	13	6	3		
	47	45	44	42	41	39	35	30	25	20	16	13	11	10	9	9	9	8	7	5	5	4	2	0				
0	28	26	23	20	17	14	11	9	8	6	6	6	5	5	4	3	2	2	1	0								

5

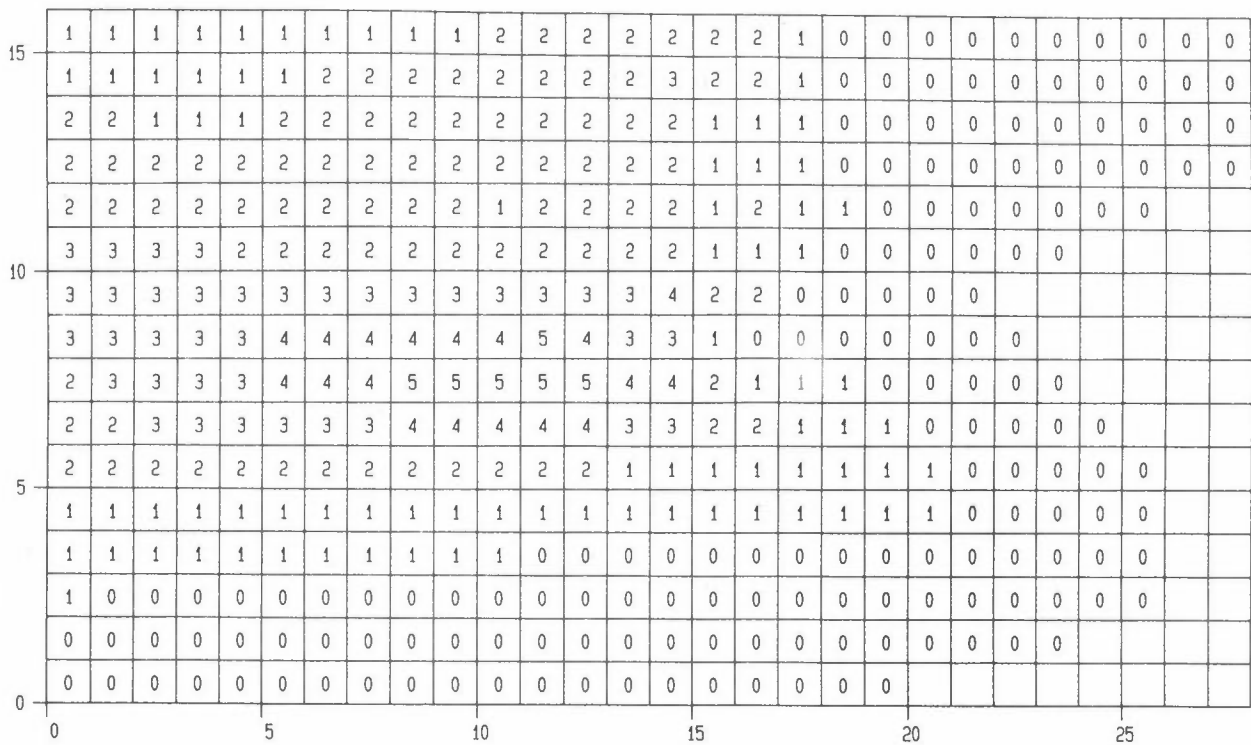
10

15

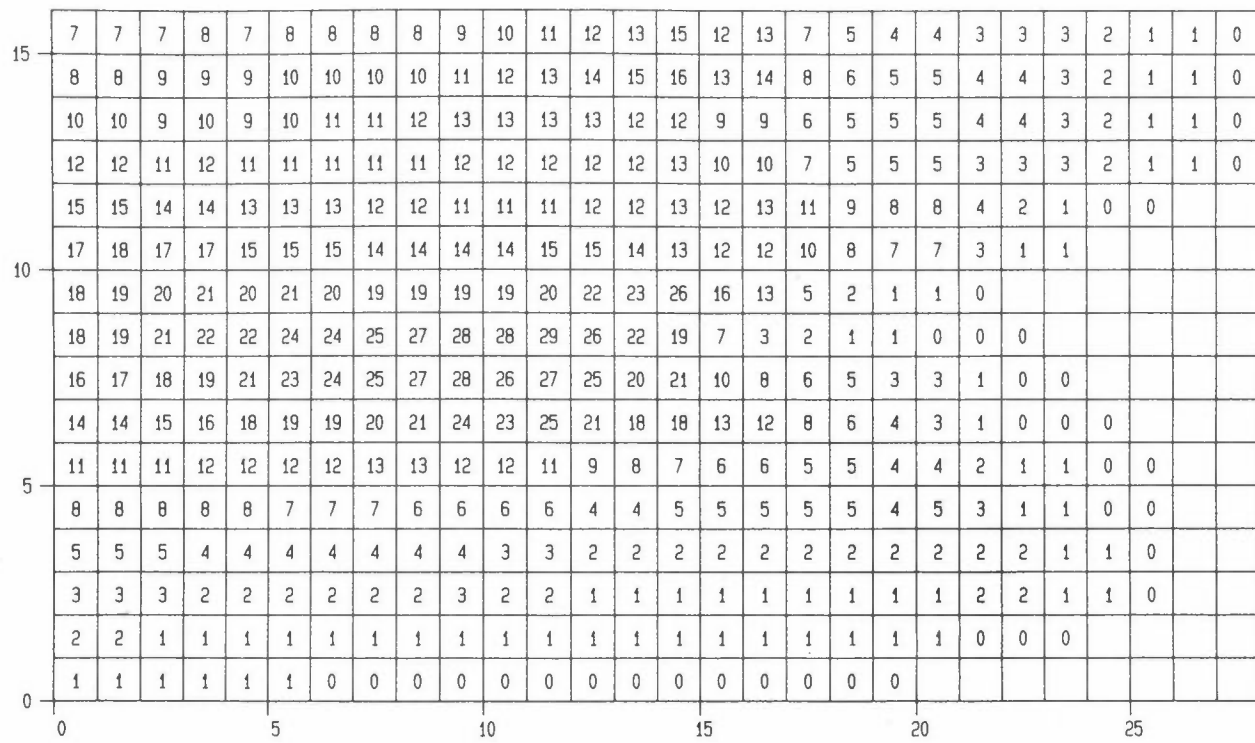
20

25

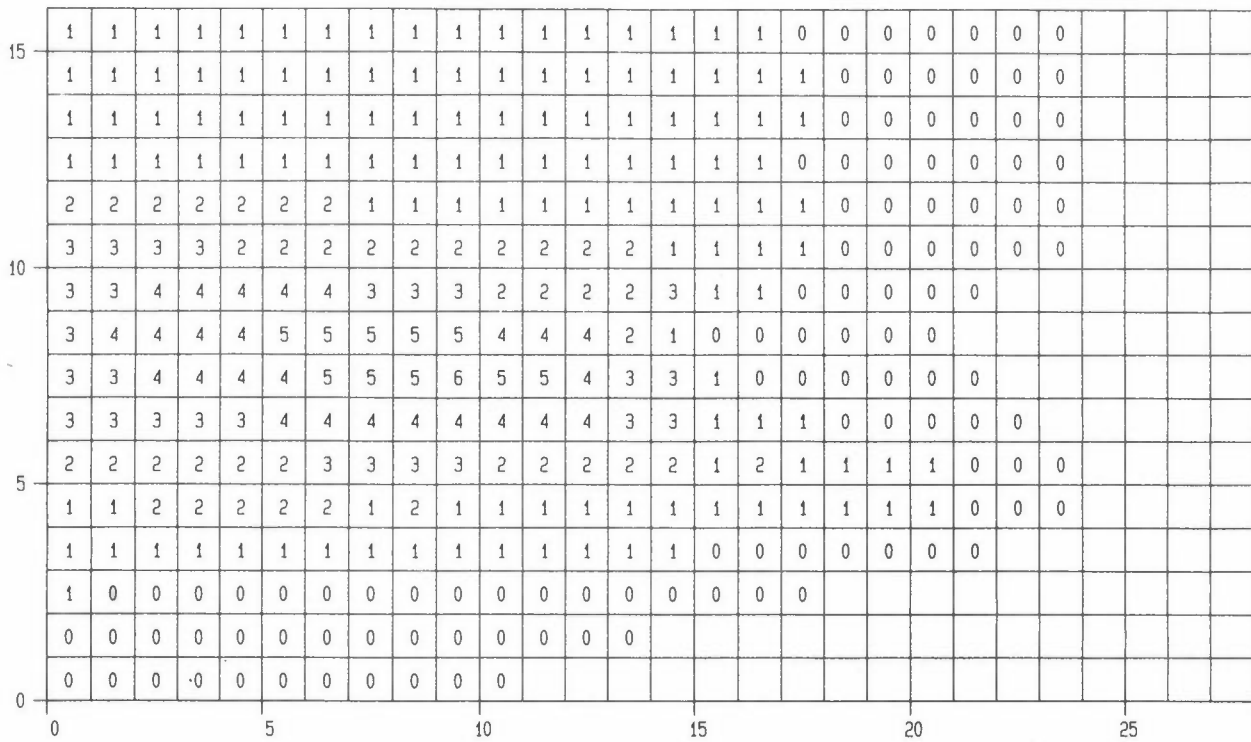
N02-CPB-04  
UG/M3



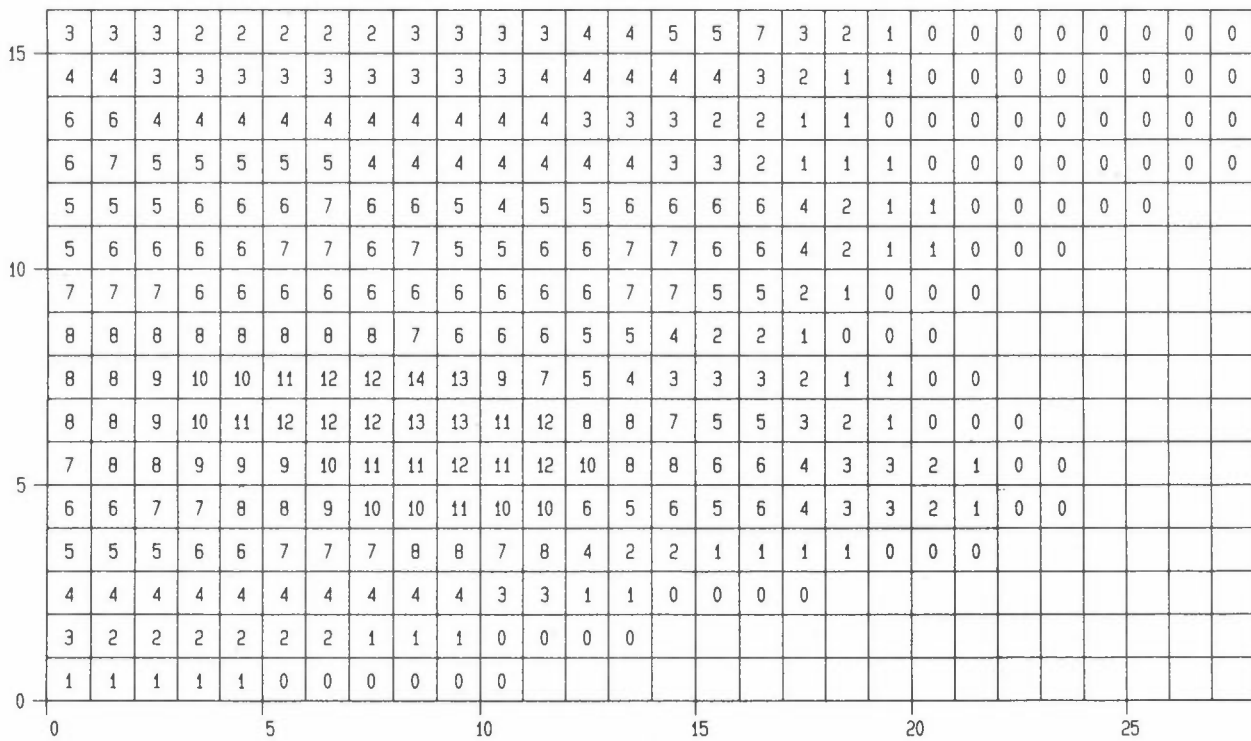
N02-CLB-04  
UG/M3



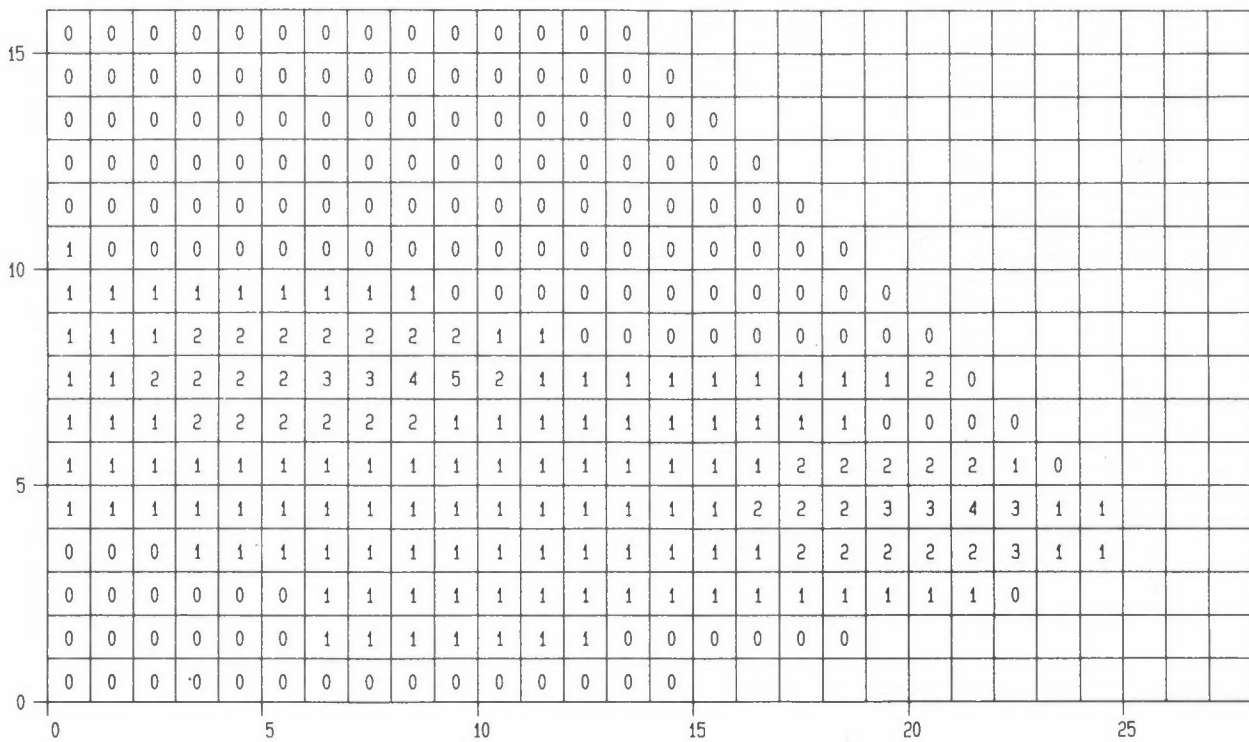
N02-CBU-04  
UG/M3



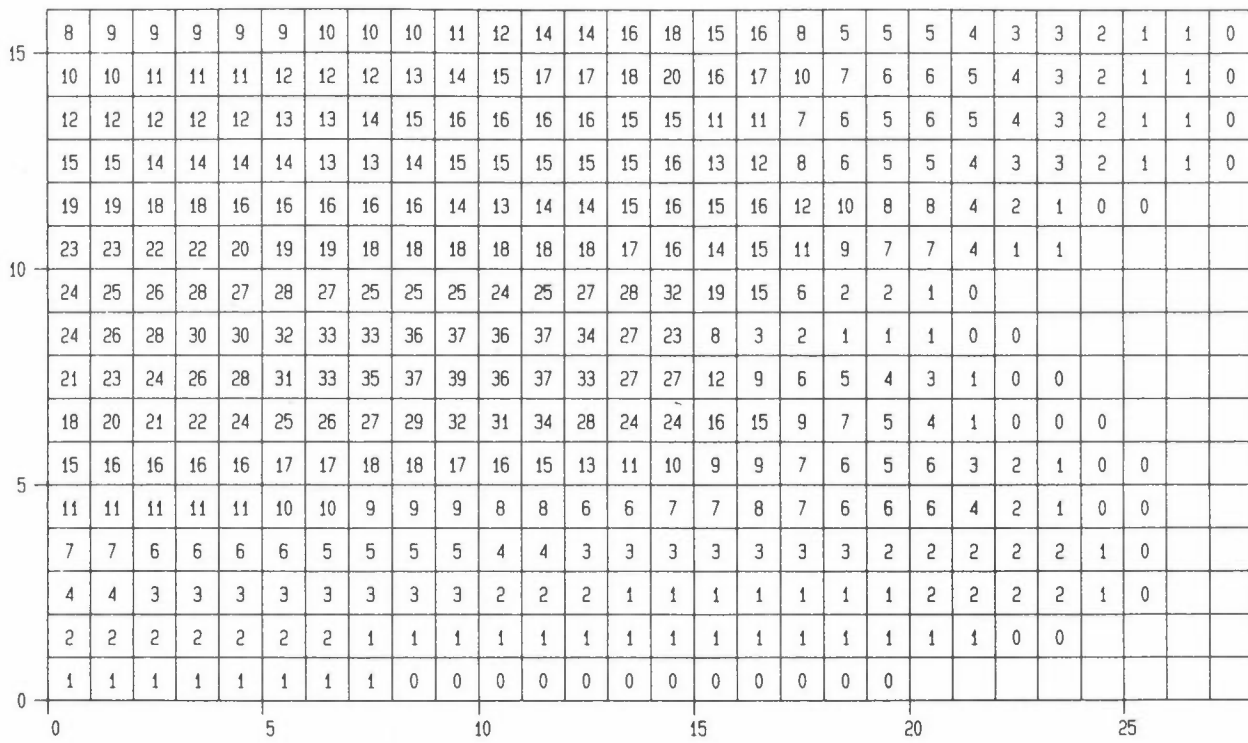
N02-CEN-04  
UG/M3



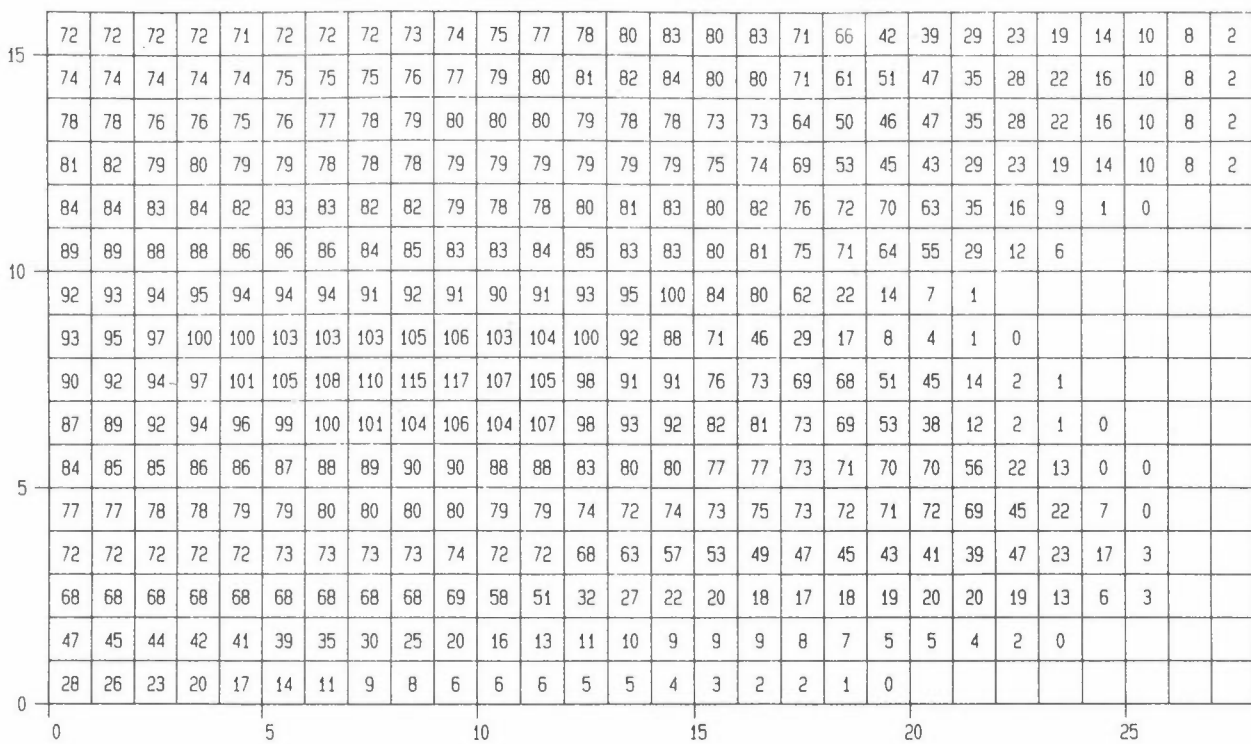
N02-CIN-04  
UG/M3



N02-CTR-04  
UG/M3



NO2-TOT-04  
UG/M3





## **VEDLEGG F**

Resultater for scenarium 4

(Trafikk og utslippsfaktorer  
for år 2000)



**INNHOLD**

	Side
<b>Utslippsfelter NO<sub>x</sub>. Enhet: g NO<sub>x</sub>/time</b>	
- Personbiler .....	144
- Lastebiler .....	144
- Busser .....	145
- Energiproduksjon .....	145
- Industri, m.m. .....	146
- Trafikk (personbiler + lastebiler + busser) .....	146
- Totalt (trafikk + energiproduksjon + industri m.m) .....	147
<b>Konsentrasjonsfelter NO<sub>x</sub>. Vind: 280°, 1 m/s. Enhet: µg NO<sub>x</sub>/m<sup>3</sup></b>	
- Personbiler .....	148
- Lastebiler .....	148
- Busser .....	149
- Energiproduksjon .....	149
- Industri, m.m. .....	150
- Trafikk (personbiler + lastebiler + busser) .....	150
- Totalt (trafikk + energiproduksjon + industri m.m) .....	151
<b>Konsentrasjonsfelter NO<sub>2</sub>. Vind: 280°, 1 m/s. Enhet: µg NO<sub>2</sub>/m<sup>3</sup></b>	
- Personbiler .....	152
- Lastebiler .....	152
- Busser .....	153
- Energiproduksjon .....	153
- Industri, m.m. .....	154
- Trafikk (personbiler + lastebiler + busser) .....	154
- Totalt (trafikk + energiproduksjon + industri m.m) .....	155
<b>Konsentrasjonsfelter NO<sub>x</sub>. Vind: 100°, 1/2 m/s. Enhet: µg NO<sub>x</sub>/m<sup>3</sup></b>	
- Personbiler .....	156
- Lastebiler .....	156
- Busser .....	157
- Energiproduksjon .....	157
- Industri, m.m. .....	158
- Trafikk (personbiler + lastebiler + busser) .....	158
- Totalt (trafikk + energiproduksjon + industri m.m) .....	159
<b>Konsentrasjonsfelter NO<sub>2</sub>. Vind: 100°, 1/2 m/s. Enhet: µg NO<sub>2</sub>/m<sup>3</sup></b>	
- Personbiler .....	160
- Lastebiler .....	160
- Busser .....	161
- Energiproduksjon .....	161
- Industri, m.m. .....	162
- Trafikk (personbiler + lastebiler + busser) .....	162
- Totalt (trafikk + energiproduksjon + industri m.m) .....	163

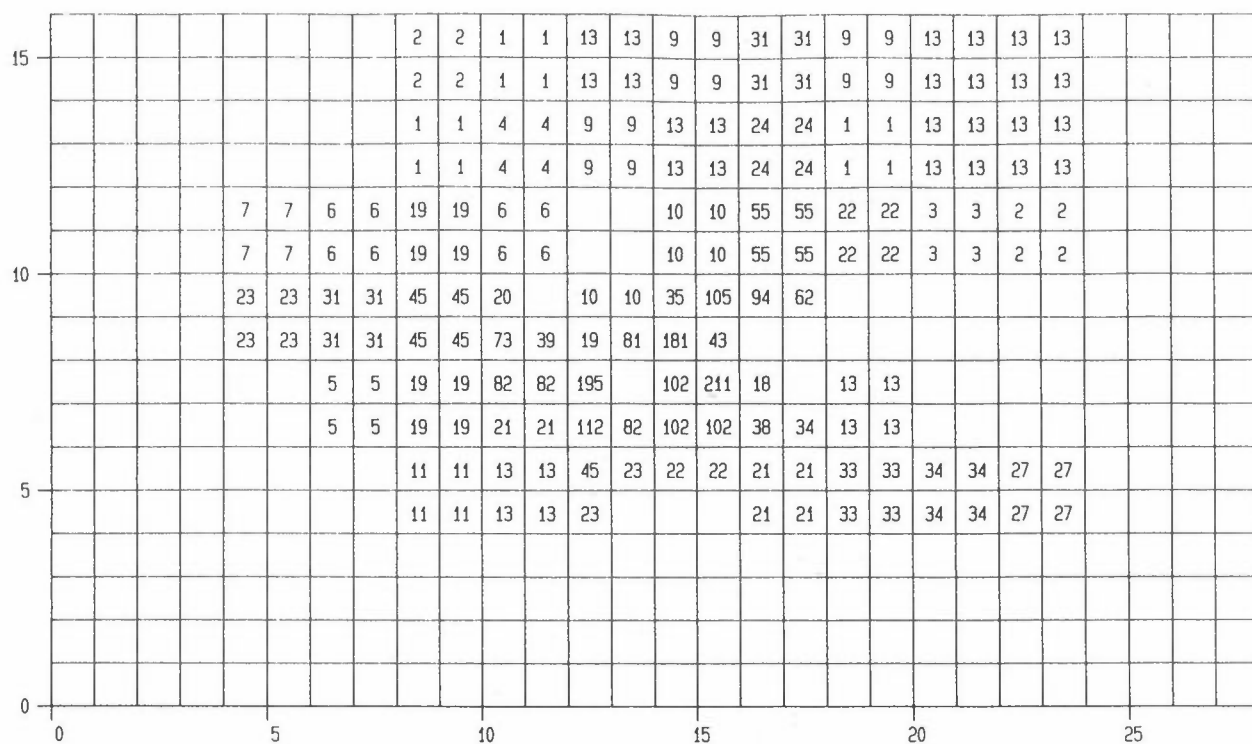
NOX-QPB-05

G/TIME

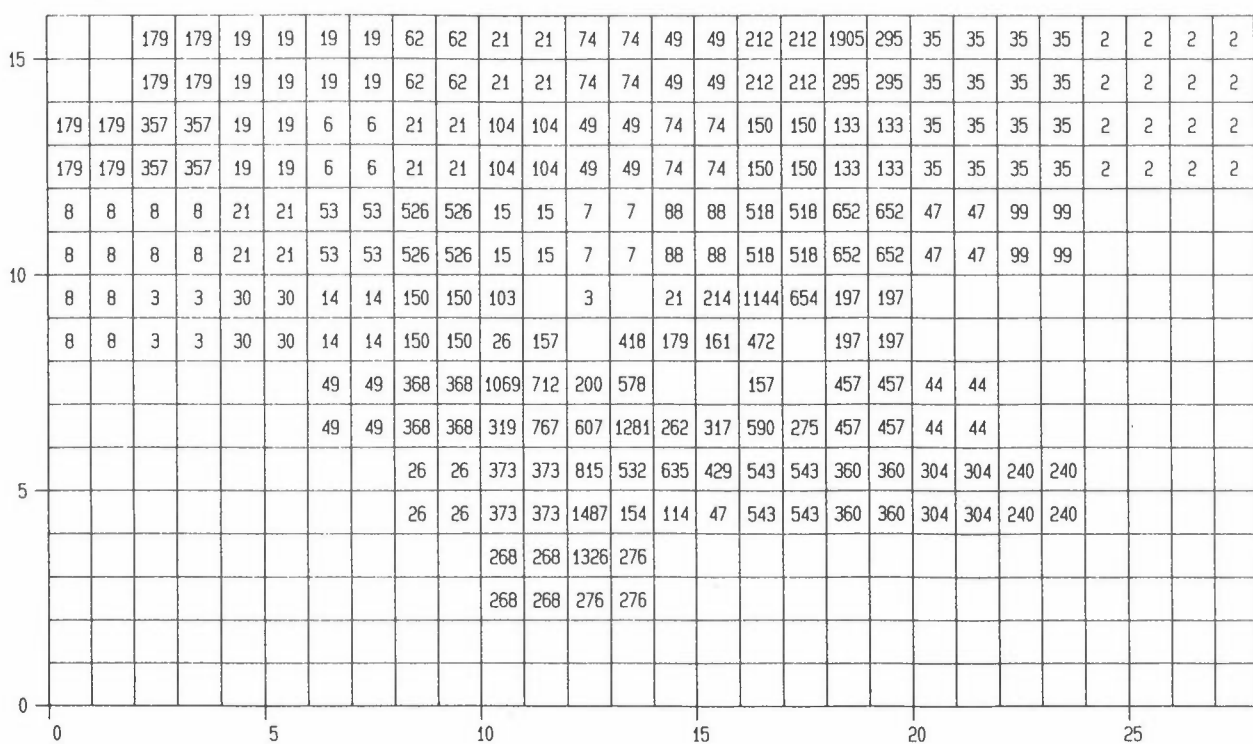
NOX-QLB-05

G/TIME

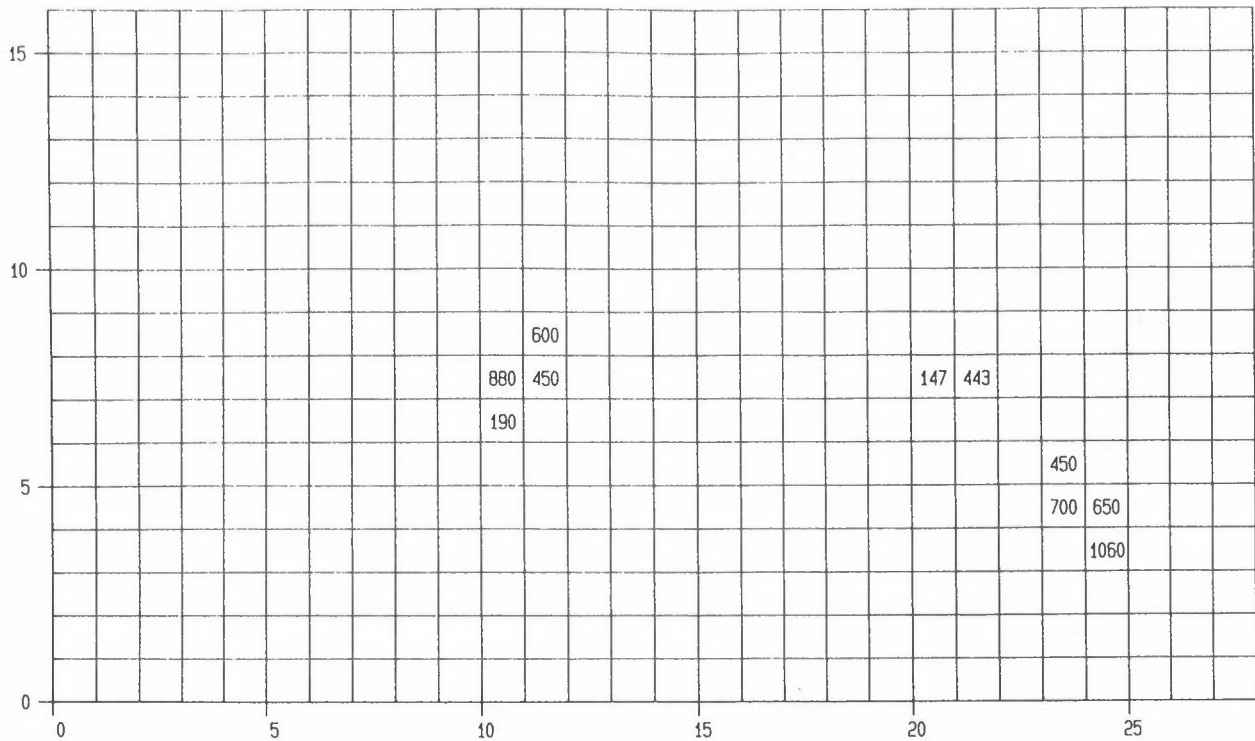
NOX-QBU-05  
G/TIME



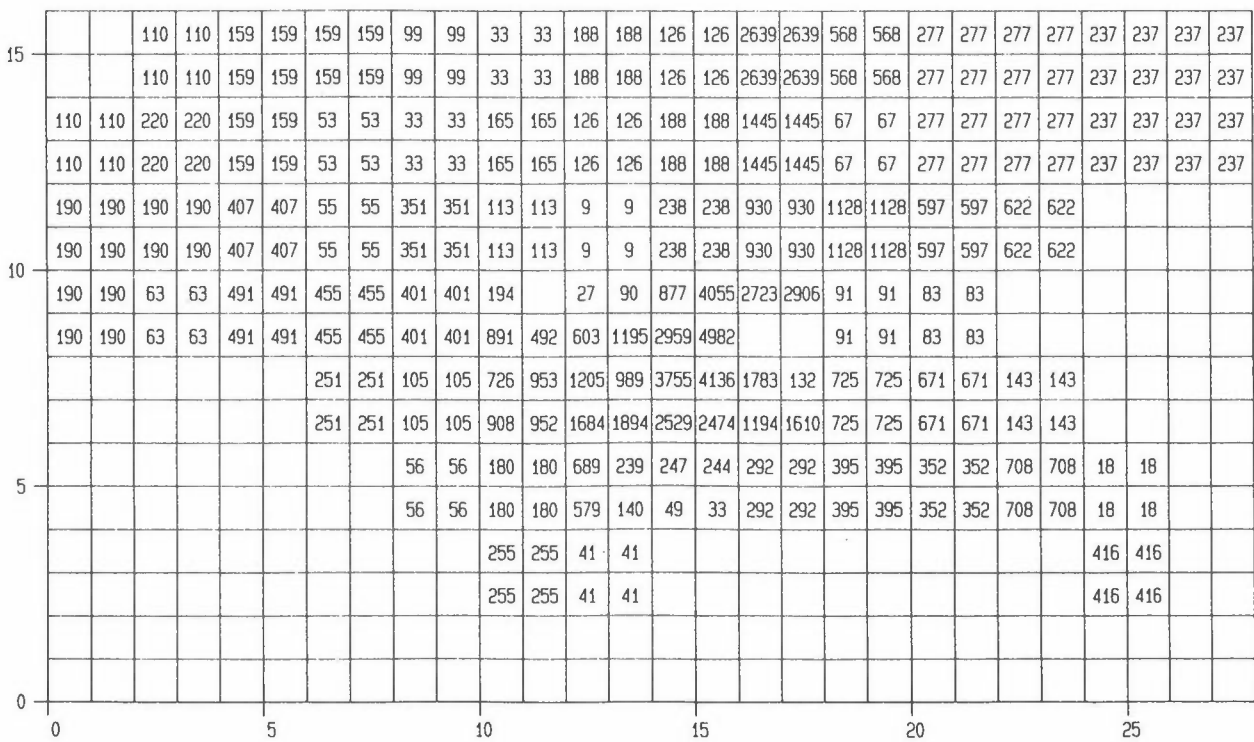
NOX-QEN-05  
G/TIME



NOX-QIN-05  
G/TIME

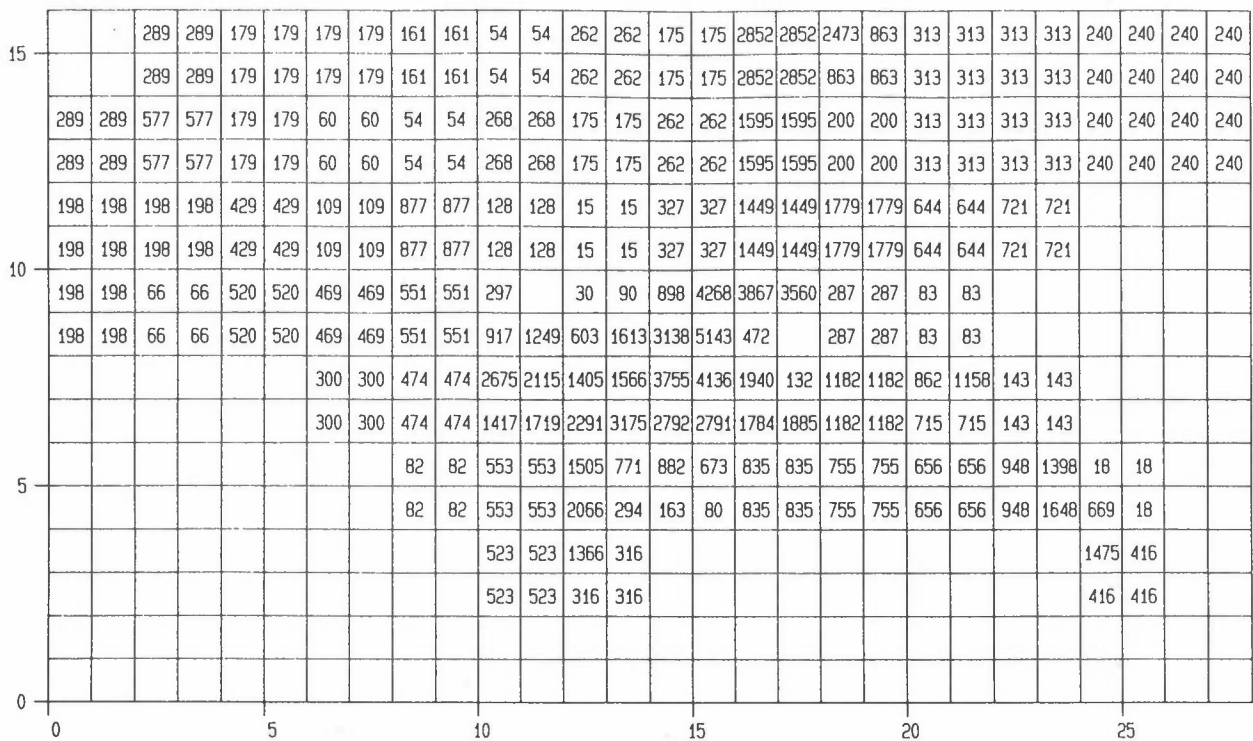


NOX-QTR-05  
G/TIME



NOX-QTA-05

G/TIME



NOX-CP8-05  
UG/M3

NOX-CLB-05  
UG/M3

NOX-CBU-05  
UG/M3

					0	0	0	0	0	0	0	1	1	1	1	2	2	2	2	2	2	2	1	1
					0	0	0	0	0	0	0	1	1	1	2	2	2	2	2	2	2	2	2	2
					0	0	0	0	0	0	0	1	1	1	2	2	2	2	2	2	2	3	2	2
					0	0	0	0	0	0	1	1	1	1	2	2	2	2	2	2	2	3	2	2
					0	0	0	0	0	0	1	1	1	1	2	2	2	2	3	3	3	3	3	3
					0	0	0	0	0	0	1	1	1	1	2	3	3	4	4	4	3	3	3	3
					0	0	0	1	1	1	2	2	2	2	2	4	4	5	5	5	5	5	4	4
					0	0	1	2	2	3	3	3	3	3	4	5	8	7	7	6	6	5	5	4
					0	0	1	2	2	3	4	4	5	5	6	10	9	8	7	7	7	6	6	5
					0	0	0	0	1	2	3	6	6	8	10	9	11	10	9	8	7	6	6	5
					0	0	0	1	1	1	2	3	5	8	8	9	8	8	7	7	6	6	5	5
					0	0	0	1	1	1	1	2	3	3	4	4	5	6	6	6	6	6	5	5
					0	0	1	1	1	1	1	1	1	1	2	2	2	3	4	4	5	5	5	4
					0	0	0	0	0	0	0	0	0	0	0	0	0	0	1	1	1	1	2	2
					0	0	0	0	0	0	0	0	0	0	0	0	0	0	0	0	0	0	0	1
					0	0	0	0	0	0	0	0	0	0	0	0	0	0	0	0	0	0	0	0
					0	0	0	0	0	0	0	0	0	0	0	0	0	0	0	0	0	0	0	0

NOX-CEN-05  
UG/M3

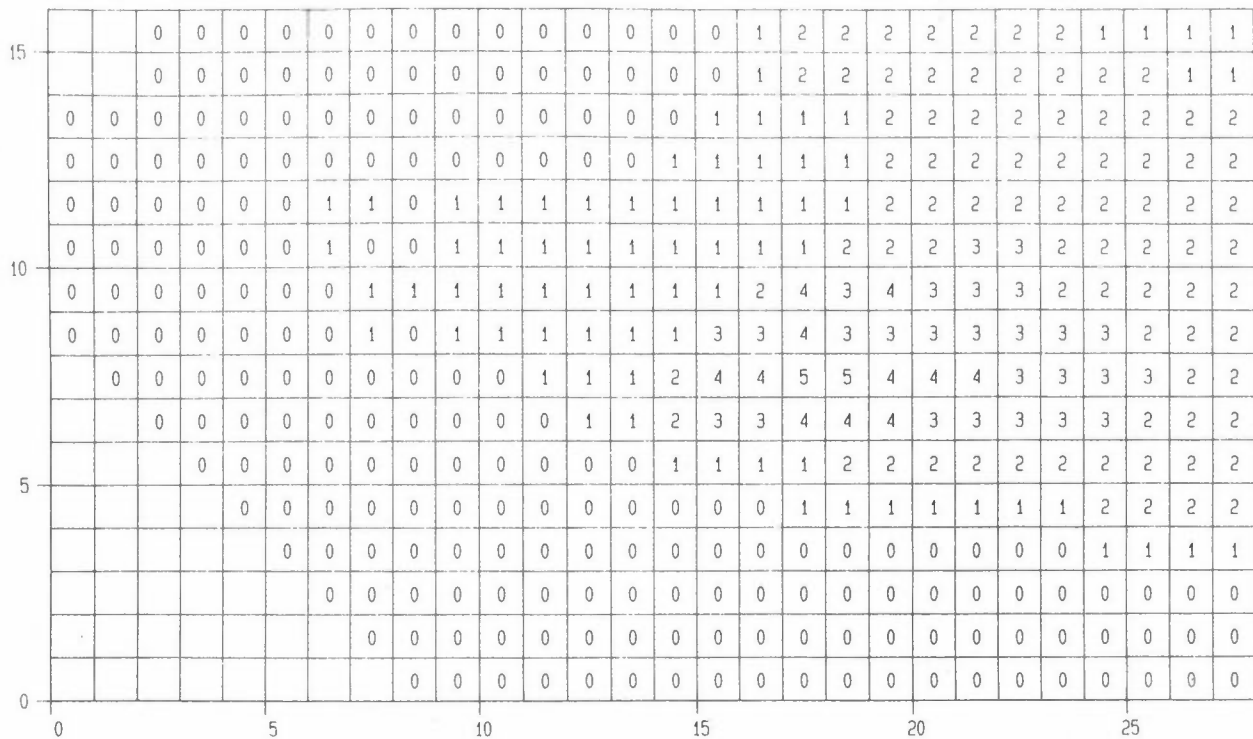
		1	2	7	6	6	6	7	8	7	8	8	9	10	10	14	26	29	49	41	32	27	24	21	19	17	
		1	3	9	10	10	10	11	11	10	10	10	10	11	12	16	17	21	25	32	31	30	28	25	22	20	
		1	2	10	11	20	17	16	14	12	11	11	10	13	12	12	14	14	18	18	20	21	23	22	22	25	
		1	2	10	11	19	17	14	12	11	10	10	12	16	16	16	17	17	20	20	23	25	28	29	28	28	
		0	0	1	1	2	4	6	8	11	23	29	25	22	19	18	18	20	30	33	41	45	49	44	42	40	
		0	0	0	0	1	1	2	3	7	19	26	23	21	19	18	18	19	30	33	45	53	59	55	51	47	
		0	0	0	0	1	1	2	2	3	6	9	10	12	12	13	15	25	50	49	53	49	48	46	43	41	
		0	0	0	0	1	1	2	2	2	6	8	9	13	19	22	32	34	40	39	40	43	46	45	43	42	
		0	0	0	0	0	0	2	4	12	24	27	49	44	40	43	41	41	44	47	51	55	52	50	48	46	
		0	0	0	0	0	0	1	4	8	25	28	43	62	63	75	70	74	73	78	72	69	64	60	53	47	
		0	0	0	0	0	0	1	4	6	26	26	44	43	44	55	55	60	61	66	61	60	56	53	47	42	
		0	0	0	0	0	0	2	4	20	22	38	37	32	29	27	26	27	28	29	30	31	32	32	31		
		0	0	0	0	0	0	2	4	13	13	15	19	18	17	16	15	14	14	13	13	14	15	16	18		
		0	0	0	0	0	0	0	0	1	2	4	5	5	6	7	7	8	8	8	8	8	8	8	9		
		0	0	0	0	0	0	0	0	0	0	0	0	0	0	1	1	2	2	2	3	4	4	5	5	5	



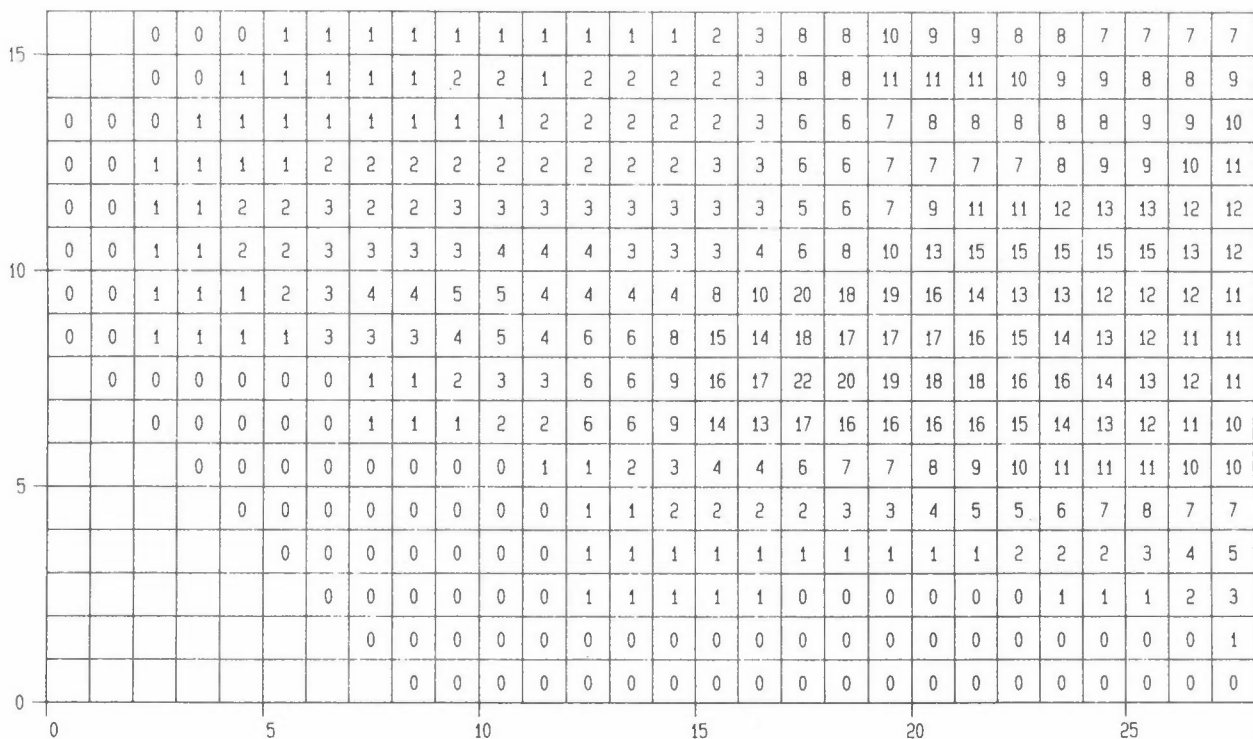
NOX-TOT-05  
UG/M3

		2	4	13	12	16	18	18	22	22	21	22	22	24	29	45	104	112	140	151	141	121	111	102	96	89	88	
15		2	5	16	17	24	27	26	30	30	27	27	27	30	35	51	112	111	145	144	151	139	131	122	115	108	106	
	2	4	15	18	33	30	32	30	27	27	28	35	33	35	42	51	86	83	105	108	115	113	115	116	119	119	122	
	2	4	16	18	34	31	33	31	30	29	30	33	42	42	43	49	56	91	87	104	103	110	112	116	121	127	132	139
	1	3	10	11	19	22	35	35	38	55	64	57	54	49	48	52	59	91	97	124	144	170	163	168	171	171	161	152
10	1	3	9	10	18	19	30	31	35	55	67	63	61	57	54	56	62	99	119	159	192	223	213	210	201	191	173	160
	1	3	9	8	13	17	34	41	41	55	60	55	56	55	62	106	134	272	250	262	226	209	195	186	178	172	167	161
	1	3	8	8	12	14	30	36	35	49	59	62	93	99	122	216	202	256	235	232	234	230	216	203	191	180	170	161
	0	0	1	2	2	5	13	18	33	57	70	140	133	161	251	249	310	288	267	263	271	244	237	216	198	179	163	
	0	0	0	0	2	9	12	24	38	47	103	119	159	242	224	274	254	259	249	254	230	219	203	191	180	169		
5		0	0	0	0	0	1	4	10	15	43	50	80	110	119	148	153	166	176	193	191	198	197	199	181	167		
		0	0	0	0	1	2	7	10	39	40	65	65	67	85	88	100	110	128	128	140	149	160	155	145			
			0	0	0	0	0	4	7	31	32	49	48	44	41	38	38	40	44	48	52	68	78	103	105			
			0	0	0	0	0	4	7	23	22	24	27	24	22	21	20	20	19	19	20	25	30	39	49			
			0	0	0	0	0	0	0	0	2	4	6	8	8	9	10	10	10	11	11	11	12	12	15			
0		.	.	.	.	.	.	.	.	.	.	.	.	.	.	.	.	.	.	.	.	.	.	.	.	.	.	
	0		.	.	.	.	.	.	.	.	.	.	.	.	.	.	.	.	.	.	.	.	.	.	.	.	.	
	0		0	0	0	0	0	0	0	0	0	0	0	0	0	1	2	3	4	4	5	5	6	6	7	7		

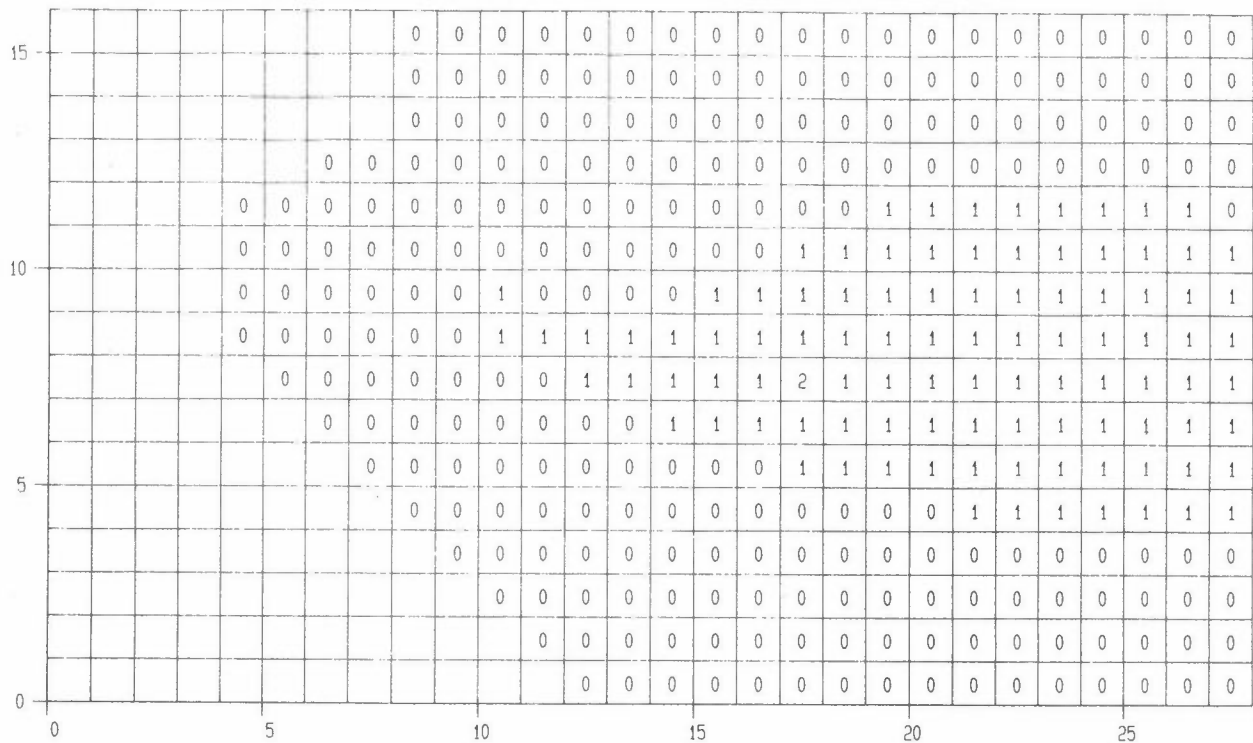
N02-CPB-05  
UG/M3



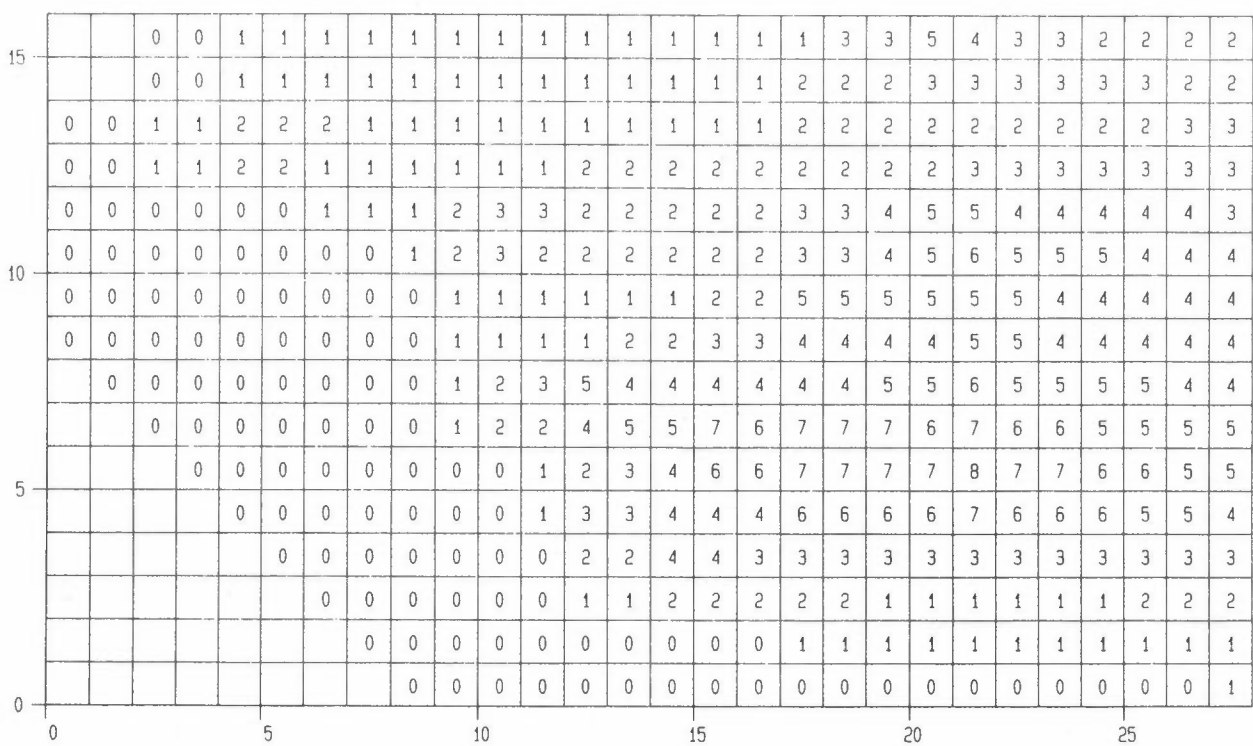
N02-CLB-05  
UG/M3



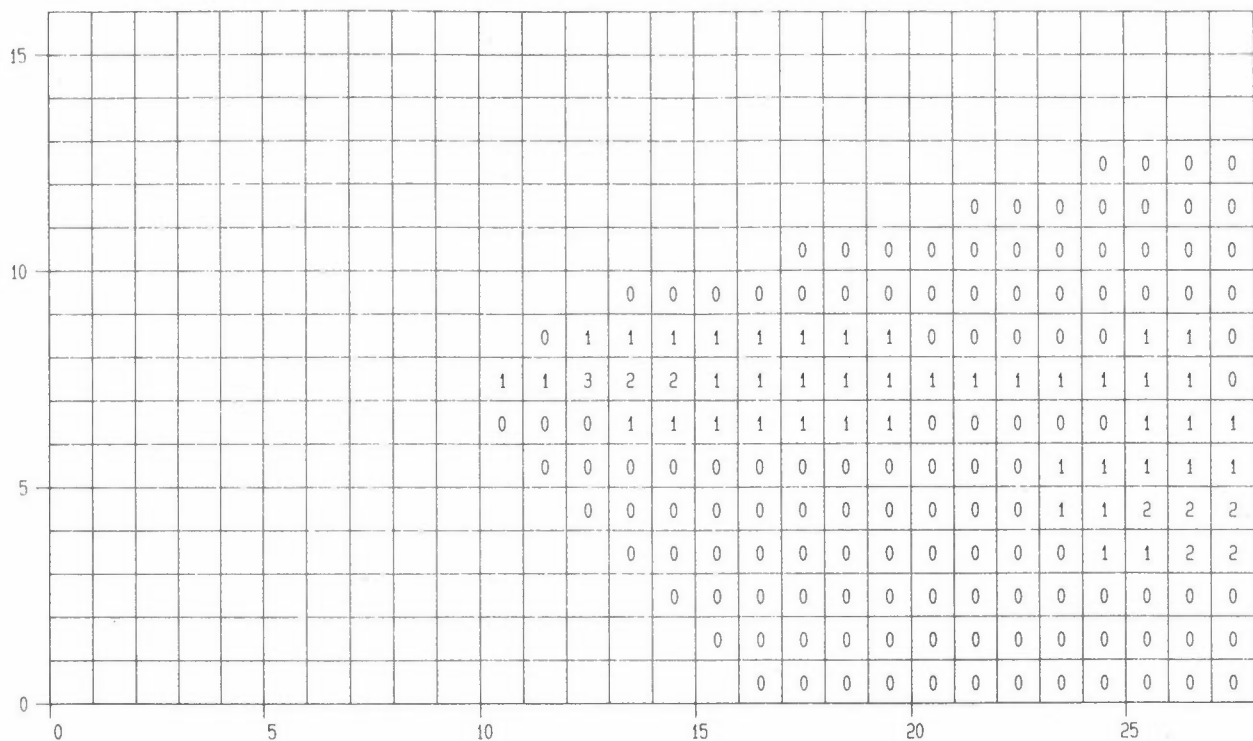
NO<sub>2</sub>-CBU-05  
UG/M3



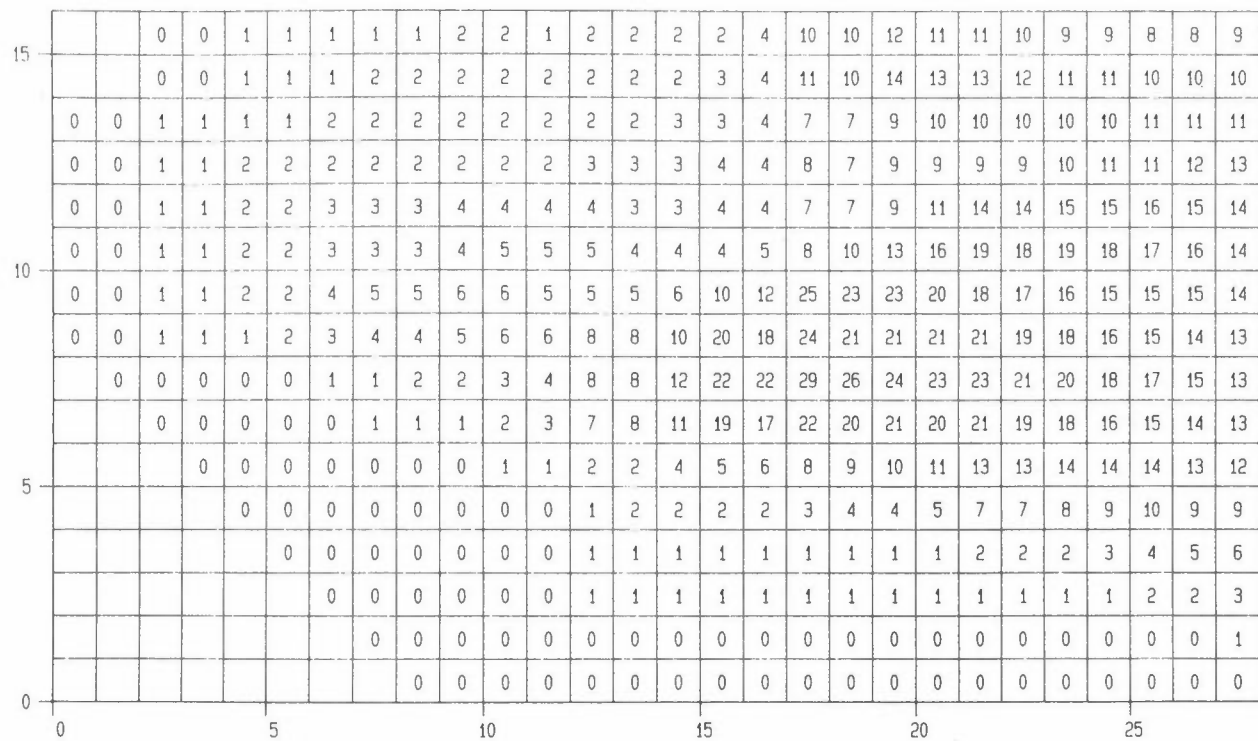
NO<sub>2</sub>-CEN-05  
UG/M3



N02-CIN-05  
UG/M3

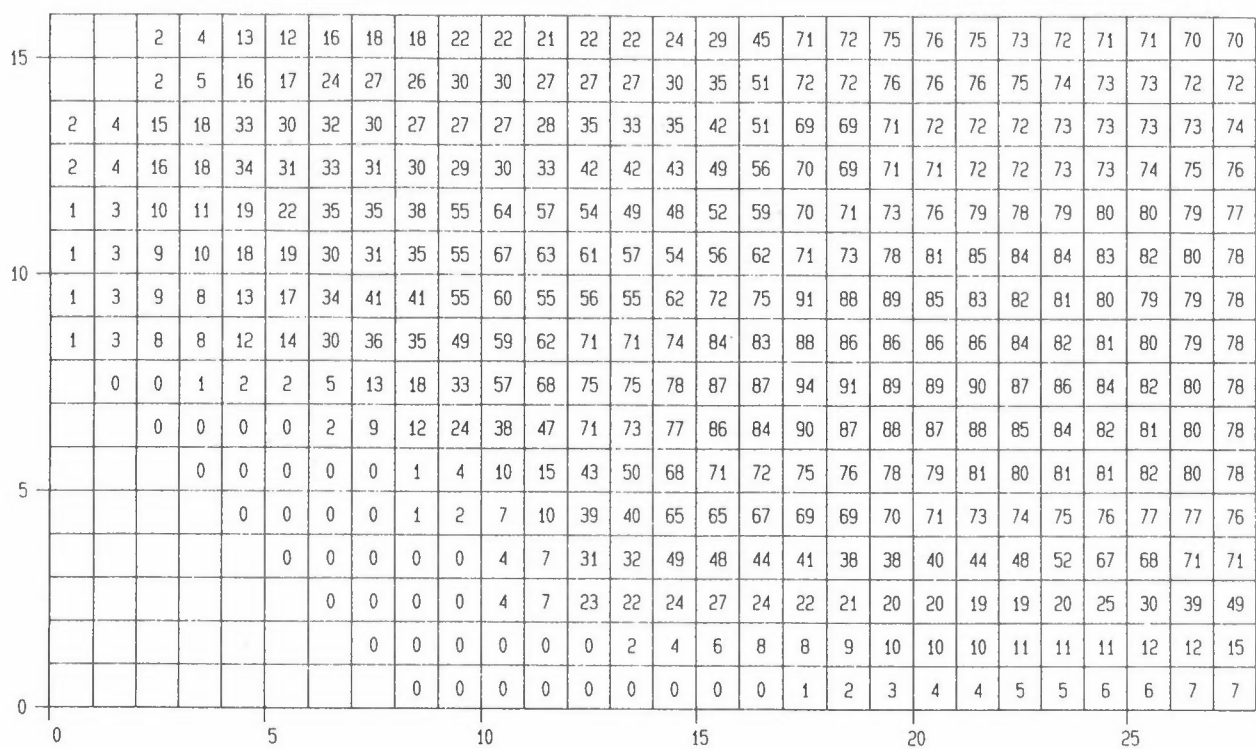


N02-CTR-05  
UG/M3



NO2-TOT-05

UG/M3



NOX-CPB-05  
UG/M3

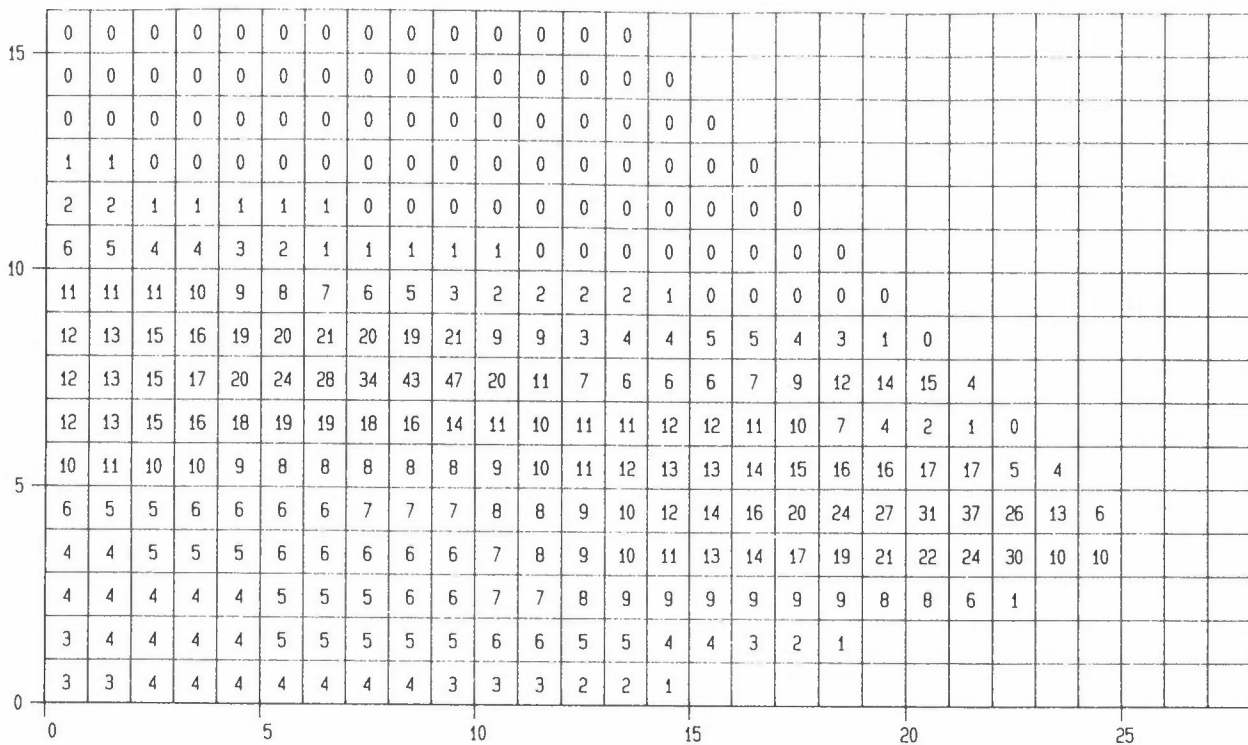
31	33	33	34	33	35	35	35	38	41	46	51	55	61	71	56	60	25	12	10	9	5	2	2	1	0	0
36	38	38	40	40	42	44	45	48	51	57	63	66	71	78	60	63	27	14	11	10	5	3	2	1	0	0
45	46	42	43	42	45	47	50	54	56	56	58	56	55	53	38	36	17	11	10	10	5	3	2	1	0	0
53	54	50	51	49	48	47	46	48	50	49	49	48	49	52	39	37	17	10	9	9	5	2	2	1	0	0
65	64	62	62	55	54	53	51	51	46	43	44	45	47	49	41	44	28	16	11	6	3	1	1	0	0	0
77	78	76	75	67	64	62	58	59	57	56	58	57	52	50	39	42	25	14	9	5	3	1	1			
81	84	87	91	89	91	90	84	84	81	80	82	86	90	103	62	49	14	2	1	1	0					
79	85	91	99	100	107	112	113	123	128	126	131	121	98	87	28	7	5	3	1	0	0	0				
71	76	81	88	96	106	114	121	131	141	138	145	136	107	110	45	30	21	18	12	11	4	1	0			
63	67	73	78	85	91	96	101	111	121	121	130	110	91	92	56	50	31	22	16	13	4	1	0	0		
54	56	58	59	61	64	66	68	68	67	62	61	50	41	39	32	31	25	21	18	18	10	5	2	0	0	
40	41	41	41	40	39	38	37	36	34	30	30	24	23	25	24	27	23	21	19	20	12	6	3	0	0	
27	26	24	24	23	22	21	20	20	20	15	14	12	12	11	10	9	9	8	7	6	6	7	5	2	1	
15	14	13	13	12	12	12	12	13	14	9	8	5	5	4	3	3	3	3	4	5	5	7	5	2	1	
8	8	8	7	7	7	6	5	4	3	3	2	2	2	2	2	2	2	2	2	2	2	2	1	0		
5	5	4	4	3	2	2	2	1	1	1	1	1	1	1	1	1	1	1	0	0						

NOX-CLB-05  
UG/M3

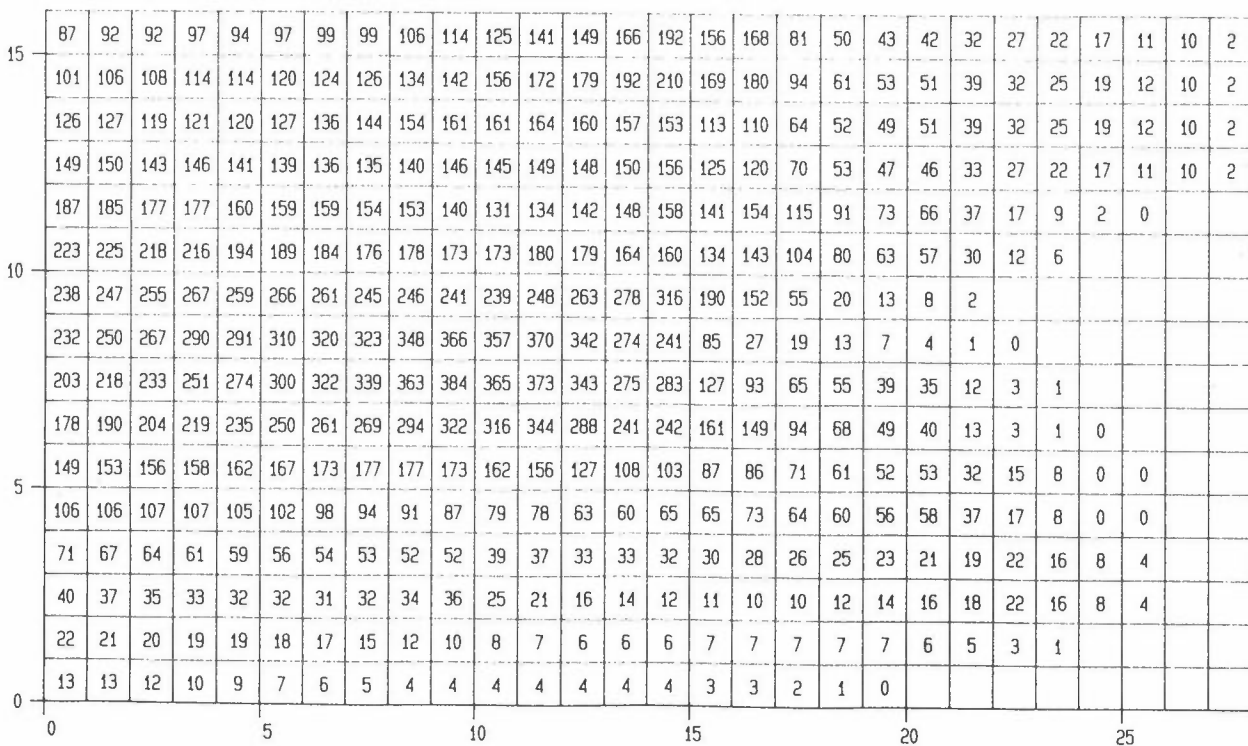
NOX-CBU-05  
UG/M3

NOX-CEN-05  
UG/M3

NOX-CIN-05  
UG/M3



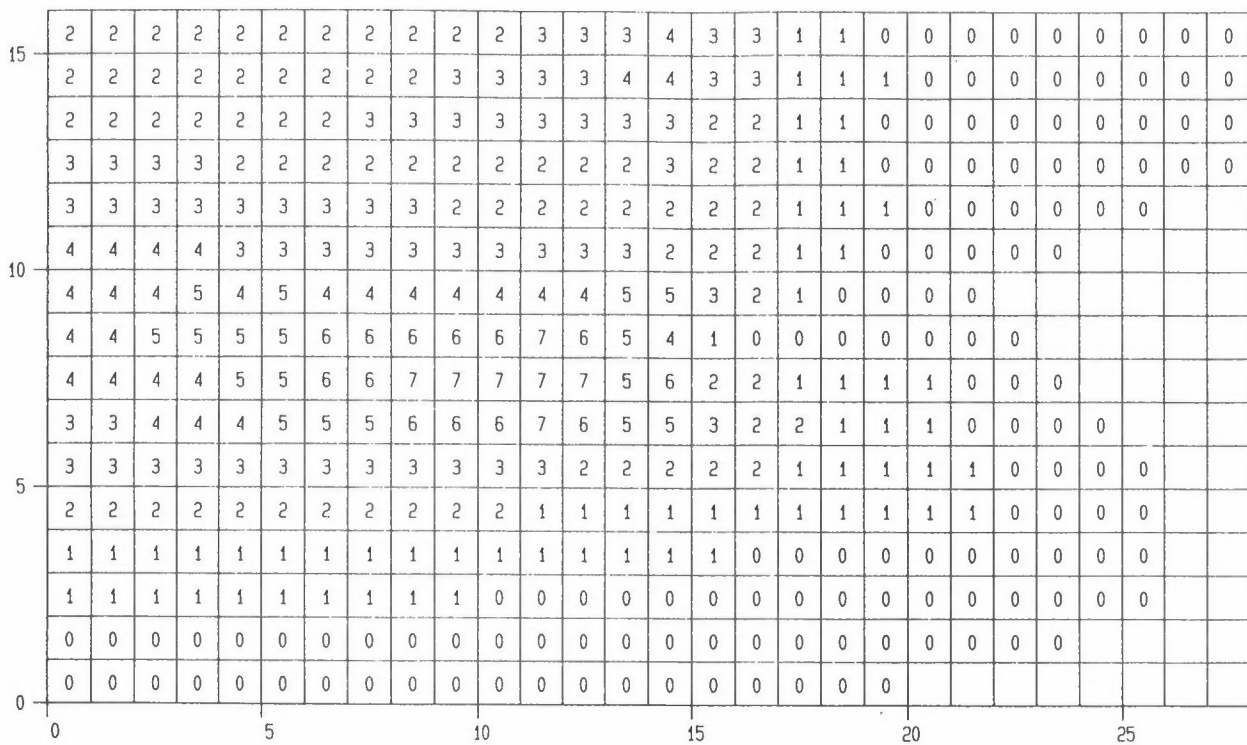
NOX-CTR-05  
UG/M3



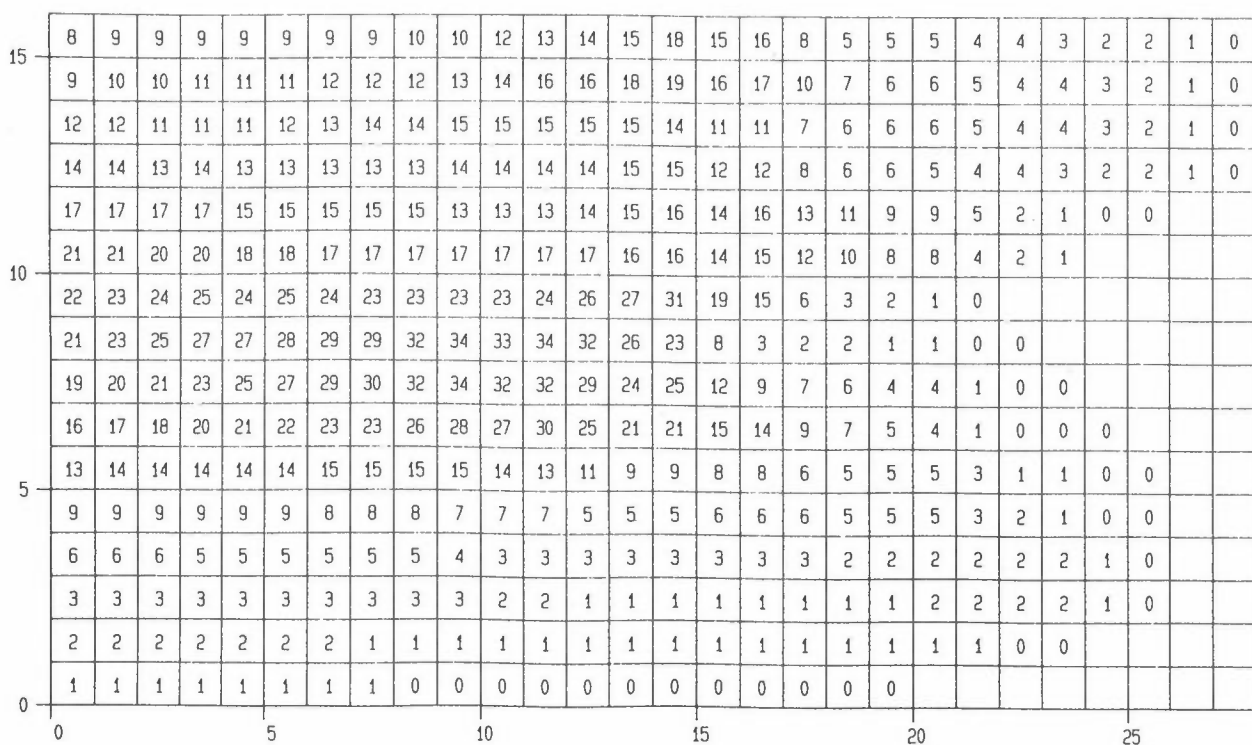
NOX-TOT-05

UG/M3

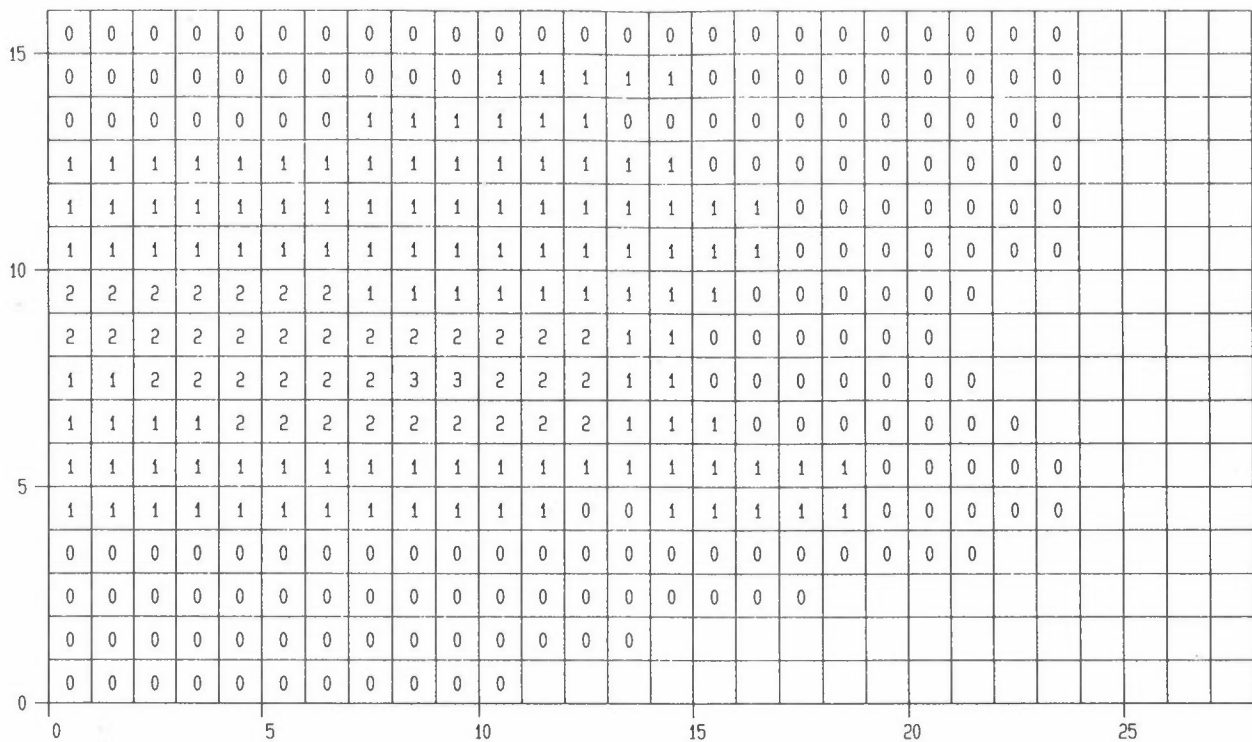
N02-CPB-05  
UG/M3



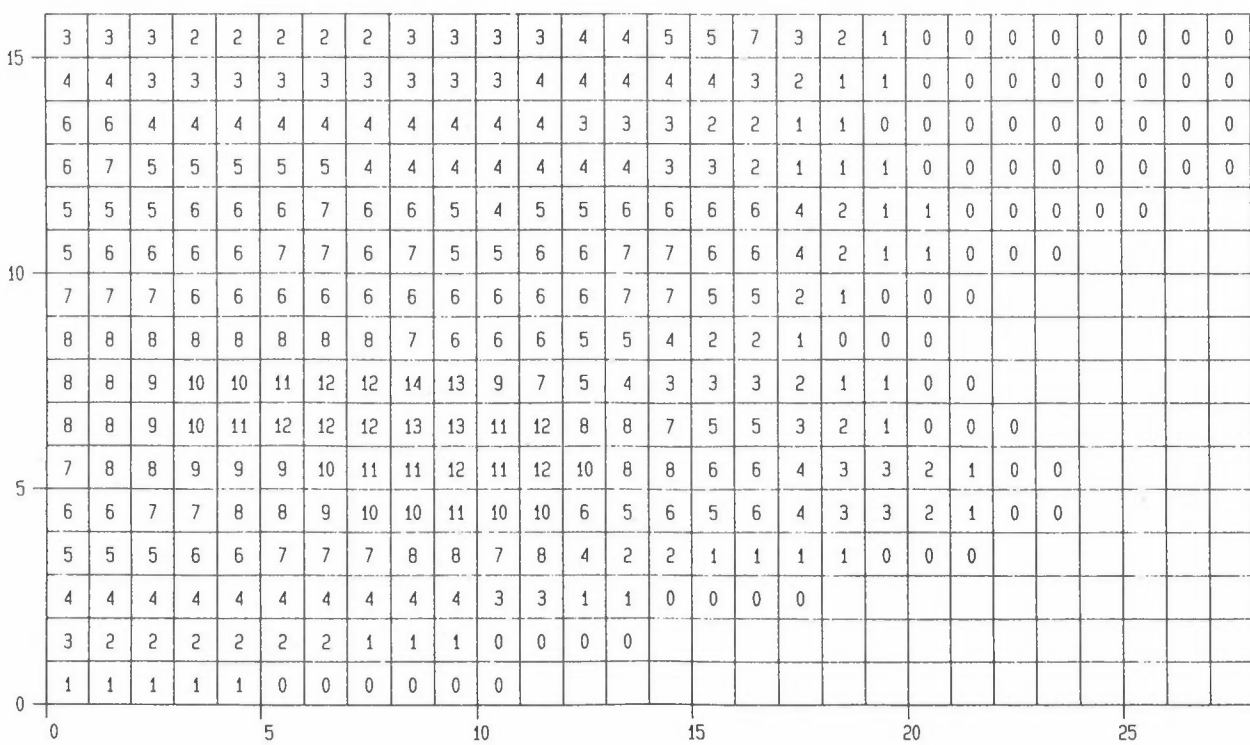
N02-CLB-05  
UG/M3



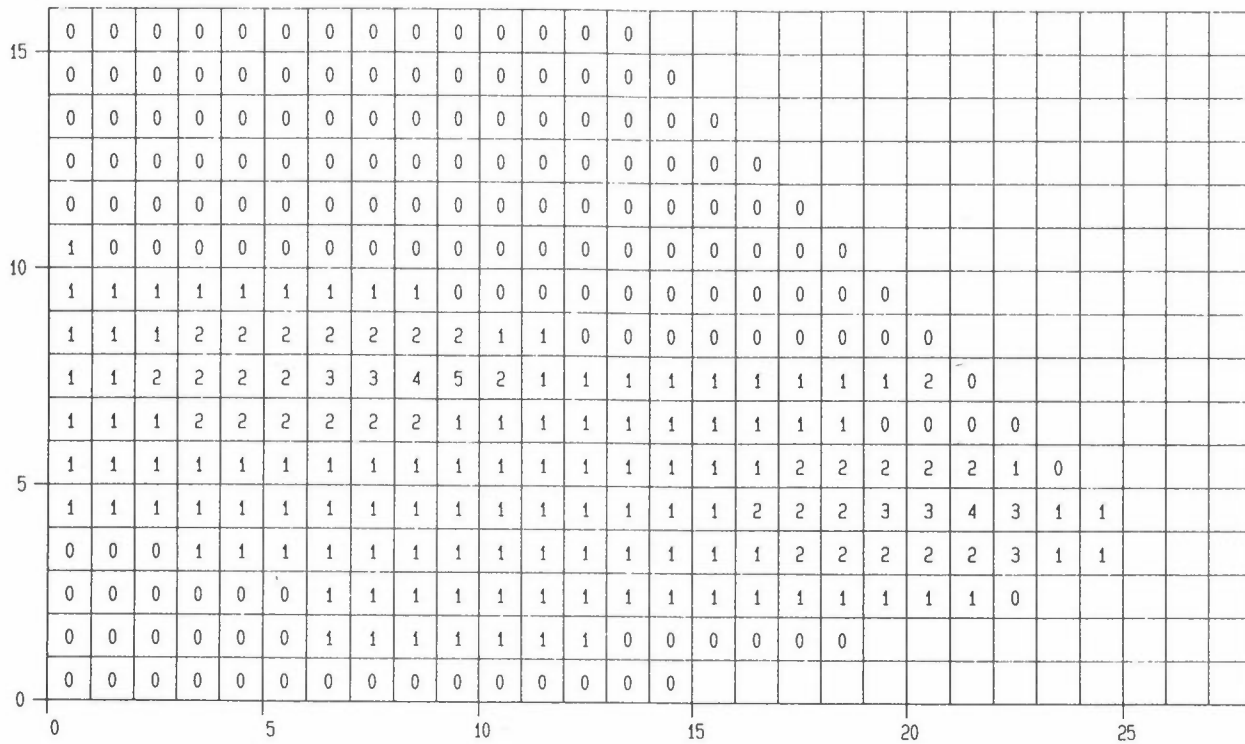
N02-CBU-05  
UG/M3



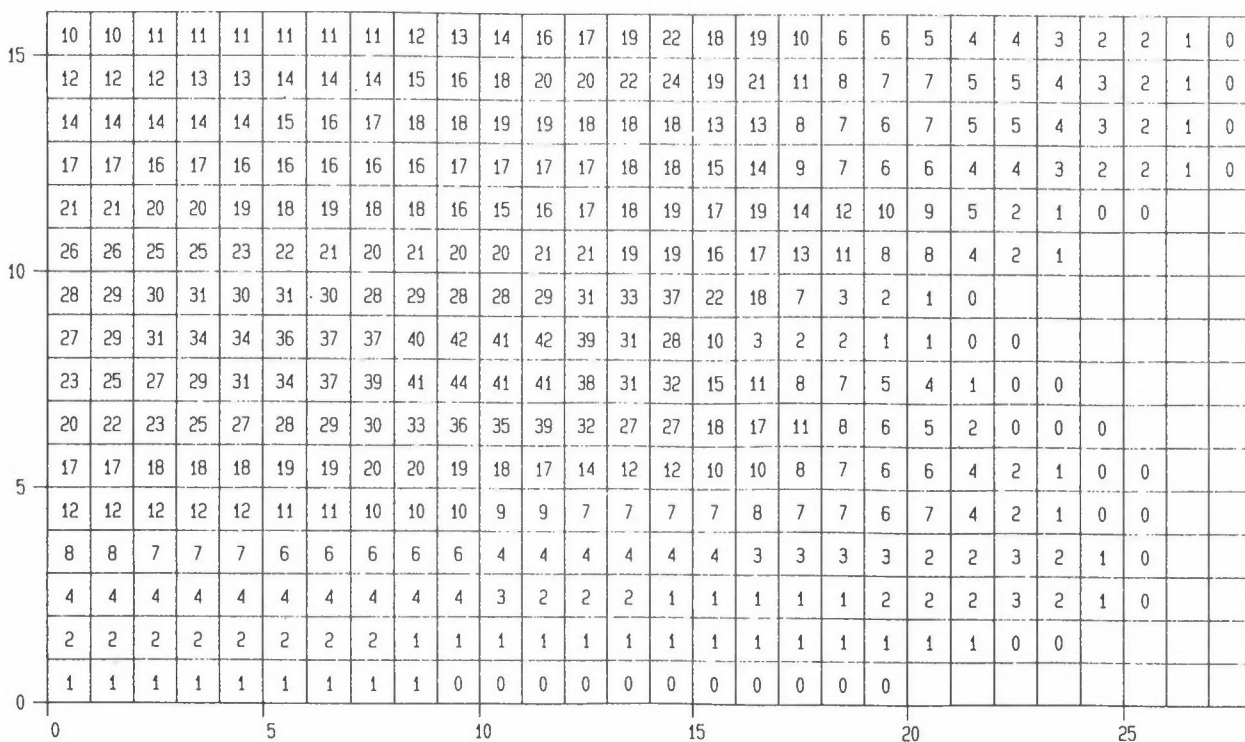
N02-CEN-05  
UG/M3



N02-CIN-05  
UG/M3



N02-CTR-05  
UG/M3



N02-TOT-05  
UG/M3

	73	74	73	73	73	73	74	74	75	76	77	79	80	83	86	83	86	73	69	49	46	34	28	23	17	12	10	2	
15	75	76	76	76	76	77	77	78	79	80	81	83	84	86	88	83	84	73	69	60	55	41	33	26	19	12	10	2	
	80	80	78	78	77	78	80	81	82	83	82	82	81	81	80	75	75	69	58	53	55	41	33	26	19	12	10	2	
	84	84	82	82	81	81	80	80	81	81	82	81	81	82	77	77	70	61	53	50	35	28	23	17	11	10	2		
	87	87	86	86	85	85	85	84	84	81	80	80	82	83	85	83	85	78	74	71	70	41	19	10	2	0			
10	92	92	91	91	89	89	89	87	87	86	86	87	87	86	86	82	83	77	72	70	65	34	14	7					
	95	97	97	99	97	98	97	95	95	94	94	95	97	99	105	87	83	69	25	16	8	2							
	96	98	101	104	104	106	107	107	109	111	108	109	105	96	92	73	51	32	20	9	4	1	0						
	92	95	97	100	104	108	112	115	119	121	112	110	103	95	95	78	75	71	69	59	52	17	3	1					
	89	91	94	96	99	102	104	104	108	110	108	112	102	96	95	85	84	75	70	62	46	15	3	1	0				
5	86	86	87	87	88	89	90	91	92	92	90	90	85	82	81	78	78	74	72	70	70	61	24	14	0	0			
	79	79	79	80	80	80	81	81	81	80	80	74	73	74	74	76	73	73	72	72	69	48	23	7	0				
	73	73	73	73	73	73	74	74	74	74	73	72	69	67	62	57	54	51	49	47	45	43	52	26	18	4			
	69	68	68	68	68	68	68	68	69	69	62	55	35	29	24	22	20	19	20	22	23	24	23	16	8	4			
	51	49	47	45	44	42	38	33	27	21	17	14	12	11	10	11	10	9	8	7	6	5	3	1	1				
0	30	28	25	22	18	15	12	10	9	7	6	7	6	5	5	3	3	2	1	0									
	0	5	10	15	20	25	30	35	40	45	50	55	60	65	70	75	80	85	90	95	100	105	110	115	120	125	130	135	140



**VEDLEGG G**

Målinger i Sundsvall



## 1 INNLEDNING

Resultater fra målingene av NO, NO<sub>2</sub> og O<sub>3</sub> i Sundsvall sentrum er studert inngående sammen med resultater fra meteorologiske målinger, for å definere de meteorologiske situasjoner som gir høye forurensningsnivåer. Det er disse situasjonene vi søker å simulere gjennom beregninger med spredningsmodellen.

## 2 MÅLINGER MED KJEMILUMINESCENS-INSTRUMENT PÅ STADSHUSET, 1986-89

Kontinuerlige målinger av NO<sub>x</sub> og NO<sub>2</sub> er foretatt i 13 meters høyde på Stadshuset i Sundsvall sentrum i flere år. Vi har hatt tilgang på data for perioden desember 1986-oktober 1989. Målepunktet er lite påvirket av trafikk innenfor en avstand på ca. 100 meter.

Disse målingene har vist tidvis svært høye NO<sub>x</sub>- og NO<sub>2</sub>-verdier. Figur G1-G6 viser NO<sub>x</sub>- og NO<sub>2</sub>-verdier for endel utvalgte dager med høyt forurensningsnivå. Figurene gir også vind- og temperatur-data fra målinger i 30 meters høyde i sentrum. Disse eksemplene representerer noen av de mest forurensede dagene i Sundsvall i den perioden vi har sett på.

Høy forurensning opptrer i Sundsvall ved svak vind fra vest. Figur G1-G3 gir eksempler på slike dager.

De høyeste konsentrasjonene måles imidlertid i situasjoner der svak vestlig vind på dagtid snur til svak østlig vind (stagnasjons-situasjon). Figur G4-G6 gir eksempler på slike situasjoner.

Figurene viser at vedvarende svak vestlig vind typisk gir et NO<sub>x</sub>-nivå om dagen i Sundsvall sentrum på 400-600 µg/m<sup>3</sup>, og et NO<sub>2</sub>-nivå på 100-200 µg/m<sup>3</sup>, målt med kjemiluminescens-instrumentet på Stadshuset.

I land-sjøbris-situasjonen med svak vind kan  $\text{NO}_x$ -nivået bli så høyt som 600-1 200  $\mu\text{g}/\text{m}^3$  og  $\text{NO}_2$ -nivået kan bli opp mot 200  $\mu\text{g}/\text{m}^3$ .

Figurene inkluderer ikke dager i oktober 1989, da det ble målt enda høyere  $\text{NO}_2$ -verdier. Disse er ikke vist, fordi vi ikke hadde tilgang på samtidige vindmålinger.

De høyeste  $\text{NO}_2$ -verdiene var 307  $\mu\text{g}/\text{m}^3$  (26.10.89 kl 07) og 295  $\mu\text{g}/\text{m}^3$  (16.10.89 kl 17). Ved disse tilfellene var  $\text{NO}_x$ -nivået 700-750  $\mu\text{g}/\text{m}^3$ . Dette gir en  $\text{NO}_2$ -andel av  $\text{NO}_x$  på vel 40%. Dette er svært høyt for et så høyt  $\text{NO}_x$ -nivå.

I spredningsberegningene har vi søkt å simulere disse to meteologiske situasjonene som, ifølge målingene, kan gi høyt forurensningsnivå:

- svak vestlig vind
- stagnasjons-situasjonen

### 3 MÅLINGER MED DOAS-INSTRUMENT I SENTRUM, 1990

I januar 1990 ble et DOAS-instrument montert på taket av Stads-huset. I Sundsvall er instrumentet montert slik at det mäter gjennomsnittlig forurensning langs to "løyper" (se figur 1):

- Måleløype 1: mot nordøst, lengde ca. 450 m
- Måleløype 2: mot sør, lengde ca. 150 m

Figur G7-G11 viser, for hver uke i perioden 1.-31. januar 1990, målt NO og  $\text{NO}_2$  langs løype 1 og  $\text{NO}_2$  og ozon ( $\text{O}_3$ ) langs løype 2.

Også disse målingene viser  $\text{NO}_x$ -nivåer opp mot 900  $\mu\text{g}/\text{m}^3$  målt som  $\text{NO}_2$  i forurensningsepisoder ( $\text{NO}_x$  [ $\mu\text{g}/\text{m}^3$ ] = 1,5 NO [ $\mu\text{g}/\text{m}^3$ ] +  $\text{NO}_2$  [ $\mu\text{g}/\text{m}^3$ ]).  $\text{NO}_x$ -konsentrasjonen lå ofte i området 400-500  $\mu\text{g}/\text{m}^3$  på dagtid. Høyeste  $\text{NO}_2$ -konsentrasjon var 120  $\mu\text{g}/\text{m}^3$ , tilsvarende en  $\text{NO}_2$ -andel på 14%.

Figurene viser at  $\text{NO}_2$ -konsentrasjonen var nær den samme langs begge løyper. Dette tyder på et relativt flatt  $\text{NO}_2$ -felt over Sundsvall sentrum.

I figur G12-G16 er kjemiluminescens- og DOAS-målingene (løype 1) sammenlignet. Det er stor grad av samvariasjon mellom de to metodene både for NO og  $\text{NO}_2$ .

Gjennomgående trekk er imidlertid følgende:

- ved relativt lavt forurensningsnivå gir instrumentene samme  $\text{NO}_2$ -verdi, men kjemiluminescens-instrumentet gir en del mindre NO enn DOAS-instrumentet.
- ved høyt forurensningsnivå gir kjemiluminescens fortsatt mindre NO, men en god del mer  $\text{NO}_2$  enn DOAS.  $\text{NO}_x$ -konsentrasjonen for de to metodene stemmer da ganske godt overens.

Vi har ikke nok informasjon til å avgjøre årsaken til avviket mellom metodene ved høye forurensningsnivåer. Det kan skyldes avvik mellom metodene, men det kan også skyldes at  $\text{NO}_2$ -andelen av  $\text{NO}_x$  faktisk er høyere i sentrum (ved Stadshuset) enn i gjennomsnitt på tvers av dalen (langs DOAS-løypene).  $\text{NO}_2$ -andelen som måles med kjemiluminescens-instrumentet var ca. 30% i de mest forurenede perioder i januar 1990, og i oktober 1989 ble det, som tidligere nevnt, målt  $\text{NO}_2$ -andeler opp mot 40% i episoder. Så store  $\text{NO}_2$ -andeler er ikke målt i Norge. De lar seg ikke forklare ut fra det man i dag vet om NO- $\text{NO}_2$ -kjemi i byer under vinterforhold i Norden, med mindre hoveddelen av  $\text{NO}_x$ -utsippet kommer fra biler på tomgang.

#### 4 MÅLINGER I ULIKE GATER I SUNDSVALL, 1978-79 OG 1982-83

Luftlaboratoriet, SNV gjennomførte målinger av bl.a.  $\text{NO}_x$  og  $\text{NO}_2$  (time- og døgnmiddelverdier) ved 6 målestasjoner vinteren 1978-79, de fleste gatestasjoner (Johansson og Karlson, 1981). IVL gjennomførte døgnmålinger av  $\text{NO}_2$  ved 6 målestasjoner vinteren 1982-83, dels de samme målestasjoner som i 1978-79 (Laurin og Persson, 1983).

Målingene i 1978-79 viste i episoder høye konsentrasjoner av  $\text{NO}_2$  på sentrumstasjonene. De kontinuerlig registrerende målingene ble utført over relativt korte perioder (2-4 uker på hvert sted, aldri mer enn ett sted om gangen). Det er derfor vanskelig på grunnlag av disse målingene å si noe om utstrekningen av området med høy  $\text{NO}_2$ -belastning.

Døgnmålingene i 1978-79 ble imidlertid utført på 6 stasjoner samtidig. Målingene viste tidvis svært høye konsentrasjoner i Sjögatan, i Skolhusalléen og høyt også i Strandgatan (nær E4), maks  $110\text{-}135 \mu\text{g}/\text{m}^3$ . Konsentrasjonene var lavere i Köpmangatan og i Bergsgatan (maks  $85\text{-}90 \mu\text{g}/\text{m}^3$ ). Dersom en ser bort fra de aller høyeste døgnverdier, lå de "nest høyeste" på ca.  $110 \mu\text{g}/\text{m}^3$  i sentrum og ca.  $85\text{-}90 \mu\text{g}/\text{m}^3$  i Köpmangatan og i Bergsgatan. Stasjonen i sentrum ble påvirket av nærliggende tomgangs- og køtrafikk, som gir stor  $\text{NO}_2$ -andel av  $\text{NO}_x$  i utslippet. I Bergsgatan var kjørehastigheten høy, med lav  $\text{NO}_2$ -andel i utslippet. Bergsgatan-stasjonen lå ved Sidsjögatan, omtrent der Sidsjöbäcken renner ut.

Kallduftdrenasje som følger Sidsjöbäcken vil ofte tilføre relativt ren luft til området ved målestasjonen og derved gi reduserte konsentrasjoner her i inversjonsperioder (forurensnings-episoder).

Målingene i 1982-83 ga omtrent samme gjennomsnitts- og maksimalverdier som i 1978-79, på de samme målestasjoner (Sjögatan, Skolhusalléen, Norrliden). Det ble ikke målt i Bergsgatan i 1982-83.

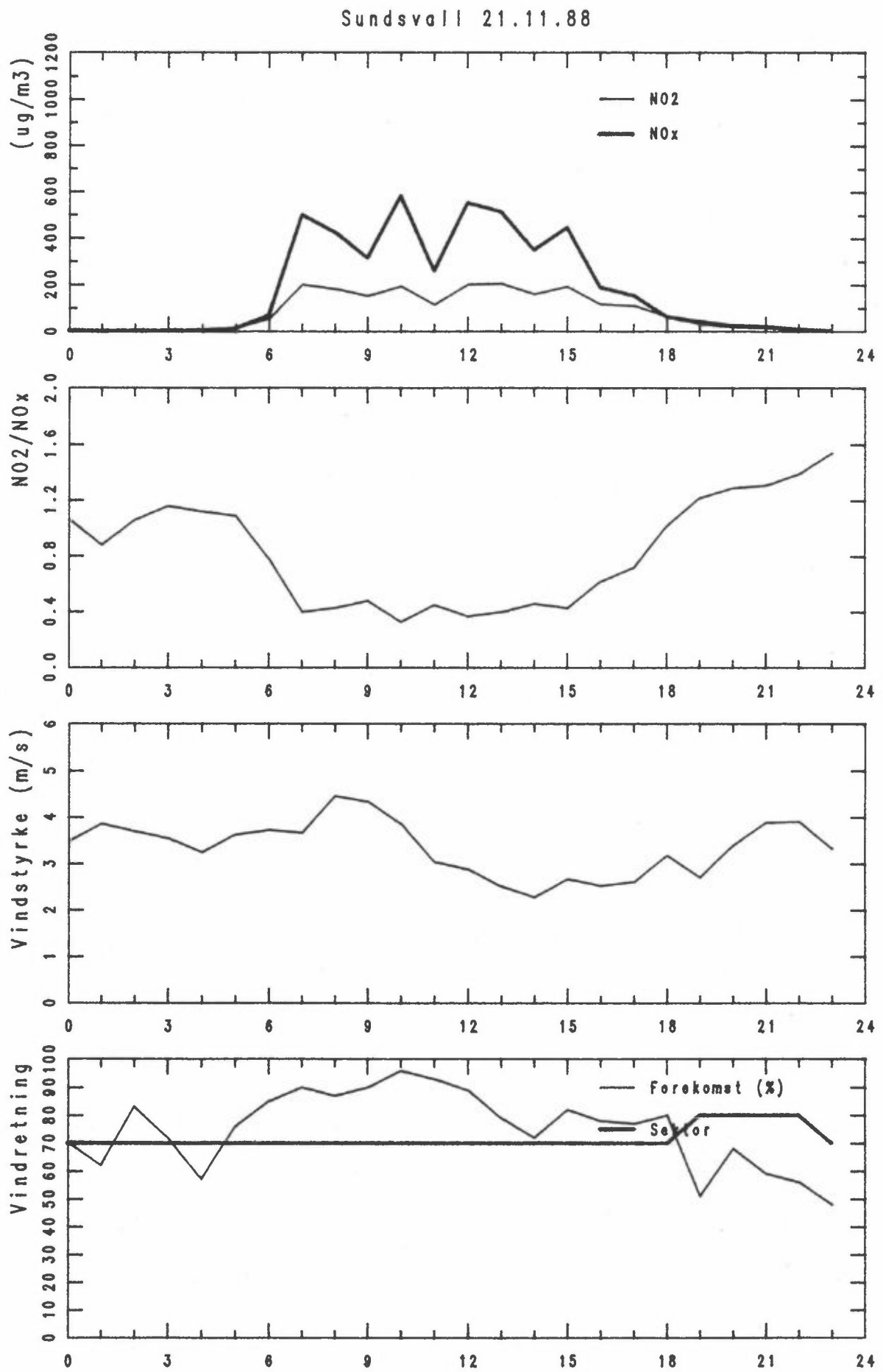
## 5 KONKLUSJONER

De høyeste forurensningsnivåer opptrer i Sundsvall

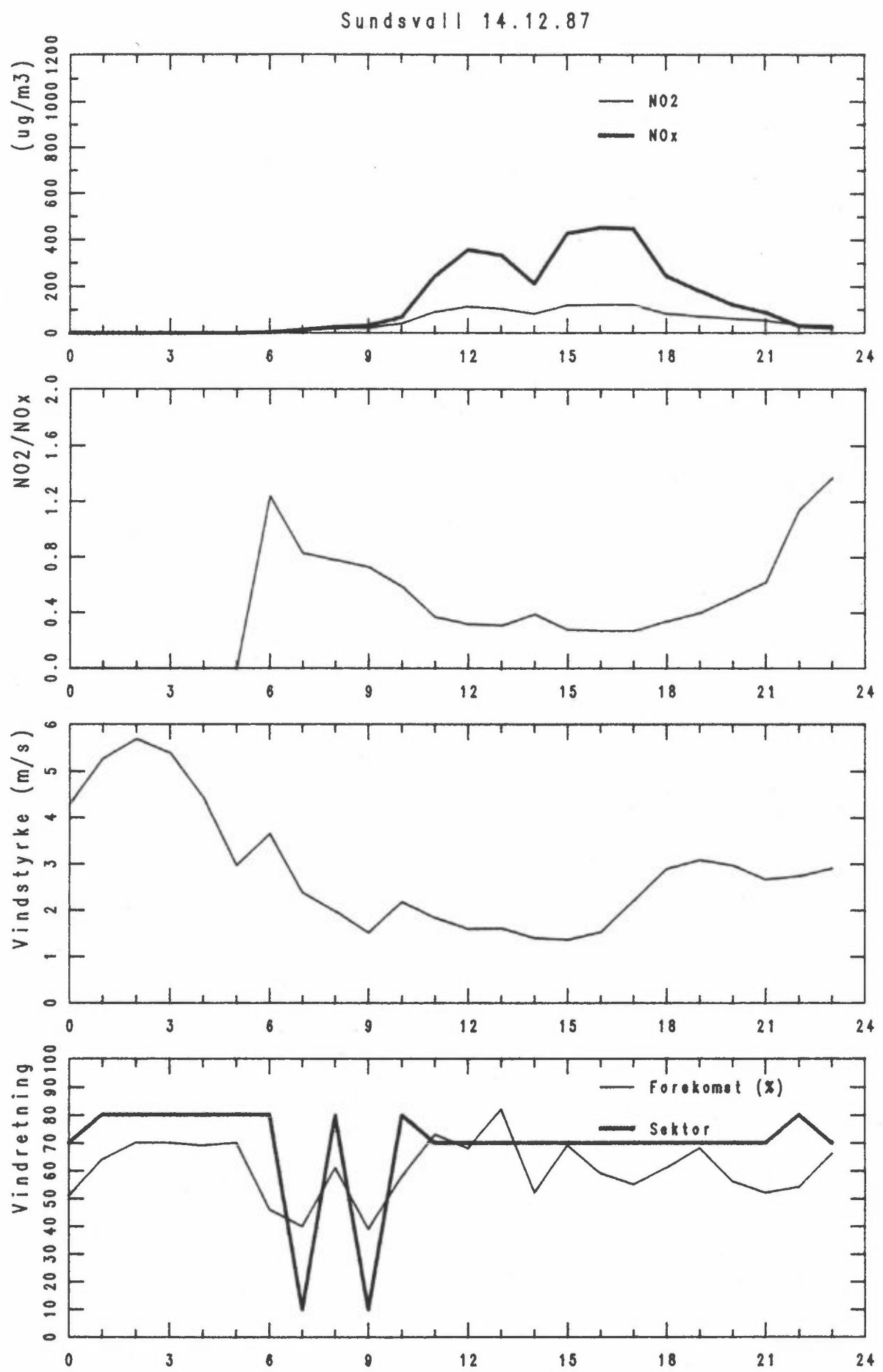
- ved svak vestlig vind :  $\text{NO}_x$  av størrelse 400-600  $\mu\text{g}/\text{m}^3$   
 $\text{NO}_2$  av størrelse 100-200  $\mu\text{g}/\text{m}^3$
- stagnasjons-situasjoner:  $\text{NO}_x$  av størrelse 600-1 200  $\mu\text{g}/\text{m}^3$   
 $\text{NO}_2$  opp mot 200  $\mu\text{g}/\text{m}^3$

Dette er de typisk forekommende situasjoner. Ved Stadshuset er det målt  $\text{NO}_2$ -nivåer opp mot 320  $\mu\text{g}/\text{m}^3$  som timesmiddelverdi. I slike episoder er  $\text{NO}_2$ -andel av  $\text{NO}_x$  målt til 30-40% (målt med kjemiluminescens-instrumentet).

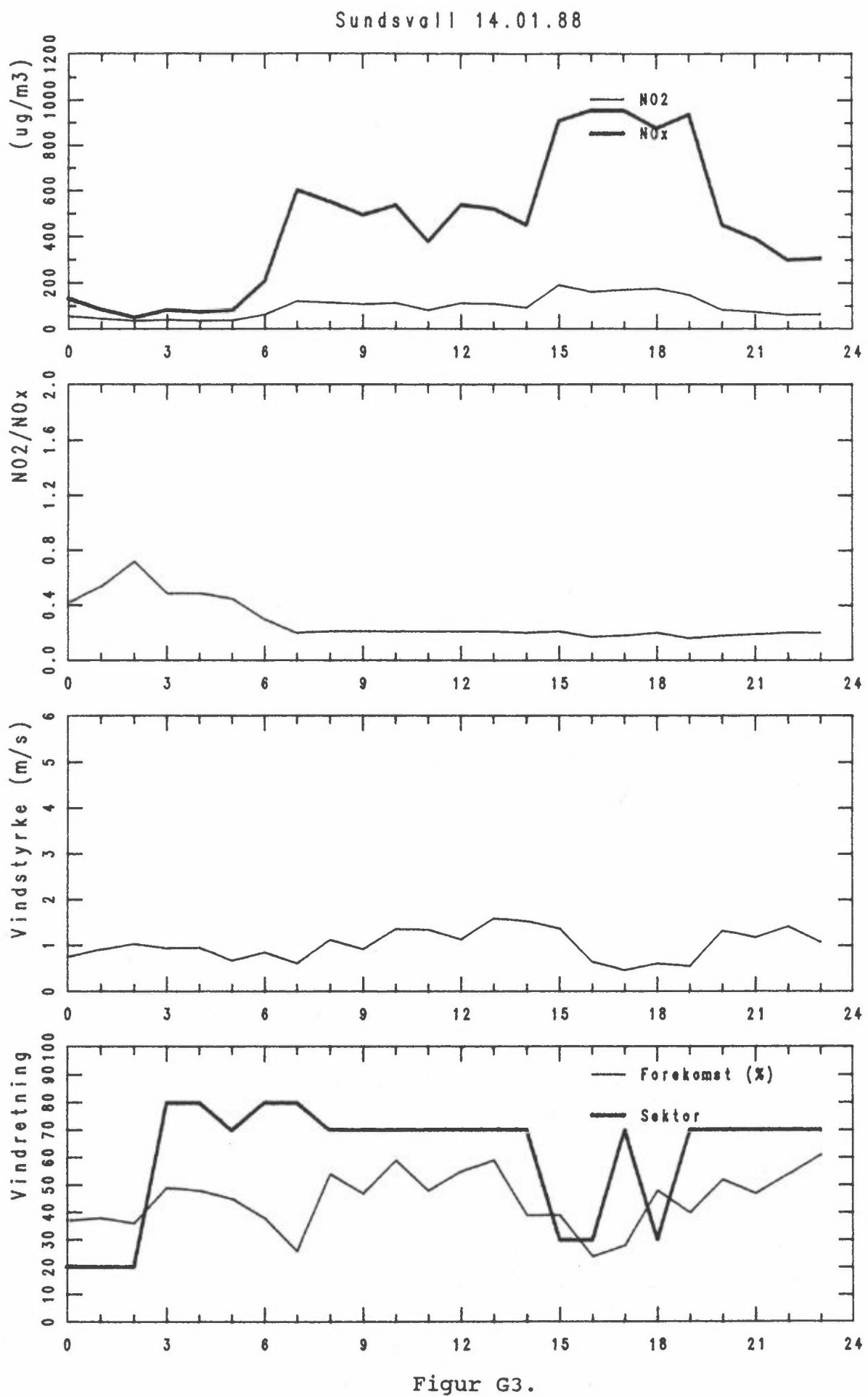
Det er bra overenstemmelse mellom kjemiluminescens-målingene ved Stadshuset og DOAS-målinger langs løyper fra Stadshuset og på tvers av dalen. DOAS-instrumentet gir imidlertid  $\text{NO}_2$ -andeler av størrelse 10-15% i forurensningsepisoder. Dette stemmer med målinger utført i byer i Norge. De høye  $\text{NO}_2$ -andelene målt med kjemiluminescens lar seg ikke forklare ut fra den kunnskap vi idag har om NO- $\text{NO}_2$ -kjemi i byer under vinterforhold i Norden, med mindre hoveddelen av  $\text{NO}_x$ -utslippet kommer fra biler på tomgang.



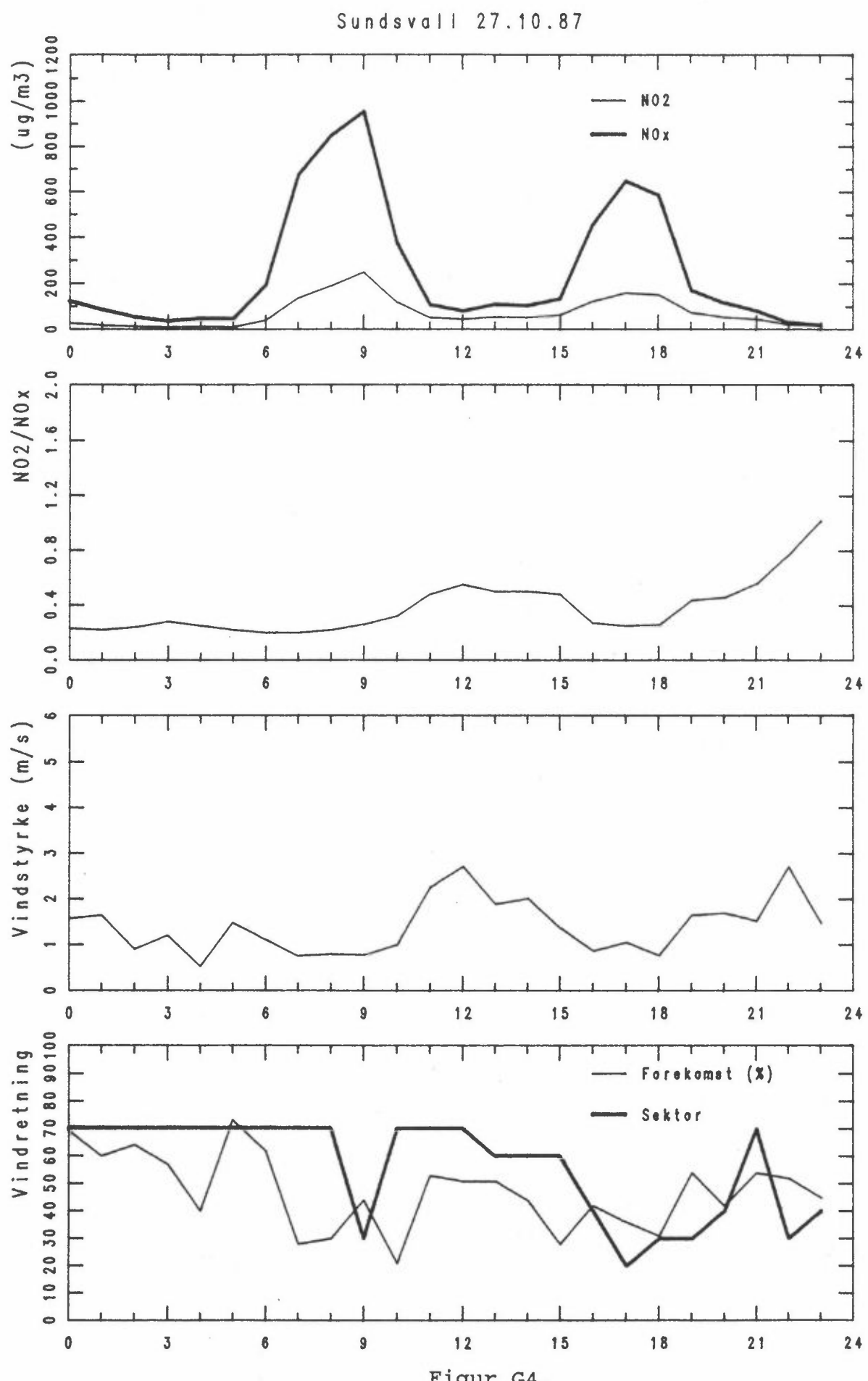
Figur G1.



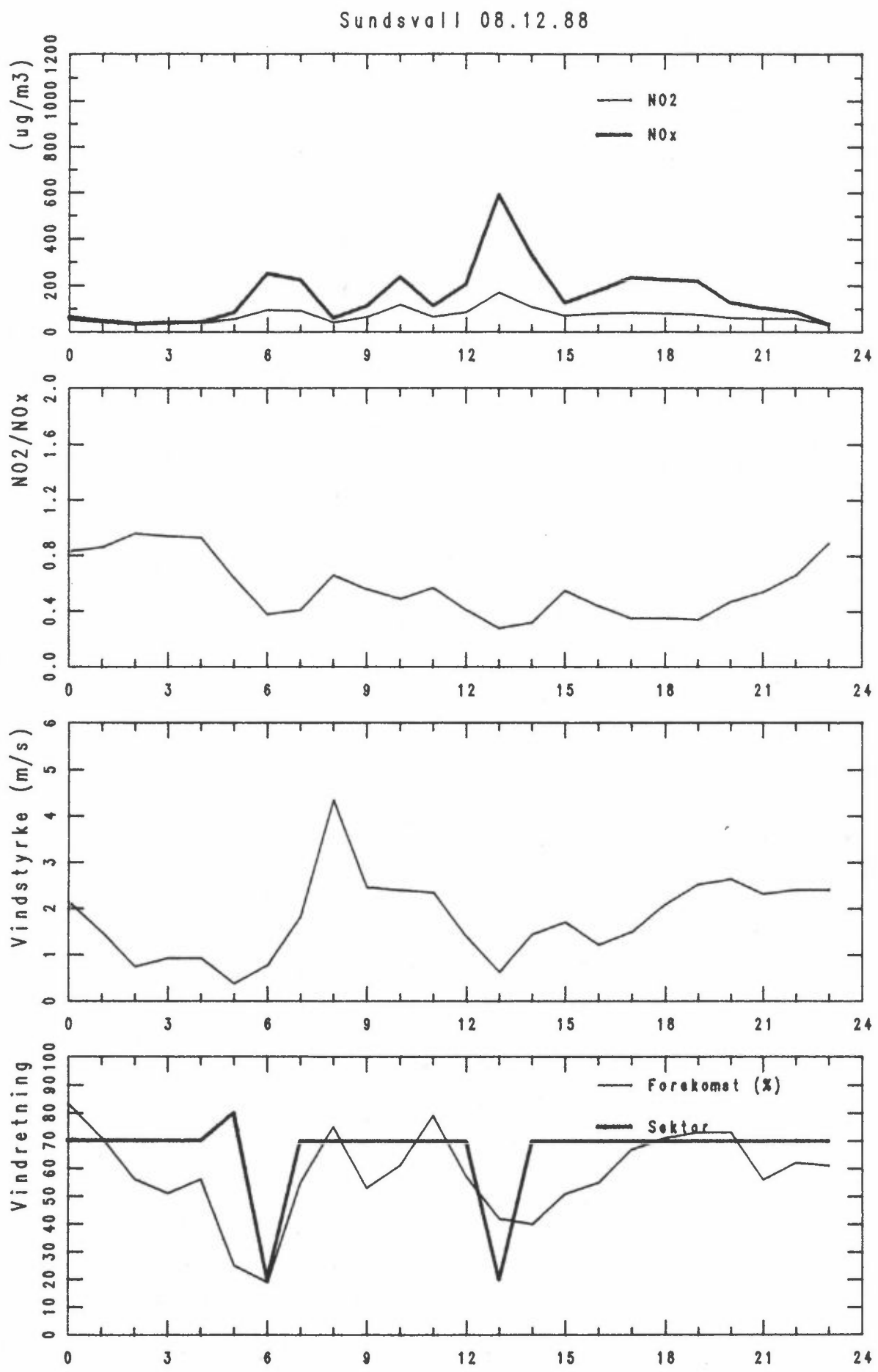
Figur G2.



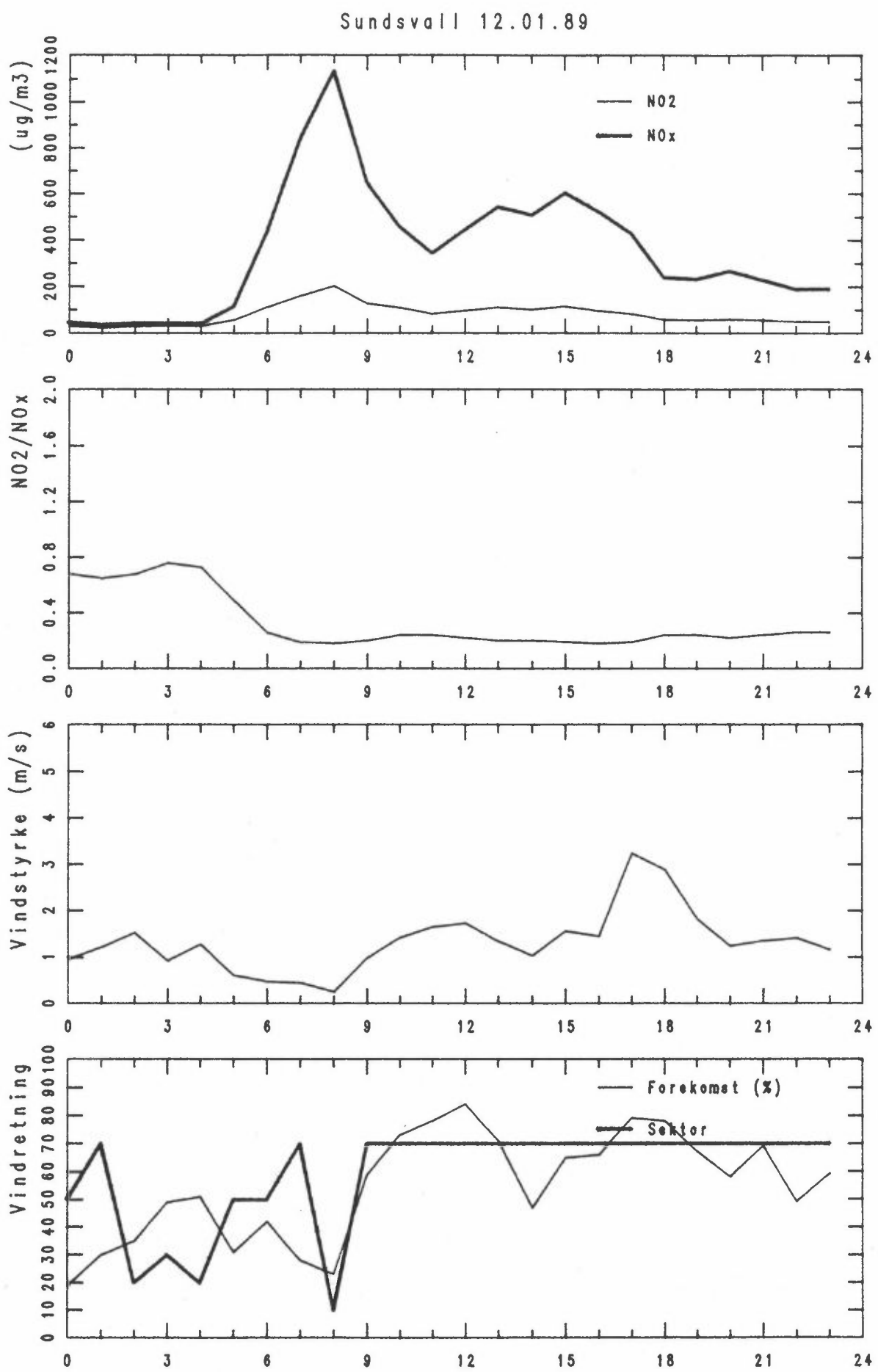
Figur G3.



Figur G4.

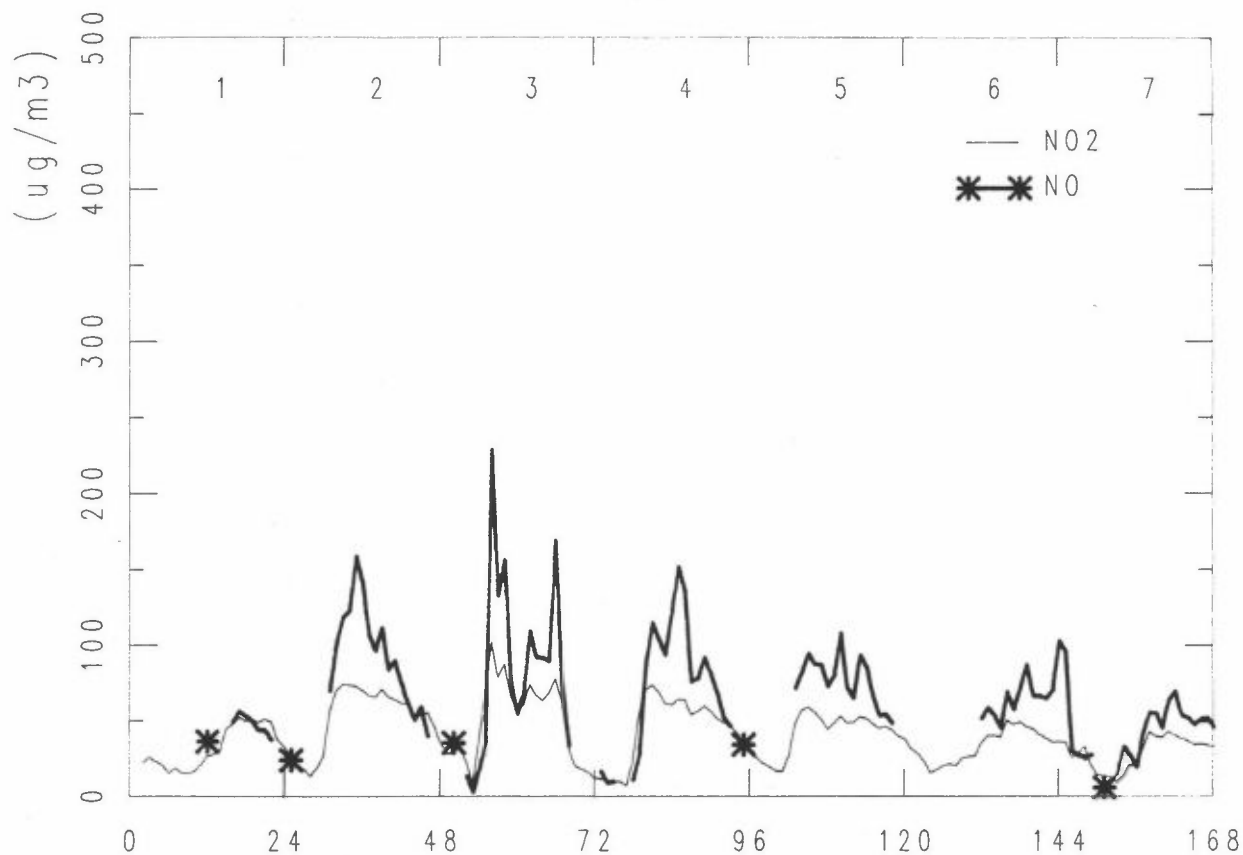


Figur G5.

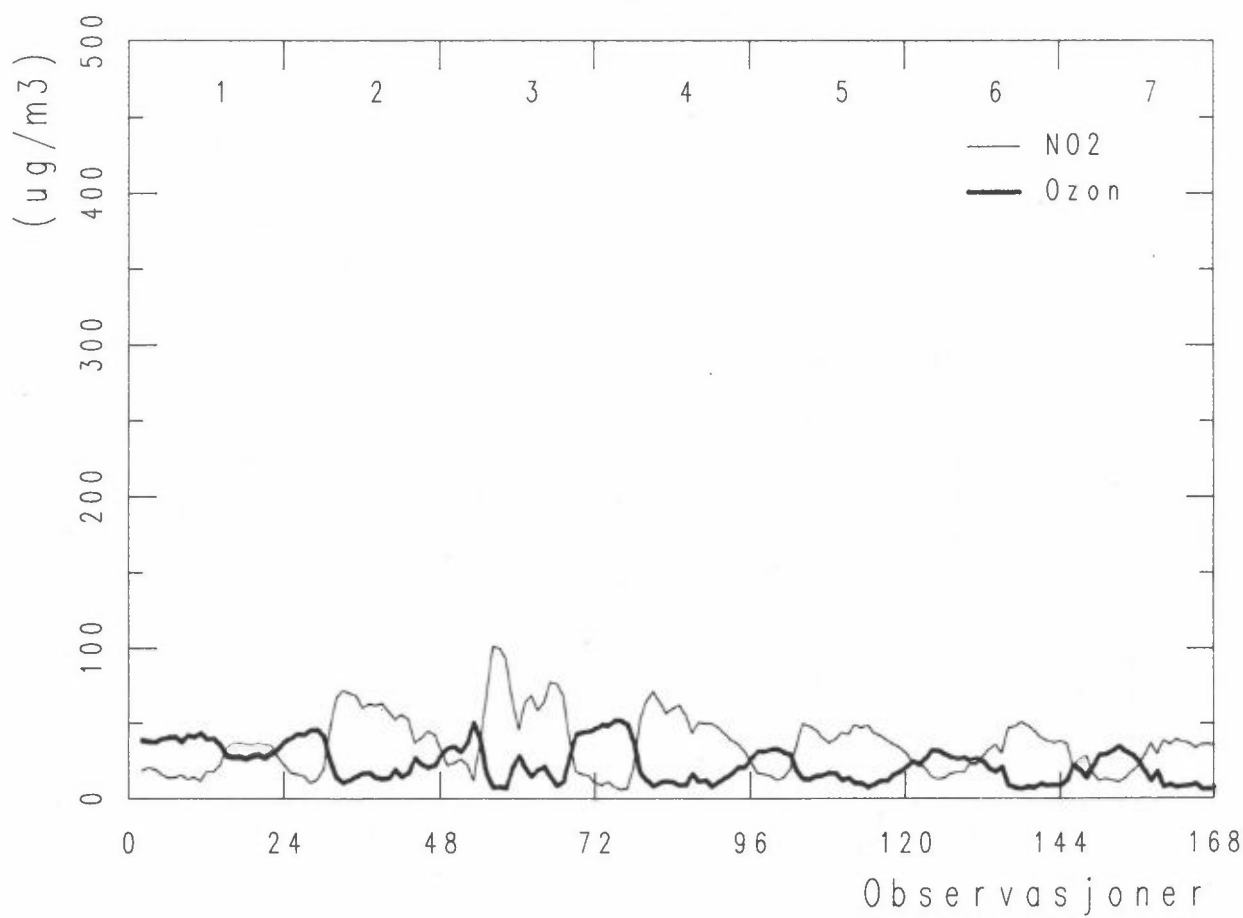


Figur G6.

Sundsvall, uke 1, 1990  
Løype 1

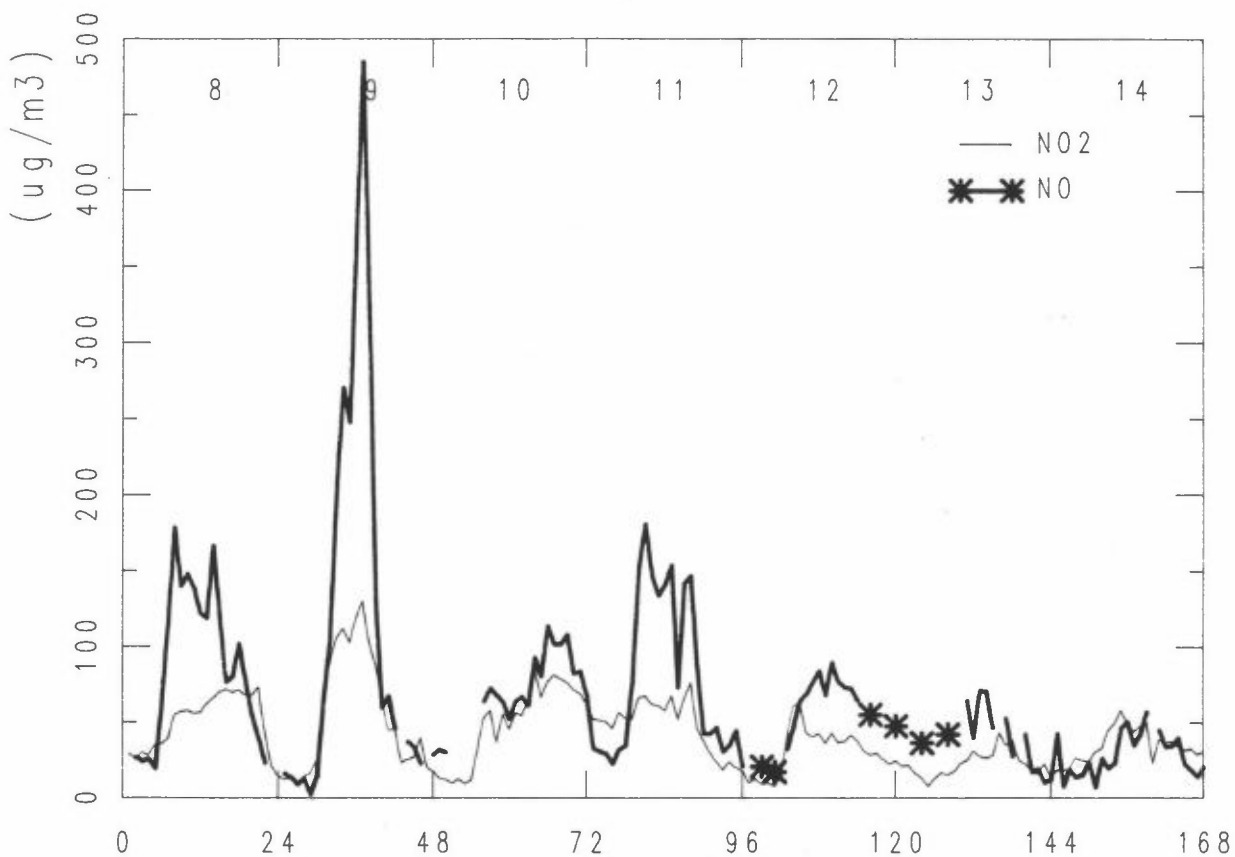


## Løype 2

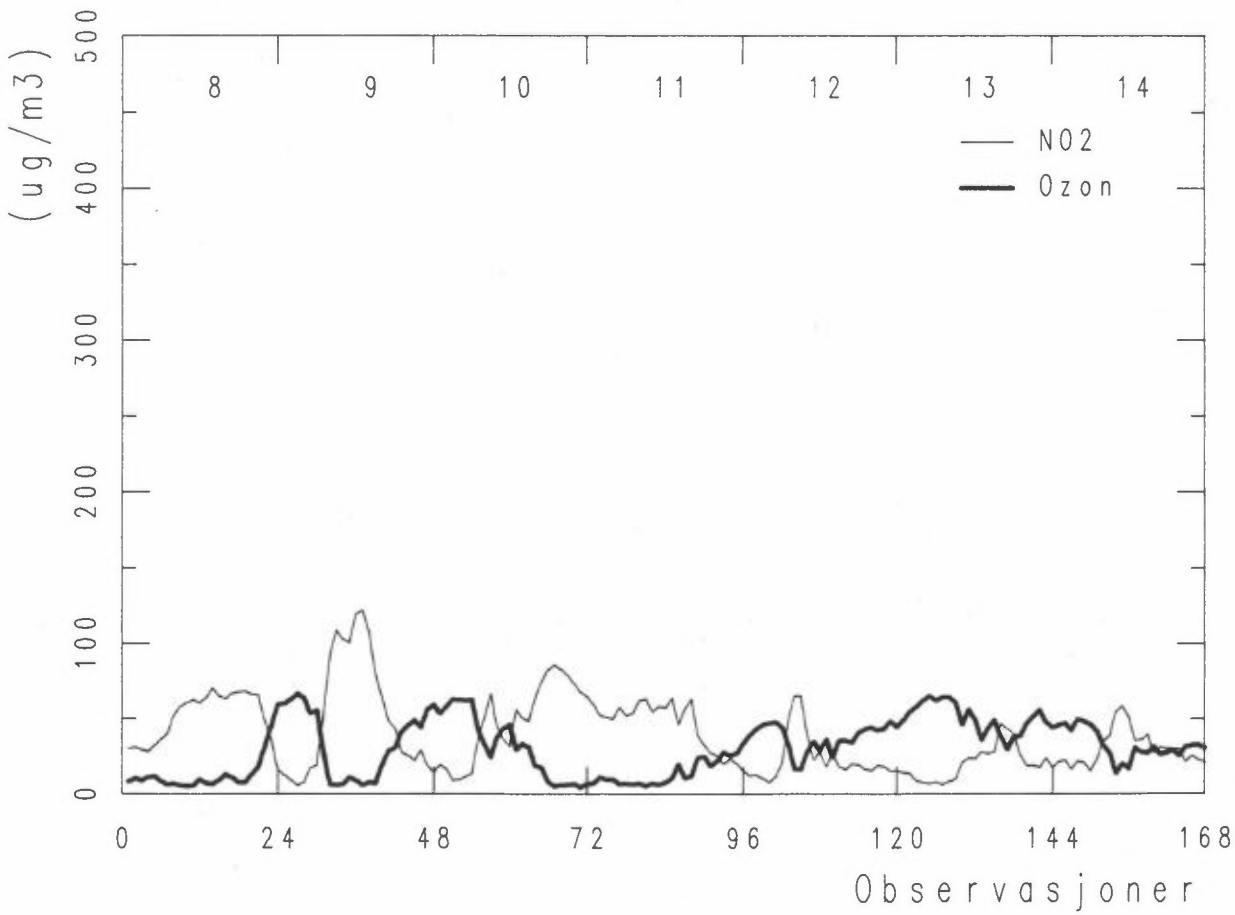


Figur G7.

Sundsvall, uke 2, 1990  
Løype 1

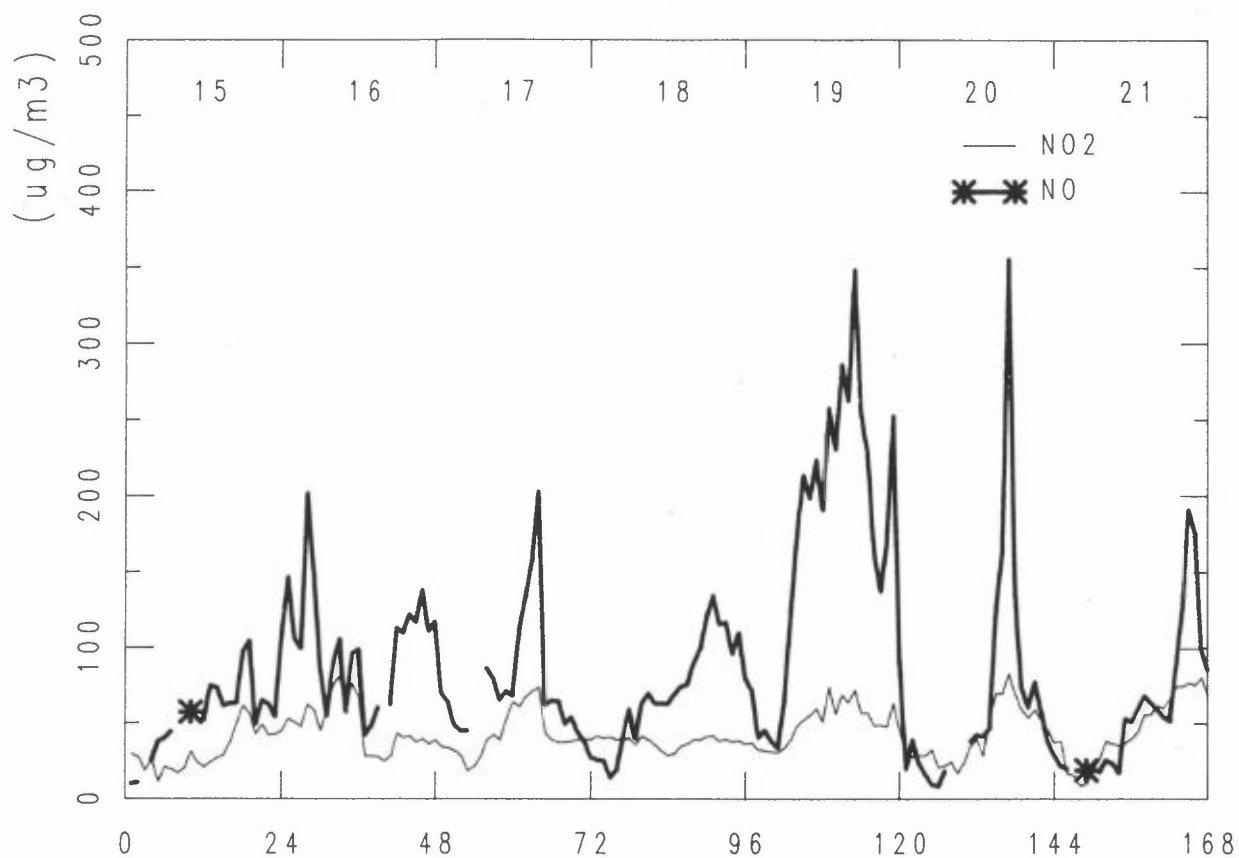


Løype 2

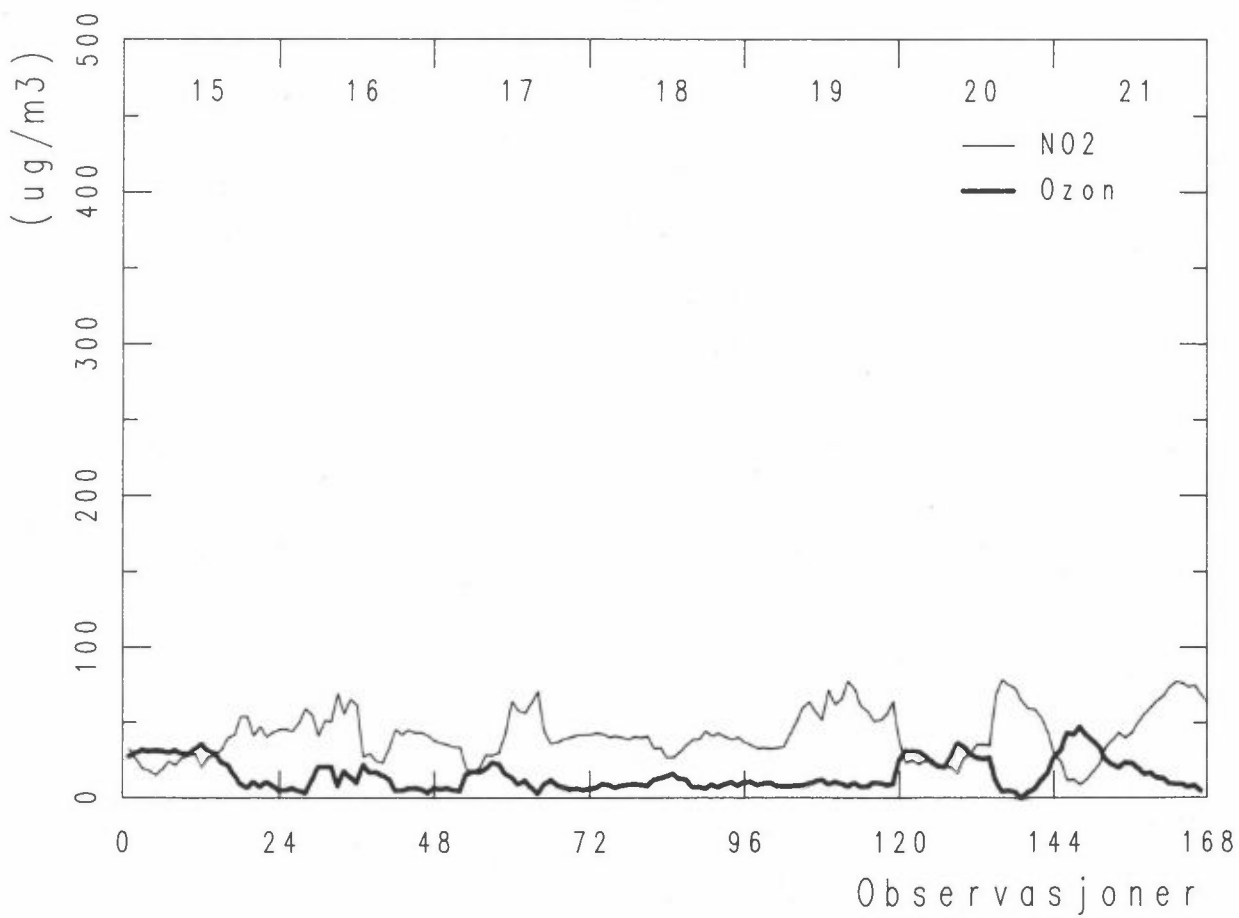


Figur G8.

Sundsvall, uke 3, 1990  
Løype 1

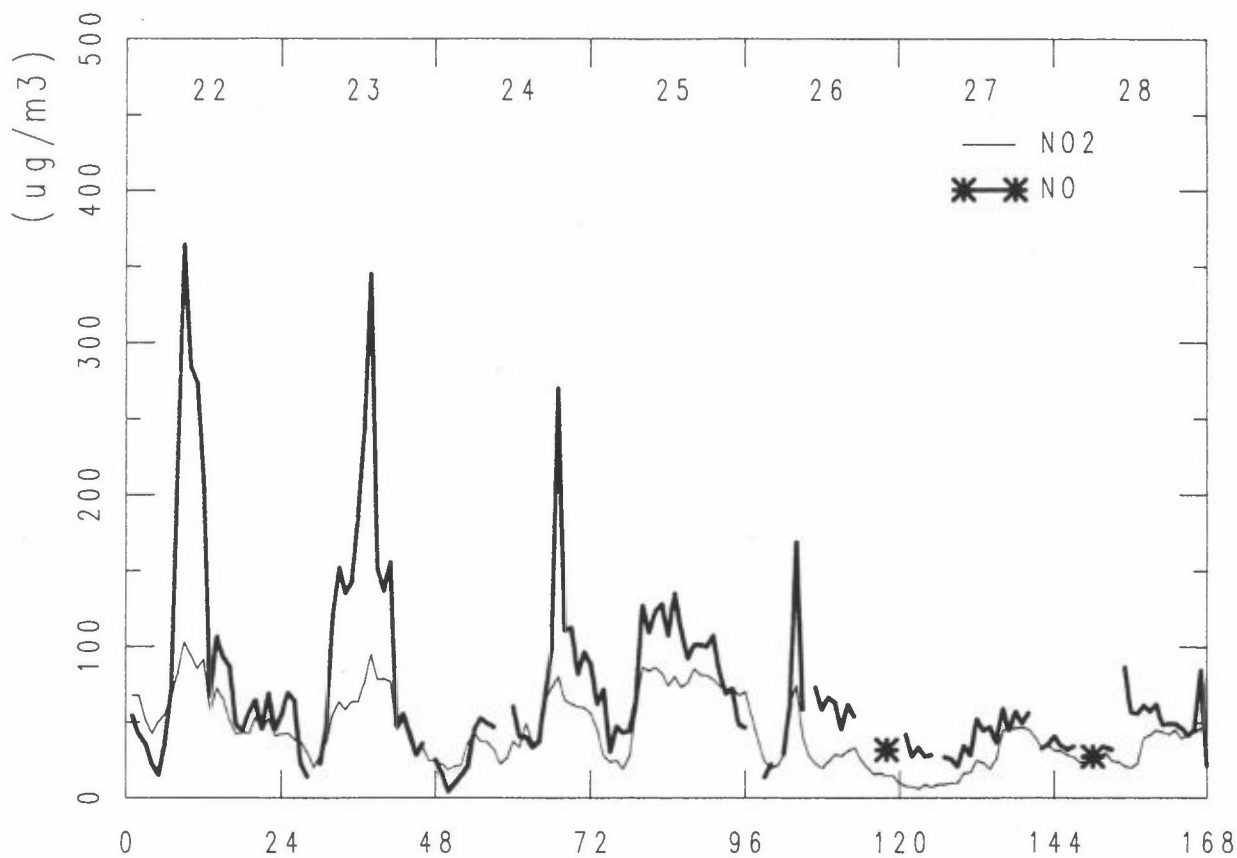


Løype 2

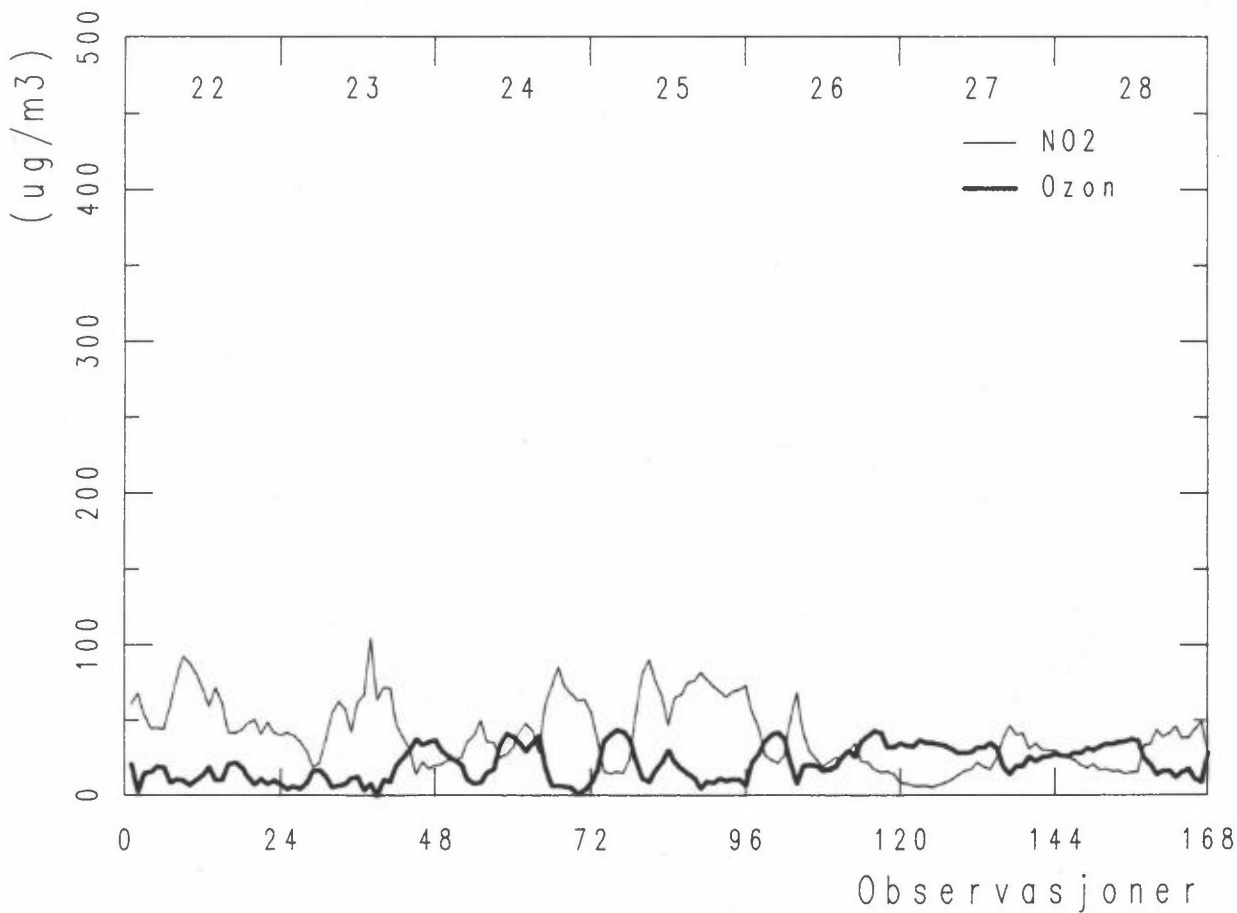


Figur G9.

Sundsvall, uke 4, 1990  
Løype 1

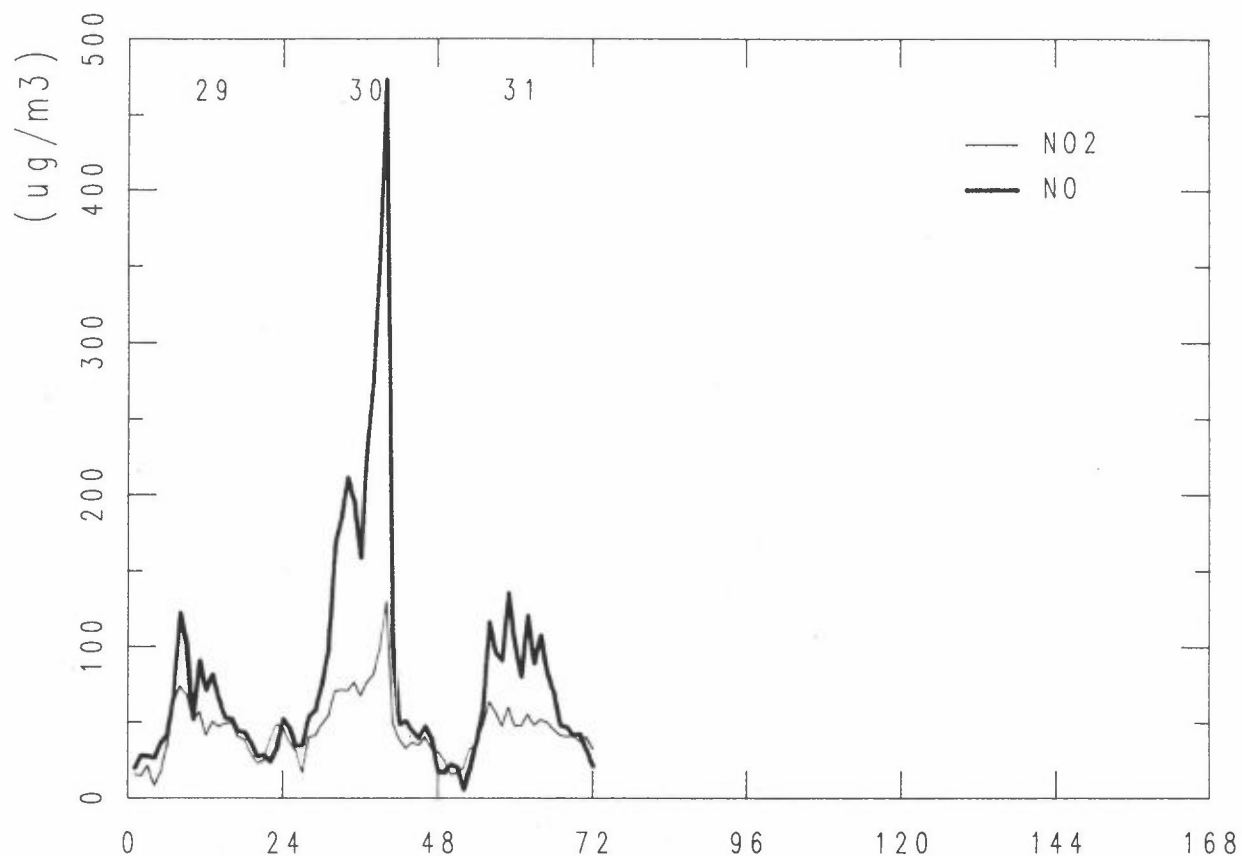


Løype 2

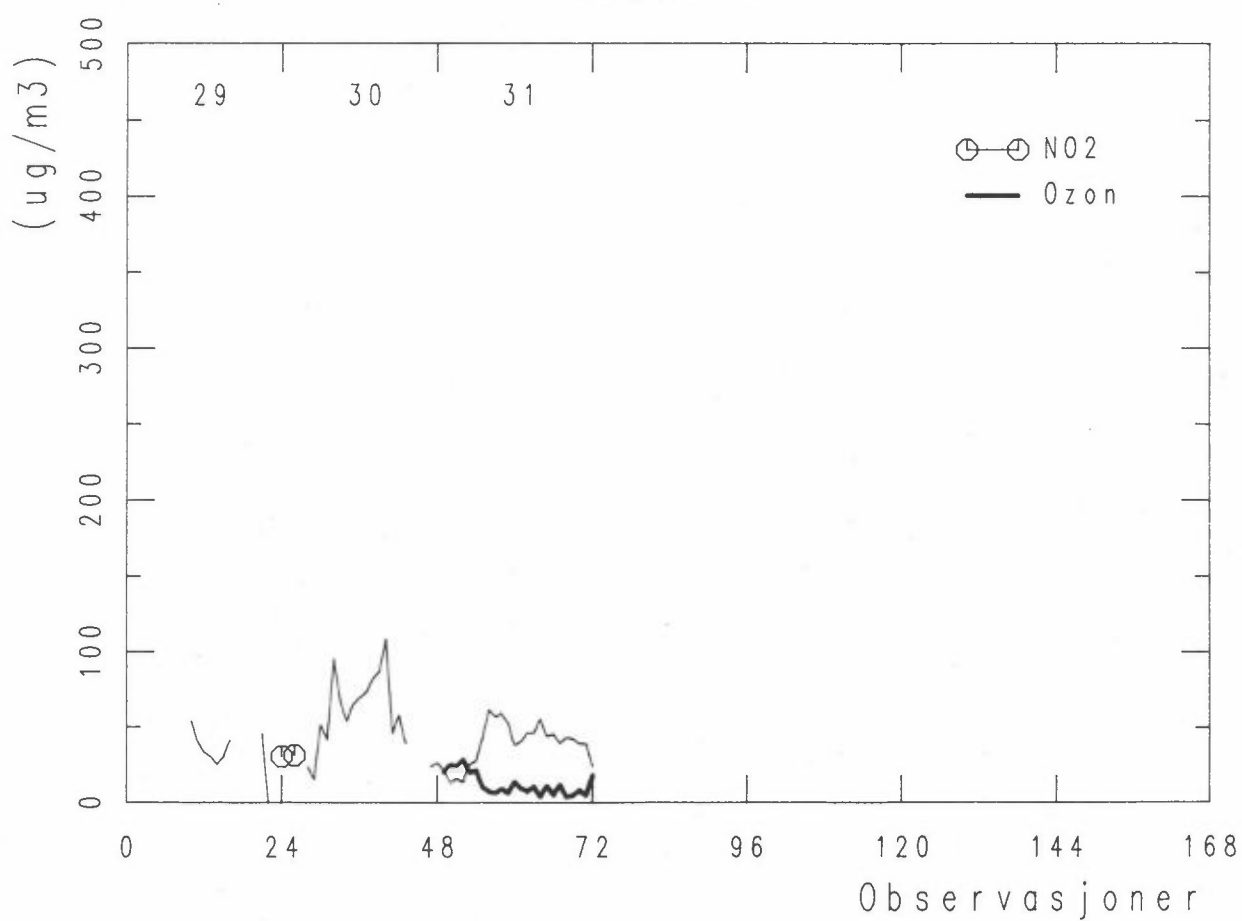


Figur G10.

Sundsvall, uke 5, 1990  
Løype 1

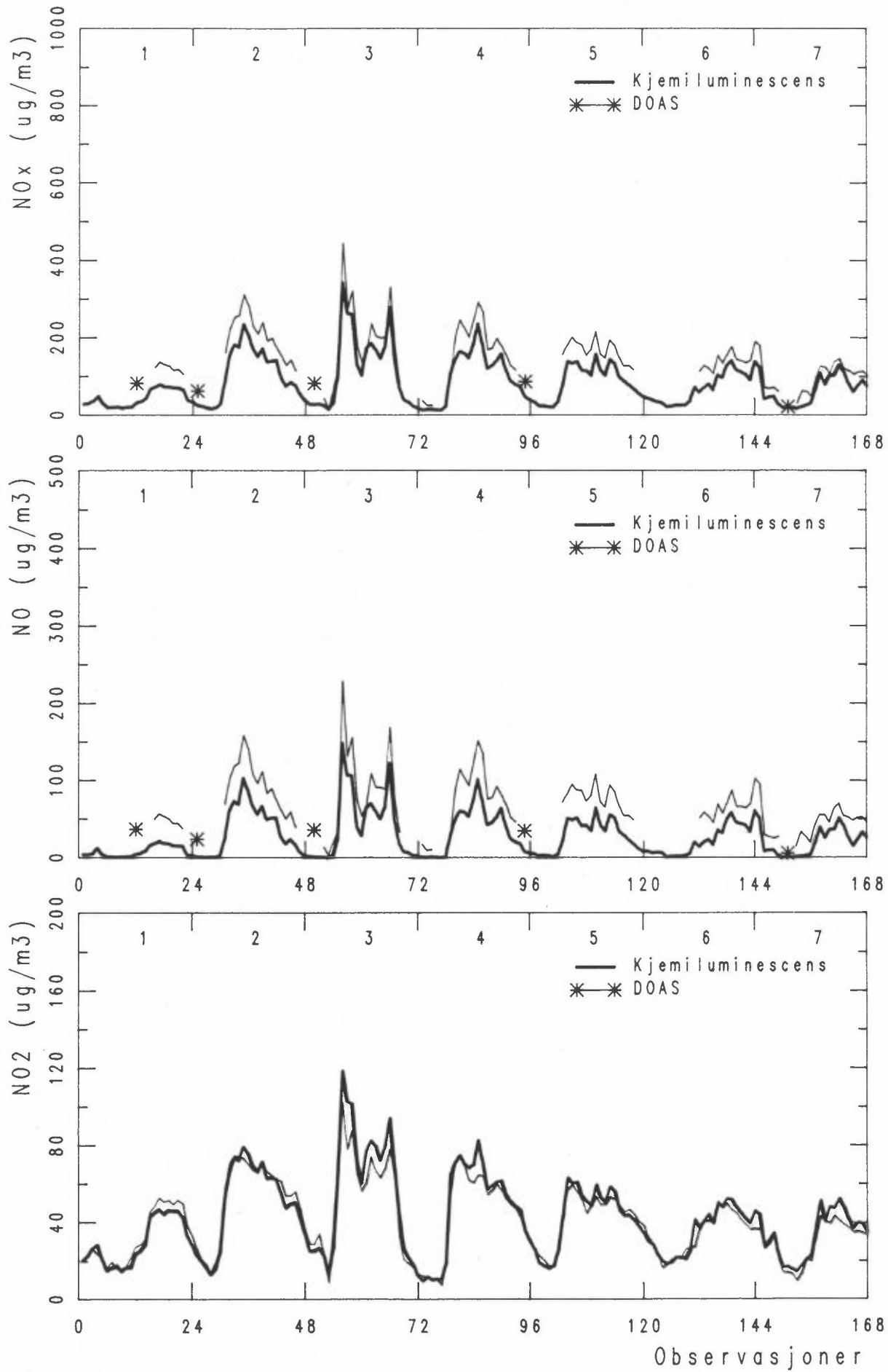


Løype 2



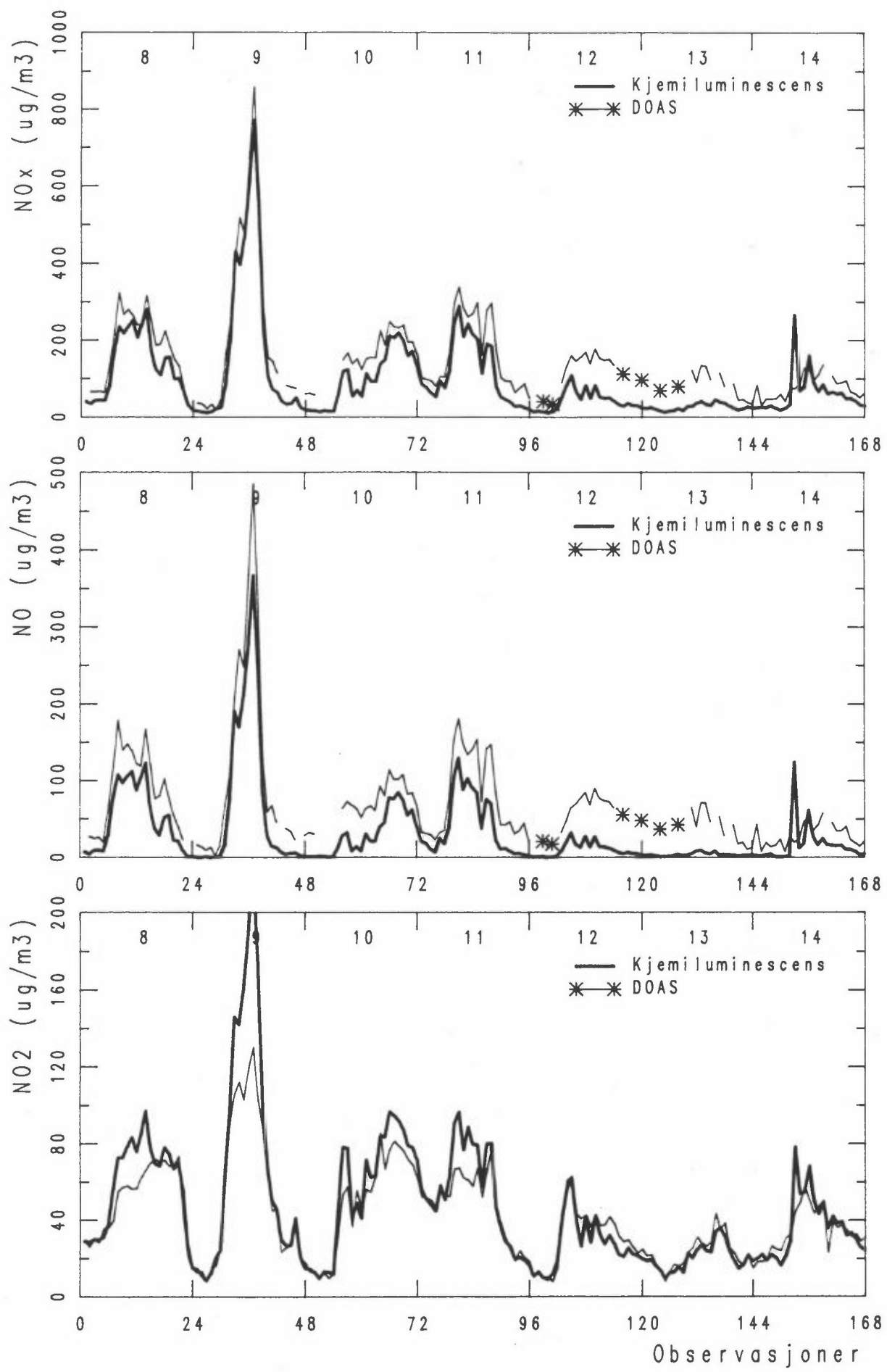
Figur G11.

## Sundsvall, uke 1, 1990



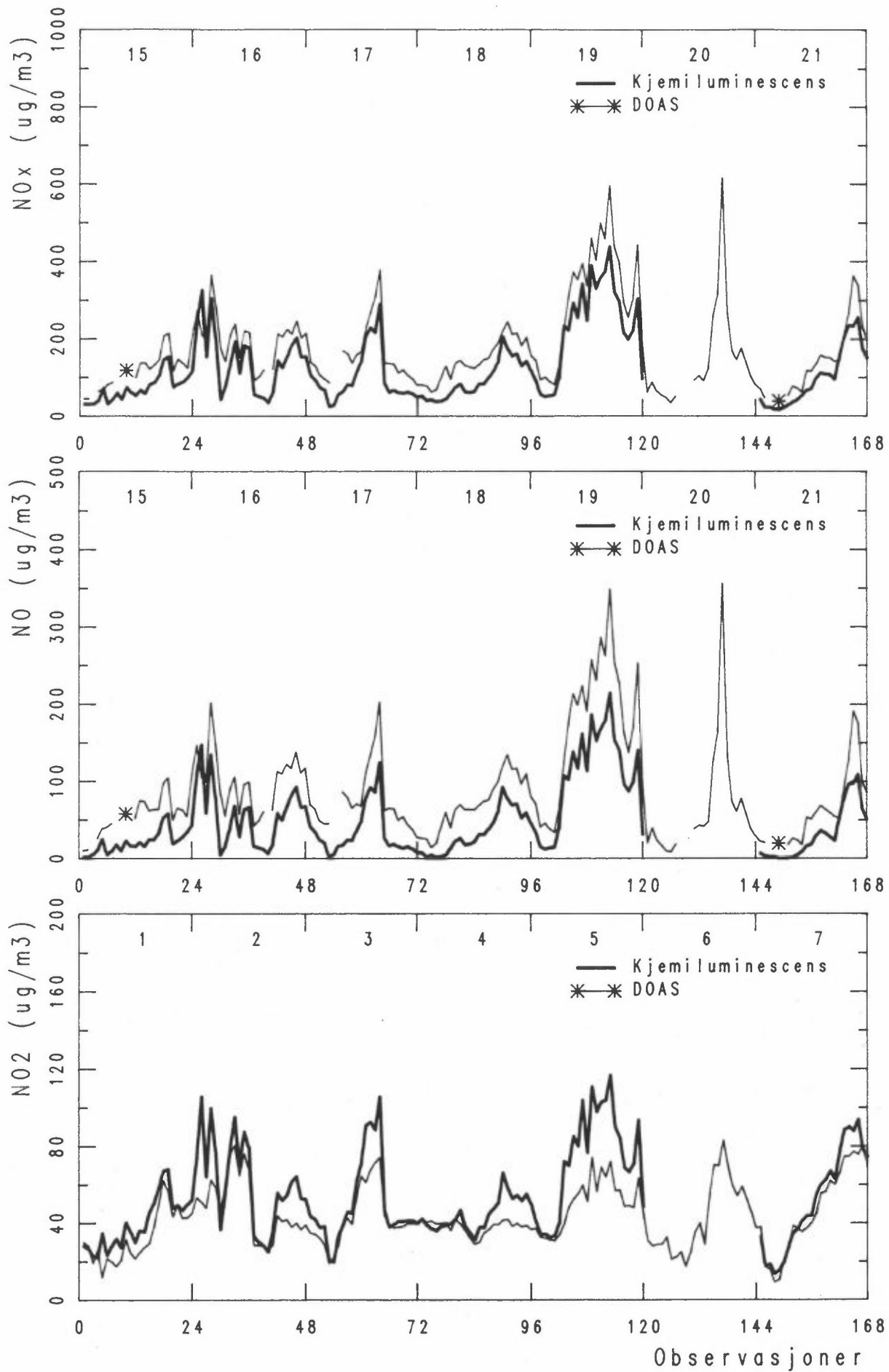
Figur G12.

## Sundsvall, uke 2, 1990



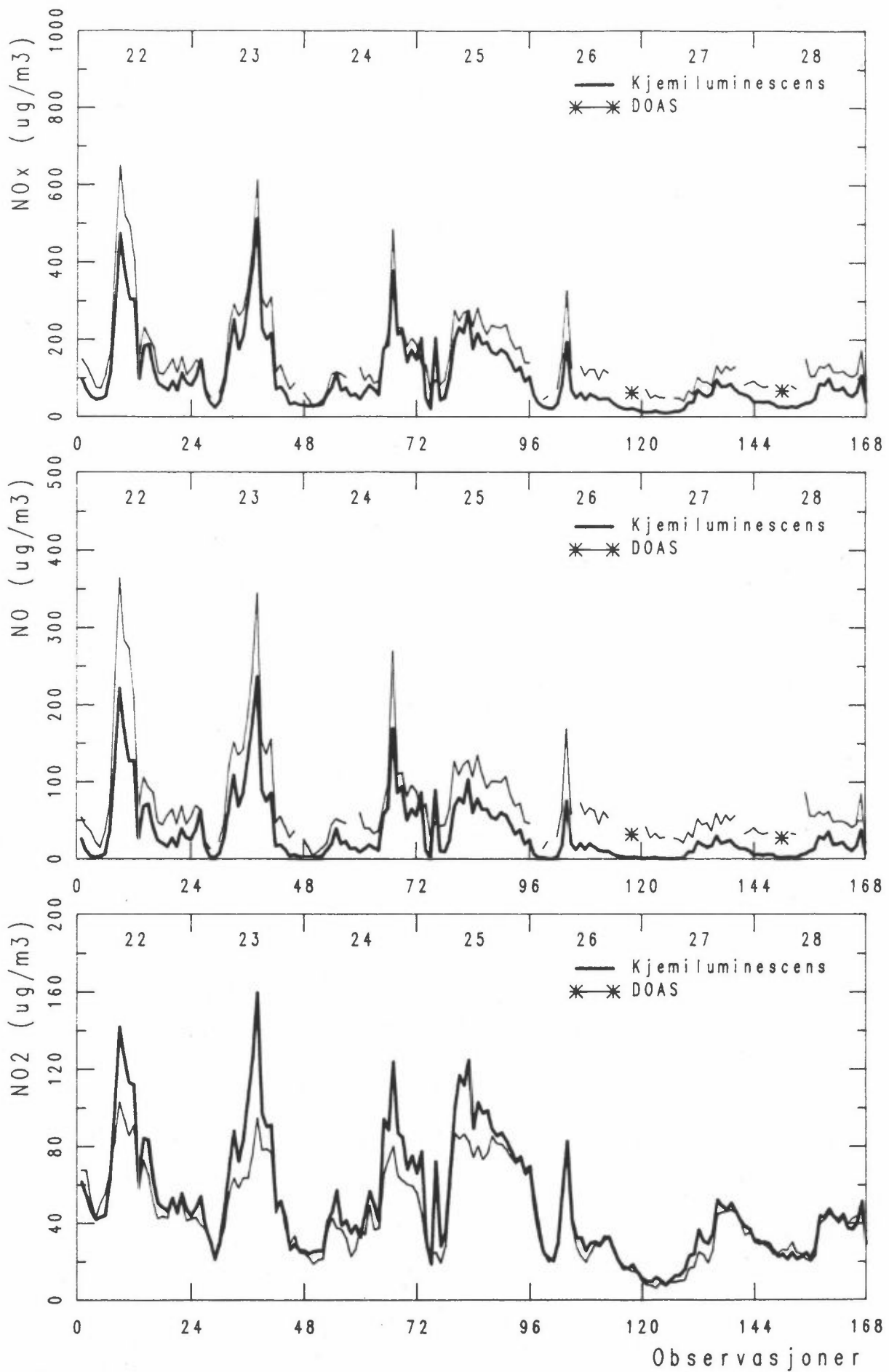
Figur G13.

Sundsvall, uke 3, 1990



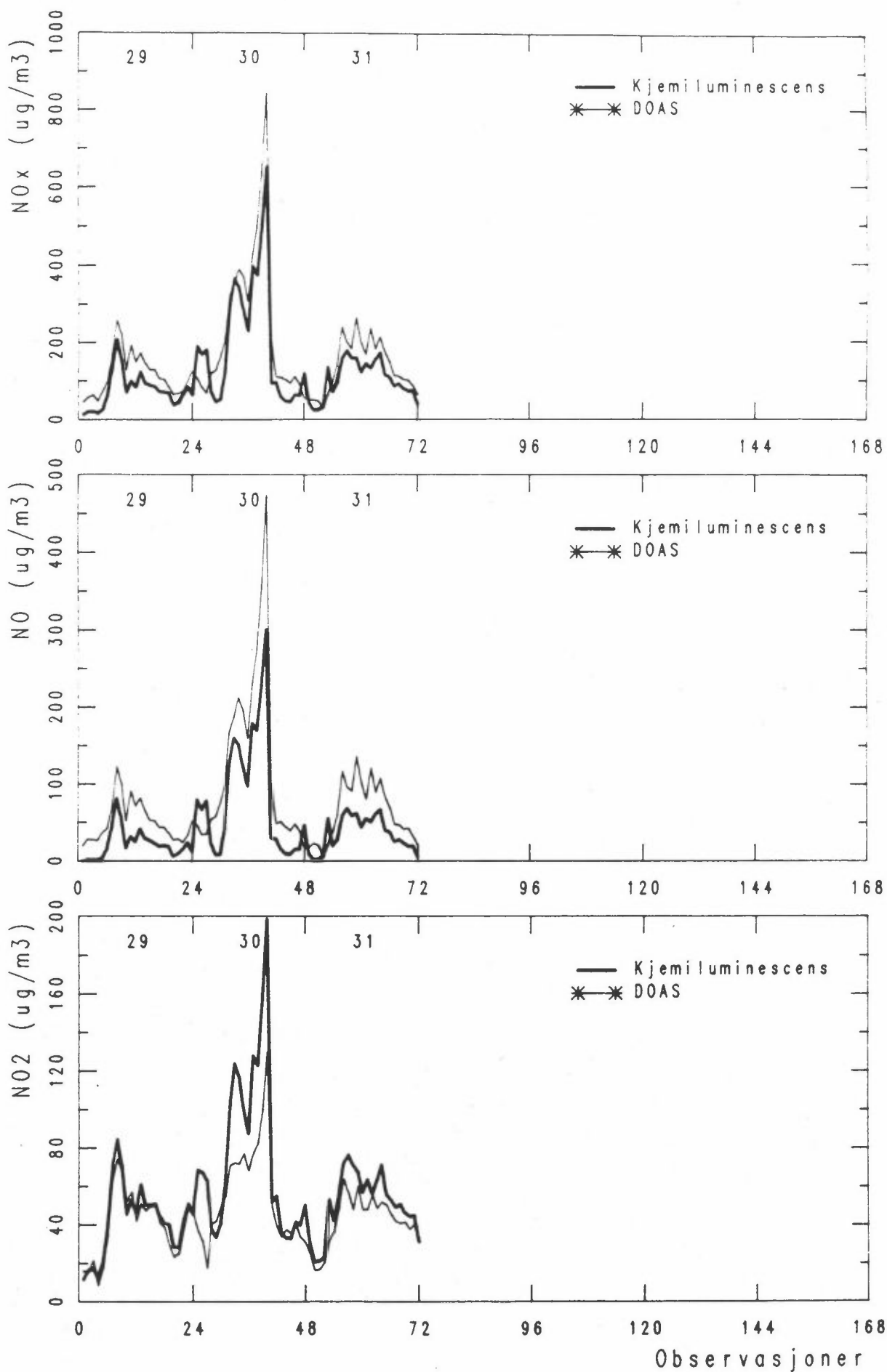
Figur G14.

## Sundsvall, uke 4, 1990

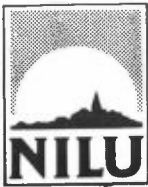


Figur G15.

Sundsvall, uke 5, 1990



Figur G16.



NORSK INSTITUTT FOR LUFTFORSKNING (NILU)  
NORWEGIAN INSTITUTE FOR AIR RESEARCH  
POSTBOKS 64, N-2001 LILLESTRØM

RAPPORTTYPE OPPDRAKSRAPPORT	RAPPORTNR. OR 86/90	ISBN-82-425-0221-8	
DATO DESEMBER 1990	ANSV. SIGN. <i>Johnland</i>	ANT. SIDER 187	PRIS NOK 220,-
TITTEL Beregning av NO <sub>x</sub> - og NO <sub>2</sub> -konsentrasjon i Sundsvall for 5 ulike utslippscenarier	PROSJEKTLEDER S.E. Walker		
	NILU PROSJEKT NR. O-90054		
FORFATTER(E) S.E. Walker og S. Larssen	TILGJENGELIGHET * OPPDRAKGIVERS REF. CLS/DA		
OPPDRAKGIVER (NAVN OG ADRESSE) VBB trafik AB Linnegatan 2, P.O. Box 5038 102 41 Stockholm, Sverige			
3 STIKKORD Nitrogenoksidene	Sundsvall	Konsekvensanalyse	
REFERAT Konsentrasjonsfordelinger av NO <sub>x</sub> og NO <sub>2</sub> er beregnet i Sundsvall, Sverige for fem ulike scenarier for utslipp. Beregningene er utført med en multipel-kilde Gaussisk spredningsmodell.			

TITLE	Calculations of NO <sub>x</sub> - and NO <sub>2</sub> -concentrations in Sundsvall for 5 different emission-scenarios.
ABSTRACT	Concentration-distributions for NO <sub>x</sub> and NO <sub>2</sub> have been calculated in Sundsvall, Sweden for five different emission-scenarios. The calculations have been performed with a multiple-source Gaussian dispersion model.

\* Kategorier: Åpen - kan bestilles fra NILU      A  
              Må bestilles gjennom oppdragsgiver    B  
              Kan ikke utleveres                        C